



BioCoherence Manuel

Version 2025-02-07

Table des matières générale

INTRODUCTION

1. Une brève histoire de BioCoherence	3
2. Construire des ponts.....	5

UTILISER BIOCOHERENCE

3.1. Aperçu des modules.....	14
<i>Une table des matières détaillée se trouve au début de ce chapitre.</i>	
3.2. Manuel détaillé pour chaque module.....	36
<i>Une table des matières détaillée se trouve au début de ce chapitre.</i>	

PARTIE 4 : ANNEXES

4.1. Questions fréquemment posées.....	89
4.2. Études médicales de référence.....	93
4.3. Bibliographie.....	105

Une brève histoire de BioCoherence

Nous sommes à l'été 2024 et la première version publique de BioCoherence va bientôt être lancée. Comment en est-on arrivé là, avec ce logiciel sorti de ma tête, présentant à ce jour plus de 1400 biomarqueurs exclusifs, 40 écrans, une analyse de scan d'un électrocardiogramme et de tests avec biofeedback en direct, ainsi qu'un module de rééquilibrage ?

Revenons un peu en arrière, sur deux chemins convergents.

Notre premier contact avec les appareils de bilan et de soins énergétiques remonte à 2011. Nous sommes mariés avec Christine et avons 3 enfants. Cette année-là, notre seconde fille Isis, encore intolérante au gluten à cette époque, devait rentrer au collège. Alors que nous habitons encore à Sournia, un tout petit village des Pyrénées (dans le sud de la France), nous cherchions une solution pour qu'elle puisse aller à la cantine. Je vous passe les détails mais quand nous sommes arrivés devant le spécialiste, il nous a dit que la seule solution était une coloscopie. Et que ça ne pouvait de toute façon pas la guérir. On s'est mis alors à chercher une autre solution. Un ami nous a indiqué un type bizarre qui travaillait dans un petit village, et ce type bizarre a fait un bilan complet et une réharmonisation en une séance ; non seulement il avait identifié tous les problèmes en une demi-heure, mais en plus elle était guérie un mois plus tard.

On s'est regardés, avec Christine, et on s'est dit qu'il y avait quelque chose qui clochait dans la médecine. Pourquoi l'hôpital n'avait pas su nous proposer cette solution ? Pourquoi cela restait-il apparemment si confidentiel ? Mais surtout, c'était quoi ce truc ?

Nous avons créé fin 2011 une association avec ce praticien pour essayer de faire des études et de valider ces pratiques, puis un centre de soin, puis un second. Nous sommes finalement entrés en contact avec le fabricant de cet appareil pour le distribuer en France, fin 2012. Nous en avons rencontré d'autres, et fini par établir une distribution solide, un réseau de praticiens, et une école.

Mais pour moi, scientifique, ingénieur, créateur de logiciel, musicien, auteur et surtout créatif compulsif, je ne pouvais pas m'arrêter à un rôle commercial ou administratif. J'avais déjà créé plusieurs sociétés, pour lesquelles j'avais toujours entièrement programmé le système informatique. En fait, j'ai commencé à créer des logiciels vers 10 ans, et vendu mes premiers vers 15. J'ai ensuite étudié les sciences et fait une école d'ingénieur du son, puis créé une agence web avec Christine en 1996, et encore plusieurs start-ups. Pour revenir aux appareils de soins que nous distribuons, en tant que concepteur, il me taraudait de pouvoir contribuer à cet élan novateur au niveau de la conception de ces systèmes de bilans et de soins que j'ai beaucoup expérimentés et que je comprends bien.

Ce premier chemin, c'est donc la science, l'informatique, l'entreprise aussi, et leurs applications à la santé.

Mais ce n'est pas le seul itinéraire qui a abouti à BioCoherence aujourd'hui.

L'autre chemin, c'est la méditation.

Vers 11 ou 12 ans, j'étais passionné de magie — disons plutôt, de prestidigitation. Je pouvais passer la journée dans les magasins parisiens de magie, à rencontrer tous les clients (des professionnels du spectacle). — tiens, j'ai aussi créé, fabriqué et vendu un tour à un magasin, je dois bien avoir 13 ans ... — Et c'est là que j'ai rencontré Pierre, un pro de la magie qui travaillait dans le monde entier. Nous sommes devenus très amis. Et Pierre faisait, depuis tout petit, des « sorties de corps », ou « voyages astraux », ce qui me fascina. Je n'en avais jamais entendu parler. Il me donna quelques livres sur le sujet et m'en parla comme quelque chose d'entièrement naturel pour lui, puis nous nous sommes perdus de vue après quelques temps.

Depuis lors, il me paraissait naturel qu'un monde bien plus vaste existait au-delà du voile des apparences. Mais comment, à Paris, à une époque hyper matérialiste, dans une famille qui n'y connaissait rien, creuser la question ?

Les années passèrent ; cela resta un sujet de discussion privilégié et passionnant, une source de curiosité, sans plus. On essaya la méditation, adolescent puis adulte, sans grand succès. Puis la vie se construisit dans l'ici et maintenant, avec ses exigences.

Retour en 2011, année charnière, convergence des chemins. Pendant qu'Isis entamait sa guérison, on nous indique un médecin de famille à Perpignan. Il voit les choses différemment. Certes, allons-y. Je parle avec lui de tout et de rien, et le sujet de la méditation revient sur la table ; je lui dis que j'avais essayé de faire des sorties de corps sans grand succès. Il me répond qu'il connaît une technique à base de sons avec des fréquences différentes dans les oreilles, sans en savoir beaucoup plus. Mais le son, ça me parle... je cherche et découvre les battements binauraux. Et à partir de là, les progrès, si fastidieux jusque-là, s'accélérent grandement. En quelques mois, l'univers s'étend, vers l'intérieur comme vers l'extérieur. Depuis cette année charnière, tout se réorganise autour de nous.

Je commence alors une série d'interviews pour un projet de film, « en réalité ». Je rencontre et filme une quarantaine de personnes passionnantes. Je finis par créer une maison d'éditions en français pour traduire leurs livres, et publie une vingtaine d'ouvrages à ce jour.

Christine, de son côté et à sa grande surprise, devient clairvoyante. Elle est bien bonne, celle-là. Ah, et ma fille aussi, tiens donc. En bon scientifique, je fais quelques protocoles de validation tout de même. Tout cela a l'air bien réel, ok, admettons. Cette année-

là, après 7 ans en quasi-autarcie familiale à la montagne (nous étions partis de Paris en 2004 pour construire nous-même la maison que Christine avait dessinée), Disneyland débarque en force. Et le monde s'élargit encore. La maison se remplit d'êtres tous plus fantastiques les uns que les autres. Fou mais anecdote après anecdote, il devient impossible de ne pas croire dans cette nouvelle réalité.

Voilà les deux chemins qui se rejoignent ; d'une part, les appareils et logiciels de bilan et de soins énergétiques, avec leurs possibilités fabuleuses mais leurs différentes limites et frustrations ; de l'autre, la méditation, le développement personnel intérieur, l'élargissement des limites du monde, et l'immense puissance du pouvoir sur soi-même et de la conscience de sa propre responsabilité.

Alors, en 2017, j'opère une première alliance des deux, et je commence un projet d'application de méditation, voulu comme une plate-forme pour des créateurs ; trop compliquée, jamais finie. En 2018, je crée une application de génération de sons type battements binauraux et autres, pour accompagner des méditations ; trop compliquée, jamais finie. Je commence à voir un schéma récurrent. Je n'en suis pas à mon premier logiciel trop compliqué et jamais fini. OK, on réécrit tout, et on simplifie : Ah, gagné ! en 2021, on présente dans notre école une première application moins compliquée et - hurra ! - finie : 33, méditations guidées, basée sur les 2 premiers livres de Christine.

Reste un détail : je veux offrir plus. Je veux obtenir un système de mesure fiable pour choisir et, pourquoi pas, adapter, les méditations. Un détail, disais-je, qui m'a finalement pris 3 ans. En 2022, je peux présenter à notre Masterclass un premier outil basé sur la mesure d'un électrocardiogramme. En 2023, après plus d'un an de travail, l'interface se pare de nombreuses visualisations et de nouveaux écrans sont créés. Encore 6 mois de recherches et on arrive, en avril 2024, avec un logiciel qui a soif d'interactions...

Pour arriver à cette première version, j'ai sélectionné de manière drastique (et fort douloureuse comme vous pouvez l'imaginer) les idées à implémenter. Mais, depuis presque 40 ans que je crée, j'ai finalement compris qu'il ne sert à rien de créer pour créer ; il faut créer pour partager. Et pour cela, j'ai dû passer du temps — bien plus que ce que j'aurais pensé — pour rendre ce logiciel facile à appréhender. J'y suis arrivé, même s'il me reste la frustration de tout ce qui n'y existe pas encore. Vous pouvez compter sur moi pour continuer à incorporer et partager des idées et des outils, et je ferai en sorte qu'ils soient toujours beaux, faciles et intuitifs pour vous.

Médéric Degoy, concepteur du logiciel BioCoherence.

Construire des ponts

Plusieurs concepts clés ont présidé à la conception générale de BioCoherence. Il est important d'en avoir une idée générale, car ils guident toute la logique sous-jacente.

Tout notre travail est de construire des ponts entre des domaines souvent décorrélés. Parmi ceux-ci, abordons : la cybernétique ; la théorie systémique ; l'énergie, l'entropie et la négentropie ; l'émergence ; l'heuristique ; la synchronicité ; l'ergodicité ; la théorie des ressources ; la théorie des cascades ; l'embryogenèse ; la théorie de la prologie ; le principe de résonance ; le principe de cohérence ; les ondes d'échelle ; les cristaux temporels ; la relation corps-esprit ; la relation matière-énergie-information-signification ; l'entropie physique et l'entropie d'information ; l'inconscient et les archétypes.

Sauf mention contraire, les citations sont issues de Wikipedia.

La cybernétique

« *la science générale de la régulation et des communications dans les systèmes naturels et artificiels.* »

« La cybernétique est l'étude des mécanismes d'information des systèmes complexes. Les contours de cet ensemble de recherches s'articulent autour du concept clé de rétroaction (en anglais feedback) ou *mécanisme téléologique*. Leur but était de donner une vision unifiée des domaines naissants (entre 1942 et 1953) de l'automatique, de l'électronique et de la théorie mathématique de l'information, en tant que « théorie entière de la commande et de la communication, aussi bien chez l'animal que dans la machine ».

Formalisée par Norbert Wiener, la cybernétique est à l'origine, entre autres, des thérapies systémiques de l'école de Palo Alto, ou encore des théories biologiques de l'auto-organisation. »

Notes intéressantes :

- « En 1894, Ludwig Boltzmann fait le lien entre l'entropie et l'information en remarquant que l'entropie est liée à de l'information à laquelle on n'a pas accès. »
- « La physiologie lui a également apporté de nombreux éléments. Par exemple, le principe d'homéostasie, mis en évidence par Claude Bernard. »
- « La cybernétique est aussi une suite de la phénoménologie, en tant qu'elle ausculte les phénomènes pour en saisir l'autonomie et la particularité, notamment par la forme pour ensuite passer à un autre type d'analyse : modélisation, mécanique... »
- « Le feedback est mis en évidence par cette approche car il est indispensable pour concevoir une logique d'autorégulation. On voit donc émerger des boucles de rétroaction, mécanismes circulaires qui mettent en évidence des systèmes. »
- « On emploiera bientôt également le terme d'émergence pour désigner non seulement les nouvelles formes, mais aussi les propriétés et processus nouveaux qui apparaissent lors de la réorganisation spontanée d'un système. Ce type de phénomène met parfois en jeu, plus qu'une réorganisation du système, une organisation à un degré supérieur de complexité. »
- « Dans la cybernétique de deuxième ordre, l'observateur s'inclut lui-même dans le système observé. »

La cybernétique est à la racine de l'écologie, la psychanalyse, les sciences de l'information, la systémique, les sciences cognitives, l'intelligence artificielle, internet...

Application dans BioCoherence

Dans l'entière du logiciel à tous ses niveaux, du plus profond (l'existence même de l'ordinateur ; du système d'exploitation ; et d'internet) au plus affleurant (la logique systémique, l'analyse de niveau 1, 2 et 3 et l'émergence de nouvelles propriétés, la mise en relation de tous les éléments, les calculs de liens et de résonances).

Le principe de rétroaction est au coeur du logiciel, en particulier dans les mesures avec biofeedback.

Point intéressant, la cybernétique se concentre sur les restrictions, les contraintes d'un système. Cela donne des indications sur les choix possibles. Mais le principe d'équifinalité stipule qu'il est possible d'arriver à un but par de nombreux chemins différents.

La théorie systémique

« La systémique est une manière de définir, étudier, ou expliquer tout type de phénomène, qui consiste avant tout à considérer ce phénomène comme un système : un ensemble complexe d'interactions, souvent entre sous-systèmes, le tout au sein d'un système »

plus grand. Elle se distingue des approches traditionnelles qui s'attachent à découper un système en parties sans considérer le fonctionnement et l'activité de l'ensemble, c'est-à-dire le système global lui-même.

La systémique privilégie ainsi une approche globale, macroscopique, holistique ou synthétique ; elle observe et étudie un système selon diverses perspectives et à différents niveaux d'organisation ; et surtout elle prend en compte les diverses interactions existantes entre les parties du système.

Apparue progressivement au milieu du XXe siècle, la systémique s'est construite en opposition à la tradition analytique cartésienne et à d'autres formes de réductionnisme, qui tendent à découper le tout en parties indépendantes et montraient leurs limites dans la compréhension de la réalité. »

Notes intéressantes :

- « Le concept essentiel est sans doute ici celui de régulation, tel qu'il est défini à travers la notion de boucle de rétroaction. »
« L'interaction (ou l'interrelation) renvoie à l'idée d'une causalité non linéaire. Ce concept est essentiel pour comprendre la coévolution et la symbiose en biologie. Une forme particulière d'interaction est la rétroaction (ou feedback) dont l'étude est au centre des travaux de la cybernétique. »
- « La totalité (ou la globalité). Si un système est d'abord un ensemble d'éléments, il ne s'y réduit pas. Selon la formule consacrée, le tout est plus que la somme de ses parties. »
- « L'organisation est le concept central pour comprendre ce qu'est un système. L'organisation est l'agencement d'une totalité en fonction de la répartition de ses éléments en niveaux hiérarchiques. Selon son degré d'organisation, une totalité n'aura pas les mêmes propriétés. On arrive ainsi à cette idée que **les propriétés d'une totalité dépendent moins de la nature et du nombre d'éléments qu'ils contiennent que des relations qui s'instaurent entre eux.** » « un système ouvert est un système qui, à travers ses échanges de matière, d'énergie et d'information, manifeste la capacité de s'auto-organiser. »
- En tant que les systèmes ouverts, les êtres vivants sont capables de créer des boucles de négentropie (c'est à dire, de diminuer l'entropie, de créer un ordre supérieur).
- Concernant « le système dynamique, la première idée caractérisant ce champ est que, derrière l'apparent désordre, se cache un ordre plus complexe que l'ordre visible. La deuxième idée est que cet ordre se produit par auto-organisation et émergence de nouvelles caractéristiques et propriétés absentes auparavant. »

Application dans BioCoherence

- la mise en évidence des liens entre éléments qui sont aussi, voire plus importants que l'évaluation des éléments eux-mêmes.

L'émergence

« L'émergence est un concept philosophique qui peut être grossièrement résumé par l'adage : « le tout est plus que la somme des parties ». Il s'oppose au réductionnisme comme aux doctrines dualistes (dualisme ou vitalisme).

Une propriété peut être qualifiée d'émergente si elle « découle » de propriétés plus fondamentales tout en demeurant « nouvelle » ou « irréductible » à celles-ci. Ainsi, John Stuart Mill constate que les propriétés de l'eau ne sont pas réductibles à celles de l'hydrogène ou de l'oxygène. »

Points intéressants :

- « On parle parfois d'« émergence synchronique » dans le contexte des relations entre les niveaux micro et macro d'un système. Dans ce cas, l'émergence implique une irréductibilité conceptuelle : les propriétés et lois émergentes sont des caractéristiques systémiques de systèmes complexes régis par des lois qui ne sont pas réductibles à celles qui qualifient les rapports entre des composants de plus petite échelle. »

Application dans BioCoherence

- la logique d'émergence : l'analyse se fait en plusieurs étapes, chacune révélant des propriétés de niveau supérieur, inexistantes au niveau inférieur. Au stade ultime, on trouvera les ressources.

L'énergie

« L'énergie est un concept relié à ceux d'action, de force et de durée : la mise en oeuvre d'une action nécessite de maintenir une certaine force pendant une durée suffisante, pour vaincre les inerties et résistances qui s'opposent à ce changement. »

Application dans BioCoherence

On mesure l'énergie d'un biomarqueur de différentes manières selon le type de biomarqueur ; placé dans une échelle de minimum/maximum propre à chaque biomarqueur, cela devient l'axe vertical de la fleur.

L'entropie

Voilà un concept à la fois clair et complexe, mais surtout un terme qui explique des choses assez différentes selon le champ.

- Pour les physiciens, l'entropie c'est l'agitation, le désordre.
- Pour la théorie de l'information, l'entropie c'est la mesure de la quantité brute possibles d'informations différentes.
- Pour l'informatique, c'est en gros le champ des possibles d'une information, la taille de l'espace.

On peut synthétiser le concept d'entropie comme étant proportionnelle au désordre d'un système ; son contraire, la négentropie, est donc proportionnel au degré d'ordre d'un système.

Application dans BioCoherence

On mesure la variation à différents niveaux des biomarqueurs pour le déduire un facteur d'agitation, qui constituera l'axe horizontal de la fleur.

La théorie des ressources

Développée par Christine Degoy, la théorie des ressources postule qu'il existe dans chaque système vivant des parties parfaitement accomplies qui nourrissent d'autres parties. Dans une logique de système, il s'agit de parties ressources, en lien actif avec d'autres sous-systèmes en besoin.

Christine a identifié des ressources à tous les niveaux : organique, psychologique, énergétique, ou encore non-physiques (c'est à dire, faits d'une matière en interaction avec le système global mais ne répondant pas aux mêmes lois physiques que la matière habituelle).

Application dans BioCoherence

Élément de niveau émergent le plus supérieur, l'identification des ressources permet de construire un plan cohérent concernant les priorités à traiter, en s'appuyant sur elles pour optimiser le système général.

La théorie des cascades

Dans la lignée du principe de la recherche des causes originelles des maladies Paul Schmidt, puis développée par Philippe Matza, la théorie des cascades s'inscrit dans la logique systémique. Elle postule qu'un organe ou un système en souffrance fait partie d'une chaîne de causalités et d'interrelations énergétiques, et qu'il faut remonter cette chaîne pour une thérapie efficace.

Application dans BioCoherence

En identifiant les liens et les systèmes en cohérence, BioCoherence permet de reconstruire des chaînes causales complètes et d'agir à la source des dérèglements. Mais on étend ici le concept de chaîne causale à des chaînes multiples, et au fait qu'un système dont les éléments sont en cohérence aura besoin d'une intervention simultanée à tous les niveaux pour rééquilibrer durablement ses éléments.

L'embryogenèse

« Lors de la formation de l'embryon, les cellules s'organisent en feuillets de cellules, qui se distinguent les uns des autres : le feuillet extérieur s'appelle alors ectoderme, et le feuillet intérieur, endoderme. Le feuillet intermédiaire forme un tissu appelé mésoderme. Chez les mammifères, chaque feuillet aura une destinée différente : l'endoderme produit le tube digestif et ses glandes annexes (pancréas) ; le mésoderme produit les muscles, le squelette, les vaisseaux sanguins ;

l'ectoderme produit l'épiderme et le système nerveux. »

Application dans BioCoherence

On postule que ces éléments restent liés dans l'organisme adulte par des résonances particulières et on tient compte de 8 corpus développés par Christine Degoy qui sont formés d'éléments en liaison par leur origine embryonnaire. Ces relations sont ensuite intégrées dans une interprétation des résultats.

La théorie de la prologie

Extrait de *Prologie, retrouver le sens de la vie*, par Christine Degoy :

« Il s'agit d'une approche unifiée à la fois du soin et de l'épanouissement. De nature intégrative et transverse, elle peut être qualifiée de systémique, orientée vers la mise en résonance de toutes les composantes de la personne comme autant de ressources disponibles mises en synergie. »

La prologie offre un changement de paradigme complet, intégrant le corps comme un levier puissant d'épanouissement, et ce même au cœur de la maladie. Ses principes forts sont basés sur le projet de vie associé à l'approche systémique, illustrés par la thèse suivante : « **Chaque être humain est un système ayant un projet et tout ce qui le constitue est conçu pour réaliser cet objectif.** »

La prologie a permis d'élaborer une cartographie du corps humain en matière d'accompagnement du projet personnel, et de découvrir une organisation temporelle de plages successives dans la croissance de la maturité et de la maîtrise de sa vie.

La cartographie élaborée sur la base de l'embryologie combinée aux trois piliers de la nature humaine que sont la volonté l'amour et la sagesse, donne naissance à une compréhension nouvelle des maladies. En effet, le décodage prologique place la maladie comme une transformation du système et non comme un échec. Lorsque le système matière-énergie-information de l'être humain nécessite des améliorations pour continuer à avancer, il profite de chaque opportunité d'évolution pour modifier et développer des compétences et des comportements, des besoins et des envies ainsi que des visions de la vie et du monde qui l'entoure.

Chaque organe joue un rôle dans l'accomplissement du projet de vie de chacun et se met à jour avec plus ou moins de discrétion selon l'ampleur de la transformation attendue pour évoluer.

Les objectifs d'une approche prologique sont de retrouver l'équilibre, l'énergie et le confort, dans le respect de son projet de vie afin de s'accomplir dans sa globalité.

Application dans BioCoherence

Le logiciel permet une évaluation complète et une identification des problématiques et des transformations en cours en résonance avec le projet de vie. Il s'agit d'une lecture positive basée sur l'objectif et la libération de l'énergie, à l'opposé de celle du décodage biologique, basé sur le conflit et le frein.

Le principe de résonance

« La résonance est un phénomène selon lequel certains systèmes physiques (électriques, mécaniques, etc.) sont sensibles à certaines fréquences. Un système résonant peut accumuler une énergie, si celle-ci est appliquée sous forme périodique, et proche d'une fréquence dite « fréquence de résonance ». »

Application dans BioCoherence

Lors des méditations audio, des sons ou séquences de sons émis à des fréquences particulières vont venir ébranler des structures organiques ou mentales particulières.

Le principe de cohérence

« La cohérence en physique est l'ensemble des propriétés de corrélation d'un système ondulatoire. On peut parler de cohérence entre 2 ondes, entre les valeurs d'une même onde à deux instants différents (cohérence temporelle) ou entre les valeurs d'une même onde à deux endroits différents (cohérence spatiale). Exemples de faisceau cohérent : la lumière laser. »

Les battements binauraux

« Le battement binaural est un son apparent dont la perception apparaît dans le cerveau en raison d'un stimulus physique spécifique. Cet effet a été découvert en 1839 par Heinrich Wilhelm Dove.

Le cerveau produit un phénomène perçu comme des pulsations de basse fréquence du volume sonore, lorsque deux sons de fréquences légèrement différentes sont présentés indépendamment à chaque oreille du sujet. Si la différence entre les deux fréquences est de 4 hertz, le sujet entendra 4 battements par seconde. »

Application dans BioCoherence

Lors des méditations audio, des battements binauraux spécifiques sont intégrés en fonction des priorités à traiter. Ceux-ci permettent d'entraîner le cerveau sur des fréquences particulières dans les gammes alpha, beta, gamma ou theta.

Les ondes d'échelle

Je cite Marc Henry¹ qui explique qu'il existe « une cinquième dimension d'échelle, autonome par rapport aux trois dimensions spatiales et à la dimension temporelle. Cette nouvelle dimension permet de situer à quelle échelle de taille opère le phénomène spatio-temporel observé ou mesuré. Mais, s'il y a une nouvelle dimension, il y a nécessairement des ondes qui peuvent s'y propager. Ce sont, bien sûr, ce sont nos ondes d'échelle. Leur rôle est d'assurer la cohérence entre les différentes échelles de description et de manifestation d'un même objet physique. Ces ondes d'échelle n'apparaissent pas dans les traités de physique quantique ou relativiste académiques. Elles nous sont pourtant bien familières. Il suffit d'accepter de se poser la question de savoir comment un individu arrive à reconnaître les différentes parties qui le constitue. Grâce aux ondes d'échelle, un même individu peut ressentir son unité, quelle que soit l'échelle qu'il utilise pour se décrire. »

Les ondes d'échelles ont été théorisées par Joël Sternheimer, qui en a fait une application pratique avec les Protéodies.

Les cristaux temporels

« Un cristal temporel est une structure périodique dans le temps et l'espace. Il étend l'idée de cristal dans la dimension temporelle. L'idée d'une telle structure a été proposée par Frank Wilczek en 2012. Selon ce dernier, il est possible de concevoir une structure composée d'un groupe de particules se déplaçant et retournant périodiquement à leur état d'origine, qui formeraient un « cristal temporel ». L'expression est forgée à partir de ce qui est observé dans un cristal « classique », dont la structure atomique montre une répétition d'un motif dans les différentes directions de l'espace. Dans un cristal temporel, en revanche, la répétition du motif se fait de manière périodique dans le temps, à la manière d'un oscillateur. seule une excitation périodique externe peut faire apparaître un cristal temporel, **qui absorbe de l'énergie.** »

Application dans BioCoherence

Une fois identifiés les liens entre éléments, il est possible d'identifier les schémas récurrents. L'idée est que ces schémas (qui peuvent être des successions de pensées, mouvements, douleurs, mal-fonctionnements divers...) forment des structures qui absorbent sans cesse l'énergie du système général pour perpétuer leur mouvement. Les algorithmes du logiciel permettent de trouver des points nodaux particuliers pour briser la répétition.

La relation corps-esprit

« La notion de survenance a été introduite sur le terrain de la philosophie de l'esprit dans les années 1960 par Donald Davidson afin de concilier les idées apparemment contradictoires de dépendance systématique et d'irréductibilité de l'esprit par rapport au corps. Lorsqu'une propriété de type B (par exemple mentale) survient sur une propriété de type A (par exemple physique), tout changement du type B équivaut à un changement du type A. Ainsi, lorsqu'il y a survenance, il ne peut y avoir une différence d'une certaine sorte sans une différence d'une autre sorte à un autre niveau de description. Il y a donc relation de covariation entre ces deux niveaux. »

« D'après Simon Blackburn, il manque à la conception physique contemporaine de la nature des propriétés qualitatives telles que les couleurs, les douleurs, et tout ce qui constitue l'aspect qualitatif de notre expérience du monde. »

« Certains philosophes panpsychistes, comme Galen Strawson, soutiennent dans cette perspective que tous les objets physiques sont en fait des propriétés mentales analogues aux propriétés de l'expérience vécue. »

1. <https://marchenry.org/2014/09/15/ondes-dechelle/>

La relation matière-énergie-information-signification ; l'entropie physique, énergétique, d'information et de signification

Pour revenir à « l'aspect qualitatif de notre expérience du monde », prenons de la hauteur sur la matière :

- la matière est constituée à la fois d'ondes et de particules. On peut la décrire comme matérielle (des particules) ou énergétique (des ondes). En réalité, il s'agit d'ondes stationnaires refermées sur elles-mêmes et qui créent leur propre champ magnétique, à la manière d'une corde de guitare repliée sur elle-même. Ainsi, elles créent de ...

- l'énergie, qui est stockée ou circule. Elle peut s'échanger, mais n'est pas en elle-même négative ou positive : elle ne représente qu'un échange de potentiel énergétique dans un sens ou dans l'autre. Par contre, elle porte ...

- l'information, qui est encodée sur l'énergie ou la matière, et qui représente les symboles de ...

- la signification, qui est ultimement la seule chose importante pour nous, êtres de conscience.

Cela remet en perspective la notion d'entropie. Au niveau de la matière, l'entropie est l'agitation, soit le potentiel énergétique. Au niveau de l'information, l'entropie est la quantité possible d'informations transmises sur le support (l'énergie ou la matière). Mais au niveau ultime de la signification, l'entropie est la quantité d'information significative effectivement transmissible.

Par exemple : imaginons un bouton qui déclenche une bombe nucléaire. Au niveau de l'information, un seul bit d'information suffit pour déclencher la bombe. Au niveau de la matière et de l'énergie, l'effet est gigantesque mais localisé. Et au niveau de la signification, il dépend de la cible : une ville (effet énorme dans l'espace et dans le temps), ou un tunnel de test (effet limité au résultat de l'expérience) ? Ainsi, les quantités d'entropie peuvent être radicalement différentes à ces différents niveaux, pour une même action.

Les synchronicités

« Parfois, nous pensons que l'univers nous envoie des signes lorsque les coïncidences qui semblent incroyables arrivent. Mais, pour Jung, c'est de la synchronicité, ce que l'on pourrait définir comme la simultanéité de différents événements liés par un sens qui n'est pas celui du hasard. C'est-à-dire que cette science singulière peut être résumée en une coïncidence temporelle d'une série d'événements (deux ou plus) qui, même s'il sont liés entre eux, ne sont pas liés par un lien de cause à effet. Cependant, il existe un lien de contenu. »

« selon Jung, lorsque nous parlons de synchronicité, nous nous référons à l'union des événements intérieurs et extérieurs. Ainsi, l'individu qui vit ces événements trouve du sens à l'unification de ceux-ci. Jung établissait la synchronicité ou l'occurrence comme une recherche de modèles reconnaissables. »

Application dans BioCoherence

La reconnaissance de schémas fait partie intégrale de notre manière d'appréhender le monde. Les synchronicités sont alors comprises comme une émergence de sens lors de la confrontation d'événements à priori non reliés. C'est cette liaison par le sens, par la signification, qui fait émerger la signification de l'information. Cette relation émergente est mise en évidence par le calcul des liens entre les biomarqueurs. A l'extrême, les systèmes en cohérence indiquent l'équivalent des synchronicités, c'est-à-dire l'émergence d'un sens de niveau supérieur.

La sémantique générale

« La sémantique générale propose pour tous, une forme de pensée non aristotélicienne, élaborée initialement par Alfred Korzybski.

La sémantique générale cherche à étendre le cadre de la sémantique classique (étude de la signification des termes du vocabulaire et des modifications qu'elle peut subir). Korzybski entendait conceptualiser une logique correspondant aussi au niveau d'évolution scientifique de son époque, permettant selon lui de résoudre plus efficacement les problèmes humains qu'avec les logiques précédentes d'Aristote et Descartes et des physiques aristotélicienne et newtonienne. Ces logiques conceptualisées de l'Antiquité jusqu'au XVIIe siècle, Korzybski ne les considérait plus efficaces pour décrire et traiter les problèmes propres aux découvertes de son siècle. Korzybski l'appliqua en psychiatrie, Henri Laborit en biologie (théorie de l'inhibition de l'action) et agrossologie (étude des réactions des organismes vivants en condition d'agression).

Korzybski explique, dans *Science and Sanity*, voir une correspondance entre cette logique non aristotélicienne et deux révolutions scientifiques du XXe siècle, la physique quantique et la théorie de la relativité¹. Il fait observer que la première bouleverse les catégories habituelles de la raison, et que la seconde introduit une physique « non newtonienne » et une géométrie « non

euclidienne »2. Comme celles-ci, le "non" de non-Aristotélicien ne doit pas être compris comme une négation, mais comme une généralisation et dépassement de la logique aristotélicienne, tout en incluant celle-ci, et le mot "générale" compris dans le même sens que relativité générale3. Par analogie avec la physique quantique, Korzybski affirme que l'observateur fait partie intégrante de la représentation du réel et que cela doit être pris en compte dans la sémantique générale ».

Application dans BioCoherence

Tout est sens. C'est le niveau ultime d'abstraction de la chaîne matière - énergie - information - signification. C'est ce que les algorithmes développés pour BioCoherence cherchent à mettre en évidence.

L'heuristique

« L'heuristique est « l'art d'inventer, de faire des découvertes » en résolvant des problèmes à partir de connaissances incomplètes. Ce type d'analyse permet d'aboutir en un temps limité à des solutions acceptables. Celles-ci peuvent s'écarter de la solution optimale. Pour Daniel Kahneman, c'est une procédure qui aide à trouver des réponses adéquates, bien que souvent imparfaites, à des questions difficiles. »

Application dans BioCoherence

L'heuristique est la « discipline qui se propose de dégager les règles ». Il s'agit, ici encore, de reconnaître des schémas, et la mise en évidence des liens permet de regarder l'organisation générale et non l'état particulier d'un élément du système.

L'ergodicité

« Il y a ergodicité si plusieurs analyses statistiques différentes et séparées sur un même sujet produisent un résultat suffisamment comparable. La théorie a connu de nombreux développements en relation étroite avec la théorie des systèmes dynamiques et la théorie du chaos. »

Application dans BioCoherence

La reconnaissance de schémas fait partie intégrante de l'analyse, poussée grâce aux progrès récents de l'apprentissage profond et des réseaux neuronaux.

L'irréductibilité de calcul

« L'irréductibilité de calcul est l'une des principales idées proposées par Stephen Wolfram dans son livre *A New Kind of Science* (2002).

De nombreux systèmes physiques sont suffisamment complexes pour ne pas pouvoir être mesurés efficacement. Même les programmes les plus simples présentent une grande diversité de comportements. Par conséquent, aucun modèle ne peut prédire, en utilisant uniquement les conditions initiales, ce qui se passera exactement dans un système physique donné avant qu'une expérience ne soit menée. En raison de ce problème d'irréductibilité dans le langage formel de l'informatique, Wolfram appelle cette incapacité à "raccourcir" un système (ou "programme"), ou à décrire son comportement d'une manière simple, "irréductibilité de calcul". Cette idée démontre qu'il existe des cas où les prédictions de la théorie sont effectivement impossibles. Wolfram affirme que plusieurs phénomènes sont normalement irréductibles sur le plan informatique.

L'irréductibilité informatique explique les limites observées de la science dominante existante. Dans les cas d'irréductibilité informatique, seules l'observation et l'expérience peuvent être utilisées. »

Application dans BioCoherence

Ce concept explique, par exemple, pourquoi la vie se déroule comme elle le fait. Admettons que nous vivons dans une simulation, comme si nous étions les personnages d'un jeu vidéo : pourquoi s'embêter à vivre toutes les expériences que nous vivons ? Pourquoi ne pas sauter directement à la conclusion ? Parce que, d'après ce principe, il est impossible de sauter à la conclusion, nous sommes obligés de passer par toutes les étapes de l'événement afin de connaître son épilogue. Il faut « jouer la partie » car personne ne peut dire comment elle va finir sans l'avoir jouée en entier.

D'après moi, cela explique la plupart des questions complexes posées par le mysticisme et les questions existentielles. Admettons que la métempsychose (la réincarnation) soit vraie. Alors, pourquoi le Karma ? Tout simplement parce qu'il est important de calculer toutes les options possibles, et que le meilleur système pour calculer ces options est un système qui a connaissance des alternatives. Dans cette perspective, le Karma n'est pas un outil de vengeance mais de connaissance transverse des conséquences possibles, impossibles à prédire, d'un événement donné. La vie nous propose alors des situations similaires mais d'un point de vue différent, et charge à nous d'en passer les étapes en conscience et d'en observer le résultat. Dans cette vision, il n'existe pas de fatalité ou d'événement impossible à éviter ; la seule réalité, c'est celle des décisions qu'on prend face aux événements qu'on nous présente, mais la conclusion est impossible à prédire avant qu'on ait pris nos décisions. En réalité, notre vie est entièrement entre nos mains.

L'inconscient, l'inconscient collectif et les archétypes

« L'archétype est un concept appartenant à la psychologie analytique élaborée par le psychiatre suisse Carl Gustav Jung (1875-1961) qui le définit par la tendance humaine à utiliser une même « forme de représentation donnée a priori » renfermant un thème universel structurant la psyché, commun à toutes les cultures mais figuré sous des formes symboliques diverses.

L'archétype est pour la psychologie jungienne un processus psychique fondateur des cultures humaines car il exprime les modèles élémentaires de comportements et de représentations issus de l'expérience humaine à toutes les époques de l'histoire, en lien avec un autre concept jungien, celui d'inconscient collectif. »

A propos de l'inconscient, voici une liste d'inventions et de découvertes que les auteurs ont affirmé avoir eu un matin, après un rêve :

- Descartes prétendit que trois rêves distincts qu'il fit le 10 novembre 1619 lui révélèrent les bases d'une nouvelle philosophie, la méthode scientifique. OK, donc la méthode scientifique elle-même provient d'un rêve.
- E. Howe aurait inventé en rêve l'aiguille de la machine à coudre moderne à point noué.
- Le scientifique F.A. Kekulé a découvert la structure chimique apparemment impossible du benzène (C6H6) lorsqu'il a rêvé d'un groupe de serpents avalant leur queue.
- Niels Bohr a reçu le prix Nobel de physique en 1922 pour sa découverte de la structure de l'atome. Il se souvient que les électrons tournant autour du noyau, comme le système solaire, lui sont apparus en rêve.
- Le chimiste russe Dmitri Mendeleïev était épuisé par trois jours d'efforts pour classer les 56 éléments lorsqu'il décida de dormir. "J'ai vu en rêve un tableau où tous les éléments se mettaient en place comme il le fallait. En me réveillant, je l'ai immédiatement écrit sur un morceau de papier", a écrit Mendeleïev dans son journal. "Ce n'est qu'à un seul endroit qu'une correction s'est avérée nécessaire par la suite."
- Le mathématicien indien Srinivasa Ramanujan, connu pour ses contributions substantielles à la théorie des nombres, à l'analyse et à d'autres domaines des mathématiques pures, affirmait que la déesse hindoue Namagiri Thayar lui donnait des aperçus mathématiques dans ses rêves : et que dans ces visions, "des rouleaux contenant les mathématiques les plus compliquées se déroulaient devant ses yeux" : « Soudain, une main s'est mise à écrire sur l'écran. Je suis devenu très attentif. Cette main a écrit un certain nombre d'intégrales elliptiques. Elles me sont restées en tête. Dès que je me suis réveillé, je les ai mises par écrit. »
- Un champ de vaches a inspiré à Albert Einstein sa théorie de la relativité. Dans son rêve, Einstein racontait à un fermier que des vaches étaient entourées d'une clôture électrique, mais le fermier voyait quelque chose de différent. Einstein s'est réveillé en réalisant qu'un même événement pouvait varier selon différentes perspectives, et la théorie de la relativité a commencé à prendre forme.
- Si Charles Darwin est à l'honneur en ce qui concerne la théorie de l'évolution, le scientifique Alfred Russel Wallace n'est pas en reste. Au cours d'une expédition de huit ans dans ce qui est aujourd'hui l'Indonésie, Wallace a collecté et étudié des milliers de spécimens d'animaux. En 1855, Wallace a conclu que les êtres vivants évoluaient, mais il n'a compris comment qu'en 1858, lorsqu'un rêve fiévreux lui a donné la révélation : Les animaux évoluent en s'adaptant à leur environnement.
- Avant les travaux d'Otto Loewi, on se demandait si la neurotransmission était essentiellement chimique ou électrique. La nuit précédant le dimanche de Pâques, Loewi avait rêvé d'un dispositif expérimental parfait : deux chambres contenant des coeurs battants - l'une avec ses nerfs intacts et l'autre sans. Ces chambres seraient remplies d'une solution et reliées par un tube. L'expérimentateur stimule électriquement le premier coeur, ce qui le fait battre plus lentement. Si la neurotransmission est essentiellement électrique, il n'y a aucune raison pour que le second coeur ralentisse. Toutefois, si la neurotransmission est chimique, les substances chimiques pourraient théoriquement flotter dans le tube et ralentir également le deuxième coeur dans l'autre chambre. Loewi note cette idée, mais ne parvient pas à déchiffrer sa propre écriture lorsqu'il se réveille le matin. La nuit suivante, le rêve lui revient. En collaboration avec Henry Dale, Loewi utilisera ce dispositif expérimental pour démontrer la neurotransmission chimique et remportera le prix Nobel en 1936.
- James Watson, qui, avec Francis Crick, a découvert la structure en double hélice de l'ADN - les éléments constitutifs de la vie - a apparemment rêvé d'un escalier en colimaçon, ce qui lui a donné l'idée de la façon dont l'ADN pouvait être construit. Selon d'autres sources, il aurait rêvé de deux serpents entrelacés dont les têtes se trouvaient à des extrémités opposées.
- On ne compte plus les chansons, livres, jeux vidéos ou films dont l'idée était apparue clairement un matin à son auteur.

L'esprit rationnel (rationalité dont le principe provient, rappelons-le, d'un rêve) peut en conclure plusieurs possibilités :

1. Les rêves permettent à l'inventeur de synthétiser ses pensées d'une manière différente du mental. Conclusion : il existe en nous un processus de pensée différent, qui se nourrit de tout ce qu'on a déjà en nous, et qui s'exprime dans les archétypes. L'inconscient est capable de nous apporter des informations intéressantes.

2. Les rêves sont une porte vers une dimension de connaissances différentes. Conclusion : les rêves sont un langage qui nous apporte des informations jusque-là inaccessibles, provenant peut-être d'autres réalités ou d'autres êtres conscients.

Ces deux possibilités ne sont pas mutuellement exclusives. Mais, que le rêve soit une porte vers notre intérieur ou une porte vers une autre réalité, dans les deux cas une conclusion s'impose : le langage du rêve, l'archétype de l'inconscient, est une source valable d'informations et d'évolution pour nos problèmes conscients.

Notre expérience personnelle après maintenant plus de 10 ans de méditation, est que la méditation permet à l'inconscient de mieux communiquer avec le conscient. La méditation entraîne le conscient à mieux écouter la « petite voix » qui ne s'exprime sinon qu'au plus profond des rêves. Nous avons pu constater la force que donne le fait de laisser plus de place à l'inconscient. Ces deux aspects travaillent en collaboration pour une meilleure résolution des problèmes, car ils ont accès à des champs de connaissance très différents.

L'autre conclusion personnelle est que cette communication interne doit s'entraîner comme un muscle. Les premières visions de Christine étaient très floues et peu sûres, mais après des années d'entraînement, elle a développé un « sens » nouveau et aussi concret que les 5 sens habituels. Quelle que soit l'explication de la provenance de ces informations, elles ont été mille fois prouvées aussi tangibles que celles provenant des autres sens. Mais, sans entraînement, il est très difficile de séparer l'illusion de la réalité. Après tout, il nous faut des années pour maîtriser nos 5 sens physiques et leur faire confiance ; ces 5 sens ne font que traduire des stimuli reflétant une réalité du monde extérieur, en un modèle dans nos neurones. Ce que nous avons compris, c'est qu'il existe aussi des sens « subtils » qui traduisent aussi des réalités extérieures concrètes, et qu'il faut entraîner.

Application dans BioCoherence

Les méditations guidées font appels à différents archétypes pour mettre en action l'inconscient et le conscient dans la résolution des problèmes, et dans le développement personnel intérieur.

La vraie cohérence cardiaque

Dan Winter définit la vraie cohérence cardiaque par l'apparition d'une cascade de pics dans la partie « harmonie » de l'analyse (c'est à dire, une FFT de 2^e ordre). Une FFT ou transformée de Fourier permet d'extraire les fréquences d'un signal. Une FFT de 2^e ordre permet d'en extraire les fréquences harmonieuses musicalement. Ainsi, cette opération mathématique permet de détecter qu'une majorité claire des fréquences présentes dans un électrocardiogramme sont harmonieuses les unes avec les autres ; il nomme cela la « vraie cohérence cardiaque ».

Ce pic dans la partie « harmonie » peut se trouver à plusieurs fréquences, et il a été identifié des bandes de fréquences de ce pic qui correspondent à des émotions fondamentales au moment de l'enregistrement.

Fractalité, compression et conjugaison de phase

« un nombre infini d'états est comprimé au maximum lorsque le rapport entre les fréquences est une puissance du nombre d'or. » ([gsjournal](#)²)

La compression est ici définie comme le maximum d'addition des fréquences (ayant donc des phases constructives - conjuguées - entre elles), obtenue si les fréquences sont des multiples du nombre d'or entre elles.

La fractalité concerne le fait de retrouver des structures similaires à différentes échelles.

Les mesures Elfie

Dan Winter, encore lui, a théorisé une équation fondamentale d'« implosion » optimale de l'énergie ; cette équation prédit un grand nombre de fréquences de résonance trouvées dans l'univers. J'ai nommé la grandeur correspondante « Elfie » en hommage, d'une part aux Elfes (et en particulier à l'architecture elfique) et, d'autre part, à l'équitation elle-même : $n \text{ Elfie} = L_p \times \text{Phi}^n$, c'est à dire la longueur de Planck (la plus petite longueur mesurable dans l'univers) multipliée n fois par le nombre d'or.

Ainsi, l'échelle en Elfie est non seulement proportionnelle au nombre d'or, mais aussi comprend des valeurs données pour les Elfie entiers. On retrouve dans ces valeurs entières de nombreuses grandeurs connues, en longueur, temps, ou fréquence. Voir [Elfie.link](#)³ pour plus d'informations.

2. <https://www.gsjournal.net/Science-Journals/Research-Papers-Quantum-Theory/Particle-Physics/Download/4543>

3. <https://elfie.link>

3.1.

Aperçu général des modules

- BioCoherence **Scan** est un module d'analyse complet allant d'un électrocardiogramme brut à plusieurs dizaines de cartes, de graphiques et de moyens explicites de calculer et d'interpréter les biomarqueurs.
- BioCoherence **Test** est un moyen ouvert d'évaluer des listes d'éléments à partir de l'évolution en direct du pouls (biofeedback).
- BioCoherence **Balance** permet d'identifier les ressources et de choisir les priorités, et de créer des rapports PDF et des méditations personnalisées sur cette base.

Sommaire

1.	Les modules pour Équilibrer	17
1.1.	Ressources	17
1.2.	Priorités.....	17
1.3.	Rapport PDF.....	18
1.4.	Équilibrer : la méditation sur mesure	18
2.	Scan : biomarqueurs et analyse technique	20
2.1.	Module de graphique temporel.....	20
2.2.	Module des biomarqueurs	20
3.	Scan : cartes des organes.....	22
3.1.	Causes principales : l'énergie.....	22
3.2.	Causes notables : l'entropie	23
3.3.	Systèmes notables : cohérence	23
3.4.	Cerveau.....	23
3.5.	Système cardio-vasculaire	24
3.6.	Système digestif.....	24
3.7.	Membranes	24
3.8.	Vertèbres.....	25
3.9.	Système nerveux.....	25
3.10.	Dents.....	25
3.11.	Appareil locomoteur	26
3.12.	Système respiratoire	26
3.13.	Organes génitaux féminins	26
3.14.	Organes génitaux masculins	27
4.	Scan : Méridiens, points et recettes de MTC.....	28
4.1.	Méridien de la vessie avec liens	28
4.2.	Méridiens par énergie, avec les problèmes communs liés.....	28
4.3.	Points MTC	29
4.4.	Recettes MTC, par cohérence.....	29
5.	Scan : Les modules Énergie	30
5.1.	Ayurveda : Doshas et sous-doshas	30
5.2.	Graphiques énergétiques : chakras, plans, horloge et élan	30
5.3.	Graphiques énergétiques : le micro-monde	31
6.	Scan : le module Esprit.....	32
6.1.	Le module de l'inconscient	32
6.2.	Inconscient : les moteurs	32
6.3.	Le module Esprit	33
7.	Les modules pour tester.....	34
7.1.	Une liste de test après une évaluation en direct.....	34
7.2.	Une liste de tests	34
7.3.	Listes de tests.....	34
7.4.	test : biofeedback et évaluation en direct.....	35
7.5.	Création de tests.....	35

1. Les modules pour Équilibrer

Priorités, ressources, rapports et méditations guidées.

Équilibrer propose un ensemble d'outils qui vous aident à atteindre une qualité maximale

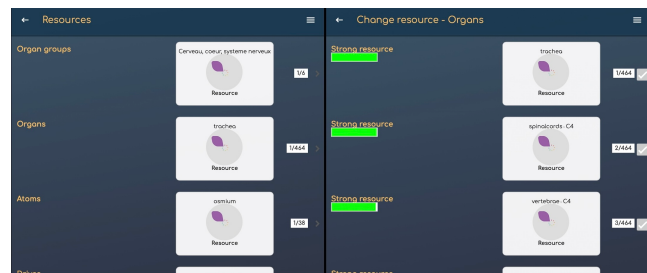
- Les **priorités** sont ce qui nécessite une attention immédiate
- Les **ressources** sont les éléments sur lesquels vous pouvez vous appuyer de manière fiable
- Le **rapport** est un document PDF contenant toutes les parties importantes de l'analyse
- **Équilibrer** propose la génération de méditations guidées, de fréquences, de rythmes binauraux et de réévaluations, tous optimisés en temps réel via le biofeedback

1.1. Ressources

Le pouvoir des ressources : elles vous appartiennent déjà et sont déjà disponibles pour vous aider

Les ressources sont les principaux piliers, les principaux moteurs énergétiques de cet enregistrement. Le module Équilibrer s'appuie principalement sur les ressources pour choisir les fréquences pertinentes, les battements binauraux et les voix de guidance audio pour accumuler de l'énergie avant de commencer le travail sur les priorités.

- Les ressources sont automatiquement identifiées mais peuvent être modifiées si nécessaire. Pour modifier une ressource, cliquez dessus et choisissez une autre ressource parmi les plus importantes pour cette catégorie

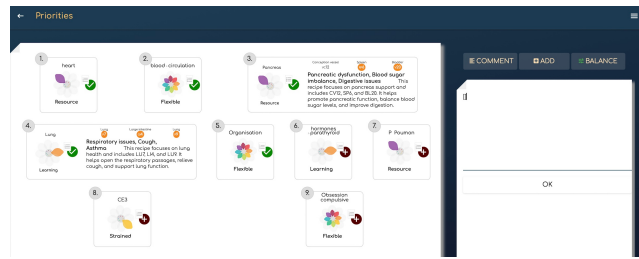


1.2. Priorités

Ce qui doit retenir l'attention.

Les priorités sont des biomarqueurs qui nécessitent une attention particulière. Elles sont automatiquement calculées après un enregistrement, mais c'est à l'utilisateur qu'il revient d'ajouter ou de supprimer des priorités.

- Les priorités peuvent être ajoutées ou supprimées depuis n'importe quelle fleur de biomarqueur, dans n'importe quelle page ou dans le module Priorités. Il suffit de cliquer sur le bouton + !
- Sous les priorités, le bouton **Commentaire** permet à l'utilisateur d'ajouter n'importe quel texte
- le bouton **Ajouter** affiche une liste de priorités supplémentaires pertinentes à choisir, si nécessaire, parmi les organes, les méridiens d'acupuncture, les points méridiens, les recettes MTC, les chakras, les moteurs, l'élan..



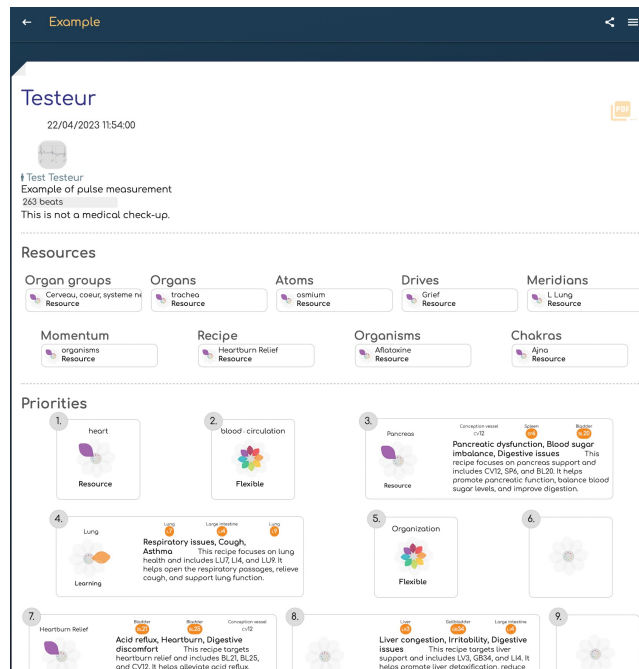
1.3. Rapport PDF

exportation en un clic de toutes les informations importantes au format PDF

Le rapport PDF peut être imprimé, sauvegardé ou envoyé en 1 clic. Il contient :

- Informations sur le client
- Informations sur l'enregistrement
- Les annotations
- Parties et sessions
- Ressources et priorités
- Méridiens principaux (énergie, entropie, cohérence)
- Principaux organes (énergie, entropie, cohérence)
- Principales recettes MTC (énergie, entropie, cohérence)

Il peut être personnalisé par le Pro.

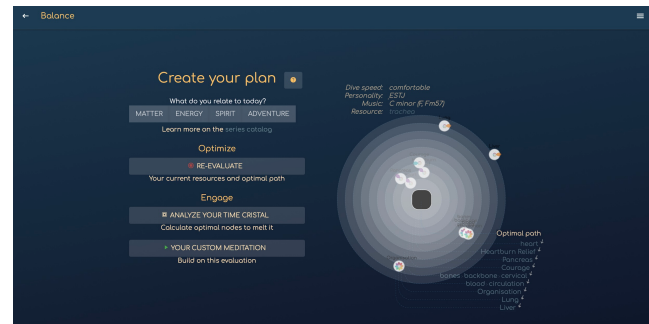


1.4. Equilibrer : la méditation sur mesure

Il est temps de passer à l'action.

Équilibrer est un module complet permettant de créer des méditations personnalisées.

- L'utilisateur peut choisir un style qui lui convient, ce qui lui permettra de sélectionner des cartes dans différentes séries de méditations guidées.
- Il est conseillé de réévaluer chaque jour, avant une nouvelle méditation : tous les biomarqueurs évolueront et la méditation sera recalculée en conséquence.
- Les principaux paramètres (vitesse de plongée, personnalité, musique, ressources) sont calculés à partir des principales caractéristiques des biomarqueurs calculés. La musique est générée à partir de la mélodie et des accords actuels de l'utilisateur, jusqu'à l'état désiré, dans une progression harmonique.
- Les priorités sont affichées comme des planètes qui gravitent autour de l'utilisateur, de plus en plus éloignées, car c'est ainsi que la méditation les abordera, de plus en plus loin dans l'espace profond.
- Un outil supplémentaire est le **fondeur de cristal temporel** qui sera calculé autour de valeurs entières de temps-Elfie et rappellera à l'utilisateur, aux moments opportuns, les décisions et le travail en cours. Il s'agit de micro-méditations, de 5 à 30 secondes pour soi-même à des noeuds temporels particuliers. L'objectif est de dissoudre le cristal temporel des habitudes et de reprogrammer l'ensemble du système en 21 jours.



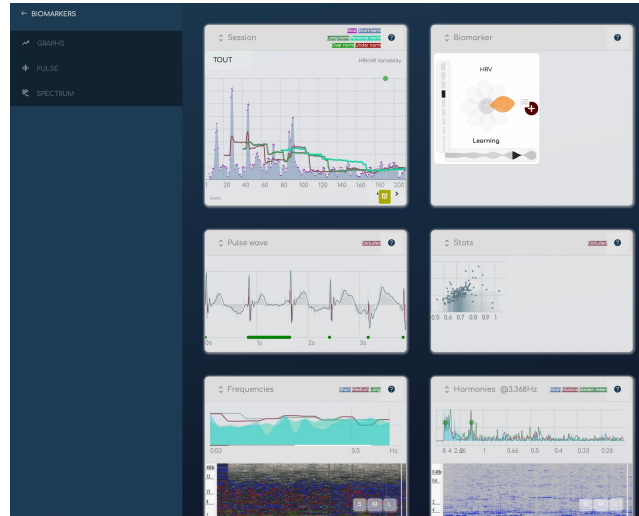
2. Scan : biomarqueurs et analyse technique

Travailler sur l'onde du pouls, les biomarqueurs et les Fréquences.

BioCoherence construit ses biomarqueurs exclusivement par le biais d'opérations mathématiques sur l'onde du pouls ECG enregistré.

- Dans ce module, vous pouvez accéder à l'enregistrement brut, désactiver les battements en cas d'erreur de mesure (l'application désactive automatiquement les battements sur la base d'un algorithme de détection automatique de qualité) et travailler sur les événements temporels.
- Vous pouvez également travailler sur les informations de 1er et 2ème ordre sur les biomarqueurs, et les parcourir par catégorie (il y a plus de 1400 biomarqueurs...).

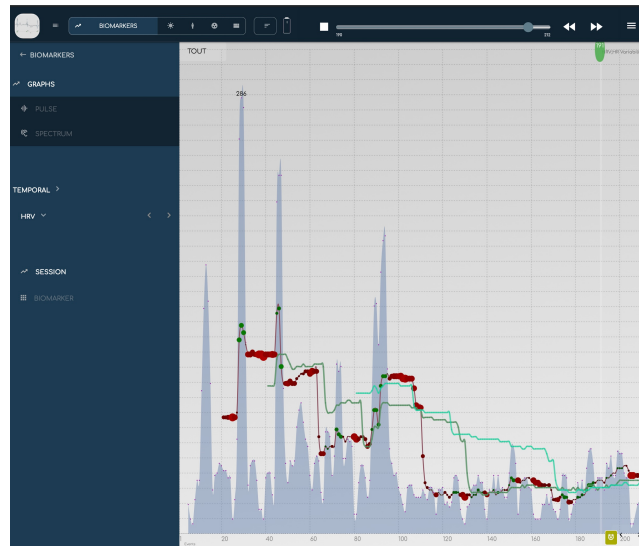
2.1. Module de graphique temporel



Voir comment un biomarqueur évolue au fil du temps et des sessions.

BioCoherence travaille avec des biomarqueurs de manière très dynamique, en évaluant leur évolution sur plusieurs périodes et en les comparant d'une période à l'autre.

- Sur ce graphique, chaque biomarqueur est représenté au niveau du battement, comparé aux moyennes mobiles à court, moyen et long terme
- Vous pouvez vous déplacer dans l'enregistrement à l'aide de la barre de défilement supérieure (appuyez sur le bouton Lecture pour l'afficher ; appuyez sur le bouton Arrêt pour comparer les sessions). Vous pouvez également cliquer sur le graphique pour déplacer la marque actuelle
- Vous pouvez modifier l'échelle de zoom à l'aide du sélecteur de plage situé en haut à gauche
- Vous pouvez travailler avec des événements dans ce module : les événements sont affichés en bas du graphique. Pour créer ou modifier un événement, cliquez sur le bouton situé en bas du graphique

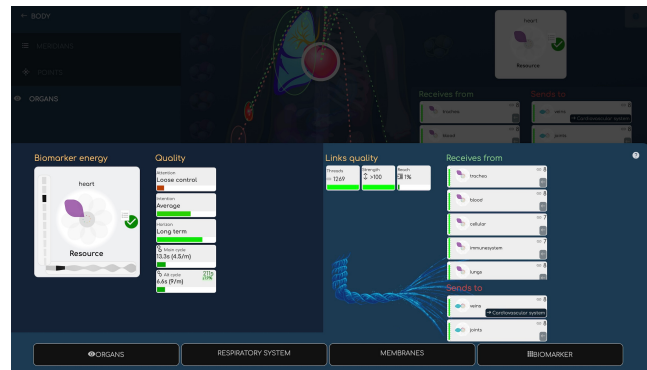


2.2. Module des biomarqueurs

Une plongée en profondeur dans les nombreuses informations d'un biomarqueur.

Chaque biomarqueur est à un clic du panneau Biomarqueurs, qui montre de manière compacte et pratique tout ce qu'il y a à savoir sur sa dynamique.

- L'information principale est la **fleur** du biomarqueur, qui permet d'évaluer immédiatement sa qualité principale. La fleur est un composé de son énergie principale et de son entropie principale (ou agitation). Il y a 9 pétales différents, et chacun est accompagné d'un mot simple pour comprendre sa qualité principale
- Les qualités dynamiques sont affichées dans la deuxième colonne. L'**attention**, l'**intention** et l'**horizon** sont des informations sur sa dynamique à long terme
- Le cycle principal et le cycle alternatif sont aussi affichés cette colonne. Il s'agit de la respiration principale du biomarqueur. Le cycle est affiché en durée (secondes) et en période (par minute). Si le cycle correspond à une valeur Elfie entière¹, qui indique une résonance avec une bonne implosion énergétique, le lien vers le tableau Elfie est mis en évidence
- Le panneau des **liens** montre les relations avec d'autres biomarqueurs (ici, d'autres organes). La qualité des liens est un composite des cordes principales (le nombre de fils est un compte de tous les liens, la force de leur solidité, et la portée indique combien de biomarqueurs de la famille sont liés à celui-ci). Reçoit de, et envoie à, liste les autres biomarqueurs. Un clic dessus ouvre leur page d'information
- En bas, les boutons Cartes et Graphiques permettent d'accéder directement aux pages concernées.



1. <https://elfie.link>

3. Scan : cartes des organes

Des dizaines de cartes corporelles exclusives et magnifiquement dessinées ont été conçues pour BioCoherence afin que la navigation et les liens soient faciles à voir et à comprendre.

Avec près de 500 biomarqueurs dédiés à des systèmes d'organes, des organes ou des parties d'organes, nous avons estimé qu'il fallait tout cartographier pour donner du sens à tout cela

- Une douzaine de cartes magnifiquement conçues pour une vue d'ensemble ou des zooms sur les dents, les vertèbres, les nerfs, le cerveau..
- L'une des principales caractéristiques de BioCoherence réside dans les **liens d'information** de troisième ordre **entre les biomarqueurs**. Chaque carte met magnifiquement en évidence les liens entre les organes sur la carte, ou les liens en un clic vers des organes sur d'autres cartes
- Les liens visuels et les deux colonnes permettent d'évaluer immédiatement les relations énergétiques avec d'autres organes (reçoit de, ou envoie vers)
- Le sélecteur de gauche liste tous les organes de cette carte, ainsi que l'évaluation de leur biomarqueur



Ouverture du module

En cliquant sur "Corps" puis "organes", le module s'ouvre sur un aperçu général du corps, qui comprend une sélection des biomarqueurs les plus importants : les organes principaux, les hormones principales, les parties principales du système locomoteur, le sang, les cellules.

Si vous cliquez sur un organe ou si vous le choisissez dans la liste du menu, il est alors entouré d'un halo blanc, et les liens principaux avec les autres organes de cet écran s'affichent (ils sont entourés de rouge s'ils reçoivent de l'énergie de l'organe sélectionné, et en vert s'ils en envoient).

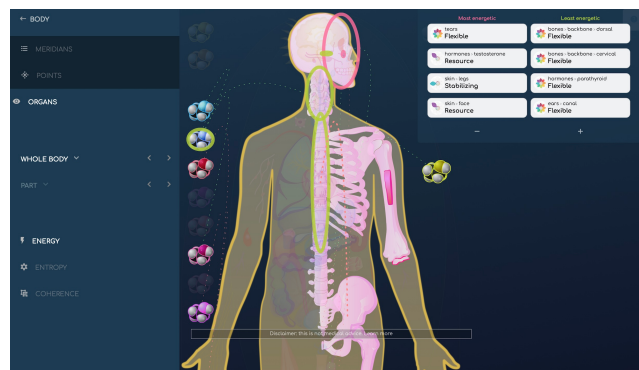
Si des liens existent avec des organes qui sont détaillés sur d'autres cartes corporelles, ils sont identifiés par le nom de cette carte sur fond noir; en cliquant dessus, vous allez ouvrir cette carte détaillée.

3.1. Causes principales : l'énergie

Met immédiatement en évidence les parties les plus énergétiques et les moins énergétiques

Chaque carte du corps possède un sous-menu Énergie, Entropie et Cohérence, situé sous le menu de la carte et le menu des parties.

- Le module **Énergie** affiche les éléments les moins et les plus énergétiques de cette carte, ainsi que les liens qui les unissent. Vous pouvez modifier le nombre d'éléments en cliquant sur les boutons + et - sous la liste, et cliquer sur n'importe quel biomarqueur pour afficher ses informations.



3.2. Causes notables : l'entropie

Met immédiatement en évidence les parties les plus agitées et les plus statiques

Chaque carte du corps possède un sous-menu Énergie, Entropie et Cohérence, situé sous le menu de la carte et le menu des parties.

- Le module **Entropie** affiche les éléments les plus agités et les plus statiques de cette carte, ainsi que les liens qui les unissent. Vous pouvez modifier le nombre d'éléments en cliquant sur les boutons + et - situés sous la liste, et cliquer sur n'importe quel biomarqueur pour afficher ses informations.

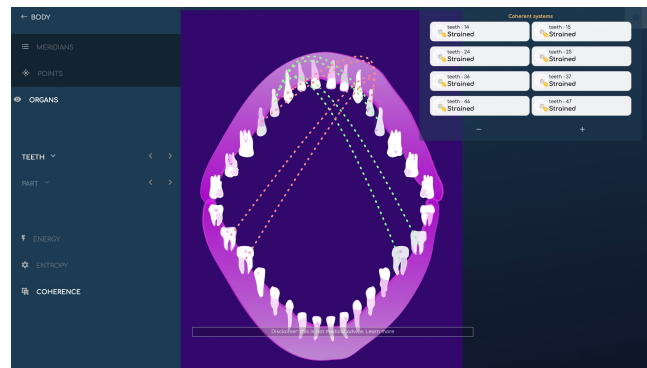


3.3. Systèmes notables : cohérence

Il met immédiatement en évidence les systèmes qui ont le plus d'affinités entre eux.

Chaque carte du corps possède un sous-menu Énergie, Entropie et Cohérence, situé sous le menu de la carte et le menu des parties.

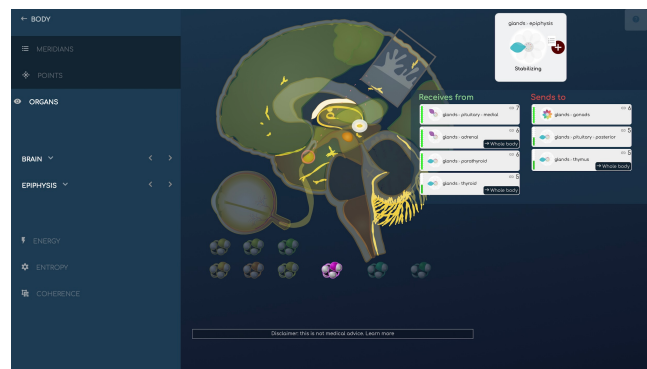
- Le module **Cohérence** affiche les systèmes qui sont le plus en phase ensemble, qui résonnent ensemble, ainsi que leurs liens de relation. Vous pouvez cliquer sur n'importe quel biomarqueur pour afficher ses informations.



3.4. Cerveau

Les liens entre les éléments du cerveau, et les hormones liées, sont ici mis graphiquement en évidence ; il est aussi possible d'afficher les plus notables du point de vue énergétique, les plus ou moins agitées, et celles en cohérence.

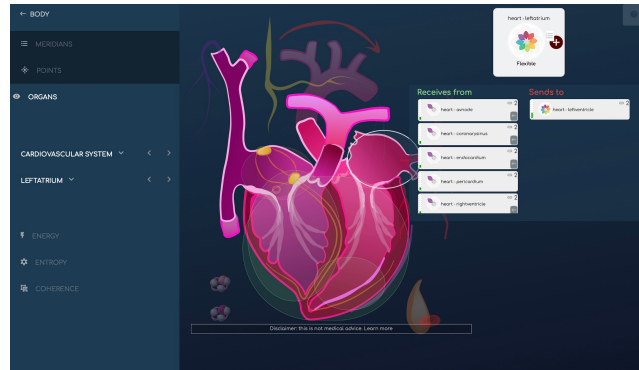
Nous avons aussi ajouté les yeux et ses composantes sur cette carte.



3.5. Système cardio-vasculaire

Les liens entre les éléments du système cardio-vasculaire sont ici mis graphiquement en évidence ; il est aussi possible d'afficher les plus notables du point de vue énergétique, les plus ou moins agitées, et celles en cohérence.

La planche anatomique du système cardio-vasculaire comprend le coeur et tous ses détails, le système sanguin (veines, artères... y compris circulation et contrôle sympathique de la pression sanguine), le sang (plasma, hémoglobine) et des hormones (adrénaline et noradrénaline).

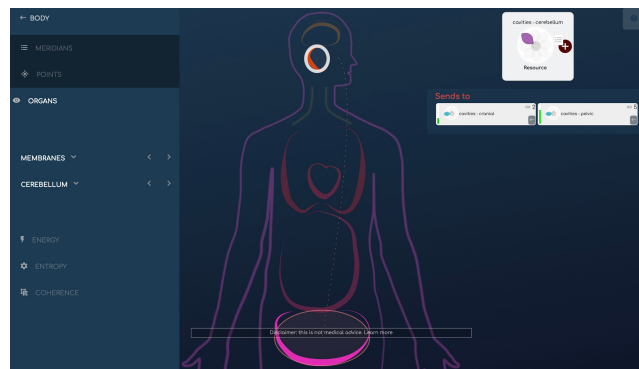
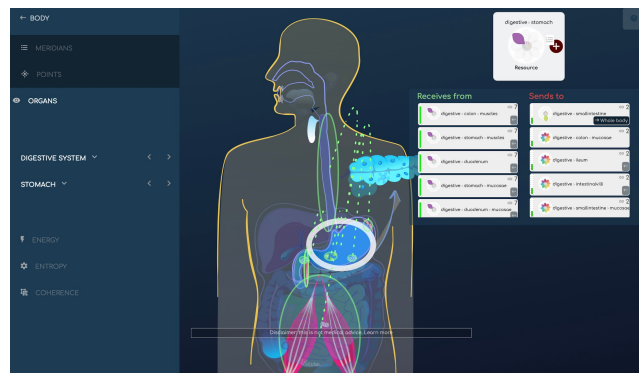


3.6. Système digestif

Les liens entre les éléments du système digestif, de la bouche à l'anus, sont ici mis graphiquement en évidence ; il est aussi possible d'afficher les plus notables du point de vue énergétique, les plus ou moins agitées, et celles en cohérence.

3.7. Membranes

La planche anatomique des membranes est un peu particulière ; nous avons voulu mettre en évidence les liens de résonance entre ces grandes cavités. Il s'agit en réalité d'une partie importante de l'équilibre général d'un point de vue holistique, qui est habituellement peu pris en compte. Elles donnent un niveau de lecture semi-global et sont aussi importantes du point de vue de l'interprétation en prologie.



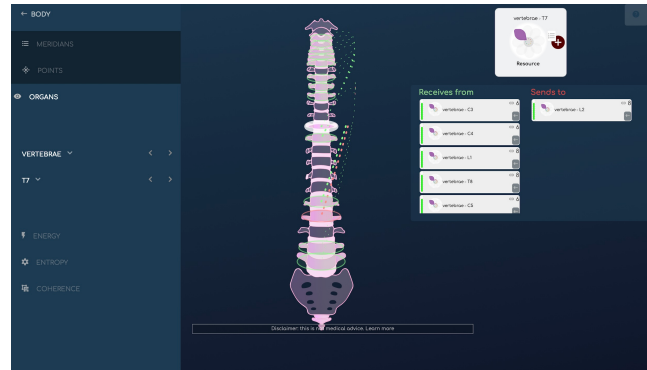
3.8. Vertèbres

Les liens entre les vertèbres sont ici mis graphiquement en évidence ; il est aussi possible d'afficher celles les plus notables du point de vue énergétique, les plus ou moins agitées, et celles en cohérence.

3.9. Système nerveux

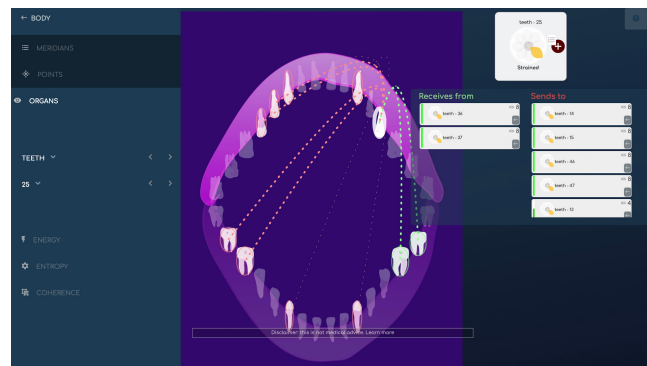
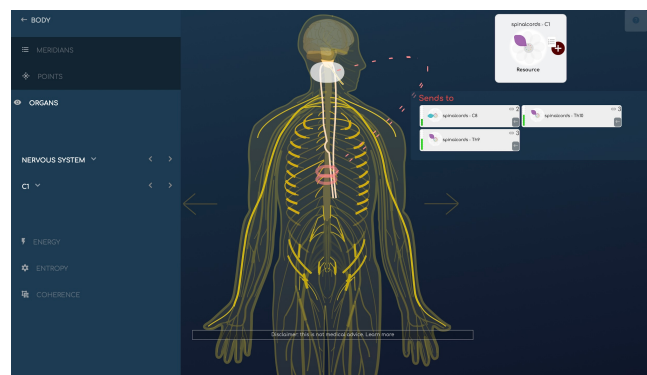
Les liens entre les éléments du système nerveux sont ici mis graphiquement en évidence ; il est aussi possible d'afficher les plus notables du point de vue énergétique, les plus ou moins agitées, et celles en cohérence.

Le système nerveux comprend le cerveau et le détail du cerveau, les nerfs et le détail de certains nerfs, et les nerfs en lien avec la moelle épinière.



3.10. Dents

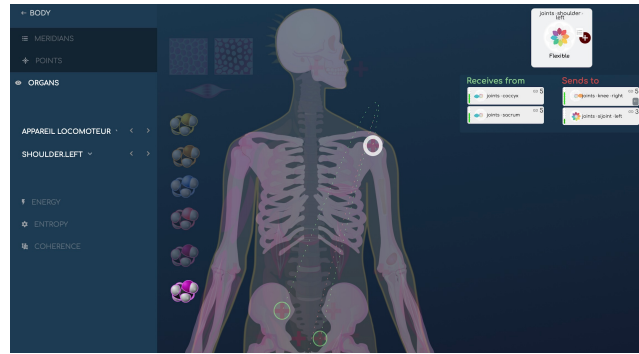
Les liens entre les dents et la gencive sont ici mis graphiquement en évidence ; il est aussi possible d'afficher les dents les plus notables du point de vue énergétique, les plus ou moins agitées, et celles en cohérence.



3.11. Appareil locomoteur

Les liens entre les éléments de l'appareil locomoteur (os, muscles, mais aussi hormones et quelques organes) sont ici mis graphiquement en évidence ; il est aussi possible d'afficher les plus notables du point de vue énergétique, les plus ou moins agitées, et celles en cohérence.

Les sélections faites sur chaque planches anatomiques sont faites pour mettre en évidence les relations pertinentes entre des éléments. Sur cet écran, en plus des parties de colonne vertébrale, de la moelle osseuse, des parties du squelette, du cartilage, des muscles, des fascia et du métabolisme du calcium, nous avons ajouté des hormones et organes intéressants comme parathyroïde, dhb ou noradrénaline, les cheveux, la peau, les dents.



3.12. Système respiratoire

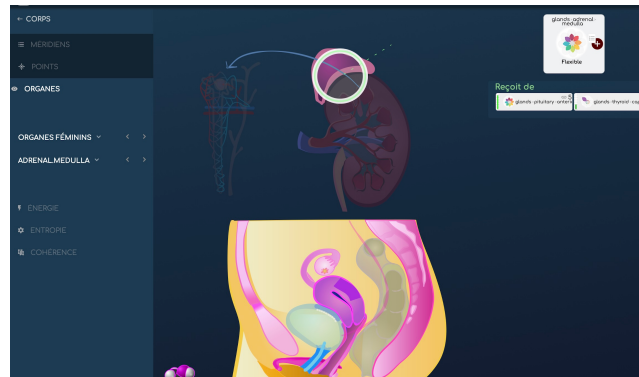
Les liens entre les éléments du système respiratoire sont ici mis graphiquement en évidence ; il est aussi possible d'afficher les plus notables du point de vue énergétique, les plus ou moins agitées, et celles en cohérence.

Sur cet écran, on trouve aussi les sinus frontaux, les canaux auditifs, et le coeur.



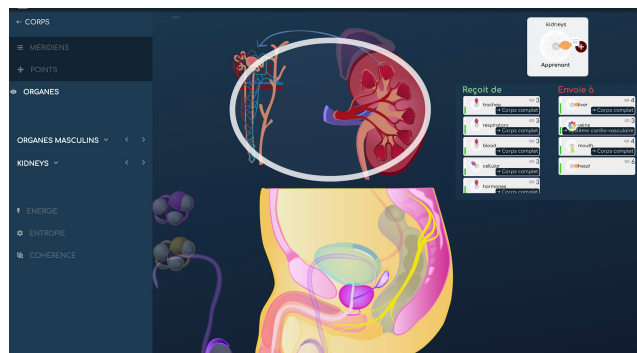
3.13. Organes génitaux féminins

Les liens entre les éléments des organes génitaux féminins et des organes liés (reins, vessie, sacrum, glandes surrénales, et hormones liées comme prégénolone...) sont ici mis graphiquement en évidence ; il est aussi possible d'afficher les plus notables du point de vue énergétique, les plus ou moins agitées, et celles en cohérence.



3.14. Organes génitaux masculins

Les liens entre les éléments des organes génitaux masculins et des organes liés (reins, vessie, sacrum, glandes surrénales, et hormones liées comme testostérone, dhea, hgh...) sont ici mis graphiquement en évidence ; il est aussi possible d'afficher les plus notables du point de vue énergétique, les plus ou moins agitées, et celles en cohérence.



4. Scan : Méridiens, points et recettes de MTC

Méridiens, points d'acupuncture, recettes MTC

Maître de l'évaluation énergétique depuis 5000 ans, la médecine traditionnelle chinoise est largement utilisée et considérablement étendue dans BioCohérence.

- Les **méridiens** sont représentés en 12 ou 20 parties. Principaux canaux énergétiques du corps, le graphique montre leurs liens et la carte, leurs chemins.
- Les **points d'acupuncture** sont animés dynamiquement sur la carte. Plus de 350 points sont calculés par notre algorithme exclusif.
- Les **recettes** sont des moyens traditionnels de traiter les problèmes énergétiques, à la manière de la MTC. Nous avons étendu ce principe de manière spectaculaire pour calculer l'énergie, l'entropie et la cohérence de centaines de recettes afin d'évaluer leur utilité dans l'évaluation actuelle, indiquant ainsi leur besoin éventuel - une forme d'évaluation qui pourrait aider à diagnostiquer les problèmes.

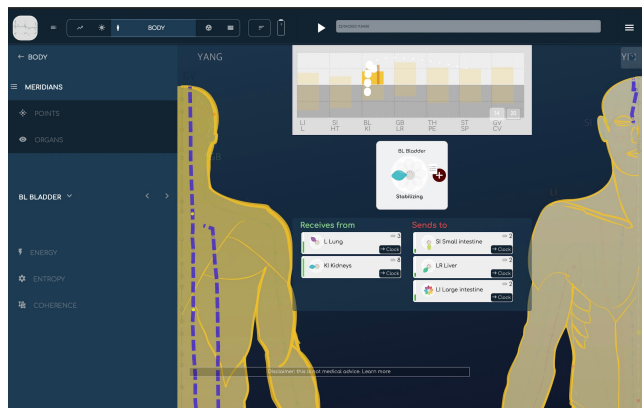


4.1. Méridien de la vessie avec liens

Cliquez sur un méridien pour obtenir des informations.

Lorsque vous cliquez sur un méridien, le graphique affiche ses relations avec les autres méridiens, le biomarqueur indique sa qualité principale et les liens avec les autres méridiens (reçoit de ou envoie vers) sont affichés

- Vous pouvez parcourir les méridiens à l'aide du menu de gauche, et afficher tous les méridiens avec leur biomarqueur dans le menu déroulant.



4.2. Méridiens par énergie, avec les problèmes communs liés

Identifier les plus hauts et plus bas niveaux énergétiques, en un seul clic

Le menu **énergie** indique directement les méridiens les plus énergétiques et les moins énergétiques, ce qui peut aider à identifier les problèmes.

- En cliquant sur un méridien, des conclusions supplémentaires apparaissent, qui sont liées à l'état énergétique actuel du méridien, et aux conditions possibles lorsqu'elles sont associées à l'état d'autres méridiens, conformément aux connaissances de la MTC



4.3. Points MTC

Plus de 350 points sont calculés

Le module **Points** présente les points d'acupuncture de la MTC

- Cliquez sur un méridien pour afficher tous les points de ce méridien, ainsi que des informations traditionnelles sur les points importants du méridien
- Cliquez sur un point pour voir son biomarqueur.

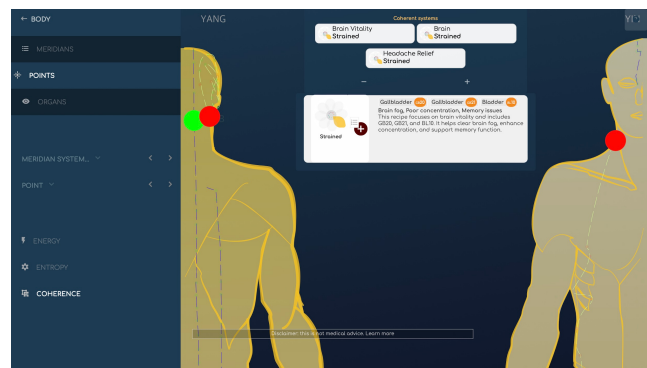


4.4. Recettes MTC, par cohérence

La cohérence est une façon de voir les recettes qui sont entièrement en phase.

Nous avons procédé à une rétro-ingénierie des recettes d'acupuncture pour en faire un outil d'évaluation.

- En cliquant sur **Cohérence**, les recettes dont les points sont entièrement en phase (c'est-à-dire que les points résonnent ensemble et se déplacent ensemble comme un seul point) s'affichent. Cliquez sur une recette pour voir les points sur la carte et obtenir des indications. Lorsqu'elle est ajoutée aux priorités, la recette sera utilisée dans la partie Équilibrer pour aider à rééquilibrer ses effets.



5. Scan : Les modules Énergie

Tout ce dont vous avez besoin pour évaluer au niveau énergétique

Ces graphiques permettent de visualiser des informations telles que les chakras, les horloges, les plans, les élan, les atomes, les influences et les organismes.

5.1. Ayurveda : Doshas et sous-doshas

L'évaluation ayurvédique de l'énergie du corps.

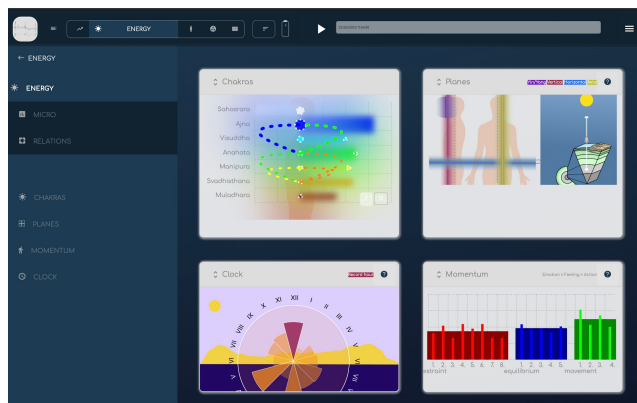
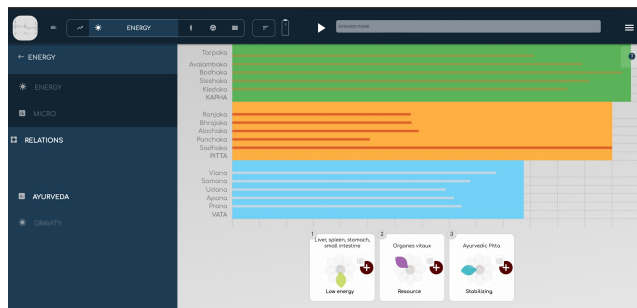
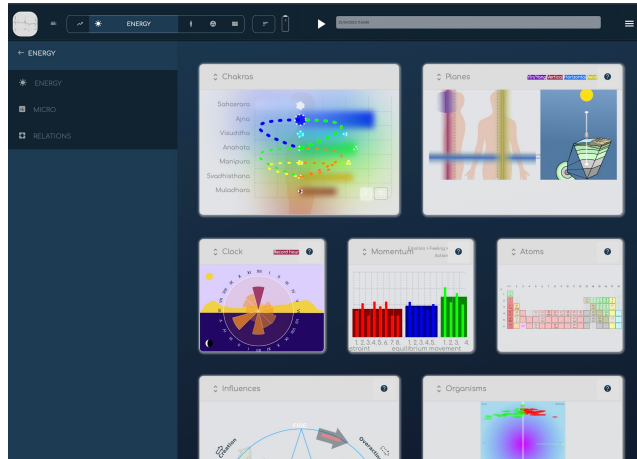
Les praticiens ayurvédiques savent comment travailler avec la constitution énergétique du corps. Les trois principales constitutions sont Vata, Pitta et Kapha, chacune avec 5 sous-doshas. Dans une analyse BioCohérence, vous pouvez voir chaque dosha et sous-dosha bouger lorsque vous déplacez le curseur temporel, car tous ces systèmes sont dynamiques. La façon dont ils se déplacent fait partie de notre évaluation.

5.2. Graphiques énergétiques : chakras, plans, horloge et élan

Les principaux moteurs énergétiques du corps

Ces 4 graphiques permettent une évaluation énergétique correcte des principales fonctions du corps.

- **Chakras** peut montrer les 7 ou 12 chakras, leur aura globale et les relations entre eux
- **Plans** met en évidence les principaux équilibres énergétiques du corps : les plans horizontaux, verticaux et axiaux sont représentés, ainsi que le lien avec le champ terrestre profond et le champ céleste
- **Horloge** montre la relation entre les méridiens et leurs principales heures de fonctionnement, ainsi que l'heure d'enregistrement, afin d'évaluer le bon alignement temporel.
- **Élans** est un graphique que nous avons créé pour montrer les 3 inerties principales et leurs composantes : celles qui restreignent, celles qui équilibrent et celles qui aident au mouvement.

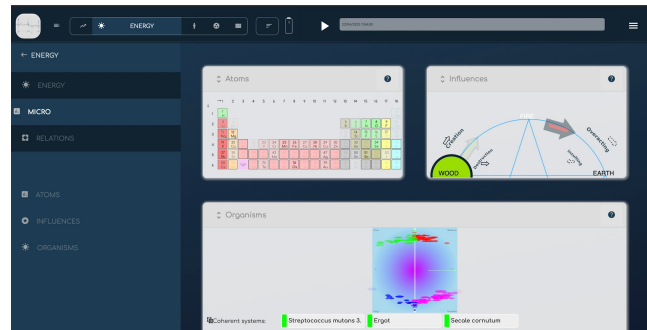


5.3. Graphiques énergétiques : le micro-monde

Très petits, mais très utiles

Ces trois graphiques montrent les micro-éléments qui peuvent avoir un impact sur le système dans son ensemble.

- Les **atomes** représentent le tableau périodique et les résonances entre les éléments
- Les **Influences** montrent l'étoile des 5 éléments de la MTC, avec leurs influences constructives ou destructives respectives calculées et mises en évidence par des flèches
- Les **Organismes** proposent l'évaluation de 200 organismes externes (virus, bactéries, champignons et parasites) et de leurs liens respectifs.



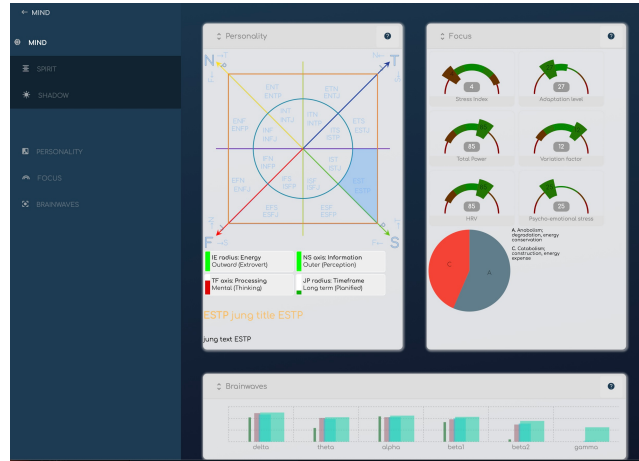
6. Scan : le module Esprit

L'esprit, le mental et l'inconscient sont au coeur de ce module.

Avec plus de 300 biomarqueurs dédiés à ce qui se passe dans nos pensées, le module Esprit vise à organiser de manière pratique leurs lectures.

Dans Mental,

- Le module **Esprit** traite de la personnalité, de la concentration et des ondes cérébrales.
- Le module **Personnalité** reconstruit le type de personnalité de Jung (popularisé plus tard sous le nom de Myers Briggs ou MBTI). Pour cet écran, nous avons créé une nouvelle visualisation logique unique basée sur 4 axes que nous avons découverts dans l'évaluation de la personnalité
- **Focus** regroupe les indicateurs académiques HRV traditionnels ainsi qu'un visualiseur d'équilibre constructif/destructif
- **Les ondes cérébrales ?** Oui, le Sensor peut lire jusqu'à 64Hz l'électricité du corps entier, et pas seulement celle du coeur. Nous avons conçu un algorithme pour extraire les informations spécifiques des ondes cérébrales afin d'obtenir une idée des états de concentration les plus actifs de l'esprit.

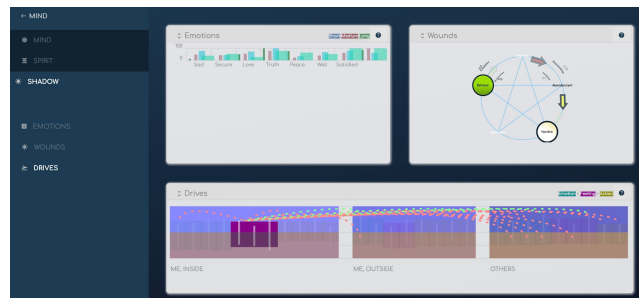


6.1. Le module de l'inconscient

Émotions, blessures et moteurs

L'inconscient, ou ombre, ou encore subconscient, fait partie intégrante de notre comportement.

- Les **émotions** sont extraites des principaux rythmes de l'ECG
- Les **blessures** sont liées aux influences de la MTC. Les 5 blessures (ou 8 selon la conception originale) sont utilisées depuis plus de 30 ans. Avec BioCohérence, nous élargissons leur signification en ajoutant leurs relations constructives ou destructives respectives
- **Drives** est une toute nouvelle façon d'organiser les émotions de manière significative blessures

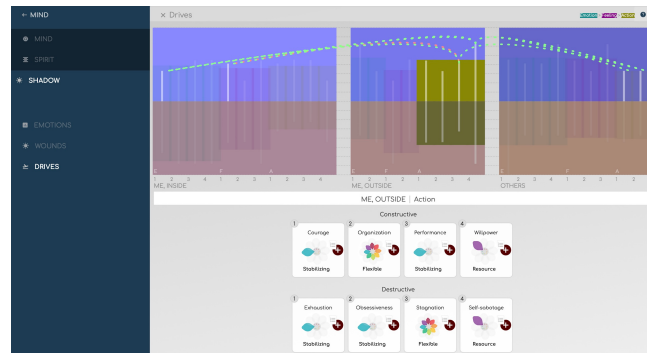


6.2. Inconscient : les moteurs

Une nouvelle façon d'organiser les émotions.

Moteurs est une toute nouvelle façon d'organiser les émotions de manière significative en 28 groupes d'opposés, soigneusement organisés en 3 groupes principaux (MOI intérieur, MOI extérieur et LES AUTRES) comprenant chacun 3 sous-groupes (Emotion, Sentiment, Action)

- Le **MOI intérieur** concerne les émotions qui touchent à mon fonctionnement interne
- Le **MOI extérieur** concerne les émotions qui établissent un lien entre mon fonctionnement intérieur et ce qui se passe autour de moi
- **LES AUTRES** concerne les émotions liées aux autres personnes qui m'entourent
- L'**émotion** est la racine de leur origine
- Le **sentiment** est la façon dont je l'interprète
- L'**action** est ce que j'en fais



En utilisant des techniques de méditation telles que l'observation de l'esprit, on peut mieux comprendre l'articulation et les implications des émotions qui surgissent

Les liens de résonance entre les émotions, qui apparaissent lorsque vous cliquez sur le graphique, peuvent également aider à comprendre ce qui se passe.

6.3. Le module Esprit

Alignement musical et d'échelle

L'esprit est cette partie de nous qui transcende l'espace et le temps.

- La **musique** est une lecture des principales fréquences de l'ECG couplée à beaucoup de théorie musicale. Les gammes et les accords principaux sont calculés à court terme (une mesure), à moyen terme (2 mesures), à long terme (3 mesures) et à très long terme (4 mesures). Ils sont ensuite utilisés lors de la construction de la méditation personnalisée, pour vous emmener musicalement de là où vous êtes, à là où vous pourriez aller
- L'**alignement** est basé sur l'équation de Dan Winter et les valeurs entières d'Elfie².
- dans Alignment, **Focused coherence** est, comme le dit Dan, la "Vraie Coherence Cardiaque" : elle calcule le degré de focalisation à travers le cepstrum (FFT de 2nd ordre) ou, en termes simples, elle calcule à quel point les fréquences globales trouvées dans l'ECG sont **musicalement** en accord et en phase ensemble.
- dans Alignment, **Real Heart Coherence** calcule la même chose mais pour des fréquences qui sont des multiples du nombre d'or entre elles
- dans Alignment, **Implosion intégrée %** montre la partie des fréquences qui sont proches des valeurs entières d'Elfie, indiquant ainsi la quantité d'énergie qui est actuellement intégrée dans le meilleur cycle d'implosion énergétique



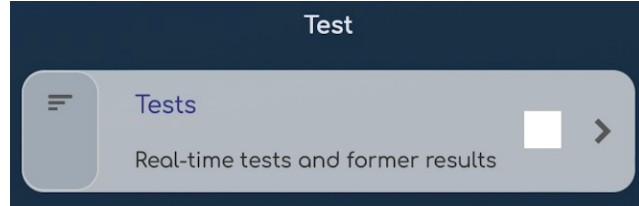
2. <https://elfie.link>

7. Les modules pour tester

Utilisation du biofeedback pour obtenir une évaluation en temps réel de n'importe quelle information

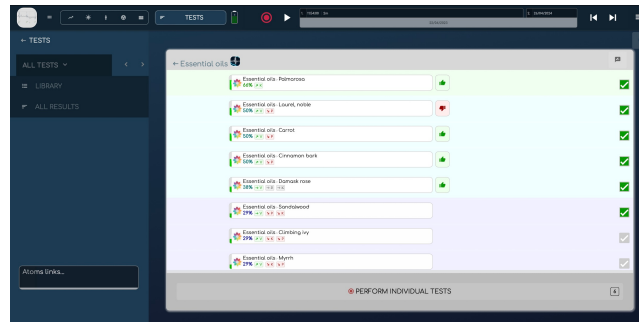
Les **tests** sont un moyen unique d'évaluer tout type d'information.

- Utilisant le biofeedback en temps réel, les tests sont des évaluations individuelles de compatibilité, une sorte de tests de kinésiologie automatisés.
- Les tests sont constitués de listes d'éléments. Chaque élément peut être pré-calculé à partir d'un scan et/ou testé en direct par rapport à la réaction inconsciente et somatique du corps à l'information.



7.1. Une liste de test après une évaluation en direct

Après l'évaluation en direct, vous pouvez voir les deux informations affichées sur la liste : la pré-évaluation automatique (si disponible), basée sur les besoins du biomarqueur et l'effet déclaré de chaque élément de la liste ; et la réponse du biofeedback, un pouce vers le haut ou vers le bas, basée sur la réponse inconsciente et somatique de l'organisme pendant le test.

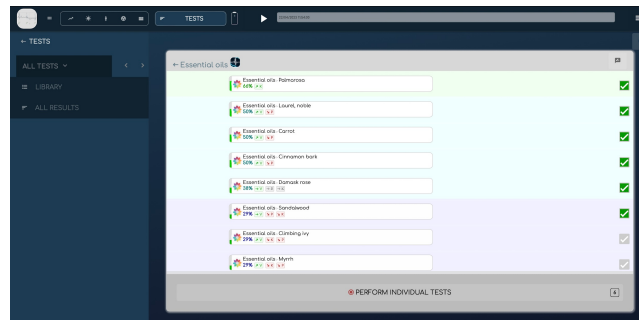


7.2. Une liste de tests

Un test est constitué d'une liste d'éléments à évaluer et à ordonner.

7.3. Listes de tests

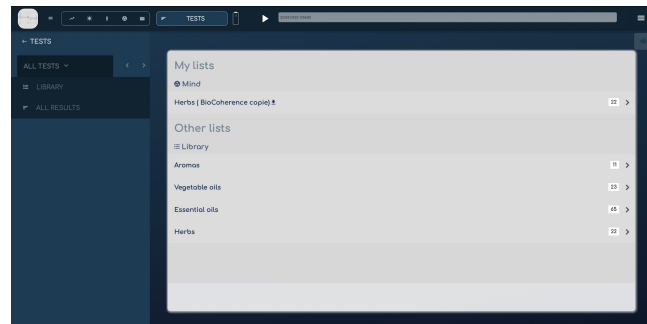
Rechercher, éditer, partager et choisir des tests



Tests est une plateforme ouverte où les créateurs peuvent créer et partager leurs listes. Vous pouvez effectuer des recherches par mots-clés, par créateur ou par type de test, dupliquer des tests existants pour créer les vôtres et afficher tous les résultats testés pour le rapport en cours en un seul clic.

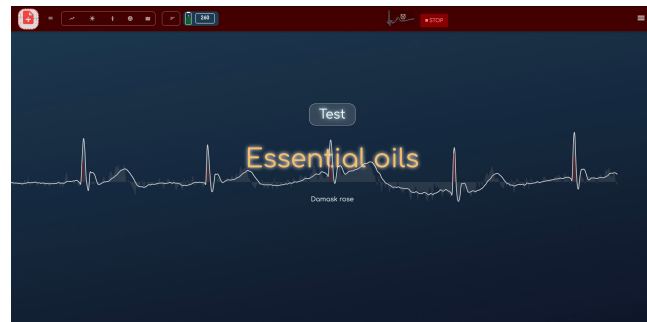
7.4. test : biofeedback et évaluation en direct

Lors du lancement d'un test, des informations sont envoyées à l'utilisateur et la réponse inconsciente et somatique est évaluée.



7.5. Création de tests

Tout Pro peut créer des tests pour lui-même ou pour les partager plus tard. Pour chaque élément de la liste de tests, il est possible de spécifier l'action sur les biomarqueurs pour une évaluation automatique, ou d'ajouter tout type d'information pour une évaluation par biofeedback.



3.2.

Manuel détaillé

Ce manuel aborde tous les aspects de l'application, et chaque chapitre est illustré par des captures d'écran et des vidéos pour vous permettre de mieux comprendre comment l'utiliser au mieux.

A noter: ce manuel comprend un **forum** sur chaque chapitre. Il s'agit d'un forum collaboratif : vous pouvez participer au forum en posant des questions ou en apportant des réponses que vous connaissez.

Pour accéder aux vidéos et au forum par chapitre, rendez-vous sur biocoherence.net/tutorials

Sommaire

8.	Introduction.....	39
8.1.	Présentation générale de l'interface du logiciel	39
8.2.	Ouvrir un rapport	40
8.3.	Enregistrer avec Sensor	42
8.4.	Gestion des clients	42
8.5.	Rapport en plusieurs parties	44
9.	Comprendre : Biomarqueurs.....	45
9.1.	Détail des biomarqueurs	45
9.2.	Édition et Vérification de l'Onde du Pouls (enregistrement brut)	47
9.3.	Suivi de l'évolution d'un biomarqueur au fil des séances	48
9.4.	Analyse des Fréquences et des Harmoniques.....	48
9.5.	La chaîne causale.....	49
9.6.	Polygraphe.....	51
10.	Comprendre : Energie.....	53
10.1.	Les élans	53
10.2.	Atomes.....	54
10.3.	L'Évaluation de l'Énergie selon l'Ayurveda.....	54
10.4.	Visualisation des Chakras.....	56
10.5.	Influences.....	56
11.	Comprendre : Corps.....	57
11.1.	Méridiens de MTC.....	57
11.2.	Carte des organes.....	58
11.3.	Points d'acupuncture.....	59
12.	Comprendre : l'esprit	61
12.1.	Alignement	61
12.2.	Ondes Cérébrales	61
12.3.	Moteurs.....	62
12.4.	Émotions.....	64
12.5.	Focus.....	65
12.6.	Musique	66
12.7.	Les 16 types de personnalités	67
12.8.	Les 5 blessures.....	69
13.	Tester.....	71
13.1.	Listes de test	71
14.	Équilibrer	75
14.1.	Priorités.....	75
14.2.	Ressources	76
14.3.	Rapport PDF	78
14.4.	Équilibrer : Méditations, sons et outils.....	79
14.5.	Boost harmonique.....	83
15.	L'IA dans BioCoherence	86
15.1.	Assistants IA.....	86

8. Introduction

Présentation générale du manuel

Dans cette introduction, nous allons voir comment ouvrir un rapport existant, importer un ECG depuis Santé, ou créer un nouveau rapport en enregistrant avec Sensor. Nous allons aussi découvrir les premiers concepts de l'application.

8.1. Présentation générale de l'interface du logiciel

Interface sur ordinateur, tablette ou smartphone ; forums, accès contextuel au manuel et demande d'aide contextuelle.

Lorsque vous ouvrez un rapport après un enregistrement, plusieurs éléments de l'interface vous permettent de naviguer et d'analyser les données efficacement.

En haut de l'interface, vous trouverez un menu qui donne accès aux différentes parties du rapport. Une barre de navigation permet de se déplacer à l'intérieur de l'enregistrement. Le menu principal est divisé en plusieurs sections. Pour revenir au sommaire, il suffit de cliquer sur le bouton prévu à cet effet.

Les principales sections comprennent :

- **Analyse du scan** : Cette partie affiche différents écrans, tels que le corps, l'énergie, l'analyse technique des biomarqueurs, l'analyse de l'esprit, et les progressions au fur et à mesure des enregistrements.
- **Tests** : Actuellement, cette section ne comporte qu'une seule entrée, mais d'autres options seront ajoutées. Elle inclut les tests en liste, les tests de fréquence, et les tests en direct.
- **Connexions aux capteurs** : En cliquant sur l'icône en forme de batterie, vous pouvez lancer une connexion Bluetooth aux capteurs et démarrer un enregistrement directement.

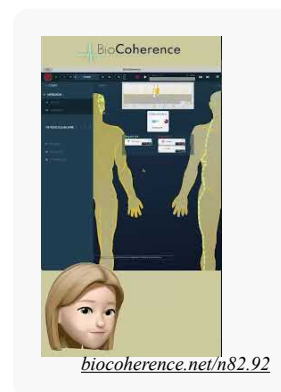
La navigation dans l'enregistrement peut se situer en haut de l'écran sur un ordinateur ou en bas sur un téléphone, en fonction de la taille de l'écran. Vous pouvez naviguer entre les sections comme avant séance, après séance, et voir l'ensemble des actions effectuées pour un client spécifique. L'interface permet aussi une navigation battement par battement pour des analyses détaillées en temps réel.

L'enregistrement du rapport inclut des informations sur le client, le titre du rapport, et la possibilité de sauvegarder le rapport dans le cloud. Cela permet un accès à partir de plusieurs appareils et la sécurisation des données en dehors de l'ordinateur local. Vous pouvez également changer le client si un enregistrement a été commencé sur un mauvais profil.

Le menu général en haut de l'interface offre plusieurs options :

- Retour à l'accueil
- Édition des listes de tests
- Gestion des contacts
- Modification des coordonnées et du compte
- Changement d'abonnement
- Mise à jour des données de l'application
- Utilisation de la calculatrice Elfie

Des actualités récentes et une option de demande d'aide sont accessibles depuis toutes les pages. En cas de problème technique, vous pouvez entrer dans "Avis et suggestions", poser une question, ou envoyer une demande de support avec une capture d'écran.



Demande d'aide, forums et manuel en ligne

L'application offre également des aides contextuelles et des vidéos intégrées pour chaque élément. Chaque fois que vous voyez le symbole du point d'interrogation (?), cela ouvrira un petit texte d'aide. Ce texte pourra éventuellement vous donner accès à une vidéo et à la page du manuel directement. Il vous donnera également accès à un forum collaboratif. Si vous n'avez pas un problème spécifique mais que vous avez des remarques particulières à faire à cet endroit, ou si vous avez besoin de précisions entre praticiens, vous pouvez ouvrir ce forum collaboratif en cliquant sur les points d'interrogation. Vous pourrez alors poser des questions ou répondre aux questions d'autres utilisateurs à cet endroit.

Utilisation de la Fonction "Avis et Suggestions" pour Demander de l'Aide

La fonction "Avis et suggestions" est accessible depuis toutes les pages de votre interface et permet de demander de l'aide en cas de problème technique. Voici comment l'utiliser efficacement :

1. Ouvrez le menu en haut à droite et accédez au menu "Avis et suggestions".
2. Tapez votre question ou décrivez votre problème dans la zone de texte prévue à cet effet.
3. Le système va chercher dans la base de connaissances une réponse à votre question.
4. Si une réponse est trouvée, elle s'affichera directement à l'écran.
5. Si aucune réponse n'est trouvée, vous avez la possibilité d'envoyer une demande de support.

Pour envoyer une demande de support, vous avez deux options :

- **Prendre une capture d'écran** : Cela permet de mieux comprendre ce qui se passe sur votre écran. Après avoir pris la capture, vous pouvez utiliser les outils en haut pour annoter l'image. Par exemple, vous pouvez entourer la zone où se pose le problème et ajouter une bulle explicative.
- **Écrire un ticket** : Vous pouvez également rédiger simplement une description de votre problème sans capture d'écran.

Une fois que vous avez annoté la capture d'écran ou écrit votre description :

- Cliquez sur "valider".
- Ajoutez un petit texte si nécessaire pour préciser votre recherche initiale.
- Envoyez le message.

Votre demande sera alors convertie en ticket avec toutes les informations nécessaires pour que l'équipe de support puisse vous aider au mieux. Utilisez toujours le menu "Avis et suggestions" lorsque vous avez des questions ou des problèmes spécifiques à résoudre.

Suivi de vos demandes

Toujours dans le menu "Avis et suggestions", un 3e bouton "suivi de vos tickets" ouvre toutes vos demandes en cours et vous permet de rajouter des informations ou de voir nos réponses.

Retour à l'accueil

Lorsque vous revenez à l'accueil, le dernier rapport ouvert s'affiche, permettant un accès rapide. L'interface inclut des sections importantes pour l'analyse du scan, les tests en direct, la conclusion du scan, et la possibilité de partager les résultats.

Cette interface est conçue pour offrir une navigation fluide et des outils complets pour l'analyse et le partage des enregistrements.

8.2. Ouvrir un rapport

[Découvrir l'app](#)

Introduction

Bienvenue dans ce chapitre consacré à l'application BioCohérence, disponible sur smartphone et ordinateur. Cette application vous permet de suivre et d'analyser divers biomarqueurs pour un meilleur équilibre entre le corps et l'esprit.

Écran d'accueil

À l'ouverture de l'application, vous vous trouvez sur l'écran d'accueil. Deux choix s'offrent à vous : réaliser une nouvelle mesure ou ouvrir un rapport d'exemple. Nous vous recommandons de commencer par l'ouverture du rapport d'exemple pour vous familiariser avec l'interface. Cet écran d'accueil propose également un menu fournissant diverses informations, que nous détaillerons dans les prochaines sections.

Rapport d'exemple

En ouvrant le rapport d'exemple, vous constaterez que le calcul se fait immédiatement. Vous accédez alors au menu principal, qui se divise en plusieurs sections :

- Équilibrage : Priorités, Ressources
- Rapports : Rapport en PDF, Méditations guidées
- Analyse détaillée : Biomarqueurs, Énergie, Corps, Esprit, Progression

Utilisation sur ordinateur

L'application sur ordinateur offre une expérience similaire à celle sur smartphone, avec plus d'espace pour naviguer. Les menus et sections sont identiques, mais l'affichage est optimisé pour les grands écrans.

Navigation

Que vous utilisiez un smartphone ou un ordinateur, une zone de navigation est disponible en haut ou en bas de l'écran. Celle-ci vous permet de passer d'une section à l'autre, notamment pour comparer les enregistrements avant et après une séance, ou pour suivre l'évolution quotidienne sur une période donnée. Pour revenir en arrière ou avancer dans l'enregistrement, il suffit d'appuyer sur "play" et de naviguer dans l'enregistrement.

Analyse des biomarqueurs

Lorsque vous sélectionnez la section "Biomarqueurs", vous pouvez examiner des données telles que l'onde du pouls. Cette analyse peut varier selon les types de marqueurs et les moments d'enregistrement. Sur ordinateur, des onglets supplémentaires comme "Tests" et "Progrès" sont disponibles, offrant une vue détaillée de l'évolution des biomarqueurs au fil des sessions.

Conclusion

Ce chapitre vous a offert un aperçu général de l'application BioCohérence. Pour une compréhension approfondie de chaque écran et fonctionnalité, nous vous invitons à consulter les vidéos complémentaires.



8.3. Enregistrer avec Sensor

Pour réaliser un enregistrement d'ECG propre avec BioCohérence, plusieurs méthodes sont disponibles. Vous pouvez commencer depuis la page d'accueil en initiant un nouvel enregistrement et en cliquant sur "enregistrer". Une autre option est de commencer depuis la page "progression" ou en cliquant sur l'icône de batterie en haut de l'écran. Ces actions connecteront automatiquement l'application au capteur Bluetooth et lanceront l'enregistrement.

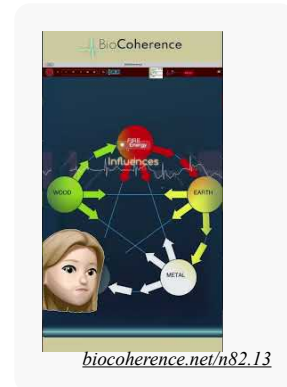
Pendant l'enregistrement, une animation s'affiche pour illustrer les résultats attendus. Cependant, cette animation n'est pas mise à jour en temps réel avec les mesures. Les données seront calculées à la fin de l'enregistrement. L'animation aide à passer le temps nécessaire pour obtenir un bon enregistrement, idéalement au moins deux minutes.

Trois curseurs en haut de l'écran, intitulés "énergie", "activité" et "lien", se remplissent progressivement. Ces curseurs doivent être complètement remplis pour garantir que les informations collectées sont suffisantes pour calculer toutes les variables nécessaires. Une fois que ces curseurs atteignent 100%, l'enregistrement est considéré comme suffisant.

Pour assurer la qualité de l'enregistrement, placez un pouce sur chaque capteur. Si le signal n'est pas de bonne qualité, utilisez du gel à électrode ou humidifiez légèrement vos doigts. La qualité du signal est évaluée automatiquement. Par exemple, si vous retirez un doigt, l'enregistrement s'arrête immédiatement. En remettant le doigt, la reconnexion prend environ une seconde, mais il faudra peut-être recalibrer.

Si vous n'exercez pas une pression suffisante, bougez, ou faites des mouvements brusques, l'écran passe sur un fond rouge, indiquant que les données ne sont pas prises en compte. Le dispositif attendra une recalibration, signalée par le retour des points verts et l'absence de fond rouge, pour reprendre l'enregistrement de données de bonne qualité.

Une fois les curseurs remplis à 100%, cliquez sur "Stop". L'application calculera alors toutes les données et vous pourrez consulter les différents chapitres principaux de l'enregistrement consacré au scan.



8.4. Gestion des clients

Vue d'ensemble

BioCoherence Pro vous permet de travailler en réseau avec un nombre illimité de clients, chacun pouvant être connecté via sa propre application. Ce chapitre vous guidera dans les étapes de la gestion et du partage des informations avec vos clients.

Sélection des clients

Sur toutes les pages où vous devez sélectionner un client, un bouton est disponible en haut à droite pour effectuer cette sélection. Pour trouver un client, il suffit de taper son nom dans le champ de recherche. Le système affichera les clients correspondants et le nombre d'enregistrements disponibles pour chacun d'entre eux.

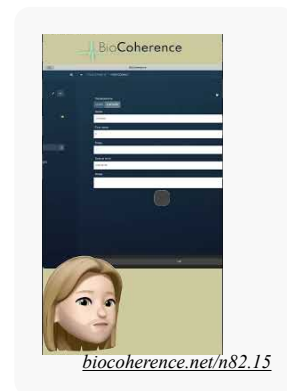
Gestion des fiches

Une fois que vous avez sélectionné un client, vous verrez les fiches disponibles pour ce client. Les fiches peuvent être identifiées par différents pictogrammes :

- Un pictogramme indique que l'enregistrement est stocké sur l'ordinateur local.
- Un autre pictogramme indique que l'enregistrement se trouve dans le nuage.
- Un troisième pictogramme indique que le client a accès à cet enregistrement.

Partager des rapports

Lorsque vous ouvrez un rapport, vous pouvez choisir d'en partager l'accès avec le client. Sur la page d'accueil, un bouton vous permet de modifier les informations du client, telles que le sexe, l'email et une photo. Ces informations sont cruciales pour les visualisations spécifiques aux organes sexuels et aux chakras.



Envoi d'invitations

Pour envoyer une invitation à un client, entrez son adresse e-mail et cliquez sur "Envoyer un e-mail". Vous pouvez également partager le lien ou le texte de l'invitation par SMS, WhatsApp ou toute autre application disponible sur votre appareil. Le message peut être envoyé en anglais ou en français, en changeant la langue à l'aide du sélecteur de drapeau.

Grâce à ces fonctionnalités, vous pouvez facilement gérer et partager des informations avec vos clients sur BioCoherence Pro, tout en assurant une communication efficace et sécurisée.

La gestion des utilisateurs et des clients dans BioCoherence, en détail

L'application BioCoherence offre des fonctionnalités complètes de gestion des utilisateurs et des clients, permettant aux utilisateurs de gérer leurs propres profils et ceux de leurs clients. Cette section détaille les fonctionnalités disponibles pour la gestion des utilisateurs et des clients dans l'application, y compris la création de nouveaux contacts, le passage d'un utilisateur à l'autre et la gestion des données de l'utilisateur.

Affichage de l'utilisateur actuel

- **Affichage de l'utilisateur:** L'utilisateur actuel est affiché en haut de l'écran d'accueil de l'interface de l'application. Il peut s'agir de vous (l'utilisateur principal) ou de n'importe quel client ou contact.
- **Fonctionnalité de confidentialité:** Les utilisateurs peuvent brouiller tous les noms et toutes les images en cliquant sur l'icône de brouillage, ce qui garantit la confidentialité lorsque d'autres personnes sont susceptibles de voir l'écran.

Analyse de l'utilisateur

- **Voir l'analyse:** En cliquant sur "Ouvrir l'analyse" ou "Voir toutes les analyses", les analyses liées à l'utilisateur actuel s'affichent.
- **Changer d'utilisateur:** Pour changer d'utilisateur, cliquez sur l'icône des deux flèches pour accéder au répertoire des utilisateurs. L'utilisateur principal figure toujours en tête de liste.

Répertoire des utilisateurs

- **Accès au répertoire des utilisateurs:** Cliquez sur l'icône des deux flèches pour ouvrir le répertoire des utilisateurs.
- **Recherche d'utilisateurs:** Utilisez l'icône de recherche (loupe) en bas de la page pour filtrer les utilisateurs en saisissant des mots-clés.
- **Création de nouveaux contacts:** Accédez à la liste des contacts via le menu et cliquez sur "Créer un nouveau contact" pour ajouter un nouvel utilisateur. Précisez le sexe de l'utilisateur pour que l'écran s'affiche correctement. Ajoutez son adresse électronique si vous souhaitez l'inviter ou partager un rapport, ou lui donner accès au rapport dans son application.

Gestion des contacts

- **Modification des contacts:** Modifiez les détails du contact actuel, y compris le nom, l'adresse électronique et le sexe. La sélection du sexe affecte l'affichage à l'écran, en particulier pour les analyses spécifiques au sexe.
- **Intégration du courrier électronique:** L'ajout d'un courriel permet l'envoi direct de rapports PDF et crée un compte sur le serveur pour l'utilisateur.
- **Informations supplémentaires:** Les champs facultatifs comprennent la date de naissance, le poids et les notes personnelles. La date de naissance n'est pas utilisée pour l'instant dans les calculs, mais elle le sera dans le cadre de fonctionnalités futures telles que la comparaison de l'âge biologique.

Gestion des fichiers de l'utilisateur

- **Sauvegarde des fichiers:** Les analyses sont sauvegardées dans des fichiers d'utilisateurs. Veillez à ce que les analyses soient enregistrées sous le nom du bon utilisateur afin d'éviter toute confusion. Vous pouvez changer d'utilisateur à ce stade si vous avez commis une erreur, par exemple en commençant un enregistrement sous un autre utilisateur.
- **Téléchargement dans le nuage:** Les analyses peuvent être téléchargées dans le nuage pour être partagées. Cette fonction est nécessaire pour partager l'accès avec les clients.

Partage et invitation d'utilisateurs

- **Inviter des utilisateurs:** Envoyez des invitations aux utilisateurs par courriel ou par texte, pour leur permettre d'accéder à leurs rapports et d'utiliser l'application.

- **Partager des rapports:** Partagez des rapports PDF avec vos clients. Les rapports peuvent être personnalisés en sélectionnant les sections à inclure.

Compatibilité des appareils et mises à jour

- **Compatibilité des appareils:** L'application est compatible avec diverses plateformes, et des mises à jour sont régulièrement publiées pour améliorer les fonctionnalités.
- **Mise à jour de l'application:** Les utilisateurs doivent régulièrement vérifier les mises à jour pour s'assurer qu'ils disposent des dernières fonctionnalités et corrections.

Fonctionnalités supplémentaires

- **Analyse multi-vues:** Comparez plusieurs variables entre les enregistrements en temps réel. Utile pour la recherche et l'analyse détaillée. Vous pouvez afficher et comparer l'historique d'un contact donné.
- **Intégration d'Apple Health:** Importez des enregistrements à partir d'Apple Health. Notez que les importations sur un appareil proviennent du compte Apple Health de l'utilisateur principal. Si vous effectuez un enregistrement sur votre propre Apple Watch, vous ne pouvez l'importer qu'à partir de votre propre appareil. Par conséquent, si l'enregistrement est effectué sur l'Apple Watch du client, l'importation doit se faire à partir de son appareil, avec son application et son identifiant. Il peut ensuite le partager avec vous.

Confidentialité et gestion des données

- **Stockage local des données:** Tous les calculs et toutes les données sont stockés localement sur l'appareil. Le stockage dans le nuage est facultatif et n'est utilisé qu'à des fins de partage.
- **Sécurité des données:** L'application peut fonctionner sans accès à Internet, ce qui garantit la sécurité et la confidentialité des données.

Développements futurs

- **Version simplifiée de l'application:** Une version simplifiée de l'application sera disponible. Elle se concentrera sur l'enregistrement, la lecture des fréquences et la lecture des rapports.

Ce guide complet de la gestion des utilisateurs et des clients dans l'application BioCoherence permet aux utilisateurs de gérer efficacement leurs profils et ceux de leurs clients, améliorant ainsi l'expérience globale de l'utilisateur.

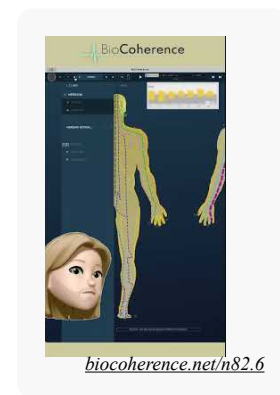
8.5. Rapport en plusieurs parties

Pour examiner le détail d'un rapport, commencez par ouvrir le rapport en question. Cliquez sur son nom pour l'ouvrir, ce qui affichera les différents éléments qu'il contient. En haut de l'écran sur un ordinateur, ou en bas sur un téléphone, les différentes sections du rapport s'affichent. Par défaut, l'entièreté de l'enregistrement est visible, mais il est possible de choisir d'afficher uniquement la première ou la deuxième section, par exemple.

Le détail des sections est accessible via l'onglet "Progression", situé également au milieu de l'interface de la page d'accueil. Cet onglet présente l'évolution des différentes variables au fil des enregistrements. Par exemple, on peut y voir des enregistrements espacés de 5 minutes, 4 minutes 30, ou encore des enregistrements de durées variées comme 40 secondes et 20 secondes.

Il est aussi possible d'ajouter des commentaires à ces enregistrements. Cette fonctionnalité permet de documenter les débuts et fins de sessions, ou d'annoter des actions spécifiques pour observer l'évolution des marqueurs au cours de la session.

Les différents enregistrements sont directement accessibles, permettant de comparer les statuts des biomarqueurs, sections par sections, et d'observer les changements dans les élans, chakras, etc. Ces fonctionnalités offrent une vue détaillée et comparative des différentes sections du rapport.



9. Comprendre : Biomarqueurs

L'analyse technique de l'onde du pouls

Ces écrans permettent une analyse technique de l'onde du pouls, comme l'extraction des fréquences et harmonies, l'édition de l'enregistrement, l'analyse directe de l'onde, le graphique d'évolution des biomarqueurs...

9.1. Détail des biomarqueurs

Introduction

Dans ce chapitre, nous allons explorer le détail des biomarqueurs dans une interface utilisateur. Prenons l'exemple des chakras pour illustrer le fonctionnement et l'affichage des informations pertinentes.

Accès aux Chakras

Lorsqu'on accède à une page dédiée aux chakras, les différents chakras s'affichent. En cliquant sur un chakra spécifique, les biomarqueurs associés apparaissent à droite de l'écran.

Énergie et Agitation

Le premier élément clé est l'énergie, une ressource évaluée en fonction de son niveau d'énergie et de son agitation. À gauche de l'écran, on visualise l'énergie, tandis qu'en bas, l'agitation est affichée. Les deux aspects sont représentés par 9 pétales différentes, décrivant l'état d'énergie et d'agitation :

- Ici, une forte énergie et une faible agitation indiquent une ressource.

Informations Complémentaires

D'autres informations s'affichent également :

- Niveau d'attention
- Niveau d'intention
- Horizon temporel (court, moyen, ou long terme)
- Cycle principal de l'élément

Évolution et Moyenne

Il est possible de suivre l'évolution des biomarqueurs au cours de la session, divisée en quatre parties. Par exemple, on peut observer une variation de l'énergie, avec des phases de montée et de descente, permettant d'évaluer la moyenne générale.

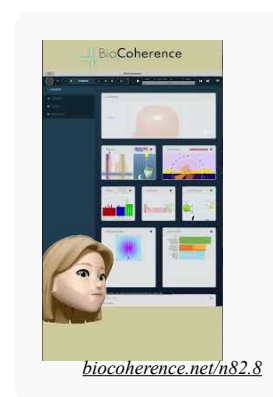
Priorités

Chaque page de biomarqueur propose plus de 1400 biomarqueurs différents. Un bouton permet d'ajouter automatiquement un biomarqueur aux priorités. En cliquant sur "ajouter en priorité", cet élément est marqué pour un traitement ultérieur, comme des méditations ou des fréquences de réharmonisation. Le processus d'ajout et de retrait se fait en un simple clic.

Qualité des Liens

Les liaisons entre les éléments de la même famille (par exemple, les chakras) sont indiquées :

- Nombre de fibres (liaisons)



- Points de résonance
- Pourcentage de diffusion (par exemple, 33% des chakras reliés)

Boutons d'Accès Direct

Deux boutons facilitent la navigation :

- Accès direct au chakra
- Accès direct à la page d'analyse de biomarqueur en plein écran

Aide et Informations

Un point d'interrogation est disponible sur chaque page, fournissant des informations supplémentaires sur les pétales et les significations des différentes résonances et régulations.

En résumé, cette interface permet une gestion détaillée et personnalisée des biomarqueurs, facilitant l'analyse et l'optimisation des chakras et autres éléments connexes.

Informations sur l'énergie et l'agitation des biomarqueurs

Énergie

L'échelle verticale de gauche indique l'énergie moyenne du biomarqueur. Une valeur faible (en bas) indique un biomarqueur à faible énergie. Une valeur élevée (en haut) indique un biomarqueur à haute énergie. Pour certains biomarqueurs (par exemple les points d'acupuncture, les émotions...), l'énergie peut être négative ou positive, ce qui indique un impact sur l'équilibre général. Dans ce cas, une énergie faible est indiquée au milieu de l'échelle.

Agitation

L'échelle horizontale du bas indique l'agitation moyenne du biomarqueur. Une valeur faible (à gauche) indique un biomarqueur essentiellement statique. Une valeur élevée indique un biomarqueur principalement agité.

Pétales du biomarqueur

Les 8 pétales (plus la fleur ouverte, les 8 pétales en équilibre) indiquent la zone d'énergie/agitation principale du biomarqueur.

Statique

Faible énergie, faible agitation. Il s'agit de l'activité la plus faible possible pour un biomarqueur. Il est généralement associé à des affections chroniques et de longue durée.

Faible énergie

Faible énergie, agitation normale. Ce biomarqueur a une activité faible mais fonctionnelle.

Soumis à des contraintes

Faible énergie, forte agitation. C'est un signe de détresse.

Stabilisé

Énergie normale, faible agitation. Ce biomarqueur est un pilier stable.

Souple

Énergie normale, agitation normale. La fleur ouverte indique un état fonctionnel optimal.

Apprentissage

Énergie normale, forte agitation. Cela indique un processus d'apprentissage, généralement en réaction à une information extérieure.

Ressource

Énergie élevée, faible agitation. Il s'agit d'une caractéristique des ressources principales.

Adaptation

Énergie élevée, agitation normale. Cela indique un processus d'adaptation, généralement en réaction à un stimulus externe.

Déstabilisant

Grande énergie, forte agitation. Indique une situation aiguë, difficile à résoudre.

Informations sur la régulation du biomarqueur

Il s'agit d'une analyse non linéaire du biomarqueur.

Attention

Indique la force de la gestion du biomarqueur.

Intention

Une valeur faible indique une dispersion (présence de nombreuses régulations simultanées du biomarqueur). Une valeur élevée indique une concentration (une réglementation principale du biomarqueur fortement présente). Une valeur négative indique le chaos (il n'y a pas de règles claires). Une valeur supérieure indique une hypervigilance (une régulation trop forte).

Horizon

Une valeur faible indique une agitation à court terme (plus de gestion à court terme dans la régulation du biomarqueur qu'à long terme). Une valeur plus élevée indique une détente à long terme (plus de gestion à long terme dans la régulation du biomarqueur qu'à court terme).

Informations sur la résonance des biomarqueurs

Il s'agit d'une analyse non linéaire des résonances entre les biomarqueurs d'un même groupe.

Fils

Indique le nombre total de résonances avec d'autres biomarqueurs du groupe (nombre de fils de la corde principale).

Force

Indique la force totale des liens avec d'autres biomarqueurs du groupe (largeur de la corde principale).

Portée

Indique la proportion d'autres marqueurs de la même catégorie avec lesquels ce biomarqueur a des liens (séparation de la corde principale en cordes individuelles).

Ressources

Les ressources sont des liens forts avec d'autres biomarqueurs. Une ressource indique un échange d'énergie entre deux systèmes. La direction principale de l'échange d'énergie est indiquée (reçoit de ou envoie à). Les ressources sont d'abord classées en fonction des ressources les plus puissantes qu'elles reçoivent ou des ressources les plus nécessaires vers lesquelles elles sont envoyées.

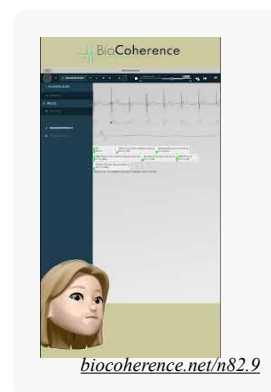
9.2. Édition et Vérification de l'Onde du Pouls (enregistrement brut)

Dans cette section, nous allons aborder comment éditer l'onde du pouls en cas de problèmes d'enregistrement et comment vérifier l'onde brute. Pour commencer, allez dans la section "biomarker" et sélectionnez "ondes du pouls". Vous pourrez alors voir l'onde de chaque battement de cœur, point par point. Cette visualisation battement par battement est utile pour comparer et observer l'évolution de chaque onde.

En plus de la moyenne des ondes, que nous sommes habitués à voir, il est important de noter que la vraie forme d'onde est souvent beaucoup plus agitée autour de cette moyenne. Si un problème survient lors de l'enregistrement, par exemple, si une partie de l'onde n'est pas détectée, le logiciel désactive automatiquement cette section. Cependant, vous avez la possibilité de réactiver cette section si vous décidez qu'elle doit être prise en compte.

Pour ce faire, il suffit de cliquer sur la section correspondante. Vous pouvez également activer ou désactiver des battements individuellement en un clic. Les battements désactivés ne seront plus pris en compte dans le calcul des fleurs ni dans le graphique.

Enfin, vous trouverez un ensemble de statistiques techniques en dessous de l'onde du pouls, telles que l'intervalle RR, l'intervalle PR, les intervalles QRS, etc. Ces données peuvent fournir des informations précieuses pour une analyse plus approfondie.



9.3. Suivi de l'évolution d'un biomarqueur au fil des séances

Pour analyser l'évolution d'un biomarqueur au fil des séances, commencez par accéder à l'onglet "Biomarqueur" et ouvrez "Session" puis "Dynamique". Vous y verrez l'évolution complète du biomarqueur au cours du temps.

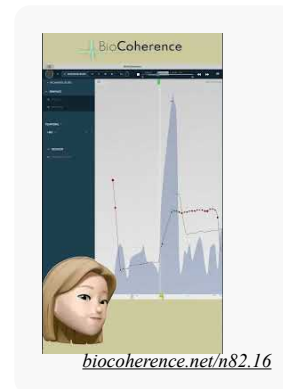
En mode lecture, vous pouvez déplacer le curseur point par point pour observer les différentes parties de l'évolution. En bas de l'écran, des marques indiquent les séparations entre chaque partie de la séance. Vous pouvez ajuster le zoom pour une analyse plus précise, et naviguer entre les différentes parties de la séance, que ce soit la deuxième, la troisième, etc.

Il est possible d'ajouter des événements en cliquant à l'endroit souhaité. Par exemple, si vous effectuez une action notable, vous pouvez marquer cet événement. Une fois ajouté, l'événement est visible par une marque en bas de l'écran, et en cliquant dessus, vous pouvez y accéder à nouveau. Vous avez également la possibilité de déplacer cet événement en l'éditant, puis en confirmant le nouveau positionnement.

Les événements servent à noter des aspects importants de votre pratique et apparaissent également dans le résumé des différentes parties. Le graphique de l'évolution est divisé en plusieurs segments : très court terme (sur fond bleu pour une évolution instantanée), moyen terme, long terme et très long terme. Le très long terme fournit une moyenne sur une période plus longue, nécessitant environ 90 battements pour être calculé.

L'analyse du rapport entre le très court terme et le moyen terme est cruciale. Parfois, la courbe du très court terme passe au-dessus ou en dessous de celle du moyen terme. Lorsque la courbe est en dessous, elle est marquée en rouge, et lorsqu'elle est au-dessus, elle est en vert. Ces indications fournissent des informations importantes pour évaluer l'évolution instantanée lors des tests.

Enfin, une synthèse des informations est disponible sous la forme d'une "fleur" qui indique le niveau d'énergie et le niveau d'agitation. Cette synthèse peut également être analysée partie par partie pour observer l'évolution au fil des différentes sections.



9.4. Analyse des Fréquences et des Harmoniques

Grâce à une opération mathématique appelée FFT, l'onde est transformée en fréquences, puis ces fréquences sont analysées pour en trouver les harmoniques.

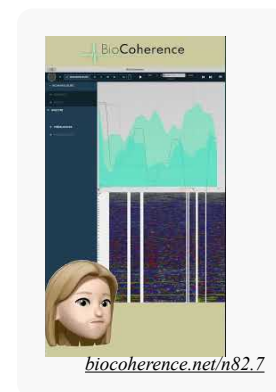
Dans ce chapitre, nous allons nous intéresser aux fréquences et aux harmonies calculées à partir de la forme d'onde. Nous restons dans l'espace biomarqueur, c'est-à-dire dans la liste technique.

Pour commencer, ouvrez les fréquences. Vous verrez un affichage entre 0 et 60 Hz. Au-dessus de cet affichage, vous trouverez les fréquences les plus basses, c'est-à-dire les très faibles fréquences en dessous de 0,03 Hz, les fréquences basses, et les fréquences hautes autour de 0,4 Hz. Ces plages de fréquences contiennent généralement des informations très intéressantes.

Nous examinons d'abord la plage de 0 à 3 Hz, mais il est également possible de trouver des informations sur les autres bandes de fréquences.

Ensuite, passez à la section Harmonique. Cette section effectue un calcul de second ordre sur les fréquences pour déterminer lesquelles sont les plus fortes et les plus harmoniques. Les informations obtenues ici sont également pertinentes pour les différents biomarqueurs. Cette analyse technique vous permet de parcourir l'enregistrement et d'identifier les fréquences prédominantes. Il est difficile de distinguer des informations pertinentes à l'oeil nu sur ces affichages, mais c'est une des bases de ce que l'application utilise pour calculer les biomarqueurs...

La FFT (Fast Fourier Transform) est un algorithme qui calcule la transformée de Fourier de manière rapide et efficace. Elle est largement utilisée en traitement du signal, analyse spectrale et compression de données. La transformée de Fourier est un outil mathématique qui décompose une fonction ou un signal en une somme de sinusoides de différentes fréquences. Elle transforme un signal du domaine temporel au domaine fréquentiel.



9.5. La chaîne causale

La fonction Chaîne causale de BioCoherence offre un moyen complet d'analyser les interconnexions entre différents biomarqueurs, ce qui permet aux utilisateurs d'identifier les causes profondes des déséquilibres et de déterminer les interventions les plus efficaces. Contrairement aux méthodes précédentes qui n'affichaient que les relations au sein d'une même catégorie (par exemple, les organes liés à d'autres organes), la chaîne causale étend cette analyse à toutes les catégories de biomarqueurs, telles que les méridiens, les chakras, les atomes, les agents pathogènes, etc :

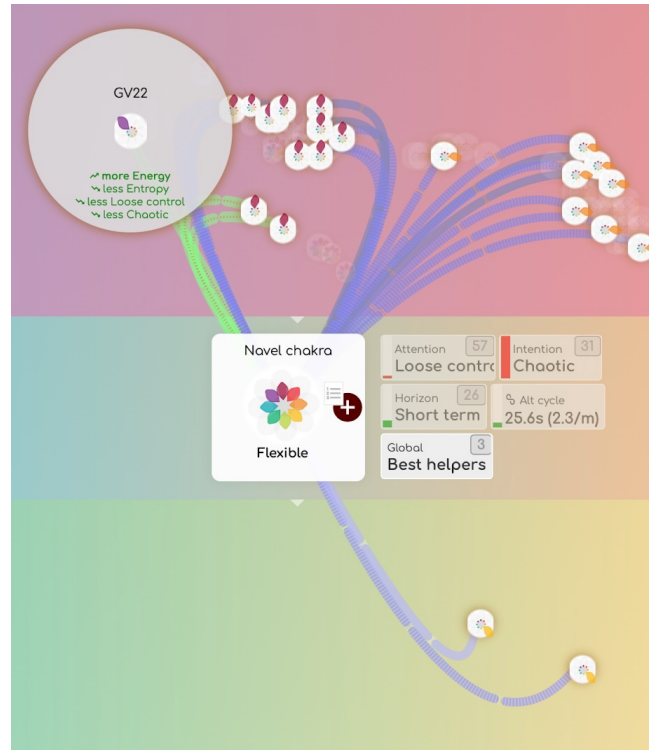
- Identifier les causes sous-jacentes des déséquilibres.
- Déterminer quels biomarqueurs sont en résonance les uns avec les autres.
- Trouver les meilleures aides pour rétablir l'équilibre.
- Établir une liste de priorités personnalisée pour l'harmonisation.

Accéder à la chaîne causale

Pour accéder à la chaîne causale :

1. Ouvrez une analyse et accédez à la section Biomarqueurs.
2. Sélectionnez un biomarqueur d'intérêt (par exemple, un organe, un méridien ou un lecteur).
3. Cliquez sur le sous-menu Causal Chain, dans le menu Relations.

Une nouvelle interface s'ouvre alors, affichant tous les biomarqueurs qui sont en résonance avec le biomarqueur sélectionné.



Comprendre l'interface de la chaîne causale

L'interface de la chaîne causale présente une carte du réseau des biomarqueurs interconnectés. Les éléments clés sont les suivants :

1. Biomarqueur central

- Le biomarqueur que vous avez sélectionné est placé au centre de la carte.
- Tous les autres biomarqueurs qui sont en résonance avec lui sont affichés autour de lui.
- Vous pouvez cliquer sur n'importe quel biomarqueur pour le placer au centre et recalculer autour de lui.

2. Biomarqueurs en résonance

- Seuls les biomarqueurs qui sont actuellement en résonance avec le biomarqueur central sont affichés.
- Ils sont classés en différents groupes, tels que les organes, les méridiens, les chakras, les atomes, les agents pathogènes, etc. Les groupes sont affichés en bas de l'écran. Cliquez sur le nom d'un groupe pour afficher les biomarqueurs correspondants. Chaque groupe peut afficher un ou deux nombres :
 - toujours, le nombre de biomarqueurs apparentés dans ce groupe
 - uniquement s'il y en a, dans un cercle blanc : le nombre de liens importants (meilleurs assistants) dans ce groupe.

3. Force de la relation

Chaque lien entre biomarqueurs est codé par une couleur :

- Grand lien (blanc, vert ou bleu) : Meilleures aides, avec la plus forte résonance et la plus grande capacité d'aide (meilleures améliorations de l'énergie, de l'agitation et de la qualité)
- Vert : Influence positive sur le biomarqueur central (par exemple, augmentation de l'énergie, réduction de l'entropie).
- Bleu : Le biomarqueur central envoie de l'énergie vers lui.
- Les liens fins indiquent des relations spécifiques liées à l'attention, à l'intention et à l'horizon. La légende en haut de page indique leur signification.

4. Cartographie de l'énergie et de l'entropie

- Les biomarqueurs sont positionnés sur une carte graphique basée sur les niveaux d'énergie (de faible à élevé) et d'agitation (entropie) (de faible à élevé), de la même manière que les pétales sont organisés sur la fleur.
- Cela permet aux utilisateurs d'évaluer visuellement quels biomarqueurs contribuent à la stabilité ou au déséquilibre.

5. Filtrage et Best Helpers

Les utilisateurs peuvent filtrer les biomarqueurs affichés en fonction de qualités spécifiques :

- Augmente l'attention
- Augmente l'intention
- Augmente l'horizon
- S'aligne sur les cycles principaux
- Meilleures aides (biomarqueurs qui exercent l'influence la plus bénéfique)

6. Navigation et histoire

- En cliquant sur un biomarqueur, vous le centrez dans l'analyse, ce qui permet aux utilisateurs d'explorer sa propre chaîne de causalité.
- Un panneau d'historique suit le chemin de l'exploration, permettant aux utilisateurs de revenir aux biomarqueurs précédents.
- Les utilisateurs peuvent revenir au biomarqueur d'origine ou explorer plus en profondeur les biomarqueurs connexes.

Utilisation de la chaîne causale pour l'analyse

Étape 1 : Identifier la cause première

- Commencez par un biomarqueur qui apparaît dans la liste des priorités.
- Ouvrez la chaîne causale pour voir quels biomarqueurs l'influencent.

Étape 2 : Trouvez les meilleurs assistants

- Utilisez le filtre Best Helpers pour identifier les biomarqueurs susceptibles d'influencer positivement le biomarqueur central.
- Recherchez les connexions vertes, qui indiquent les relations bénéfiques les plus fortes.
- Les connexions bleues peuvent indiquer que d'autres éléments sont aidés par ce biomarqueur et en tirent de l'énergie, révélant ainsi des liens de causalité qui peuvent expliquer les états actuels.

Étape 3 : Établir une liste de priorités personnalisée

- Cliquez sur un biomarqueur et ajoutez-le à la liste des priorités.
- Continuez à explorer les biomarqueurs apparentés et ajoutez les biomarqueurs pertinents à la liste.
- Cela permet de s'assurer que le processus d'harmonisation ne porte pas uniquement sur le symptôme, mais également sur les causes sous-jacentes.

Étape 4 : Appliquer les résultats

- Utilisez la fonction Harmonic Boost pour jouer les fréquences sélectionnées.
- Le cas échéant, intégrez les points, organes, méridiens ou atomes de la MTC dans le processus d'harmonisation.
- Améliorez l'Harmonic Boost en ajoutant les protocoles sélectionnés à chaque biomarqueur.
- Surveillez les progrès sur plusieurs sessions pour suivre les améliorations.

Exemple de cas d'utilisation

Scénario : Traitement du déséquilibre pulmonaire

1. Sélectionnez le poumon dans la liste des priorités.
2. Ouvrez la chaîne de causalité pour voir les biomarqueurs associés.
3. Identifiez les meilleurs auxiliaires : par exemple, Organes : Estomac, Foie - Méridiens : Rein, Vessie - Atomes : Tantale, Osmium - Conduites : Manque de confiance, Hypersensibilité
4. Ajoutez les biomarqueurs les plus pertinents à la liste des priorités.
5. Jouez les fréquences d'harmonisation (Harmonic Boost) et les programmes (Personal Guide), et suivez les progrès au fil du temps.

Avantages de la chaîne causale

- Analyse holistique : Offre une vue complète des interconnexions entre les différents biomarqueurs.
- Approche personnalisée : Adapte l'harmonisation à l'état énergétique unique de l'individu et permet de partir d'un symptôme particulier et de trouver les éléments pertinents de la chaîne de causalité.
- Approfondissement des connaissances : Aide les praticiens et les utilisateurs à comprendre les causes sous-jacentes des déséquilibres.
- Une hiérarchisation efficace : Se concentre sur les biomarqueurs les plus significatifs pour des résultats plus rapides.

La chaîne causale est un outil puissant de BioCoherence qui améliore la capacité à analyser et à traiter les déséquilibres à un niveau plus profond. En cartographiant les relations entre les biomarqueurs et en identifiant les meilleures aides, les utilisateurs peuvent créer des programmes de Boost Harmonique et de Guide Personnel très efficaces, adaptés à leurs besoins spécifiques.

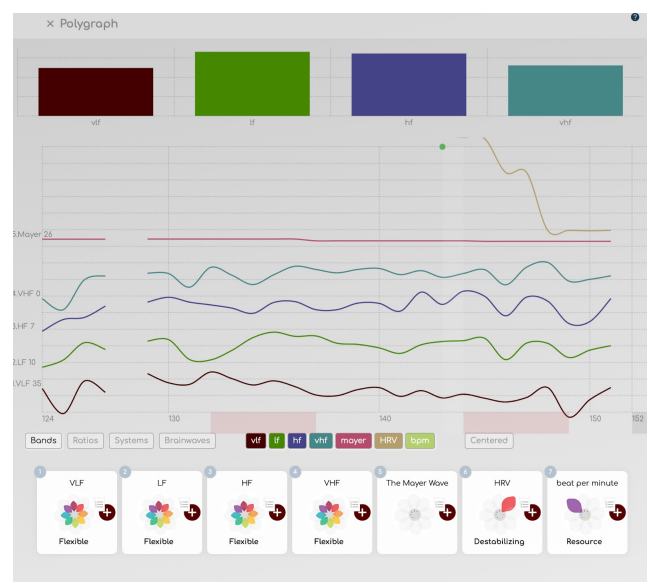
9.6. Polygraphe

Cet écran utilise principalement des biomarqueurs académiques.

Il offre un moyen pratique de voir en un coup d'oeil les proportions VHF, HF, LF et VLF, ainsi qu'un graphique linéaire de 7 courbes importantes.

Il peut être utilisé en temps réel pendant l'enregistrement, comme tous les écrans (il suffit de changer d'écran pendant l'enregistrement). Tous ces marqueurs sont issus de la recherche académique sur les ECG. Vous pouvez afficher jusqu'à 7 bandes de votre choix, en parallèle ou centrées sur la même ligne.

- En mode **Bandes**, les 7 lignes sont : Bpm, VRC, ondes de Mayer, VHF, HF, LF et VLF.
- En mode **Ratios**, les 7 lignes sont : SDNN (Puissance totale), SI (Indice de stress), IC (Indice de centralisation), LF/HF (Puissance, interaction vago-sympathique), LF/VLF (Relaxation), VLF/HF (Stress) et VLF HF (Activité globale).
- En mode **Systèmes**: CNS, Ortho, Symp, Para, IRSA, Immunité, HRV.
- En mode **Ondes cérébrales**: Delta, Thêta, Alpha, Bêta, Bêta1, Bêta2, Gamma.



Cliquez sur une catégorie sous le graphique pour afficher ces éléments ; cliquez sur les légendes colorées des éléments pour les afficher ou les masquer. Cliquez sur Centré pour

afficher tous les éléments sur la même ligne de base. Cliquez sur la fleur sous le graphique pour accéder aux détails complets du biomarqueur.

Si vous effectuez des recherches avec ce graphique, il pourrait être à l'origine de nouvelles connaissances ou de nouveaux biomarqueurs. En outre, n'oubliez pas que vous pouvez analyser n'importe quel biomarqueur dans sa chronologie et avec des événements sur l'écran Dynamique des biomarqueurs.

10. Comprendre : Energie

Les écrans consacrés à l'énergie proposent des graphiques sur l'horloge biologique, les chakras, les élans, les atomes, les influences, l'ayurveda, les micro-organismes...

10.1. Les élans

contraintes, équilibres et mouvements

Dans cette section, nous allons aborder les élans dans le contexte de la gestion de l'énergie. Pour accéder à cette fonctionnalité, rendez-vous dans le menu "Énergie" et cliquez sur "Élan". Vous y découvrirez une vingtaine d'élans disponibles, classés en trois catégories principales : contraintes, équilibres et mouvements.

Principe des élans

Notre corps est sans cesse en mouvement ; le mouvement, c'est la vie. Mais nous sommes composés d'une myriade d'éléments, qui font partie de nous ou qui sont des contraintes extérieures subies et qui, parfois, veulent aller dans le sens contraire de l'intérêt général. Nous avons séparé les élans en 3 catégories : ceux qui freinent, ceux qui équilibrent et ceux qui sont moteur.

1. Contraintes

Les contraintes regroupent les éléments qui freinent le mouvement. Parmi ces éléments, vous trouverez :

- Le stress géopathique (cliquez sur n'importe quel élément du graphique pour obtenir plus d'informations).
- Les radiations géopathiques.
- L'eau géopathique : concerne les veines d'eau, failles, etc., induisant des courants électriques souterrains.
- Les énergies nocives.
- Les métaux lourds.
- Les agents pathogènes.
- Les miasmes.
- Les toxines.

2. Équilibres

La section équilibre comprend les aspects qui permettent de maintenir une stabilité. Elle inclut :

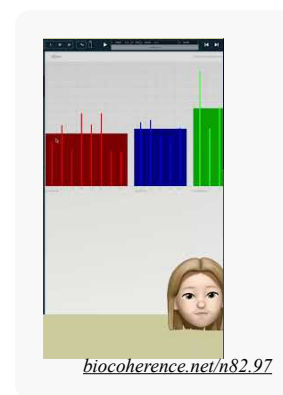
- L'équilibre émotionnel.
- L'équilibre énergétique.
- La qualité du sommeil.
- Le terrain (équilibre global du corps).
- L'équilibre vertical.

3. Mouvements

Les mouvements englobent les facteurs qui vous confèrent du dynamisme. Les principaux éléments sont :

- Les organismes.
- La vitalité.
- La tension artérielle.
- Les fluides.

Vous pouvez également observer le mouvement général et le comparer selon les différentes étapes et sections de votre enregistrement.



Un point intéressant à noter est la relation entre ces éléments. Par exemple, ici, les organismes sont liés à l'équilibre émotionnel, et la tension artérielle reçoit et envoie des informations à différents endroits, ce qui peut fournir des indications précieuses sur la qualité générale de l'analyse.

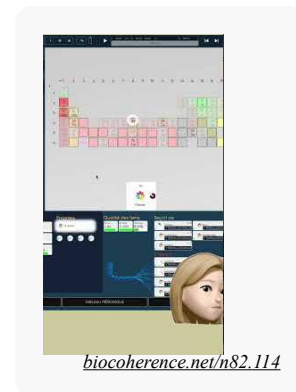
En combinant ces informations, vous pourrez mieux comprendre et gérer les différents aspects de votre énergie et de vos élans.

10.2. Atomes

Tableau périodique des éléments

Dans la page Atomes, vous pouvez accéder au tableau périodique des éléments pour obtenir des informations sur les différents atomes. En cliquant sur un atome dans ce tableau, vous pouvez voir les liaisons qu'il peut avoir avec d'autres atomes, c'est-à-dire les résonances communes. Cette information est également visible en bas de l'écran, mais la visualisation directe sur le tableau est plus intuitive.

Actuellement, l'application permet une évaluation générale des résonances pour chaque atome. Une future version pourrait permettre la reconstitution des résonances de molécules entières, basées sur les liaisons entre différents atomes. Cette fonctionnalité peut être particulièrement utile dans le cadre d'un bilan que vous effectuez, pour voir des excès ou carences dans certains éléments, ou encore pour voir, grâce aux enregistrements en plusieurs parties qu'on peut comparer, si un élément se stabilise suite à l'application d'un produit ou d'une thérapie.

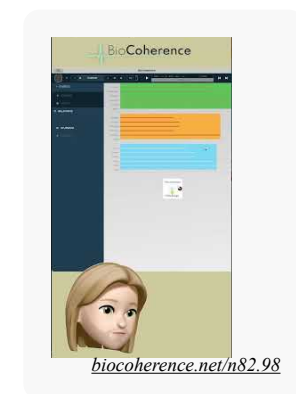


10.3. L'Évaluation de l'Énergie selon l'Ayurveda

Doshas et sous-doshas

L'Ayurveda est un système de médecine traditionnelle distinct de la médecine traditionnelle chinoise, bien qu'il présente des similitudes, notamment l'équivalent des 12 méridiens sous la forme de 15 Sous-doshas. Ces Sous-doshas sont regroupés en trois influences principales : Kapha, Pitta et Vata.

Ces influences peuvent être perçues de manière générale, et notre représentation visuelle habituelle en forme de fleur peut s'afficher pour illustrer ces influences. Il est également possible d'afficher les éléments individuels, appelés sous-doshas. En cliquant sur l'un des Sous-doshas, on peut voir les groupes auxquels il correspond. Par exemple, un Sous-dosha peut correspondre à la peau et au groupe des membres peau. Un autre Sous-dosha peut correspondre à différents groupes, et ainsi de suite.



Les 3 Doshas selon l'Ayurveda

1. Vata

- **Description:** Associé à l'air et l'éther, Vata régit le mouvement dans le corps, y compris la circulation sanguine, la respiration et les impulsions nerveuses.

2. Pitta

- **Description:** Composé de feu et d'eau, Pitta contrôle la digestion, le métabolisme et la production d'énergie.

3. Kapha

- **Description:** Formé de terre et d'eau, Kapha est responsable de la structure corporelle, la stabilité, et la lubrification des articulations.

Les 15 Sous-Doshas

Sous-doshas de Vata

1. **Prana Vata**
 - **Fonction:** Contrôle la respiration et l'esprit.
2. **Udana Vata**
 - **Fonction:** Gère la parole et l'expression.
3. **Samana Vata**
 - **Fonction:** Régule la digestion et l'assimilation des aliments.
4. **Vyana Vata**
 - **Fonction:** Supervise la circulation et les mouvements des fluides corporels.
5. **Apana Vata**
 - **Fonction:** Régule l'élimination des déchets.

Sous-doshas de Pitta

6. **Pachaka Pitta**
 - **Fonction:** Contrôle la digestion des aliments dans l'estomac et l'intestin.
7. **Ranjaka Pitta**
 - **Fonction:** Responsable de la formation du sang.
8. **Sadhaka Pitta**
 - **Fonction:** Influence les émotions et les fonctions mentales.
9. **Alochaka Pitta**
 - **Fonction:** Affecte la vision et la perception visuelle.
10. **Bhrajaka Pitta**
 - **Fonction:** Régule la santé de la peau.

Sous-doshas de Kapha

11. **Kledaka Kapha**
 - **Fonction:** Lubrifie et protège les parois de l'estomac.
12. **Avalambaka Kapha**
 - **Fonction:** Soutient le coeur et les poumons.
13. **Bodhaka Kapha**
 - **Fonction:** Régule les fonctions de la bouche et de la salive.
14. **Tarpaka Kapha**
 - **Fonction:** Lubrifie le cerveau et le système nerveux.
15. **Shleshaka Kapha**
 - **Fonction:** Assure la lubrification des articulations.

Ces doshas et sous-doshas travaillent ensemble pour maintenir l'équilibre et la santé du corps et de l'esprit.

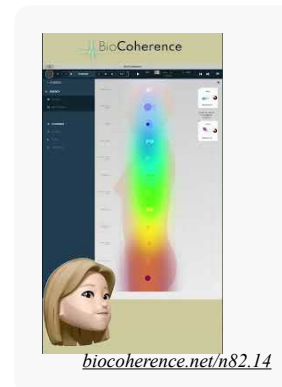
10.4. Visualisation des Chakras

Dans ce chapitre, nous allons explorer l'onglet Énergie, en commençant par la section des chakras. Cette section vous permet de visualiser et d'interagir avec les informations relatives aux chakras de manière détaillée.

Pour commencer, vous pouvez choisir d'afficher les chakras en cliquant sur le bouton dédié. Il est possible d'afficher soit 7 chakras, soit 12 chakras en cliquant sur le petit bouton "12" situé en bas de l'écran.

Une fois les chakras affichés, vous pouvez sélectionner un chakra spécifique en cliquant dessus. Cette action vous donne accès à toutes les informations concernant ce chakra, y compris les liaisons énergétiques et les points d'acupuncture associés. Les points d'acupuncture indiquent les points d'entrée et de sortie du chakra, et ils apparaissent sur l'écran avec des tailles variées en fonction de leur niveau d'énergie.

En outre, l'aura du chakra s'affiche également, et sa présentation varie en fonction de l'énergie générale du chakra sélectionné. Ainsi, vous pouvez obtenir une représentation visuelle et précise de l'état énergétique de chaque chakra.



10.5. Influences

Les 5 éléments : Bois, Feu, Terre, Métal, Eau

Un autre concept important dans le domaine de l'énergie est celui des influences. Cet écran, appelé "influences", permet de visualiser, selon l'évaluation de la médecine traditionnelle chinoise (MTC), les relations entre les cinq éléments. Ces relations peuvent être de création, de destruction, d'insulte ou de surchauffe.

Par exemple, le bois peut influencer le métal en exerçant une pression sur lui, tandis que l'eau peut peser sur le feu. En revanche, le bois aide à la création du feu. Ces relations sont déduites selon les règles de la MTC et l'évaluation des méridiens.

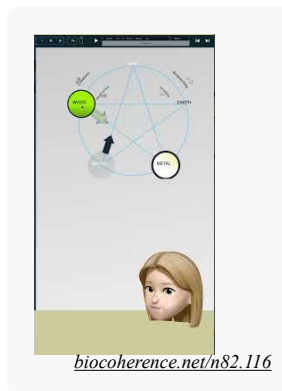
Les 5 éléments de la Médecine Traditionnelle Chinoise (MTC) sont :

1. **Bois** : associé au foie et à la vésicule biliaire.
2. **Feu** : associé au coeur et à l'intestin grêle.
3. **Terre** : associé à la rate et à l'estomac.
4. **Métal** : associé aux poumons et au gros intestin.
5. **Eau** : associé aux reins et à la vessie.

Les relations principales entre ces éléments sont :

- **Cycle d'engendrement (Sheng)** : Bois > Feu > Terre > Métal > Eau > Bois.
- **Cycle de contrôle (Ke)** : Bois > Terre > Eau > Feu > Métal > Bois.

Ces cycles assurent l'équilibre et l'harmonie dans le corps.



11. Comprendre : Corps

Utilisation des méthodes de navigation et d'évaluation dans les écrans consacrés au corps

Les écrans consacrés au corps comprennent 3 types principaux d'analyse : les méridiens de MTC, les points d'acupuncture avec les recettes de MTC associées, et les organes.

11.1. Méridiens de MTC

14 ou 20 méridiens, liens et symptômes liés

La section "Corps" de l'application propose trois principales feuilles d'information : les méridiens, les points d'acupuncture et les organes. Ce chapitre se concentrera principalement sur la navigation et l'évaluation des méridiens.

1. Affichage des Méridiens :

- L'application permet de choisir entre 14 ou 20 méridiens.
- En mode 20 méridiens, les méridiens extraordinaires s'affichent en plus des méridiens standards.
- En mode 14 méridiens, les 12 principaux sont affichés, en plus des deux vaisseaux : gouverneur et conception.

2. Navigation et Visualisation :

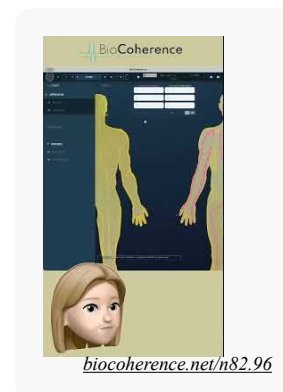
- Vous pouvez cliquer en haut de l'écran pour afficher le trajet d'un méridien et ses principales caractéristiques.
- En cliquant sur l'icône de fleur, des informations supplémentaires apparaissent.
- La navigation entre les méridiens se réalise par clic, permettant de visualiser les liaisons entre eux.
- L'évolution des méridiens peut être suivie au cours des différentes parties de la séance.
- Utilisez le menu à gauche ou en haut pour naviguer sur votre téléphone.

3. Évaluation des Méridiens :

- Cliquer sur la liste des méridiens affiche leur évaluation.
- Le sous-menu propose trois critères : énergie, entropie et cohérence.
- La logique de ces critères s'applique à toutes les pages du Core.

4. Critères d'Évaluation :

- **Énergie :**
 - Affichage en deux colonnes : les méridiens les plus énergétiques et les moins énergétiques.
 - Possibilité d'afficher plus ou moins de méridiens par clic.
 - Informations supplémentaires basées sur l'état énergétique actuel et les symptômes en Médecine Traditionnelle Chinoise (MTC).
 - Croisement des informations avec d'autres méridiens pour des détails plus précis.
- **Entropie :**
 - Affichage des méridiens les plus agités et les plus statiques.
 - Fournit des symptômes possibles associés à chaque état.
- **Cohérence :**
 - Affichage des méridiens qui résonnent ensemble.
 - Les méridiens en cohérence forment un système résonant au même rythme.



5. Utilisation des Informations :

- La logique énergie-entropie-cohérence permet de classer les éléments principaux pour un bilan.
- Ces éléments aident à comprendre le fonctionnement de l'organisme de la personne évaluée.

En suivant ces instructions, vous pourrez naviguer efficacement dans l'application et utiliser les critères d'évaluation pour obtenir des informations détaillées sur les méridiens, leur état énergétique, leur entropie et leur cohérence.

A propos des méridiens en MTC :

En Médecine Traditionnelle Chinoise (MTC), les méridiens sont des canaux énergétiques par lesquels circule le Qi (énergie vitale). Il y a 12 méridiens principaux, et 8 méridiens extraordinaires dont 2 méridiens de régulation. Voici leur description :

12 Méridiens Principaux :

1. **Poumon (LU)** : Régule la respiration et le système immunitaire.
2. **Gros Intestin (LI)** : Élimine les déchets solides et régule les fonctions intestinales.
3. **Estomac (ST)** : Digestion des aliments et absorption des nutriments.
4. **Rate/Pancréas (SP)** : Transformation et transport des nutriments, soutien de l'énergie.
5. **Coeur (HT)** : Gouverne le sang et les vaisseaux sanguins, contrôle l'esprit.
6. **Intestin Grêle (SI)** : Séparation des substances pures et impures, absorption des nutriments.
7. **Vessie (BL)** : Élimination des déchets liquides, régulation des liquides corporels.
8. **Rein (KI)** : Stocke l'essence vitale, régule l'eau, contrôle les os et les oreilles.
9. **Maître du Cœur (PC)** : Protège le coeur, régule les émotions et la circulation sanguine.
10. **Triple Réchauffeur (TE ou SJ)** : Régule les trois réchauffeurs (haut, moyen, bas), contrôle la circulation de l'énergie et des liquides.
11. **Vésicule Biliaire (GB)** : Stocke et excrète la bile, aide à la prise de décision.
12. **Foie (LV)** : Stocke le sang, régule le flux de Qi, soutient les tendons et les muscles.

8 Méridiens Extraordinaires :

1. **Vaisseau Conception (Ren Mai)** : Régule les méridiens Yin, contrôle la reproduction.
2. **Vaisseau Gouverneur (Du Mai)** : Régule les méridiens Yang, contrôle le système nerveux central.
3. **Vaisseau Pénétrant (Chong Mai)** : Régule le sang et l'énergie des méridiens principaux.
4. **Vaisseau Ceinture (Dai Mai)** : Encerclent les méridiens verticaux, régule les organes sexuels et l'abdomen.
5. **Vaisseau Yin de Jonction (Yin Qiao Mai)** : Régule l'équilibre Yin-Yang, contrôle le sommeil et l'éveil.
6. **Vaisseau Yang de Jonction (Yang Qiao Mai)** : Régule l'équilibre Yin-Yang, influence les mouvements des membres.
7. **Vaisseau Yin de Lien (Yin Wei Mai)** : Régule les méridiens Yin, influence les émotions.
8. **Vaisseau Yang de Lien (Yang Wei Mai)** : Régule les méridiens Yang, influence les défenses corporelles.

2 Méridiens de Régulation :

1. **Vaisseau Conception (Ren Mai)** : Déjà mentionné parmi les méridiens extraordinaires.
2. **Vaisseau Gouverneur (Du Mai)** : Déjà mentionné parmi les méridiens extraordinaires.

Ces méridiens travaillent ensemble pour maintenir l'équilibre énergétique et la santé globale du corps.

11.2. Carte des organes

Plus de 10 cartes détaillées d'organes et de leurs liens

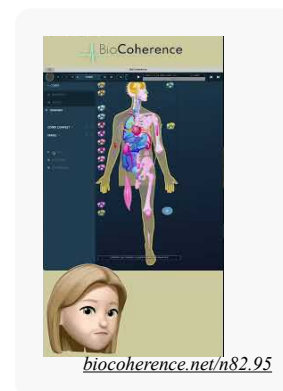
Dans cette section, nous allons explorer la fonctionnalité des organes dans notre application d'évaluation corporelle. Lorsque vous accédez à la catégorie des organes, vous serez d'abord présenté avec une visualisation complète du corps. Vous pouvez entrer dans l'évaluation générale en cliquant sur un organe spécifique pour voir ses relations avec d'autres parties du corps. Par exemple, les organes en surbrillance sont ceux d'intérêt. En cliquant sur le coeur, vous verrez ses connexions avec divers organes et ces relations sont également visibles sur la carte.

Vous pouvez naviguer facilement en cliquant sur des systèmes spécifiques comme le système respiratoire pour voir ses connexions, y compris avec les neurotransmetteurs, la langue, la bouche et différents tissus. En cliquant sur la bouche, un zoom sur le système digestif est proposé, modifiant la carte pour montrer les relations entre la bouche et d'autres aspects du système digestif.

Vous avez également la possibilité de choisir différentes cartes, comme celle du cerveau. Cette carte vous présentera les différentes parties du cerveau avec une évaluation complète sous forme de liste. Si vous souhaitez localiser une partie particulière, la carte vous la montrera. Par exemple, en cliquant sur l'épiphyse, vous verrez sa position, les glandes qu'elle reçoit et envoie des signaux. Chaque élément, comme la sérotonine ou la prolactine, peut être exploré pour voir ses connexions ou son absence de connexions avec d'autres hormones.

La section des organes vous offre également des options pour visualiser l'énergie, l'entropie et la cohérence, qui varient en fonction de l'écran utilisé. Sur l'écran du corps complet, ces paramètres sont affichés pour les éléments jugés les plus pertinents, indiquant leurs ressources énergétiques ou leur niveau d'agitation. Par exemple, en examinant les dents ou les vertèbres, vous pouvez identifier lesquelles sont les plus énergétiques ou agitées, offrant des informations précieuses pour un bilan complet.

Enfin, pour mémoire, chaque fois que vous identifiez un élément pertinent, vous pouvez l'ajouter à la liste des priorités en cliquant sur l'icône dédiée. Cela permet de les inclure dans la sélection d'équilibre pour une harmonisation ultérieure.



11.3. Points d'acupuncture

Evaluez plus de 350 points d'acupuncture et la pertinence de centaines de recettes de MTC

Exploration des Points et Méridiens

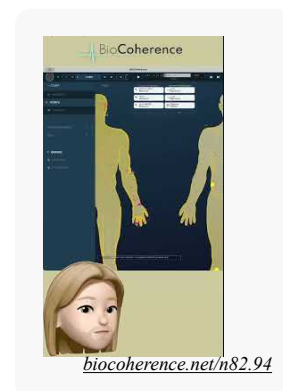
Lors de l'exploration du corps dans le logiciel, vous avez accès aux méridiens, aux points et aux organes. En cliquant sur un méridien spécifique, l'affichage change pour montrer les détails des points sur chaque méridien plutôt que les méridiens entiers. Cette fonctionnalité permet une évaluation précise de chaque point.

Sélection et Informations des Points

Vous pouvez cliquer sur chaque point pour obtenir des informations détaillées concernant ce point particulier. Il est également possible de sélectionner un méridien et de voir l'état de chacun de ses points. En changeant de méridien, vous pouvez visualiser les différents points et leur emplacement sur une carte, ce qui est particulièrement utile pour une navigation efficace.

Navigation et Suivi des Méridiens

La navigation dans les méridiens peut se faire en cliquant sur le titre du méridien dans le sélecteur en haut de l'écran. Vous pouvez également afficher l'évolution des points au fur et à mesure des séances. Cette fonctionnalité est précieuse pour suivre l'évolution de points spécifiques au fil du temps.



Informations Spécifiques aux Méridiens

Lorsque vous sélectionnez un méridien, vous accédez à des informations différentes de celles disponibles dans l'onglet méridien. Vous y trouverez les huit points principaux, tels que le point ambassadeur, dispersion, jaillissement et fleuve, qui sont essentiels en Médecine Traditionnelle Chinoise (MTC). Des informations sur l'alimentation du méridien et ses connexions sont également disponibles.

Affichage des Points sur la Carte

En cliquant sur un point, son emplacement précis sur la carte est affiché. Le menu de gauche propose des options comme énergie, entropie et cohérence. En sélectionnant énergie, l'affichage montre les points les plus énergétiques et les moins énergétiques en violet et jaune, respectivement.

Logique des Recettes de MTC

L'application utilise une logique de recettes de MTC, qui combine plusieurs points pour corriger un symptôme. Par exemple, si certains points résonnent ensemble et sont trop faibles ou trop forts, cela peut indiquer un déséquilibre. Les recettes de MTC, développées sur des milliers d'années, sont appliquées pour traiter des symptômes spécifiques comme les reflux gastriques. Dans cette application, nous avons appliqué une logique inversée. Nous avons supposé que si certains points résonnaient ensemble et présentaient des niveaux d'énergie trop faibles ou trop forts, cela pouvait nous fournir des indications précieuses. Par exemple, des points très énergétiques ou très peu énergétiques, ou encore des points trop agités ou trop statiques, peuvent signaler un déséquilibre dans le système cohérent qui sert normalement à traiter des affections comme les reflux gastriques ou les pyrosis. Prenons le cas où trois points spécifiques sont très statiques chez un individu. Cela pourrait indiquer que la recette ou le traitement associé à ces points est nécessaire pour cette personne. Cette approche peut vous offrir des idées supplémentaires pour établir un diagnostic.

Application des Recettes

Les recettes peuvent être appliquées en acupuncture ou en utilisant des fréquences sonores ou électriques lors de la phase d'équilibrage. Les systèmes en cohérence, où les points résonnent ensemble, sont particulièrement pertinents pour un diagnostic précis. La synchronisation des points suggère une pertinence accrue des traitements de MTC pour la personne analysée.

Conclusion

Ce chapitre a détaillé l'utilisation des points et méridiens dans le logiciel de MTC, en expliquant comment naviguer, sélectionner et interpréter les informations pour un diagnostic précis et un traitement efficace.

12. Comprendre : l'esprit

Mental, esprit et inconscient

Ces écrans sont dédiés à la partie mentale, spirituelle et à l'inconscient. On y trouve la personnalité, l'harmonie musicale, les émotions, l'alignement, les blessures et les moteurs.

12.1. Alignement

Alignement et Cohérence dans la Gestion des Ondes Elfie

L'alignement est une composante essentielle de l'esprit, en particulier lorsqu'il s'agit de gérer les ondes Elfie. L'alignement se manifeste par différentes échelles de ces ondes, et leur compréhension peut être facilitée par l'utilisation d'outils de visualisation. Par exemple, la cohérence cardiaque peut être représentée visuellement et offre une perspective sur l'état énergétique d'un individu.

Dans l'interface, trois curseurs situés en bas permettent de visualiser les paramètres, tandis qu'en haut, une visualisation de la spirale de l'implosion est affichée. L'échelle des ondes Elfie, comme illustré par les valeurs 205, 206, et 214, indique le niveau de l'échelle actuelle. Pour des informations détaillées sur une valeur spécifique, comme 214 Elfie, il suffit de cliquer pour obtenir des précisions sur ses caractéristiques et ses implications.

Chaque échelle présente des valeurs notables à certaines longueurs d'onde, offrant des informations précieuses sur les interactions énergétiques. En observant ces échelles, il est possible de déterminer le degré de liaison avec d'autres niveaux d'échelle. Par exemple, une analyse peut révéler qu'un individu est plus énergisé sur une échelle micro que macro, indiquant une énergie plus concentrée dans les petites structures.

La visualisation de la spirale permet de suivre le parcours énergétique à travers différentes échelles. En descendant la spirale et en observant les valeurs à chaque niveau, il est possible de comprendre comment l'énergie évolue au fil du temps. Cela est particulièrement pertinent lors d'enregistrements prolongés où l'évolution à différentes échelles peut être étudiée.

Un aspect crucial de cette analyse est la cohérence ciblée, en particulier la cohérence cardiaque, qui mesure à quel point l'énergie d'un individu est synchronisée avec les valeurs elfies. Ces valeurs sont considérées comme les plus compatibles pour la transmission d'énergie à toutes les échelles. Les curseurs jouent un rôle important en ajustant ces paramètres pour atteindre une cohérence optimale.

En conclusion, l'alignement et la cohérence dans la gestion des ondes Elfie sont des concepts complexes mais fondamentaux pour la compréhension de l'énergie à différentes échelles. Les outils de visualisation et les curseurs offrent une aide précieuse pour naviguer et optimiser ces paramètres, contribuant ainsi à une meilleure gestion et transmission de l'énergie.

Plus d'infos sur <https://elfie.link> ou sur le menu "Elfie" dans le logiciel.

12.2. Ondes Cérébrales

Analyse de l'activité générale dans les domaine des ondes cérébrales



Dans cette section, nous allons aborder le dernier onglet de l'interface "Mental" qui concerne les ondes cérébrales. Cette fonctionnalité est encore en phase expérimentale. Il est audacieux de dire que nous pouvons lire les ondes cérébrales dans un ECG; cet écran vous permet d'examiner les spectres d'analyse de l'ECG correspondant aux différentes ondes cérébrales et d'observer leur évolution dans le temps. Après tout, notre appareil mesure l'activité électrique du corps entier, mais les ondes cérébrales sont 100 fois moins puissantes que l'ECG et il s'agit donc encore d'un algorithme expérimental.

L'affichage des ondes cérébrales se présente de manière dynamique. Lorsque vous êtes en mode lecture, vous remarquerez un affichage à plusieurs bandes. La logique sous-jacente à cet affichage est que plus une bande est large, plus elle représente une période de temps longue. À l'opposé, une bande plus mince indique une période de temps plus courte.

Voici une explication des différentes bandes :

- La bande la plus courte correspond aux mesures de très court terme, mesurées au niveau du battement ou de quelques battements.
- À mesure que les bandes s'élargissent, elles représentent des périodes de temps de plus en plus longues.

Il est important de noter que les éléments à court terme bougent très rapidement, tandis que les éléments à long terme montrent des variations plus lentes.

Lorsque vous cliquez sur une bande, une évaluation s'affiche en bas de l'écran avec une représentation de la fleur que vous connaissez. Vous pouvez utiliser cette évaluation pour ajouter des éléments directement à votre liste de priorités, facilitant ainsi le suivi et l'analyse de vos ondes cérébrales.



En savoir plus

Les ondes cérébrales se divisent en plusieurs catégories, chacune associée à différents états mentaux et niveaux de vigilance :

1. **Ondes Delta (0.5-4 Hz)** : Associées au sommeil profond et à la régénération.
2. **Ondes Thêta (4-8 Hz)** : Liées à la relaxation profonde, la méditation et la phase de sommeil léger.
3. **Ondes Alpha (8-12 Hz)** : Corrélées à un état de relaxation calme et à la méditation éveillée.
4. **Ondes Bêta (12-30 Hz)** : Connectées à la concentration, à la vigilance et à l'activité cognitive.
5. **Ondes Gamma (30-100 Hz)** : Associées à des processus cognitifs élevés, comme l'apprentissage et la mémoire.

Ces ondes fluctuent en fonction des activités et des états mentaux de l'individu.

12.3. Moteurs

51 émotions, sentiments et actions mis face-à-face, en 3 groupes principaux et 3 sous-groupes pour chacun.

Comprendre les Moteurs de l'Esprit et de l'Inconscient

Le dernier élément de la partie du scan dans l'esprit et dans l'inconscient concerne les moteurs. Les moteurs sont constitués d'environ soixante émotions, qui peuvent être soit constructives, soit destructives. Ces émotions sont classées en trois catégories : le **moi intérieur**, le **moi extérieur** et les **autres**.

1. Catégories des Émotions :

- **Moi intérieur** : Regroupe toutes les émotions liées à notre monde intérieur.
- **Moi extérieur** : Inclut toutes les émotions en rapport avec notre monde extérieur.
- **Les autres** : Concerne toutes les émotions liées à nos interactions avec autrui.

2. Structure des Émotions :

- Chaque catégorie d'émotions est divisée en trois sous-divisions : émotion, sentiment et action.
- **Émotion** : La base de toute réalisation, elle génère ensuite un sentiment.
- **Sentiment** : Découle de l'émotion et mène à une action.
- **Action** : Résultat final du processus émotion-sentiment.

3. Organisation Horizontale :

- Les émotions sont aussi classées de manière horizontale : en haut se trouvent les émotions constructives et en bas, les destructives.
- Par exemple, la dépression est opposée au lâcher-prise, l'anxiété pour la santé à l'état méditatif, le coeur brisé au plaisir, et l'auto-sabotage à la satisfaction.

4. Interconnexions :

- Les émotions peuvent être interconnectées à différents endroits. Par exemple, le calme est en face de l'obsession compulsive, la réflexion de la rudesse, etc.
- Ces interconnexions fournissent des informations cruciales pour la méditation et la compréhension de soi.

5. Personnalisation :

- Il est possible de sélectionner des émotions spécifiques sur lesquelles vous souhaitez travailler. Par exemple, si l'organisation est en faible énergie, vous pouvez décider de la renforcer.
- Vous pouvez ajouter des éléments spécifiques, comme la décision en forte énergie, à votre liste de travail personnel.

En résumé, comprendre et organiser ces moteurs émotionnels permet une meilleure gestion de nos émotions et actions, facilitant ainsi un développement personnel plus équilibré et conscient.

En savoir plus

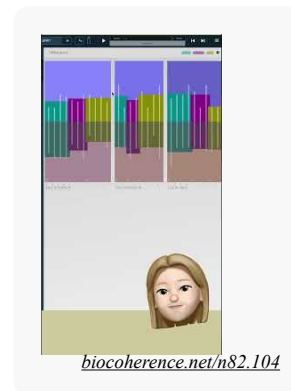
Les émotions et sentiments sont des réponses internes aux stimuli externes et internes.

- Le moi intérieur englobe la conscience de soi, les pensées et les sentiments personnels.
- Le moi extérieur concerne l'image que l'on projette aux autres et les comportements affichés en société.
- Les autres concerne notre manière de réagir à tout ce que le monde extérieur nous présente.

Les interactions avec les autres influencent ces deux dimensions par des échanges émotionnels et des feedbacks sociaux. Les émotions comme la joie, la tristesse, la colère et la peur façonnent nos expériences et nos actions, influençant à leur tour notre perception de nous-mêmes et des autres. Une meilleure compréhension de ces dynamiques peut améliorer l'intelligence émotionnelle et les relations interpersonnelles.

Voici une description détaillée de chaque émotion :

1. **Agilité** : Capacité à s'adapter rapidement et efficacement aux changements.
2. **Anxiété pour la santé** : Inquiétude excessive concernant sa propre santé ou celle des autres.
3. **Bienveillance** : Attitude de gentillesse et de compassion envers autrui.
4. **Coeur brisé** : Sentiment profond de tristesse et de douleur émotionnelle après une perte ou une déception.
5. **Calme** : État de tranquillité et de sérénité intérieure.
6. **Charisme** : Capacité à attirer, charmer et influencer les autres.



7. **Concentration** : Capacité à maintenir son attention sur une tâche ou un objectif spécifique.
8. **Confiance** : Sentiment de certitude et de sécurité en ses capacités ou en celles des autres.
9. **Considération** : Attention et respect portés aux sentiments et aux besoins des autres.
10. **Courage** : Capacité à affronter la peur, la douleur, le danger ou l'incertitude.
11. **Décision** : Capacité à prendre des choix de manière déterminée et résolue.
12. **Dépression** : État prolongé de tristesse, de désespoir et de perte d'intérêt pour la vie.
13. **Volonté** : Détermination à poursuivre des objectifs malgré les obstacles.
14. **Euphorie** : Sentiment intense de bonheur et d'excitation.
15. **Élocution** : Capacité à s'exprimer clairement et efficacement.
16. **Instabilité émotionnelle** : Variabilité excessive et imprévisible des émotions.
17. **Empathie** : Capacité à comprendre et partager les sentiments des autres.
18. **Humeur erratique** : Changements fréquents et imprévisibles de l'humeur.
19. **Épuisement** : Sentiment de fatigue extrême, tant physique qu'émotionnelle.
20. **Chagrin** : Douleur émotionnelle intense généralement due à une perte.
21. **Honnêteté** : Qualité d'être franc et sincère.
22. **Espoir** : Attente positive d'un avenir meilleur.
23. **Désespoir** : Perte totale d'espoir et de confiance en l'avenir.
24. **Hyperémotionnel** : Réaction émotionnelle excessive à des stimuli.
25. **Hypersensibilité** : Réactivité accrue aux stimuli émotionnels ou sensoriels.
26. **Pensée incohérente** : Difficulté à maintenir une ligne de pensée logique et structurée.
27. **Absence de peine** : Sentiment de détachement et d'indifférence émotionnelle.
28. **Manque de confiance** : Doute de ses propres capacités ou de celles des autres.
29. **Difficultés d'apprentissage** : Trouble affectant la capacité à acquérir des connaissances ou des compétences.
30. **Lâcher prise** : Capacité à abandonner le contrôle et à accepter les choses telles qu'elles sont.
31. **Loyauté** : Fidélité et dévouement envers une personne, un groupe ou une cause.
32. **États méditatifs** : État de relaxation profonde et de conscience accrue, souvent atteint par la méditation.
33. **Mémoire** : Capacité à retenir et à se rappeler des informations.
34. **Mémoire à long terme** : Stockage et rappel d'informations sur une période prolongée.
35. **Mémoire à court terme** : Capacité à retenir des informations pendant une courte durée.
36. **Obsession compulsive** : Pensées ou comportements répétitifs et incontrôlables.
37. **Obsession** : Préoccupation excessive et persistante pour une idée ou une personne.
38. **Organisation** : Capacité à structurer ses activités de manière ordonnée et efficace.
39. **Performance** : Capacité à accomplir des tâches ou des activités avec succès.
40. **Plaisir** : Sentiment de satisfaction et de contentement.
41. **Procrastination** : Tendance à remettre à plus tard les tâches importantes.
42. **Rigidité** : Manque de flexibilité dans les pensées ou les comportements.
43. **Rudesse** : Comportement dur ou insensible envers les autres.
44. **Auto-sabotage** : Comportements qui nuisent délibérément à sa propre réussite.
45. **Conscience spatiale** : Perception de l'espace environnant et des objets qu'il contient.
46. **Stagnation** : Absence de progrès ou de développement.
47. **Surprise** : Réaction émotionnelle à un événement inattendu.
48. **Réflexion** : Pensée profonde et attentive sur un sujet ou une situation.
49. **Timidité** : Réserve ou anxiété dans les interactions sociales.
50. **Tolérance** : Acceptation et respect des différences chez les autres.
51. **Volonté** : Détermination à atteindre un but, souvent malgré des difficultés.

12.4. Émotions

tristesse, sécurité, amour, vérité, paix, bien-être et satisfaction

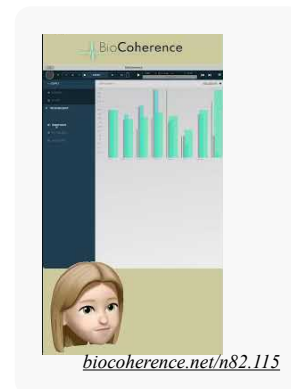
Le chapitre sur l'inconscient se divise en trois espaces principaux : les émotions, les blessures et les moteurs. Nous commencerons par les émotions.

Vous pouvez sur cette page évaluer sept émotions principales : la tristesse, la sécurité, l'amour, la vérité, la paix, le bien-être et la satisfaction. Il est possible de suivre leur évolution. En cliquant sur les barres, vous pouvez visualiser le biomarqueur sous sa forme de fleur, montrant sa dynamique interne et les liens entre ces émotions. Ici encore, le graphique représente l'évaluation à différents horizons, les barres les plus larges étant celles au plus long terme, et celles les plus fines étant au plus court terme.

Cette analyse est techniquement très différente, et basée sur des données différentes, de celle qu'on trouve dans Moteurs. Il est donc intéressant de les comparer.

Ces émotions principales sont dépendantes de l'analyse harmonique de second ordre, et du rythme cardiaque général profond. On peut les décrire ainsi :

1. **Tristesse** : Sentiment de détresse ou de mélancolie provoqué par une perte, un échec ou une déception. Elle se manifeste souvent par des pleurs, un manque d'énergie et un repli sur soi.
2. **Sécurité** : Sentiment de protection et d'absence de danger. Elle engendre une confiance et une sérénité permettant de se sentir à l'abri des menaces physiques ou émotionnelles.
3. **Amour** : Emotion profonde d'affection et d'attachement envers une personne, un animal ou une activité. Il se traduit par des gestes tendres, des pensées positives et un désir de proximité.
4. **Vérité** : Sentiment de sincérité et d'authenticité. La vérité apporte une clarté et une transparence dans les relations et les situations, évitant la confusion et la tromperie.
5. **Paix** : État de tranquillité et d'harmonie intérieure. La paix se manifeste par l'absence de conflit, de stress et d'anxiété, favorisant une détente et un bien-être général.
6. **Bien-être** : Sentiment général de santé, de confort et de satisfaction physique et mentale. Il englobe des aspects tels que la santé, l'équilibre émotionnel et la réalisation personnelle.
7. **Satisfaction** : Emotion de contentement et de plaisir résultant de l'accomplissement de désirs, de besoins ou d'objectifs. Elle apporte un sentiment de plénitude et de réussite.



12.5. Focus

Indice de stress, HRV...

Dans cette section, nous explorerons l'écran Focus, qui fournit une multitude d'informations cruciales pour l'analyse avancée des électrocardiogrammes. Ces informations sont généralement utilisées dans les contextes académiques et de recherche, et incluent divers marqueurs scientifiques.

1. **Indice de Stress** : Cet indice a été développé par le chercheur russe Baevski. Il mesure le niveau de stress corporel en utilisant des paramètres spécifiques.
2. **Niveau d'Adaptation** : Un autre indice élaboré en Russie, il évalue la capacité du corps à s'adapter à différents stimuli et conditions.
3. **Puissance Totale, Facteur de Variation, et Variabilité Cardiaque** : Ces marqueurs sont bien connus dans le domaine de la cardiologie et servent à mesurer différents aspects de la fonction cardiaque et de la réponse au stress.
4. **Stress Psycho-Émotionnel** : Cet indicateur évalue l'impact émotionnel et psychologique sur le système cardiaque.

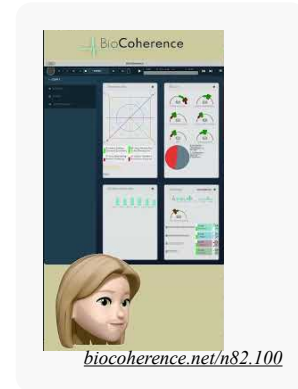
Les données fournies par l'écran Focus peuvent être affichées sous forme de curseurs pour une visualisation rapide. Alternativement, elles peuvent être présentées sous forme de notes, de fleurs, et de qualité, permettant une analyse plus détaillée.

L'écran Focus inclut également des informations sur la qualité des contrôles d'attention, d'intention, et d'horizon. Ces indicateurs offrent des informations supplémentaires sur l'état mental et émotionnel de l'utilisateur.

Un aspect intéressant de cet écran est le rapport entre la construction (catabolisme) et la destruction (anabolisme). Le catabolisme représente la dépense énergétique, tandis que l'anabolisme correspond à la conservation d'énergie. Ce rapport est dynamique et peut varier au cours de l'enregistrement, reflétant la respiration générale des systèmes vivants. N'oubliez pas que nous sommes un être systémique et que la destruction fait partie du mouvement général de compression-expansion, de destruction-reconstruction, de séparation-réunification, de complexification-simplification. Un organisme complexe et sain devrait osciller constamment entre ces états.

Il est crucial d'observer ces variations dynamiques, car elles indiquent l'évolution du rapport entre construction et destruction. L'ajout de ce facteur d'évolution permet de mieux comprendre la respiration des systèmes biologiques.

Enfin, l'écran Focus présente deux fleurs, représentant l'anabolisme et le catabolisme, pour fournir des informations visuelles sur ces processus. Ces données peuvent être analysées section par section ou sur l'ensemble de l'enregistrement, offrant une vue d'ensemble complète de l'état physiologique et psychologique de l'utilisateur.



12.6. Musique

Analyse Musicale et Alignement

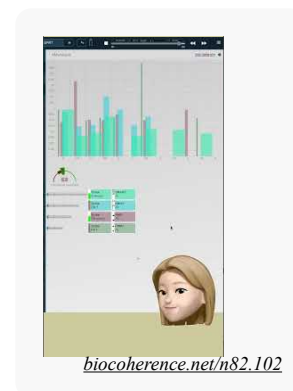
Dans cette section, nous allons aborder la deuxième partie du concept de l'esprit, qui inclut le mental, l'esprit et l'inconscient. Nous nous concentrerons principalement sur l'esprit, en particulier sur les éléments de musique et d'alignement.

Musique dans les Enregistrements

Lorsque nous analysons l'esprit, nous commençons par identifier les éléments musicaux présents dans l'enregistrement. L'objectif est de trouver des correspondances musicales pertinentes. Vous avez deux options : visualiser l'ensemble des éléments musicaux ou les mettre en lecture pour observer leur évolution dans le temps.

Les barres fines représentent des éléments à court terme, tandis que les barres plus larges indiquent des éléments à plus long terme. Une autre métrique intéressante est le niveau d'harmonie musicale général dans l'enregistrement. Après environ une centaine de battements, nous pouvons commencer à identifier des accords musicaux spécifiques à court, moyen, long et très long terme.

Ces accords peuvent comprendre 2, 3 ou 4 notes et se répartir sur différentes gammes. Bien que ces informations ne soient pas toujours directement utiles, elles deviennent cruciales lors de la reconstruction de la méditation guidée. Elles permettent de comprendre l'état actuel des participants, c'est-à-dire la musique présente dans leur enregistrement, et de déterminer où nous voulons les emmener musicalement.



Alignement et Ajustement Musical

L'alignement musical consiste à ajuster les gammes et les types d'accords en fonction des objectifs de la méditation. Par exemple, si les accords présents sont des accords mineurs 7 et que nous souhaitons passer à des accords majeurs, cette transition se fera progressivement tout au long de la méditation. De même, si nous visons une certaine fréquence qui n'est pas présente, nous construirons une musique évoluant progressivement vers cette fréquence cible.

L'idée est de prendre les participants dans leur état musical actuel et de les guider vers un état de méditation plus profond en utilisant les mélodies présentes dans leur corps. Cette approche facilite l'entrée en méditation en parlant directement le langage musical des participants.

En résumé, l'analyse musicale et l'alignement permettent une personnalisation de la méditation guidée, rendant l'expérience plus accessible et efficace pour chaque individu.

12.7. Les 16 types de personnalités

Les types de Jung, aussi connus sous le nom MBTI ou Myers-Briggs, sous une carte entièrement nouvelle

Évaluation de la Personnalité selon les Types de Jung

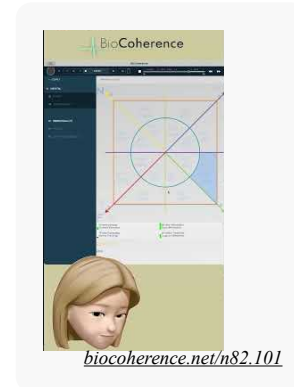
Dans cette section, nous allons explorer l'onglet "Esprit" pour obtenir un aperçu général de la personnalité selon les types de Jung. La personnalité est analysée à travers quatre axes principaux.

Les Axes de la Personnalité

Les types de Jung sont calculés à l'aide de quatre axes que nous avons placé pour la première fois sur un graphique logique :

1. **NS (Sensation/Intuition)** : Cet axe détermine la manière dont une personne traite l'information.
2. **FT (Pensée/Sentiment)** : Cet axe évalue la manière de traiter l'information, en mettant l'accent sur le mental ou la pensée.
3. **IE (Introversiion/Extraversion)** : Cet axe mesure l'énergie, indiquant si une personne est tournée vers l'extérieur (extraversion).
4. **JP (Jugement/Perception)** : Cet axe concerne l'espace temporel et indique si une personne est orientée vers le court terme (spontanéité).

Chaque axe est divisé en segments, permettant une évaluation détaillée. Par exemple, sur l'axe IE, une personne peut être évaluée comme extravertie ou introvertie.



Types de Jung et Évaluation

Les types de Jung, tels que ENTP, ENTJ, ESTJ, ESTP, etc., sont déterminés en fonction de la position sur ces quatre axes. Par exemple, une évaluation pourrait révéler un type dominant ESTJ.

Dynamique des Types de Personnalité

Contrairement à une évaluation statique obtenue par questionnaire, cette méthode permet d'observer la réponse inconsciente et dynamique d'une personne. Lorsqu'on navigue entre les axes, on peut voir que les évaluations bougent, indiquant que les types de personnalité sont dynamiques. Cela signifie que l'individu peut osciller entre différents types adjacents en fonction des situations.

Cette approche non statique des types de Jung ouvre des perspectives intéressantes sur la compréhension des comportements et des personnalités.

Détail des types de personnalité

Les types de personnalités selon Jung se basent sur quatre fonctions psychologiques principales : la pensée, le sentiment, la sensation et l'intuition, combinées avec les attitudes d'extraversion et d'introversiion. Cela donne huit types de personnalité :

1. **Pensée extravertie**: Logique, objectif, axé sur les faits.
2. **Pensée introvertie**: Réfléchi, analytique, indépendant.
3. **Sentiment extraverti**: Sociable, chaleureux, orienté vers les valeurs sociales.
4. **Sentiment introverti**: Réservé, profond, guidé par ses propres valeurs.
5. **Sensation extravertie**: Pratique, réaliste, orienté vers le concret.
6. **Sensation introvertie**: Artistique, sensible, orienté vers l'expérience subjective.
7. **Intuition extravertie**: Innovant, opportuniste, orienté vers le futur.
8. **Intuition introvertie**: Visionnaire, introspectif, guidé par des insights.

Ces types aident à comprendre les différentes manières dont les individus perçoivent le monde et prennent des décisions.

Voici une brève description des 16 types de personnalités du Myers-Briggs Type Indicator (MBTI) :

1. **ISTJ (Inspecteur)** - Fiable, organisé, réaliste, et pratique.
2. **ISFJ (Protecteur)** - Dévoué, attentionné, loyal, et détaillé.
3. **INFJ (Conseiller)** - Idéaliste, empathique, perspicace, et inspirant.
4. **INTJ (Architecte)** - Stratégique, indépendant, analytique, et déterminé.
5. **ISTP (Artisan)** - Pratique, observateur, adaptable, et logique.
6. **ISFP (Artiste)** - Sensible, réservé, spontané, et harmonieux.
7. **INFP (Idéaliste)** - Créatif, passionné, altruiste, et introspectif.

8. **INTP (Logicien)** - Innovant, curieux, objectif, et indépendant.
9. **ESTP (Entrepreneur)** - Énergique, direct, pragmatique, et sociable.
10. **ESFP (Interprète)** - Enthousiaste, spontané, chaleureux, et divertissant.
11. **ENFP (Inspireur)** - Imaginatif, sociable, énergique, et visionnaire.
12. **ENTP (Innovateur)** - Ingénieux, énergique, débrouillard, et intellectuel.
13. **ESTJ (Superviseur)** - Organisateur, pratique, réaliste, et décisif.
14. **ESFJ (Consul)** - Amical, consciencieux, coopératif, et sociable.
15. **ENFJ (Professeur)** - Charismatique, altruiste, empathique, et motivé.
16. **ENTJ (Commandant)** - Visionnaire, assertif, stratégique, et efficace.

Ces descriptions succinctes donnent un aperçu général de chaque type de personnalité selon le MBTI.

12.8. Les 5 blessures

Abandon, rejet, humiliation, trahison, injustice

L'inconscient humain est largement influencé par ses blessures psychiques. Parmi celles-ci, on distingue cinq blessures principales : le rejet, l'abandon, la trahison, l'humiliation et l'injustice. Ces cinq blessures sont dérivées d'un modèle initial de huit blessures. Elles interagissent de manière similaire aux cinq éléments en médecine chinoise traditionnelle, créant un réseau complexe d'influences mutuelles.

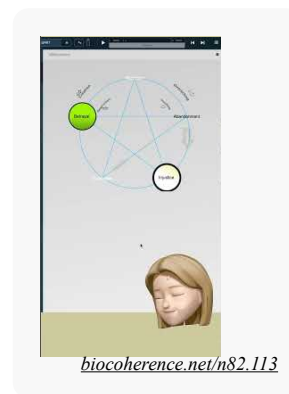
Comprendre quelles blessures sont actuellement actives en nous peut offrir des insights précieux. En observant comment le rejet, la trahison ou l'injustice se nourrissent les unes des autres, nous pouvons obtenir des informations dynamiques sur notre état psychique. Cette compréhension peut être une clé pour une meilleure connaissance de soi et une amélioration personnelle.

Origine des 5 blessures

John Pierrakos, psychothérapeute et co-fondateur de l'institut pour l'analyse bioénergétique en 1956, reprend les travaux de Wilhelm Reich sur les blessures existentielles (ou blessures narcissiques) et en définit huit: abandon, rejet, humiliation, trahison, injustice, intrusion, impuissance, insécurité.

Par la suite, Lise Bourbeau adapta et simplifia la théorie en cinq blessures émotionnelles qui empêchent d'être soi-même. Ces blessures, selon elle, sont à l'origine de nombreux problèmes émotionnels et de comportements dysfonctionnels. Elles naissent dans l'enfance, souvent entre la naissance et l'âge de sept ans, mais continuent à influencer notre vie adulte si elles ne sont pas guéries.

1. La blessure de rejet : Cette blessure se forme généralement très tôt, parfois même avant la naissance, et est souvent liée à une sensation de ne pas être désiré. Les personnes avec cette blessure se sentent indignes d'amour et évitent les situations où elles pourraient être rejetées. Elles ont du mal à s'affirmer et à prendre leur place.
2. La blessure d'abandon : Elle apparaît quand un enfant se sent délaissé ou non soutenu par ses proches. Les personnes affectées par cette blessure ont une peur intense de la solitude et recherchent constamment l'attention et l'approbation des autres. Elles peuvent devenir dépendantes affectivement.
3. La blessure d'humiliation : Celle-ci se développe lorsque l'enfant se sent rabaissé ou critiqué par ses parents ou ses proches pour ses comportements ou ses actions. Les individus avec cette blessure ont tendance à se sentir honteux et à manquer de dignité. Ils peuvent aussi s'humilier eux-mêmes pour éviter que les autres le fassent.
4. La blessure de trahison : Cette blessure survient quand l'enfant se sent trahi par une personne en qui il avait confiance, souvent un parent qui ne tient pas ses promesses. Les personnes avec cette blessure ont des difficultés à faire confiance aux autres et cherchent à tout contrôler. Elles peuvent devenir jalouses ou possessives.



5. La blessure d'injustice : Elle se forme lorsque l'enfant se sent traité de manière injuste, souvent en raison de parents trop autoritaires ou critiques. Les personnes affectées par cette blessure cherchent la perfection et peuvent devenir rigides et intolérantes. Elles ont souvent du mal à exprimer leurs émotions.

Lise Bourbeau explique que ces blessures influencent nos comportements et notre manière de percevoir le monde. Pour guérir, il est essentiel de reconnaître ces blessures, de comprendre leur origine et de travailler sur soi pour les dépasser.

13. Tester

Ce module est dédié aux tests en direct grâce au biofeedback et à l'évaluation de listes de test d'après un enregistrement existant.

Le module de Test permet de réaliser toute sorte de test en direct, dont le résultat est évalué selon la variation instantané de certains biomarqueurs ; et le pré-évaluer toute liste de tests selon les valeurs de certains biomarqueurs dans le Scan en cours.

Pré-évaluation de listes

Vous pouvez créer des listes ou utiliser des listes existantes créées par d'autres utilisateurs. En ouvrant une liste, tous ses éléments seront classés par ordre de priorité par rapport au rapport actuellement ouvert. Vous pourrez alors cocher ceux que vous souhaitez tester en direct parmi ceux-ci.

Tests en direct

Une fois des éléments choisis, le test en direct permet de les afficher au client et de mesurer la réponse en biofeedback de son système grâce au Sensor. Le résultat est classé parmi 3 réponses possibles : renforce son système ; affaiblit son système ; ou neutre.

Il existe également une possibilité de test ouvert infini, qui vous permet de tester toute approche thérapeutique directement sur le client ou sur vous, et d'en mesurer le résultat en direct grâce au biofeedback.

13.1. Listes de test

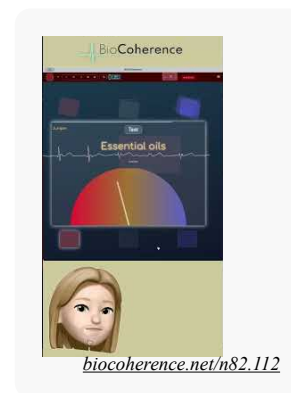
Tester avec des Listes dans Biocoherence

Gestion et Édition des Listes dans Votre Application

Lorsque vous travaillez sur des listes, vous disposez d'une fonctionnalité de recherche par mots-clés. Bien que le nombre de listes soit actuellement limité, il est conçu pour s'étendre à des centaines, voire des milliers de listes. Vous pourrez ainsi éditer et gérer vos propres tests.

Mode d'édition des tests

1. **Accès au mode d'édition** : Si vous êtes sur un test qui vous appartient, un petit crayon apparaît à côté du test. Cliquez dessus pour entrer en mode d'édition.
2. **Modification des éléments** : Une fois en mode d'édition, vous pouvez cliquer sur chaque élément pour modifier le texte et les actions associées. Par exemple, vous pouvez définir des actions sur des catégories comme Ayurveda, organes, Vata, Vita, etc.
3. **Définition des actions** : Cliquez sur les catégories telles que VPK pour spécifier les effets, comme augmenter ou diminuer certains éléments (e.g., acides aminés, vessie, sang, cerveau, yeux).



Évaluation automatique

L'évaluation automatique repose sur l'adéquation entre le niveau des éléments chez les utilisateurs et les actions définies dans les tests. Cela permet de classer les éléments de la liste en fonction des résultats escomptés.

Outils supplémentaires

1. **Ajout et importation** : Vous pouvez ajouter de nouveaux outils ou importer une liste en collant des éléments ligne par ligne.
2. **Effacement de la liste** : Une option est disponible pour effacer entièrement une liste.

3. **Carte logique en 2D** : Bientôt, vous pourrez placer les éléments sur une image en deux dimensions, facilitant ainsi la visualisation et l'organisation des tests.

Propriétés générales de la liste

En haut de l'interface, vous pouvez modifier les propriétés générales :

- Catégorie de la liste
- Visibilité (publique ou privée)
- Accès (gratuit ou payant)

Les listes payantes peuvent être mises en public pour que d'autres utilisateurs y accèdent moyennant un paiement, soit à usage unique, soit via un abonnement mensuel. Cela permet de partager vos connaissances et d'être rémunéré.

Gestion des listes non possédées

Si vous travaillez sur une liste qui ne vous appartient pas, vous pouvez la dupliquer. La duplication vous permet de créer une copie modifiable où vous pouvez changer le titre, la description, et les actions.

Accès aux listes

Depuis le menu général, accessible à droite de l'écran, vous pouvez naviguer vers "mes listes" pour éditer vos listes existantes ou en créer de nouvelles. Cette fonctionnalité est disponible depuis n'importe quel écran, y compris l'accueil.

En suivant ces instructions, vous serez en mesure de gérer efficacement vos listes et tests, tout en profitant des diverses options d'édition et d'organisation proposées par l'application.

Introduction aux Tests d'après des Listes

Les tests d'après des listes dans Biocohérence forment un système entièrement ouvert, permettant aux utilisateurs de sélectionner des listes existantes, créer de nouvelles listes, ou dupliquer des listes existantes pour les partager avec d'autres utilisateurs.

Qu'est-ce qu'une Liste?

Une liste est un ensemble d'entrées, par exemple, des herbes aromatiques ou des huiles essentielles. Lorsqu'une liste est ouverte dans un rapport avec un enregistrement disponible, chaque entrée est évaluée et classée par ordre de priorité. Les pourcentages indiquent la compatibilité des entrées avec l'enregistrement, allant de 0% à 100%.

Codes de Couleur

- **Vert** : Très pertinent, haute compatibilité (ex. 85%)
- **Autres couleurs** : Différentes gradations de compatibilité (ex. 40% pour une série intermédiaire)
- **Violet** : Compatibilité faible (20-30%)
- **Gris** : Compatibilité neutre ou quasi nulle (autour de 0%)
- **Rouge** : Incompatibilité ou réponse négative

Test en Direct

Après une préévaluation, la deuxième partie consiste en un test en direct. Voici les étapes à suivre :

1. **Sélectionner les Entrées** : Choisir les entrées à tester individuellement.
2. **Connexion au Capteur** : Connecter le capteur pour étalonnage.
3. **Lancer les Tests** : Les tests sont effectués un par un, en envoyant des informations visuelles, audio ou autres à la personne testée.
4. **Observation** : La personne doit voir ou entendre les informations testées pour une évaluation précise.
5. **Évaluation** : Le système classe les réponses du corps en fonction de l'information présentée.

Affichage des Résultats

À la fin du test, les résultats sont réaffichés et classés comme suit :

- **Test concluant** : Bonne réponse du corps

- **Test moyen** : Réponse mitigée
- **Test non concluant** : Réponse négative ou incohérente

Importance des Informations Présentées

Il est crucial de présenter un maximum d'informations sur les éléments testés (ex. photos, détails sur les systèmes sur lesquels les huiles essentielles agissent) pour obtenir une réponse intuitive et mesurable du corps via le système de biofeedback.

Intégration des Résultats dans le Rapport

Les résultats des tests apparaissent dans le rapport, montrant uniquement les éléments avec des réponses bonnes ou moyennes, et excluant ceux qui sont refusés. Le rapport inclut :

- **Pourcentage de compatibilité** : Calcul basé sur le scan initial
- **Réponse inconsciente du corps** : Mesurée lorsque l'information est présentée

Futurs Développements

De nouvelles fonctions pour les tests, comme le test de fréquence et le test en direct de n'importe quelle information, seront bientôt disponibles.

Mode d'édition des Tests

Lorsque vous êtes sur un test qui vous appartient, un petit crayon apparaît. En cliquant sur ce crayon, vous entrez en mode d'édition des tests. Vous pouvez alors cliquer sur chaque élément pour modifier les textes et les actions associées. Par exemple, vous pouvez définir des actions sur des éléments comme l'Ayurveda et les organes, et bientôt, d'autres types d'actions seront disponibles.

Modification des Actions

Pour modifier une action, cliquez sur l'élément concerné (par exemple, VPK) et définissez les impacts, comme l'augmentation ou la diminution de certains aspects (par exemple, Vata et Vita). Vous pouvez également spécifier les effets sur les organes, tels que l'augmentation des acides aminés, de la vessie et du sang, ou la diminution du cerveau et des yeux. Ces modifications définissent l'action spécifique de cette entrée, ce qui est essentiel pour l'évaluation automatique.

Évaluation Automatique

L'évaluation automatique s'effectue en comparant les niveaux des utilisateurs (sous forme de fleur) avec les actions définies. Cette adéquation permet de classer les éléments de la liste en fonction des résultats obtenus.

Outils Disponibles

En bas de l'écran, divers outils sont disponibles. Vous pouvez ajouter des outils, importer une liste en collant des éléments ligne par ligne, ou effacer une liste. Bientôt, vous pourrez également placer ces éléments sur une image en deux dimensions, en prenant une photo ou en important une image pour les positionner sur une carte logique. Cela permet au test de se déplacer sur la carte en fonction des éléments choisis.

Propriétés Générales de la Liste

Les propriétés générales de la liste sont situées en haut de l'écran. Vous pouvez les modifier en cliquant dessus pour définir la catégorie, la visibilité (publique ou privée), et le mode de tarification (gratuit ou payant). Une liste payante peut être mise en public une fois prête, permettant aux utilisateurs de payer pour son utilisation soit à chaque fois, soit via un forfait mensuel.

Partage et Rémunération

Ce système vous permet de partager vos connaissances ou types d'évaluation et d'être rémunéré pour cela. Si vous travaillez sur une liste qui ne vous appartient pas, vous pouvez la dupliquer. Vous n'aurez pas la possibilité de l'éditer directement, mais en la dupliquant, vous créez une copie que vous pouvez modifier entièrement, y compris le titre et la description.

Accès aux Listes

Dans le menu général, accessible à droite de l'écran, vous pouvez accéder à "mes listes". Depuis n'importe quel écran, comme l'accueil, vous pouvez choisir d'éditer vos listes. Vous pouvez également créer une nouvelle liste facilement depuis cette interface.

Conclusion

Ce système vous offre une flexibilité et une autonomie importantes pour gérer et partager vos listes de tests, tout en fournissant des outils puissants pour l'édition et l'évaluation.

14. Équilibrer

Ressources et priorités ; rapport, génération de méditations et fréquences.

Ces écrans permettent l'auto-identification et la modification des ressources et priorités, la génération d'un rapport PDF, et la création d'outils de rééquilibrage comme des méditations guidées, des fréquences spécifiques...

14.1. Priorités

Définir les éléments importants à traiter suite à l'analyse

La section relative à l'équilibrage traite des actions à entreprendre une fois que l'analyse est terminée et que les objectifs sont clairs, ou lorsque l'on fait confiance à l'appareil pour déterminer automatiquement les exigences.

Priorités

Définition et objectif : les priorités sont les éléments identifiés par l'application comme nécessitant une attention ou une intervention. Il s'agit des domaines dans lesquels la santé de l'utilisateur peut être compromise et qui nécessitent le soutien des ressources identifiées (voir le chapitre suivant sur les ressources).

Processus de sélection : L'application sélectionne automatiquement les priorités sur la base d'un algorithme qui évalue divers biomarqueurs. Les utilisateurs peuvent explorer d'autres priorités potentielles dans chaque catégorie et les ajouter au besoin, soit en cliquant sur "explorer" pour obtenir une présélection de biomarqueurs intéressants, soit en parcourant tous les écrans et en choisissant des priorités intéressantes.

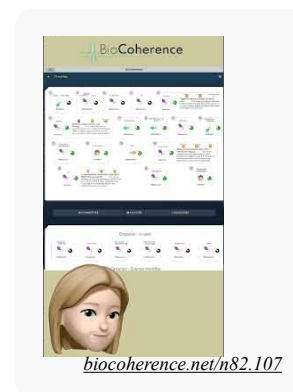
Catégories : Comme pour les ressources, les priorités sont classées en différents groupes, notamment les organes, les émotions et les points énergétiques. Les utilisateurs peuvent explorer ces catégories pour identifier d'autres domaines d'intérêt.

Personnalisation : Les utilisateurs peuvent ajouter ou supprimer des priorités de la liste, ce qui leur permet d'adopter une approche personnalisée de leur parcours de santé. Il est recommandé de limiter le nombre de priorités (15 à 20) afin de maintenir l'attention et l'efficacité.

Effectuer de nouveaux calculs pour optimiser le système.

Pour relancer le calcul des priorités et des ressources, cliquez sur l'icône appropriée dans le coin supérieur droit de l'écran d'accueil. Commencez par identifier les ressources, ce qui permettra au système de réidentifier automatiquement toutes les ressources nécessaires. Ensuite, identifiez les priorités en cliquant sur l'option correspondante, ce qui ajoutera automatiquement les priorités identifiées par le système. Vous pouvez également cliquer sur "ajouter" et "identifier automatiquement les priorités" dans l'écran Priorités ; cela ne fera qu'ajouter de nouvelles priorités à votre sélection actuelle, et non les supprimer.

L'analyse de la forme d'onde est une étape cruciale dans l'évolution logique. Vous pouvez recalculer les biomarqueurs, les liens, les priorités et identifier les ressources en fonction de vos besoins. Si vous rencontrez des problèmes pour accéder à un rapport complet, vous pouvez toujours le recalculer.



Afficher et modifier les priorités

Dans la section des priorités, le système affiche tout ce qui a été identifié comme pertinent. Vous pouvez modifier ces priorités en les supprimant ou en en ajoutant de nouvelles. Pour ajouter une priorité, cliquez sur "Ajouter" et sélectionnez les éléments qui vous intéressent parmi les différentes catégories proposées, telles que les organes, les points méridiens ou les recettes de MTC (Médecine Traditionnelle Chinoise).

Vous pouvez également nettoyer la liste des priorités en supprimant celles qui ne sont plus nécessaires. L'édition des priorités utilise la même interface sur toutes les pages du système, mais regroupe ici toutes les priorités que vous avez définies.

Enfin, vous pouvez ajouter des commentaires aux priorités. Ces commentaires seront intégrés dans le rapport final et fourniront un contexte supplémentaire pour chaque priorité identifiée.

Vous pouvez ajouter ou supprimer des éléments prioritaires à partir de n'importe quelle page, en cliquant sur l'icône à droite de la fleur concernée. Si cette icône est verte, le biomarqueur est présent dans les priorités ; si elle est rouge, il ne l'est pas.

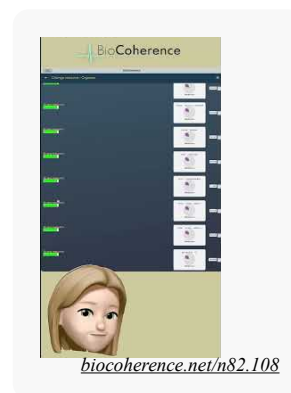
14.2. Ressources

Les piliers sur lesquels harmoniser solidement

Avant d'explorer les ressources, Christine Degoy va partager quelques idées sur ses recherches, car il s'agit d'un point essentiel :

"Nous avons développé une culture - un nouvel état d'esprit - sur l'engagement dans les systèmes problématiques. Dix ans de travail thérapeutique et de recherche avec des clients m'ont d'abord révélé une cohérence à l'intérieur de chaque être. Cette résonance naturelle est cruciale car elle permet d'explorer l'ensemble des problèmes. C'est le moyen le plus facile d'établir des connexions internes profondes, favorisant une contagion positive qui renforce la cohérence du système. Cette approche permet aux individus de guérir et de se développer intérieurement, en respectant l'ordre naturel de leur corps. Nous appelons cela la "voie des ressources", une porte ouverte aux possibilités.

Les ressources sont les parties les plus cohérentes et les plus puissantes de notre être, un peu comme un superpouvoir que nous avons développé au cours de notre vie. Le concept de ressources à vie fera éventuellement partie de notre module de missions de vie. Même un seul organe, méridien, point d'acupuncture, chakra, émotion, etc. peut être une ressource puissante, contribuant à une contagion heureuse qui aligne notre vie et notre corps. "Christine Degoy



Après avoir examiné les priorités - les éléments cruciaux qui doivent être traités pour une personne à un moment donné - nous allons passer aux ressources. Les ressources, représentées par une petite icône de ticket avec une étoile, sont les éléments "vedettes" du corps. Ce sont ceux qui débordent d'énergie, qui sont extrêmement stables et sur lesquels le corps peut compter pour distribuer l'énergie aux priorités tout au long du processus de guérison.

Dans l'application, nous avons développé un algorithme sophistiqué pour calculer un score de ressources pour chaque biomarqueur. Ce score identifie les éléments les plus énergétiques et les plus stables, en mettant en évidence les priorités à améliorer. Il prend en compte différents facteurs, tels que la stabilité, l'énergie et la connectivité d'un élément, ce qui permet d'obtenir la page de ressources que vous voyez maintenant.

Une compréhension détaillée des ressources et des priorités de l'application BioCoherence offre aux utilisateurs une voie claire pour exploiter leurs forces inhérentes et répondre aux besoins d'amélioration de la santé et du bien-être.

Les ressources sont automatiquement identifiées après un enregistrement, grâce à un algorithme développé pour prendre en compte tous les éléments disponibles. Toutefois, il est possible de modifier ces ressources manuellement si nécessaire. Par exemple, lors de l'accès à la section organes, si les neurotransmetteurs sont identifiés comme ressource principale, il est possible de cliquer dessus pour voir apparaître un choix d'autres ressources fortes.

Les ressources disponibles de cette famille sont alors classées par ordre inverse d'importance, de la plus forte à la plus faible. Si vous préférez travailler avec une autre ressource, par exemple la langue au lieu des neurotransmetteurs, ou la trachée, ou les noyaux

cellulaires des neurones, il suffit de cliquer sur la ressource désirée pour la sélectionner. Pour mieux comprendre à quoi correspond chaque ressource, vous pouvez cliquer sur l'icône de la fleur pour voir les connexions et faire un choix plus éclairé.

Ces ressources seront ensuite utilisées dans les différentes étapes de la réharmonisation.

Une brève présentation des ressources

Notre approche introduit un changement de paradigme pour aborder les systèmes problématiques. Initialement découverte à travers les pratiques thérapeutiques, cette méthode met l'accent sur la cohérence à l'intérieur de l'individu. Cette résonance naturelle entre la thérapie et la cohérence personnelle sert de base pour aborder des questions plus larges. L'approche favorise la connectivité interne, conduisant à une "contagion heureuse" qui renforce la guérison personnelle et l'autonomisation sans protocoles externes. Cette méthodologie, appelée "la voie des ressources", respecte les systèmes complexes et favorise les synergies.

Les ressources sont identifiées comme les aspects les plus cohérents et les plus puissants du corps, qui s'apparentent à des super-pouvoirs inhérents. Afin de mieux comprendre le parcours personnel de chacun, les prochaines mises à jour incluront les missions de vie, qui sont un prolongement des recherches de Christine.

Un organe particulier, par exemple, pourrait être une ressource importante, diffusant potentiellement de la puissance et de la cohérence dans tout le corps. L'application utilise un algorithme avancé pour calculer un score de ressources pour chaque biomarqueur, identifiant ainsi les ressources optimales et les priorités. L'algorithme évalue l'énergie, la stabilité et la connectivité, en tenant compte de la force ou de la faiblesse de ces connexions, ce qui permet d'obtenir une page de ressources complète.

Ressources et priorités en matière de bio cohérence

Vue d'ensemble

L'application BioCoherence fournit une analyse complète de l'état physiologique et énergétique de l'utilisateur par le biais d'un scan détaillé. Une fois l'analyse initiale terminée, l'utilisateur se voit présenter deux éléments essentiels : Ressources et Priorités. Ces éléments sont essentiels pour interpréter les résultats de l'analyse et guider l'utilisateur vers une santé et un bien-être optimaux.

Ressources

Définition et objectif : Dans l'application BioCohérence, les ressources font référence aux éléments les plus cohérents, les plus stables et les plus puissants sur le plan énergétique dans le corps de l'utilisateur. Ces éléments sont identifiés comme les forces inhérentes de l'utilisateur ou les "super-pouvoirs" qui peuvent être exploités pour favoriser la guérison et l'équilibre.

Calcul : L'application utilise un algorithme sophistiqué pour déterminer le score de ressources pour chaque biomarqueur. Ce score tient compte de facteurs tels que les niveaux d'énergie, la stabilité et la connectivité avec d'autres éléments. Les éléments qui obtiennent le score le plus élevé sont identifiés comme des ressources.

Catégories : Les ressources sont classées en dix groupes, notamment

- Groupes d'organes (par exemple, groupes basés sur l'Ayurveda)
- Organes individuels
- Atomes
- Méridiens
- Momentum (états dynamiques)
- Pulsions (émotions)
- Organismes (symbiotiques ou parasites)
- Points MTC
- Sous-doshas ayurvédiques
- Chakras

Personnalisation : Les utilisateurs peuvent accepter la sélection automatique des ressources par l'application ou les ajuster manuellement en fonction de leur résonance personnelle ou de leurs objectifs thérapeutiques. Cette personnalisation permet une approche personnalisée de la guérison.

Caractéristiques de l'intégration avec Balance

- **Fréquences** : L'application utilise les ressources et les priorités pour créer un programme de fréquences. Ce programme comprend des fréquences principales pour cibler des organes, des émotions ou des structures énergétiques spécifiques. Les utilisateurs peuvent améliorer ce programme avec des protocoles supplémentaires pour une efficacité accrue.
- **Équilibre** : L'application calcule un chemin optimal à travers les priorités sélectionnées, créant une méditation guidée ou une session d'équilibre. Cette séance commence par l'activation des ressources, puis aborde chaque priorité dans l'ordre.
- **Rapport PDF** : L'utilisateur peut générer un rapport PDF contenant des informations détaillées sur ses ressources et ses priorités, ce qui lui donne une vue d'ensemble de son état actuel et de son orientation thérapeutique.

Application pratique

Moment d'utilisation : Les programmes de méditation et de fréquence de l'application peuvent être utilisés à tout moment de la journée, selon les préférences de chacun. Certains utilisateurs peuvent trouver bénéfique de s'engager dans ces pratiques pendant des moments calmes, comme tôt le matin ou tard le soir.

14.3. Rapport PDF

Génération, export PDF, impression et partage des résultats

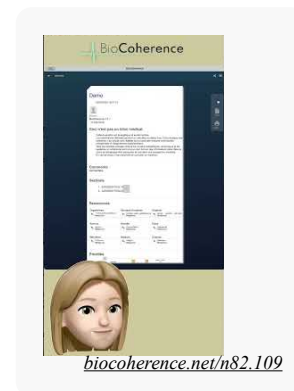
Chapitre : Génération et Gestion des Rapports avec Equilibrer

La troisième fonctionnalité clé d'Equilibrer est la génération de rapports. Cette fonctionnalité permet de créer un fichier PDF contenant toutes les informations retenues lors de l'utilisation de l'application.

Contenu du Rapport PDF

Le rapport PDF généré inclut:

- Les différentes sections du projet et la durée de chacune
- Les commentaires écrits
- Les ressources identifiées
- Les priorités définies
- Les organes les plus énergétiques ou les moins énergétiques
- Les organes les plus agités ou les moins agités
- Les organes en cohérence
- Les méridiens
- Les recettes de Médecine Traditionnelle Chinoise (MTC)
- etc.



Personnalisation du Rapport

Vous avez la possibilité d'ajouter ou de supprimer des sections du rapport. Pour ce faire, accédez aux types des sections et utilisez les outils disponibles pour personnaliser le rapport selon vos besoins.

Partage et Enregistrement du Rapport

Le rapport PDF peut être partagé directement via plusieurs canaux:

- **Partage direct**: Utilisez la boîte de partage pour envoyer le rapport par WhatsApp, SMS ou messagerie.
- **Enregistrement**: Cliquez sur "Fichier PDF" pour enregistrer le rapport. Sur un ordinateur, vous pouvez l'enregistrer directement sur votre disque dur. Sur un téléphone ou une tablette (iPad), il sera sauvegardé dans vos fichiers.

- **Impression:** Cliquez sur "Imprimer" pour imprimer le rapport. Sur un ordinateur, cela ouvrira la boîte de dialogue d'impression. Sur un téléphone, l'option d'impression apparaîtra si une imprimante compatible est disponible sur votre réseau.

Le rapport PDF conserve toutes les informations saisies, y compris les commentaires ajoutés dans les différentes sections. Cette fonctionnalité assure que toutes les données importantes sont centralisées et facilement accessibles pour une utilisation ultérieure.

14.4. Équilibrer : Méditations, sons et outils

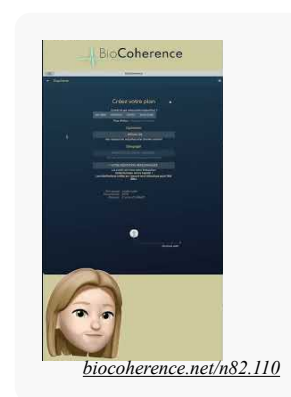
méditations guidées, génération de fréquences, et dissolution de cristal temporel. A ce stade, ce module est en préparation et sera développé dans les mois à venir.

Équilibrer avec des méditations guidées personnalisées

La section "Equilibrage" est une partie cruciale de notre méthode, consacrée à la création de méditations guidées ou de fichiers audio intégrant les fréquences nécessaires à chaque individu. Le principe repose sur une approche progressive, comparable à l'épluchage d'un oignon : les problèmes les plus proches sont les plus faciles à traiter, tandis que ceux qui sont plus éloignés nécessitent un traitement plus approfondi. Ce processus s'effectue étape par étape, en suivant un chemin idéal défini pour passer par les différents éléments prioritaires dans un ordre précis.

Paramètres de méditation

1. **Vitesse de méditation:** En fonction des paramètres détectés lors de l'enregistrement, la vitesse à laquelle une personne entre en méditation est déterminée.
2. **Type de personnalité:** Ce facteur influence la construction de la méditation.
3. **Musique:** Des accords et une gamme générale sont identifiés pour commencer au niveau de la personne.



Sélection des ressources

Les ressources sont conçues pour exploiter les éléments les plus puissants de chaque catégorie. Les ressources pertinentes sont appelées chaque jour pour répondre aux priorités du jour.

Sélection des priorités

Pour chaque type de priorités sélectionnées, une série de méditations est incluse. Ces séries comprennent différents types de méditations guidées adaptées à différents profils. L'application détermine ensuite les méditations guidées les plus appropriées pour commencer, suivies d'une deuxième partie basée sur des fréquences ou des voix générées en fonction des priorités à traiter et des ressources à solliciter.

Enregistrement et suivi

Une fois la guidance personnalisée conçue, elle peut être enregistrée sur le compte de l'utilisateur. Si elle a été réalisée par un Pro, l'utilisateur peut alors installer l'application Biocohérence, entrer son adresse e-mail et accéder à sa méditation personnalisée. Il est également possible de se réévaluer régulièrement avant chaque séance de méditation via l'application. La réévaluation vous invite à enregistrer le capteur et à le connecter pour une nouvelle évaluation.

Suivi des progrès

Les progrès sont affichés sous forme de courbes correspondant à chaque priorité, ce qui permet de visualiser les avancées et les points restant à traiter. D'autres méthodes de suivi sont également disponibles, comme les questionnaires initiaux et de suivi.

Plan et durée

Une fois le plan élaboré et la méditation personnalisée créée, celle-ci est disponible sur le profil de l'utilisateur. L'utilisateur peut être invité à installer l'application par e-mail pour lancer directement la méditation guidée. Une session complète d'équilibrage est prévue pour durer trois semaines.

Un guide détaillé : Utiliser le Boost Harmonique et le Guide Personnel en BioCohérence

L'Harmonic Boost et le Guide personnel sont deux fonctionnalités clés de l'application BioCoherence qui permettent aux utilisateurs de s'engager dans leurs programmes de fréquences personnalisés. Ces outils aident les utilisateurs à intégrer les fréquences bioactives dans leur routine quotidienne, en soutenant leur équilibre énergétique et physiologique. Cette section fournit un guide détaillé sur la façon d'utiliser efficacement ces fonctionnalités, y compris les meilleures pratiques pour différents scénarios.

1. Harmonic Boost

Qu'est-ce que l'Harmonic Boost ?

Le Boost Harmonique est un outil basé sur les fréquences qui joue simultanément toutes les priorités sélectionnées. Il est conçu pour fournir une harmonisation énergétique globale et holistique en peu de temps.

Comment utiliser le Boost Harmonique

- Accéder à l'Harmonic Boost :
 - Ouvrez l'application BioCoherence.
 - Naviguez jusqu'à votre dossier actif (il se trouve au centre de votre écran d'accueil), ou choisissez un dossier dans votre liste.
 - Cliquez sur Harmonic Boost pour commencer à jouer les fréquences.
- Lecture de l'Harmonic Boost :
 - L'Harmonic Boost joue toutes les priorités sélectionnées en même temps. Vous pouvez également filtrer par énergie, corps et esprit ; programmes avec priorité élevée ; programmes avec protocoles ; etc. Filtrerez les programmes si vous ne souhaitez qu'un boost énergétique, par exemple, ou si vous êtes d'humeur à aborder vos problèmes plus profonds en ne filtrant que les programmes avec protocoles.
 - Vous pouvez l'écouter en arrière-plan tout en effectuant vos activités quotidiennes. Le volume peut être très faible.
 - Il est recommandé d'utiliser des écouteurs ou des haut-parleurs externes pour une meilleure résonance. Vous pouvez même utiliser des écouteurs intra-auriculaires dans votre poche qui délivreront un minuscule champ électromagnétique à votre corps avec les fréquences bioactives incluses. De cette façon, vous n'avez pas besoin d'écouter les fréquences : votre champ énergétique, votre corps et votre esprit les enregistrent électromagnétiquement.
- Exportation de l'Harmonic Boost :
 - Les utilisateurs peuvent exporter l'Harmonic Boost sous forme de fichier MP3 pour une utilisation hors ligne.
 - Sur Mac, iPhone, iPad et Android, le fichier peut être enregistré ou partagé directement par SMS, AirDrop, WhatsApp ou e-mail.
 - Sous Windows, le fichier doit être enregistré manuellement puis partagé.
- Meilleures pratiques :
 - Utilisation quotidienne : Jouez l'Harmonic Boost une ou deux fois par jour.
 - Écoute passive : Vous pouvez l'écouter à faible volume en arrière-plan.
 - Séances ciblées : Pour des effets plus profonds, écoutez dans un environnement calme avec un minimum de distractions.

2. Guide personnel

Qu'est-ce que le Guide personnel ?

Le Guide Personnel est une méditation guidée qui intègre des fréquences personnalisées et des conseils vocaux. Il aide les utilisateurs à se concentrer sur leur équilibre énergétique et physiologique grâce à des techniques structurées de visualisation et de relaxation. Le but de ce guide est d'intégrer une conscience de guérison ciblée dans votre vie quotidienne.

Comment utiliser le guide personnel

- Accédez au guide personnel :
 - Ouvrez l'application BioCoherence.
 - Naviguez jusqu'à votre enregistrement actif (il se trouve au centre de votre écran d'accueil), ou choisissez un enregistrement dans votre liste.
 - Cliquez sur Guide personnel pour démarrer la session.
- Personnalisez le guide personnel :
 - Durée : Réglez la durée de la session souhaitée à l'aide du curseur.
 - Vitesse de plongée : La vitesse et l'intensité des techniques de relaxation utilisées sont précalculées en fonction de vos constantes mesurées.

- Type de personnalité : Sélectionné automatiquement en fonction de l'analyse.
- Accord musical : Personnalisé en fonction de l'analyse de la résonance.
- Mode d'arrêt :
 - Mode réveil : Ramène doucement l'utilisateur à un état d'alerte.
 - Mode sommeil : Guide l'utilisateur vers un sommeil profond.
- Lecture du guide personnel :
 - La séance comprend un guide vocal, des fréquences individuelles et des battements binauraux, ainsi qu'un bruit de fond.
 - Les utilisateurs peuvent couper le son de la voix s'ils préfèrent n'écouter que les fréquences.
 - Le bruit blanc, les fréquences et les rythmes binauraux peuvent être ajustés pour une relaxation plus profonde.
- Meilleures pratiques
 - Utilisation quotidienne : Recommandé une fois par jour, de préférence dans un environnement calme.
 - Avant de dormir : Utilisez le mode Sommeil pour améliorer la relaxation.
 - Pendant la méditation : Concentrez-vous sur les instructions guidées pour en tirer le meilleur parti.
 - Sans voix : Certains utilisateurs préfèrent couper la voix et n'écouter que les fréquences. Ce mode peut être relaxant avant de dormir, en particulier dans les derniers jours du programme de 21 jours, si les conseils ont déjà été intériorisés.

3. Combiner Harmonic Boost, le guide personnel et les programmes de base

En plus de votre programme personnel, certains programmes de base peuvent être utiles pour vous accompagner dans votre voyage.

Les programmes de base sont des programmes prédéfinis pour un cas d'utilisation spécifique : par exemple : désintoxication, soins des yeux, harmonisation des chakras, gestion du stress... Ces programmes de base sont soigneusement conçus par nos spécialistes pour une utilisation générale sans scan.

Les utilisateurs peuvent choisir de

- Les exécuter séparément (par exemple, le programme de base le matin, Harmonic Boost dans la journée, Personal Guide le soir).
- Les combiner en ajoutant quelques programmes de base et les fréquences Harmonic Boost au Guide personnel.

Comment combiner les deux

1. Ouvrez l'enregistrement et allez dans Priorités.
2. Cliquez sur le bouton pour ajouter des priorités supplémentaires.
3. Sélectionnez les programmes de base, par exemple Énergie > Détox (ou toute autre catégorie pertinente).
4. Cliquez sur Ajouter toutes les priorités pour les intégrer à la session.

Meilleures pratiques pour la combinaison

- Routine du matin : Utilisez le Boost harmonique, filtré sur Énergie, pour un alignement énergétique rapide.
- Pause matinale : jouez un programme de base rapide pour un soulagement immédiat.
- Routine du soir : Utilisez le Guide personnel du programme quotidien de 21 jours pour une relaxation et une intégration profondes.
- Soutien continu : Jouez l'intégralité du programme Harmonic Boost à un volume très faible tout au long de la journée.

4. Évaluation des progrès

Réévaluations

- Les utilisateurs doivent effectuer des réévaluations tous les 3 à 7 jours pour suivre leurs progrès. Ils ont besoin d'un capteur pour mesurer les signes vitaux et calculer les biomarqueurs.
- Chaque réévaluation met à jour la pertinence des priorités et les progrès, et ajuste le programme en conséquence.

Signes d'amélioration

- Changements physiques : Réduction des symptômes ou de l'inconfort.
- Changements énergétiques : Sentiment d'équilibre et de concentration.
- Bien-être émotionnel : Clarté et stabilité émotionnelle accrues.

5. Dépannage et FAQ

Pourquoi mon problème principal ne figure-t-il pas parmi les priorités ?

Le système privilégie les causes profondes plutôt que les symptômes. Utilisez la fonction Chaîne de causalité pour explorer les facteurs connexes.

Puis-je écouter tout en faisant d'autres activités ?

Oui, vous pouvez écouter Harmonic Boost en arrière-plan. Il est préférable d'utiliser le guide personnel dans un environnement calme et concentré.

Comment puis-je partager le guide personnel avec un client ?

Assurez-vous que l'enregistrement est partagé avec le client. Le client peut accéder au Guide personnel directement dans son application.

Puis-je exporter le guide personnel ?

Non, en raison de sa nature complexe et des ajustements de biofeedback en direct, le Guide personnel doit être lu à partir de l'application et ne peut pas être exporté. Seul l'Harmonic Boost peut être sauvegardé au format MP3.

6. Résumé

- Harmonic Boost joue toutes les priorités sélectionnées en même temps, pour une écoute en arrière-plan, une harmonisation passive.
- Personal Guide est une méditation guidée avec des fréquences personnalisées pour des sessions focalisées, une relaxation profonde.
- La combinaison intègre les deux pour une expérience complète.
- Le boost du matin, la méditation du soir et la réévaluation tous les 3 à 7 jours permettent de mettre à jour les priorités en fonction des progrès réalisés.

En suivant ces directives, les utilisateurs peuvent maximiser les avantages de la BioCohérence et créer un parcours de guérison personnalisé.

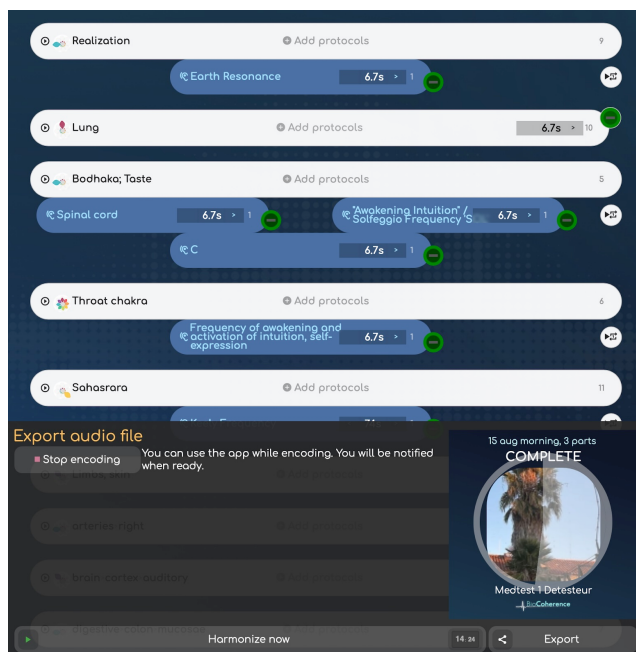
14.5. Boost harmonique

La fonction Harmonic Boost de BioCoherence est conçue pour améliorer l'efficacité des méditations et de l'harmonisation basée sur les fréquences en intégrant des **fréquences** spécifiques adaptées aux besoins de l'utilisateur et à des **protocoles** spécifiques. Cette fonction permet aux utilisateurs de stimuler et de corriger divers biomarqueurs à l'aide d'une combinaison de programmes de fréquences prédéfinis et individualisés.

Les couleurs des éléments et leurs fonctions

L'interface d'Harmonic Boost est composée d'éléments de différentes couleurs, chacun ayant une fonction distincte :

- **Éléments blancs** : Ils représentent les **harmonisations systémiques**, liées à un biomarqueur spécifique. Il s'agit d'ensembles de fréquences précalculées associées à des organes spécifiques, à des points d'acupuncture, à des charges (par exemple, le stress géopathique) ou à d'autres biomarqueurs. Ces fréquences sont fixes et ne changent pas en fonction des résultats des analyses individuelles.
- **Éléments bleus** : Ils représentent les protocoles correctifs. Ils sont individualisés et calculés localement sur l'appareil de l'utilisateur. Ces fréquences sont sélectionnées en fonction des besoins spécifiques de l'utilisateur et sont conçues pour contrebalancer les disharmonies détectées lors de l'analyse.
 - **Éléments bleu foncé** : Il s'agit de fréquences individuelles bioactives ou de collections de fréquences (spectres de fréquences), qui peuvent être jouées électriquement ou acoustiquement.
 - **Éléments bleu clair** : Il s'agit de battements binauraux, conçus pour faire entendre acoustiquement des fréquences très basses et entraîner le cerveau dans des états de conscience modifiés spécifiques. Ils fonctionnent en jouant deux fréquences légèrement différentes dans chaque oreille, créant une fréquence de battement dans le cerveau qui s'aligne sur l'effet thérapeutique désiré.



Mode d'action et fonctionnalité

Fréquences précalculées

- Toutes les fréquences d'harmonisation des biomarqueurs (éléments blancs) sont précalculées et stockées à la fois localement et dans le nuage. Cela garantit une lecture fluide sans nécessiter de calcul en temps réel, même sur des appareils bas de gamme.
- Le même processus de précalcul sera appliqué aux éléments bleus (qui sont hautement individualisés) au moment voulu, directement sur l'appareil de l'utilisateur, ce qui élimine les problèmes et améliore les performances.

Calcul en temps réel pour des protocoles individualisés

- Lorsqu'un utilisateur ajoute un protocole (éléments bleus), le système calcule localement les fréquences requises avant la lecture.
- Cela garantit que les fréquences sont adaptées aux besoins spécifiques de l'utilisateur tout en maintenant des performances optimales.

Lecture simultanée des fréquences

- Le système Harmonic Boost joue quatre fréquences à la fois.
- Si seuls des éléments blancs sont sélectionnés, quatre fréquences de l'ensemble d'harmonisation des biomarqueurs sont jouées.
- Si des éléments blancs et bleus sont sélectionnés, le système équilibre dynamiquement les fréquences de lecture entre l'harmonisation des biomarqueurs et les fréquences correctives.

Le fait que les fréquences soient jouées ensemble permet une action ciblée des protocoles, en établissant un pont direct avec le système sélectionné via l'effet de résonance et en ajoutant les fréquences du protocole pour obtenir l'effet d'un laser dirigé ciblant spécifiquement le protocole sur le système.

Intégration des rythmes binauraux

- Lorsqu'un rythme binaural (élément bleu clair) est intégré, il est mélangé à l'une des fréquences des biomarqueurs.
- Par exemple, si une fréquence de stress géopathique est de 100 Hz et qu'un battement binaural est de 8 Hz, le système jouera 100 Hz dans une oreille et 108 Hz dans l'autre, créant ainsi un battement de 8 Hz dans le cerveau.

Durée et timing

- La durée par défaut de chaque cycle de fréquence est de 6,73 secondes, ce qui est un multiple du temps de Planck au nombre d'or (ϕ).
- Chaque programme blanc ou bleu se compose de plusieurs cycles, qui durent généralement entre 10 et 150 secondes (avec des cycles de réinitialisation de 6,73 secondes).
- Les utilisateurs peuvent ajuster la durée d'un programme pour le rendre plus court ou plus long, selon leurs besoins.
- Le programme complet peut être exporté sous la forme d'un fichier audio, et des sous-ensembles peuvent être directement exportés pour traiter spécifiquement l'énergie, le corps, l'esprit ou les éléments nécessitant le plus d'attention, par exemple.

Personnalisation et exportation

Ajout de protocoles

- Les utilisateurs peuvent ajouter manuellement des protocoles pour améliorer l'efficacité d'une session Harmonic Boost.
- Le système propose des protocoles basés sur le biomarqueur sélectionné, mais les utilisateurs peuvent également rechercher des protocoles supplémentaires. Il y a plus de 2000 protocoles inclus et la liste est régulièrement enrichie par de nouvelles études.

Exportation de fichiers MP3

- Les utilisateurs peuvent exporter les sessions Harmonic Boost sous forme de fichiers MP3 pour une utilisation hors ligne.
- Les fichiers exportés contiennent des métadonnées telles que les couvertures d'albums et des mots-clés, ce qui facilite leur classement dans les bibliothèques musicales.

Applications pratiques

- Amélioration du guide personnel : Les utilisateurs entendront les fréquences Harmonic Boost dans les méditations guidées personnelles pour une relaxation et une guérison plus profondes.
- Guérison ciblée : En sélectionnant des biomarqueurs spécifiques et des protocoles correctifs, les utilisateurs peuvent créer des sessions de guérison personnalisées.
- Booster d'énergie : Les utilisateurs peuvent créer et sauvegarder des ensembles de fréquences énergétiques pour y accéder rapidement en cas de besoin.

La fonction Harmonic Boost de BioCoherence fournit un outil puissant pour l'harmonisation basée sur les fréquences. En combinant des fréquences de biomarqueurs précalculées avec des protocoles correctifs individualisés, les utilisateurs peuvent créer des sessions de guérison hautement efficaces et personnalisées. La possibilité d'exporter et de jouer ces sessions hors ligne améliore encore l'accessibilité et la facilité d'utilisation.

15. L'IA dans BioCoherence

BioCoherence utilise les dernières technologies de pointe liées à l'intelligence artificielle afin de faciliter la compréhension, l'utilisation et l'analyse de manière fluide et entièrement intégré à l'application.

- **Les Assistants AI** sont capables d'expliquer, d'analyser, de tester et d'agir sur les priorités. Plus de 30 assistants spécialisés peuvent recevoir les biomarqueurs et ouvrir une discussion simple avec l'utilisateur ou le Pro.
- Pour les Pros, la **création d'éléments de liste** est accélérée grâce à l'assistance à l'écriture de parties de méditation, à l'identification automatique des actions, à la recherche d'ingrédients de produits...
- BioCoherence intègre des milliers d'algorithmes exclusifs liés au BioFeedback et aux biomarqueurs, dont certains résultats ont été obtenus avec l'assistance de l'apprentissage profond et de l'intelligence artificielle.

15.1. Assistants IA

L'un des développements les plus intéressants de BioCoherence est l'introduction des AI Helpers. Ces assistants pilotés par l'IA sont conçus pour aider les utilisateurs à naviguer dans la grande quantité d'informations contenues dans l'application, afin de faciliter la compréhension et l'utilisation des données issues de leurs scans de biofeedback.

Les assistants IA de BioCoherence sont conçus pour améliorer l'expérience de l'utilisateur en fournissant des conseils personnalisés, des explications et la création de programmes basés sur les données de l'utilisateur. Ces modules d'IA réduisent la courbe d'apprentissage pour les nouveaux utilisateurs et offrent aux professionnels un moyen de rationaliser les interactions avec leurs clients. Les modules d'aide à l'IA peuvent fonctionner selon deux modes distincts, en fonction du contexte dans lequel ils sont utilisés :

1. **Sans enregistrement** : Les utilisateurs peuvent discuter avec l'IA pour créer un programme de base en fonction de leurs besoins. À partir de la page d'accueil : Les utilisateurs peuvent interagir avec l'IA pour obtenir des conseils généraux sans lien avec des biomarqueurs spécifiques.
2. **Avec un enregistrement ouvert** : Les assistants de l'IA analysent les biomarqueurs de l'utilisateur et fournissent des informations ou des recommandations basées sur les données enregistrées.



Caractéristiques principales

Les AI Helpers fonctionnent comme une clinique virtuelle, avec des assistants spécialisés qui jouent le rôle d'infirmières et de personnel de soutien pour les utilisateurs généraux et les praticiens professionnels. Ces assistants IA peuvent :

- Lire et interpréter les biomarqueurs de vos scanners et de ceux de vos clients.
- Afficher des biomarqueurs spécifiques et interpréter leurs valeurs.
- Jouer des boosts harmoniques pour vous aider à équilibrer votre énergie.
- Modifier vos priorités en fonction de vos données de santé et de la discussion.
- Ajoutez des éléments à votre liste de boost harmoniques pour une guérison personnalisée.
- Demander et analyser de nouveaux tests en temps réel.
- Fournir des explications et des conseils sur les différents biomarqueurs et résultats de tests.
- Rediriger les clients vers des consultations professionnelles si nécessaire.

Cela signifie que les utilisateurs peuvent interagir avec l'IA pour obtenir des informations plus approfondies sur leur santé, poser des questions sur leurs résultats et même recevoir des recommandations sur les mesures à prendre, la méditation, les remèdes à base de plantes et bien plus encore :

- Assistance sur mesure : Chaque AI Helper se spécialise dans un domaine spécifique, comme la naturopathie, la médecine traditionnelle chinoise (MTC), les huiles essentielles ou la méditation. Il existe actuellement plus de 25 AI Helpers. Ils reçoivent un sous-ensemble de biomarqueurs correspondant à leur expertise, des messages-guides spécifiques, des connaissances et une formation spécifiques, des listes et des éléments de liste spécifiques, des informations supplémentaires spécifiques et des capacités spécifiques.
- Création de programmes de base : Les utilisateurs peuvent créer des programmes personnalisés en discutant de leurs besoins avec l'IA. Ces programmes sont enregistrés dans la section "Programmes de base" et peuvent être lancés immédiatement.
- Prise en charge des langues : Les assistants de l'IA prennent en charge plusieurs langues, ce qui permet aux utilisateurs d'interagir dans leur langue maternelle. Le système est conçu pour traiter efficacement les requêtes multilingues.
- Accès personnalisable : Les professionnels peuvent contrôler quels AI Helpers sont disponibles pour leurs clients et à quelles données ils ont accès. Cela permet de s'assurer que l'IA fonctionne dans les limites fixées par le professionnel.

L'IA est conçue pour reconnaître ses limites, ce qui encourage les utilisateurs à demander l'aide d'un professionnel si nécessaire.

Les aides à l'IA pour les professionnels

Pour les professionnels, les assistants d'IA sont des assistants intelligents qui peuvent

- Expliquer aux clients les biomarqueurs complexes
- Suggérer des tests supplémentaires en fonction des données du client
- Recommander des techniques de méditation ou des remèdes à base de plantes.
- Alléger le processus d'explication en fournissant au client des aides IA sélectionnées capables d'expliquer mais non de modifier les décisions du professionnel.

Lorsqu'un professionnel travaille sur le dossier d'un client, l'assistant IA reçoit les données du client et agit en tant qu'assistant du professionnel.

Accéder aux AI Helpers

Vous pouvez accéder aux AI Helpers à partir de

- La page d'accueil : Pour des conseils généraux ou la création d'un programme de base.
- Un enregistrement ouvert : Pour analyser et expliquer des biomarqueurs spécifiques, afin de fournir des informations détaillées sur l'analyse.

Cas d'utilisation de l'AI Helper

Création d'un programme de base :

- Accédez à la section "AI Helpers" à partir de la page d'accueil.
- Sélectionnez un assistant d'IA (par exemple, coach de sommeil, guide de méditation).
- Engagez une conversation pour décrire vos besoins (par exemple, "Je me sens stressé et j'ai besoin d'aide pour me détendre").
- L'IA générera un programme de base personnalisé et l'enregistrera dans votre section "Programmes de base".

Expliquer les biomarqueurs :

- Ouvrez un enregistrement et accédez à la section "AI Helpers", sous "Conclusions".
- Sélectionnez une aide de l'IA correspondant aux biomarqueurs que vous souhaitez explorer (par exemple, un praticien de la MTC pour les méridiens).
- L'IA fournira des explications détaillées et des recommandations basées sur vos biomarqueurs calculés dans l'enregistrement.

Exemple : Mélanges de thés ou d'huiles essentielles personnalisés. Utilisez l'assistant AI Herbalist ou Essential Oil Expert. L'IA analysera les biomarqueurs pertinents et vous proposera un mélange de thés ou une recette d'huiles essentielles personnalisés.

Limitations de l'assistant d'IA

- Les assistants AI ne peuvent pas modifier les enregistrements ou les résultats d'analyse. Ils sont conçus pour expliquer et fournir des conseils sur la base des données existantes.
- L'ensemble initial de biomarqueurs fourni à chaque assistant d'IA est limité à son domaine d'expertise. Toutefois, l'IA peut demander des biomarqueurs supplémentaires au cours de la conversation, si nécessaire.

Fonctionnalités avancées

Intégration de résumés et de rapports :

- À la fin d'une conversation, l'assistant génère un résumé de la discussion.
- Les professionnels peuvent choisir d'inclure ce résumé dans le rapport PDF du client pour référence ultérieure.

Commentaires et évaluations :

- Après chaque interaction, les utilisateurs peuvent évaluer l'utilité de l'assistant d'IA et sa capacité à répondre à leur demande. Ce retour d'information permet d'améliorer les performances de l'IA.

Accès personnalisable à l'IA pour les clients :

- Les professionnels peuvent activer ou désactiver des assistants d'IA spécifiques pour leurs clients.
- Ils peuvent également décider si les clients ont accès à des fonctions telles que le guide personnel, les boosts harmoniques ou le rapport complet.

Notes techniques

- Traitement des données des assistants AI : Chaque AI Helper reçoit entre 5 et 10 % des biomarqueurs de l'utilisateur, en fonction de son domaine. Cela permet d'obtenir des conseils ciblés et pertinents.
- Les AI Helpers sont des outils basés sur de grands modèles de langage et leurs réponses ne sont pas vérifiées par des professionnels de la santé. L'exactitude des réponses doit toujours être vérifiée.
- 26 AI Helpers sont disponibles aujourd'hui, mais maintenant que le système fonctionne, il est très facile d'ajouter de nouvelles aides. N'hésitez pas à nous contacter si vous voyez un domaine que vous souhaiteriez ajouter aux AI Helpers.

Conclusion

Les AI Helpers de BioCoherence sont un outil puissant pour les professionnels et les utilisateurs individuels. En exploitant les capacités avancées de l'IA, ils simplifient les analyses complexes, fournissent des informations exploitables et créent des programmes personnalisés adaptés aux besoins de l'utilisateur. Au fur et à mesure de l'évolution du système, de nouvelles fonctionnalités et améliorations continueront à enrichir l'expérience de l'utilisateur.

Addendum 1.

Questions fréquentes

Comment obtenir de l'aide dans l'application

Pour demander de l'aide ou envoyer une suggestion à partir de n'importe quelle page de l'application, il suffit d'ouvrir le menu en haut à droite et de cliquer sur "Feedback et idées". Vous pouvez cliquer sur "annoter une capture d'écran" pour ajouter une capture d'écran de la page sur laquelle vous vous trouvez, et ajouter cette capture d'écran annotée à votre demande. Il sera alors beaucoup plus facile pour nous de vous aider !

Comment les membres de ma famille ou mes clients peuvent-ils accéder aux méditations sur mesure ?

Pour accéder aux méditations personnalisées, ils doivent installer l'application à partir de biocoherence.net/install ou à partir de l'App Store ou du Play store. Vous pouvez les inviter en créant un compte pour eux ; veuillez insérer leur adresse électronique dans le compte afin qu'ils reçoivent une invitation avec le bon compte. Vous pouvez ensuite partager leur analyse avec eux en les ajoutant comme contact sur l'analyse. Lorsqu'ils se connecteront à l'application avec l'adresse électronique que vous avez indiquée dans le compte que vous avez créé, ils trouveront cette analyse sur la page d'accueil de leur application ou dans la rubrique "Analyses enregistrées".

Une fois qu'ils ont l'analyse, ils peuvent écouter la méditation d'équilibre dans la section "Equilibre" de l'application BioCoherence, où l'audio combine des conseils vocaux et des fréquences pour des résultats optimaux.

Programme d'affiliation de BioCoherence

Bienvenue dans le programme d'affiliation de BioCoherence ! Nous sommes ravis que vous vous joignez à nous pour partager avec votre public les avantages de notre technologie de pointe. Notre programme vous permet de percevoir des commissions tout en aidant d'autres personnes à découvrir une approche transformatrice de la santé et du bien-être.

Pour commencer

1. Connectez-vous à votre compte : Visitez <https://biocoherence.net/s0.login/>
2. Accédez à votre page d'affilié : Naviguez jusqu'à <https://biocoherence.net/n119/>. Il s'agit de votre centre d'affiliation personnel.

Vous y trouverez tous les outils et toutes les informations dont vous avez besoin, notamment pour

- Créer et gérer vos codes d'invitation.
- Suivre vos commissions.
- Développer votre réseau d'affiliés.

À propos du programme d'affiliation

Notre programme offre des **commissions basées sur l'abonnement** pour les ventes directes et une variété de types d'achat. Vous pouvez également gagner des primes supplémentaires lorsque vous recommandez de nouveaux affiliés au programme

Commissions d'abonnement pour les ventes directes

Lorsque vous partagez vos codes d'invitation, vous gagnez des commissions sur les abonnements et autres achats effectués par les utilisateurs qui s'inscrivent avec votre code. Le programme est conçu pour récompenser à la fois vos clients et vous-même, en offrant des avantages et des incitations aux nouveaux utilisateurs qui s'inscrivent avec votre code

Achats supplémentaires

Gagnez des commissions sur les achats tels que les rapports, les tests et le matériel via la plateforme BioCoherence. Ces récompenses vous permettent de bénéficier de chaque transaction effectuée par les utilisateurs que vous avez référencés

Note : Pour les articles couverts par l'**exclusivité territoriale**, les commissions et les factures des clients seront traitées par le distributeur exclusif local. Les taux peuvent varier en fonction des politiques du distributeur. Consultez biocoherence.net/distributeurs/ pour plus de détails

Gérer vos codes d'invitation

À partir de votre page de gestion des affiliés, vous pouvez créer plusieurs codes à distribuer sur différents canaux tels que les médias sociaux, les vidéos et les blogs. Cela vous permet de suivre les performances de chaque code et d'optimiser vos efforts

Qu'est-ce que BioCoherence n'est pas censé faire ?

BioCoherence n'est pas destiné à diagnostiquer des conditions médicales spécifiques ou à remplacer les conseils médicaux traditionnels. Bien que certains biomarqueurs soient issus de la recherche médicale universitaire officielle, son objectif premier est de fournir des outils permettant de comprendre rapidement et d'identifier les causes profondes. Il permet aux utilisateurs de s'aider eux-mêmes et les met en contact avec des thérapeutes avancés si nécessaire.

Quelle est la meilleure façon de s'assurer que le processus d'analyse est complet, sachant que l'analyse doit durer au moins 130 secondes ?

L'analyse doit en effet durer au moins 130 secondes pour que les résultats soient exacts (il nécessite au moins 128 battements de coeur valides). Des barres de progression situées en bas de l'analyse indiquent la durée nécessaire pour chaque type d'analyse. Veillez à ce que l'analyse soit exécutée pendant toute sa durée, même si elle semble terminée lorsque les barres sont remplies de vert. Il est essentiel de s'assurer que l'analyse est effectuée pendant toute sa durée pour que les résultats soient exacts.

Quels résultats ont été mesurés ou rapportés ?

BioCoherence est actuellement en version bêta, les premiers tests ayant donné lieu à des réactions positives validant son efficacité. Nous recueillons divers commentaires afin de valider et d'étendre son utilisation. Des témoignages de clients et des études de cas spécifiques seront disponibles au fur et à mesure de la collecte des données. BioCoherence comprend un moyen de recueillir des données anonymes (avec opt-in) pour valider scientifiquement tous les biomarqueurs et les modes d'équilibrage. Ces données serviront de base à la publication d'articles scientifiques avec un accès aux données brutes et anonymes sur demande d'institutions réputées.

Quelle serait l'utilisation d'entrée de gamme et l'utilisation avancée ?

Utilisation d'entrée de gamme : Me Play (analyse ou test automatique, et méditations personnalisées automatiques renforcées par le biofeedback). Utilisation avancée : Pro (40 pages graphiques, liens, ressources, identification et modification des priorités, et répertoire Pro pour les connexions entre utilisateurs et thérapeutes). Les futures fonctionnalités incluront des scans comparatifs et des méditations simultanées pour plusieurs utilisateurs.

Installation de l'application et premier lancement

- Sur Windows, Mac ou Linux : Téléchargez le fichier d'installation sur biocoherence.net/install/
- Sur iPad, iPhone ou Android : Suivez les instructions sur biocoherence.net/install/; l'installation devrait se faire en un seul clic depuis l'App Store.

Après l'installation

Une fois l'installation terminée, il se peut qu'il y ait encore des problèmes.

1. **Vous ne trouvez pas l'application ?** Elle s'appelle "BioCoherence" ; sur Mac, elle se trouve dans "Applications". Sur Windows et Linux, dans le menu Démarrer. Sur iPad, iPhone et Android, elle est ajoutée à votre écran d'accueil et vous pouvez également la trouver en effectuant une recherche.
2. **L'application ne se lance pas ?** Soit votre ordinateur ou votre tablette est trop lent, soit il y a des incompatibilités.
3. **Vous n'arrivez pas à vous connecter ?** Si vous avez un compte, cliquez sur "mot de passe perdu" sur l'écran de connexion. Vous recevrez un lien pour réinitialiser votre mot de passe. Si vous n'en avez pas, vous pouvez en créer un dans l'application.

BioCoherence peut-il utiliser les protocoles de fréquence de Spooky ?

Oui, BioCoherence a intégré de nombreux protocoles de fréquence provenant de diverses sources, y compris les tables basées sur Rife utilisées par Spooky et d'autres appareils. À l'avenir, BioCoherence vise à permettre aux appareils Spooky d'agir en tant qu'émetteurs, ce qui permettra d'exporter de l'audio de BioCoherence et de l'introduire directement dans Spooky. Nous prévoyons d'être ouverts à autant de dispositifs que possible et de nous interfacer directement avec eux lorsqu'ils seront ouverts. Dans tous les cas, l'exportation audio des programmes de fréquences permet de jouer les fréquences sur une grande variété d'appareils.

Peut-il éventuellement "remplacer" une technologie que j'utilise actuellement ?

BioCoherence pourrait potentiellement remplacer ou compléter d'autres outils de biofeedback et d'analyse de la santé en fonction de vos besoins spécifiques. Il pourrait remplacer la plupart des appareils, en particulier ceux qui sont basés sur des générateurs de nombres aléatoires, mais ne pourrait pas remplacer d'autres appareils ayant des modes d'action différents, spécifiques, efficaces et éprouvés. Dans ce cas, il peut être utile d'utiliser les deux dispositifs pour des cas d'utilisation différents.

Comment puis-je obtenir des informations sur les thèmes centraux d'un client lorsque les résultats varient d'un balayage à l'autre ?

Pour obtenir des informations sur les thèmes centraux d'un client, il peut être utile de comparer plusieurs analyses. Recherchez des schémas cohérents ou des questions récurrentes dans les analyses afin d'identifier les thèmes centraux. Mederic a indiqué qu'il est important de rechercher des tendances dans les analyses afin d'obtenir une compréhension plus complète des questions centrales du client.

Les résultats seront généralement très cohérents d'un scan à l'autre, avec des variations dans les liens et l'énergie relative ou l'agitation des systèmes. Ces variations sont saines et indiquent un progrès.

Vous pouvez en fait comparer plusieurs scans côte à côte dans l'application pour voir comment des biomarqueurs spécifiques évoluent, par exemple avant et après l'application d'une thérapie spécifique.

Comment mes clients peuvent-ils accéder à leurs rapports en dehors du cabinet du praticien ? Comment peuvent-ils consulter leurs rapports et accéder aux méditations ?

Les clients peuvent accéder à leurs rapports et à leurs méditations via l'application. Voici comment les praticiens peuvent activer l'accès des clients :

- Ajoutez le client en tant que nouveau contact dans l'application :
 - Cliquez sur les deux flèches à côté de votre photo de profil pour accéder à "Contacts".
 - Créez un nouveau contact, en veillant à indiquer l'adresse électronique du client.
- Effectuez une analyse sous le profil du client.
- Partagez le rapport :
 - Ouvrez le rapport terminé et sélectionnez l'option "Partager avec...".
 - Envoyez un courriel d'invitation au client, comprenant un lien pour télécharger l'application ainsi que les détails de connexion.

Une fois le client connecté, il peut consulter son rapport et accéder aux méditations directement dans l'application. Il peut également effectuer des tests à distance pour vous (des tests locaux pour lui, avec un capteur) et vous recevrez les résultats dans votre logiciel.

Comment les membres de ma famille ou mes clients peuvent-ils utiliser les fréquences personnalisées générées pour eux ?

Pour partager les fréquences personnalisées avec les membres de votre famille ou vos clients, suivez les étapes suivantes :

- Lorsque vous consultez leur rapport de fréquence dans l'application BioCoherence, exportez le fichier audio de la séance de fréquence.
- Vous pouvez ensuite partager le fichier audio avec eux via la messagerie, l'email ou d'autres méthodes de communication.

Vous pouvez également inviter vos clients ou les membres de votre famille à installer l'application et à partager l'analyse avec eux. Pour cela, vous pouvez créer un compte client avec leur adresse électronique.

En quoi BioCoherence est-il unique ?

BioCoherence associe des algorithmes mathématiques avancés à la technologie ECG pour fournir des informations détaillées sur la santé. Il se distingue par une analyse à plusieurs niveaux des signaux électriques du corps et comprend une approche énergie/corps/esprit, plusieurs affichages graphiques et des liens entre les biomarqueurs. Il comprend également des méditations et des fréquences adaptées au biofeedback.

Comment mettre à jour l'application

Utilisez toujours la dernière mise à jour, car votre problème a peut-être déjà été résolu - ou votre idée, déjà mise en oeuvre !

En fonction de la plate-forme que vous utilisez, la mise à jour se fait de manière différente :

Version beta

- Si vous utilisez la version Beta avec TestFlight: vous devez recevoir une notification à chaque mise à jour. Lancez TestFlight et cliquez sur "mettre à jour".
- Si vous avez installé la version beta pour Mac, Windows ou Linux hors TestFlight: rendez-vous sur biocoherence.net/beta/, et téléchargez l'installateur de la dernière version, et lancez l'installateur. Toutes vos données seront conservées.

1. <https://biocoherence.net/s0/login>

2. <https://biocoherence.net/n119>

3. <https://biocoherence.net/distributors>

Version publique

- Si vous avez installé la version publique pour Mac, Windows ou Linux hors TestFlight: rendez-vous sur biocoherence.net/install⁴, et téléchargez l'installateur de la dernière version, et lancez l'installateur. Toutes vos données seront conservées.
- Si vous utilisez la version publique depuis l'App Store ou le Play Store: ouvrez l'App Store ou le Play Store et mettez à jour l'app depuis sa page.

Résoudre les problèmes de connexion Bluetooth avec BioCoherence

Si vous rencontrez des problèmes avec la connexion Bluetooth dans BioCoherence, suivez ces étapes de dépannage pour assurer une installation sans problème :

Directives générales

- **Lancez d'abord le processus**
 - Commencez par lancer un enregistrement ou un test dans l'application BioCoherence. De nombreux problèmes de connexion proviennent d'une tentative de connexion trop précoce du capteur.
 - L'application est conçue pour gérer automatiquement le processus de connexion dès que vous lancez un enregistrement ou un test.
- **Évitez les réglages du système**
 - N'essayez pas de connecter le capteur Bluetooth via les paramètres système de votre appareil. Laissez l'application gérer ce processus pour éviter les interruptions.
- **Assurez-vous que Bluetooth est actif**
 - **Windows** : Activez Bluetooth via le panneau Paramètres ou le raccourci Bluetooth dans la barre des tâches en bas à droite.
 - **Mac** : Activez Bluetooth à partir de la barre de menu en haut à droite. Assurez-vous que les autorisations Bluetooth sont accordées à BioCoherence dans les paramètres du système.
 - **iOS/Android** : Activez le Bluetooth dans le menu des paramètres de l'appareil, généralement situé à côté des options Wi-Fi.
- **Humidifiez vos pouces**
 - **Important** : veillez à ce que vos pouces soient suffisamment humidifiés avec de l'eau ou du gel conducteur. Cela permet d'améliorer la connexion et de garantir la précision des relevés du capteur.

Dépannage pas à pas

1. **Activez le Bluetooth**
 - Si vous êtes bloqué à cette étape, vérifiez que
 - Votre appareil possède une puce Bluetooth active.
 - Bluetooth est activé et fonctionne.
2. **Allumez le capteur**
 - Le capteur s'allume automatiquement lorsqu'il est retiré de son support. Placez vos pouces humides sur le capteur. Il se connecte généralement en 1 à 2 secondes. Si ce n'est pas le cas
 - Cliquez sur *Relancer le Bluetooth* dans l'application.
 - Retirez vos pouces et essayez de les replacer sur le capteur.
3. **État de la connexion**
 - L'application fournit des indications étape par étape sur le panneau Bluetooth
 - **Activez Bluetooth** : Assurez-vous que Bluetooth est activé.
 - **Activer le capteur** : l'application est prête à connecter le capteur.
 - **Capteur connecté** : Le capteur est connecté avec succès et prêt.
 - **Échange de données préliminaires** : l'application a reçu les données initiales, telles que l'état de la batterie et le numéro de série.
 - **Données actives** : Les données ECG sont reçues et l'enregistrement ou le test commence.
4. **Gérer les connexions de plusieurs appareils**
 - Si le capteur a déjà été associé à plusieurs appareils, désactivez le Bluetooth sur les appareils non utilisés afin d'éviter les interférences.

Notes supplémentaires

- **Première autorisation**
 - Lorsque vous lancez l'application pour la première fois, accordez les autorisations Bluetooth lorsque vous y êtes invité. Si vous refusez accidentellement ces autorisations
 - Ajustez-les dans les préférences de votre système.
 - Vous pouvez également désinstaller et réinstaller l'application pour réinitialiser les autorisations.
- **Déconnexion du capteur**
 - Si le capteur se déconnecte pendant l'utilisation, vérifiez
 - Le niveau des piles.
 - Que les pouces sont correctement placés sur le capteur.

En suivant ces étapes et en vous assurant que vos pouces sont correctement humidifiés, vous pouvez résoudre la plupart des problèmes de connectivité Bluetooth et profiter d'une expérience transparente avec BioCoherence. Si les problèmes persistent, pensez à contacter le service d'assistance pour obtenir de l'aide supplémentaire.

Quels sont les prix de BioCoherence ?

BioCoherence offre un maximum de flexibilité au niveau des prix. Vous pouvez commencer gratuitement et choisir ensuite le plan qui vous convient le mieux. Tous nos plans sont expliqués en détail sur biocoherence.net/price⁸.

Plan gratuit

Le plan gratuit vous permet d'effectuer un nombre illimité d'enregistrements, de vous connecter avec un Pro et de recevoir une méditation personnalisée. Pour le scan, vous pouvez ouvrir certaines pages d'informations générales, mais la plupart des pages sont floues ; vous devez acheter un rapport pour les débloquent. Vous pouvez effectuer des enregistrements avec une Apple Watch ou avec notre capteur. Vous pouvez également accéder au catalogue de tests et choisir de payer pour le test de votre choix.

Pour utiliser le plan gratuit, il vous suffit d'[installer l'application](#)⁹ et de créer un compte gratuit.

Si vous souhaitez aller plus loin, voici nos formules payantes :

Formules payantes, pour un usage personnel

- Les prix vont du forfait mensuel (sans engagement) à la licence à vie complète, avec toutes les mises à jour incluses à vie. Nous avons également des plans annuels avec des rabais.
- Me Play permet de jouer un nombre illimité de fréquences et de méditations.
 - Me Essential permet un nombre illimité de scans et de bilans (méditations et fréquences) pour un maximum de 2 comptes, et vous donne accès aux écrans essentiels du rapport et aux tests gratuits. Vous pouvez acheter des rapports complets et des tests payants à votre convenance.
 - Me Custom vous permet d'accéder à 3 écrans de votre choix, toujours non verrouillés.
 - Me Plus vous donne accès à un nombre illimité d'écrans d'analyse complète pour un maximum de 6 personnes, à des ressources et des priorités modifiables et à un équilibre personnalisé.

Plans payants pour une utilisation professionnelle

- Pro Essential permet un nombre illimité d'analyses (localement ou à distance) et de bilans pour un nombre illimité de clients, et vous donne accès aux écrans essentiels du rapport et à la création de tests de base. Vous pouvez acheter des rapports complets et des tests payants à votre convenance.
- Pro Custom vous permet d'accéder à 3 écrans de votre choix, toujours non verrouillés.
- Pro Plus vous donne accès à un nombre illimité de scans complets (localement ou à distance) et à tous les écrans pour un nombre illimité de clients, à des ressources et des priorités modifiables, à un équilibre personnalisé et à la création de tests complets, y compris la monétisation.
- Med se concentre uniquement sur les biomarqueurs médicalement validés dans un ECG.

Pour obtenir plus de détails sur les forfaits, rendez-vous sur biocoherence.net/price¹⁰.

Qu'est-ce que BioCoherence fait de mieux ?

Le logiciel BioCoherence excelle à fournir une analyse complète de l'activité électrique et magnétique du corps, donnant un aperçu de divers biomarqueurs et de l'état de santé général. Mettant en évidence les ressources, priorités et les liens entre organes, il présente des données complexes provenant de divers domaines de manière simple et graphique pour une utilisation quotidienne par les thérapeutes. Il utilise exclusivement des opérations mathématiques avancées pour une analyse à plusieurs niveaux, extrayant des données

4. <https://biocoherence.net/install>

5. <https://biocoherence.net/install>

6. <https://biocoherence.net/beta>

significatives directement à partir d'un capteur de l'électricité du corps (électrocardiogramme). Se basant sur ces ressources et priorités identifiées, il peut ensuite proposer des méditations guidées sur mesure et des protocoles de rééquilibrage.

Quelle est la qualité des fichiers générés ?

L'accent est mis sur le développement d'une génération de sons de haute qualité dans l'application, y compris un synthétiseur et un séquenceur complets en temps réel. Ces outils sont déjà disponibles dans l'application pour les bruits, les fréquences, les battements binauraux et les méditations guidées enregistrées. Les paramètres générés sont toujours améliorés. La musique permet de s'accorder avec des accords spécifiques pour les méditations et les sessions de groupe simultanées.

Pourquoi mon capteur continue-t-il à clignoter en bleu ou en vert après la fin de l'analyse ?

Vous devez remettre le capteur dans son étui, ce qui l'éteindra automatiquement. Nous avons conçu le capteur pour qu'il soit très simple d'utilisation, de sorte que vous n'avez même pas à vous soucier de l'allumer ou de l'éteindre—il le fait automatiquement. Il se peut qu'il continue à clignoter en vert ou en bleu pendant quelques secondes, ou peut-être jusqu'à une minute après avoir terminé le scan, mais il s'éteint ensuite et attend le début du prochain scan.

Pourquoi la connexion Bluetooth échoue-t-elle parfois au cours d'un scan ?

Si vous rencontrez des problèmes de connectivité Bluetooth au cours d'un examen, cela peut être dû au fait que le scanner BioCoherence a été associé à plusieurs appareils. Dans ce cas, le scanner peut tenter de se connecter à un appareil qui n'est pas en cours d'utilisation. Pour résoudre ce problème, assurez-vous que Bluetooth est complètement désactivé sur tous les autres appareils qui ont été précédemment connectés au scanner BioCoherence. Ainsi, le scanner se connectera sans problème à l'appareil approprié, ce qui permettra à l'examen de se dérouler sans interruption.

Pour éviter tout problème, il est très important de lancer d'abord le processus de connexion Bluetooth dans l'application en commençant un nouvel enregistrement ou un test, puis de saisir le capteur. En posant vos pouces sur le capteur, celui-ci s'allumera et se connectera automatiquement à l'application qui est déjà en mode recherche à ce moment-là.

Quel type de compte puis-je utiliser pour détecter les parasites ?

Cette fonction est réservée aux utilisateurs professionnels. Les informations doivent être interprétées par un professionnel, et nous nous efforçons de veiller à ce qu'elles soient utilisées de manière précise et responsable. Elles restent dans les limites d'une évaluation énergétique et non d'une observation directe de la présence d'un parasite.

Addendum 2.

Liste d'études connexes

Vous pouvez accéder à tous les liens sur bio coherence.net/studieslist

Acupuncture, méridiens

H. M. Langevin and J. A. Yandow. *Anat. Rec. (New Anat.)* 269, 257 (2002). [DOI¹](#), [Crossref²](#)

Banes AJ, Tsuzaki M, Yamamoto J, et al. 1995. Mechanoreception at the cellular level: The detection, interpretation and diversity of responses to mechanical signals. *Biochem Cell Biol* 73:349–365. [Crossref³](#) [PubMed⁴](#) [Web of Science⁵](#)

Bonassar LJ, Stinn JL, Paguio CG, et al. 1996. Activation and inhibition of endogenous matrix metalloproteinases in articular cartilage: Effects on composition and biophysical properties. *Arch Biochem Biophys* 333: 359–367. [Crossref⁶](#) [PubMed⁷](#) [Web of Science⁸](#)

Brand RA. 1997. What do tissues and cells know of mechanics? *Ann Med* 29: 267–269. [Crossref⁹](#) [PubMed¹⁰](#) [Web of Science¹¹](#)

Bossy J. 1984. Morphological data concerning the acupuncture points and channel network. *Acupunct Electrother Res* 9: 79–106. [PubMed¹²](#) [Web of Science¹³](#)

Cheng X. 1987. Chinese acupuncture and moxibustion. Beijing: Foreign Language Press.

Chicurel ME, Chen CS, Ingber DE. 1998. Cellular control lies in the balance of forces. *Curr Opin Cell Biol* 10: 232–239. [Crossref¹⁴](#) [PubMed¹⁵](#) [Web of Science¹⁶](#)

Chiquet M. 1999. Regulation of extracellular matrix gene expression by mechanical stress. *Matrix Biol* 18: 417–426. [PubMed¹⁷](#) [Web of Science¹⁸](#)

Cieczek LSW, Szopinski J, Skrzypulec V. 1985. Investigations of morphological structures of acupuncture points and meridians. *J Trad Chin Med* 5: 289–292.

Comunetti A, Laage S, Schiessl N, Kistler A. 1995. Characterization of human skin conductance at acupuncture points. *Experientia* 51: 328–331. [Crossref¹⁹](#) [PubMed²⁰](#) [Web of Science²¹](#)

Dung HC. 1984. Anatomical features contributing to the formation of acupuncture points. *Am J Acupunct* 12: 139–143. [Web of Science²²](#)

Giancotti FG, Ruoslahti E. 1999. Integrin signaling. *Science* 285: 1028–1032. [Crossref²³](#) [PubMed²⁴](#) [Web of Science²⁵](#)

1. <https://doi.org/10.1002/ar.10185>

2. https://aip.scitation.org/ser/vol/linkout?suffix=c26_c26_1&dbid=16&doi=10.1063/1.4991499&key=10.1002/ar.10185

3. <https://onlinelibrary.wiley.com/ser/vol/linkout?suffix=null&dbid=16&doi=10.1002/ar.10185&key=10.1139/o95-043>

4. <https://onlinelibrary.wiley.com/ser/vol/linkout?suffix=null&dbid=8&doi=10.1002/ar.10185&key=8703408>

5. <https://onlinelibrary.wiley.com/ser/vol/linkout?suffix=null&dbid=128&doi=10.1002/ar.10185&key=A1995TF60300006>

6. <https://onlinelibrary.wiley.com/ser/vol/linkout?suffix=null&dbid=16&doi=10.1002/ar.10185&key=10.1006/abbi.1996.0402>

7. <https://onlinelibrary.wiley.com/ser/vol/linkout?suffix=null&dbid=8&doi=10.1002/ar.10185&key=8809074>

8. <https://onlinelibrary.wiley.com/ser/vol/linkout?suffix=null&dbid=128&doi=10.1002/ar.10185&key=A1996J77600006>

9. <https://onlinelibrary.wiley.com/ser/vol/linkout?suffix=null&dbid=16&doi=10.1002/ar.10185&key=10.3109/0785389970899346>

10. <https://onlinelibrary.wiley.com/ser/vol/linkout?suffix=null&dbid=8&doi=10.1002/ar.10185&key=9375981>

11. <https://onlinelibrary.wiley.com/ser/vol/linkout?suffix=null&dbid=128&doi=10.1002/ar.10185&key=A1997XZ10400003>

12. <https://onlinelibrary.wiley.com/ser/vol/linkout?suffix=null&dbid=8&doi=10.1002/ar.10185&key=6148847>

13. <https://onlinelibrary.wiley.com/ser/vol/linkout?suffix=null&dbid=128&doi=10.1002/ar.10185&key=A1984TF83000011>

14. [https://onlinelibrary.wiley.com/ser/vol/linkout?suffix=null&dbid=16&doi=10.1002/ar.10185&key=10.1016/S0955-0674\(98\)80145-2](https://onlinelibrary.wiley.com/ser/vol/linkout?suffix=null&dbid=16&doi=10.1002/ar.10185&key=10.1016/S0955-0674(98)80145-2)

15. <https://onlinelibrary.wiley.com/ser/vol/linkout?suffix=null&dbid=8&doi=10.1002/ar.10185&key=9561847>

16. <https://onlinelibrary.wiley.com/ser/vol/linkout?suffix=null&dbid=128&doi=10.1002/ar.10185&key=000073043200010>

17. <https://onlinelibrary.wiley.com/ser/vol/linkout?suffix=null&dbid=8&doi=10.1002/ar.10185&key=10601729>

18. <https://onlinelibrary.wiley.com/ser/vol/linkout?suffix=null&dbid=128&doi=10.1002/ar.10185&key=000084085600001>

19. <https://onlinelibrary.wiley.com/ser/vol/linkout?suffix=null&dbid=16&doi=10.1002/ar.10185&key=10.1007/BF01928888>

20. <https://onlinelibrary.wiley.com/ser/vol/linkout?suffix=null&dbid=8&doi=10.1002/ar.10185&key=7729497>

21. <https://onlinelibrary.wiley.com/ser/vol/linkout?suffix=null&dbid=128&doi=10.1002/ar.10185&key=A1995QU26800004>

22. <https://onlinelibrary.wiley.com/ser/vol/linkout?suffix=null&dbid=128&doi=10.1002/ar.10185&key=A1984SS05900005>

23. <https://onlinelibrary.wiley.com/ser/vol/linkout?suffix=null&dbid=16&doi=10.1002/ar.10185&key=10.1126/science.285.3430.1028>

24. <https://onlinelibrary.wiley.com/ser/vol/linkout?suffix=null&dbid=8&doi=10.1002/ar.10185&key=10446041>

25. <https://onlinelibrary.wiley.com/ser/vol/linkout?suffix=null&dbid=128&doi=10.1002/ar.10185&key=10.1109/>

Gunn CC, Ditchburn FG, King MH, Renwick GJ. 1976. Acupuncture loci: A proposal for their classification according to their relationship to known neural structures. *Am J Chin Med* 4: 183–195. [Crossref²⁶](#) [PubMed²⁷](#)

Ho MW, Knight DP. 1998. The acupuncture system and the liquid crystalline collagen fibers of the connective tissues. *Am J Chin Med* 26: 251–263. [Crossref²⁸](#) [PubMed²⁹](#) [Web of Science³⁰](#)

Huan ZY, Rose K. 2001. A brief history of Qi. Brookline, MA: Paradigm Publications.

Kaptchuk TJ. 2000. The web that has no weaver. Understanding Chinese medicine. Chicago: Contemporary Publishing Group, Inc.

Lai WM, Mow VC, Sun DD, Atesian GA. 2000. On the electric potentials inside a charged soft hydrated biological tissue: Streaming potential versus diffusion potential. *J Biomech Eng* 122: 336–346. [Crossref³¹](#) [PubMed³²](#) [Web of Science³³](#)

Langevin HM, Churchill DL, Cipolla MJ. 2001a. Mechanical signaling through connective tissue: A mechanism for the therapeutic effect of acupuncture. *FASEB J* 15: 2275–2282. [Wiley Online Library³⁴](#) [PubMed³⁵](#) [Web of Science³⁶](#)

Langevin HM, Churchill DL, Fox JR, Badger GJ, Garra BS, Krag MH. 2001b. Biomechanical response to acupuncture needling in humans. *J Appl Physiol* 91: 2471–2478. [Crossref³⁷](#) [PubMed³⁸](#) [Web of Science³⁹](#)

Langevin HM, Churchill DL, Wu J, Badger GJ, Yandow JA, Fox JR, Krag MH. 2002. Evidence of connective tissue involvement in acupuncture. *FASEB J* 16: 872–874. [Wiley Online Library⁴⁰](#) [PubMed⁴¹](#) [Web of Science⁴²](#)

Liu KY, Varela M, Oswald R. 1975. The correspondence between some motor points and acupuncture loci. *Am J Chin Med* 3: 347–358. [Crossref⁴³](#) [PubMed⁴⁴](#)

Matsumoto K, Birch S. 1988. Hara diagnosis: Reflections of the sea. Brookline: Paradigm Publications.

McCarroll GD, Rowley BA. 1979. An investigation of the existence of electrically located acupuncture points. *IEEE Trans Biomed Eng* 26: 177–182. [Crossref⁴⁵](#) [PubMed⁴⁶](#) [Web of Science⁴⁷](#)

Noordegraaf A, Silage D. 1973. Electroacupuncture. *IEEE Trans Biomed Eng* 20: 364–366. [Crossref⁴⁸](#) [PubMed⁴⁹](#) [Web of Science⁵⁰](#)

ar.10185&key=000082033100034

26. <https://onlinelibrary.wiley.com/ser/vol/linkout?suffix=null&dbid=16&doi=10.1002/ar.10185&key=10.1142/S0192415X75000238>

27. <https://onlinelibrary.wiley.com/ser/vol/linkout?suffix=null&dbid=8&doi=10.1002/ar.10185&key=937240>

28. <https://onlinelibrary.wiley.com/ser/vol/linkout?suffix=null&dbid=16&doi=10.1002/ar.10185&key=10.1142/S0192415X98000294>

29. <https://onlinelibrary.wiley.com/ser/vol/linkout?suffix=null&dbid=8&doi=10.1002/ar.10185&key=9862013>

30. <https://onlinelibrary.wiley.com/ser/vol/linkout?suffix=null&dbid=128&doi=10.1002/ar.10185&key=000077302300001>

31. <https://onlinelibrary.wiley.com/ser/vol/linkout?suffix=null&dbid=16&doi=10.1002/ar.10185&key=10.1115/1.1286316>

32. <https://onlinelibrary.wiley.com/ser/vol/linkout?suffix=null&dbid=8&doi=10.1002/ar.10185&key=11036556>

33. <https://onlinelibrary.wiley.com/ser/vol/linkout?suffix=null&dbid=128&doi=10.1002/ar.10185&key=00016711100006>

34. <https://onlinelibrary.wiley.com/doi/10.1096/fj.01-0015hyp>

35. <https://onlinelibrary.wiley.com/ser/vol/linkout?suffix=null&dbid=8&doi=10.1002/ar.10185&key=11641255>

36. <https://onlinelibrary.wiley.com/ser/vol/linkout?suffix=null&dbid=128&doi=10.1002/ar.10185&key=000171920400040>

37. <https://onlinelibrary.wiley.com/ser/vol/linkout?suffix=null&dbid=16&doi=10.1002/ar.10185&key=10.1152/jappl.2001.91.6.2471>

38. <https://onlinelibrary.wiley.com/ser/vol/linkout?suffix=null&dbid=8&doi=10.1002/ar.10185&key=11717207>

39. <https://onlinelibrary.wiley.com/ser/vol/linkout?suffix=null&dbid=128&doi=10.1002/ar.10185&key=000172484200008>

40. <https://onlinelibrary.wiley.com/doi/10.1096/fj.01-0925fje>

41. <https://onlinelibrary.wiley.com/ser/vol/linkout?suffix=null&dbid=8&doi=10.1002/ar.10185&key=11967233>

42. <https://onlinelibrary.wiley.com/ser/vol/linkout?suffix=null&dbid=128&doi=10.1002/ar.10185&key=000175425900017>

43. <https://onlinelibrary.wiley.com/ser/vol/linkout?suffix=null&dbid=16&doi=10.1002/ar.10185&key=10.1142/S0192415X75000426>

44. <https://onlinelibrary.wiley.com/ser/vol/linkout?suffix=null&dbid=8&doi=10.1002/ar.10185&key=1202933>

45. <https://onlinelibrary.wiley.com/ser/vol/linkout?suffix=null&dbid=128&doi=10.1002/ar.10185&key=10.1109/TBME.1979.326392>

46. <https://onlinelibrary.wiley.com/ser/vol/linkout?suffix=null&dbid=8&doi=10.1002/ar.10185&key=521032>

47. <https://onlinelibrary.wiley.com/ser/vol/linkout?suffix=null&dbid=128&doi=10.1002/ar.10185&key=A1979GN7800013>

48. <https://onlinelibrary.wiley.com/ser/vol/linkout?suffix=null&dbid=16&doi=10.1002/ar.10185&key=10.1109/>

- NIH Consensus Statement. 1997. Acupuncture. Bethesda, MD: NIH. 15: 1–34.
- O'Connor J, Bensky D. 1981. Acupuncture, a comprehensive text (Shanghai College of Traditional Medicine) Seattle: Eastland Press.
- Oschman JL. 1993. A biophysical basis for acupuncture. Proceedings of the First Symposium of the Committee for Acupuncture Research.
- Pomeranz B. 2001. Acupuncture analgesia-basic research. In: G Stux, R Hammerschlag, editors. Clinical acupuncture-scientific basis. Berlin: Springer-Verlag.
- Rabichong P, Niboyet JEH, Terral C, Senelar R, Casez R. 1975. Bases experimentales de l'analgésie acupunctureale. *Nouv Presse Med* 4: 2021–2026. [PubMed⁵¹](#) [Web of Science⁵²](#)
- Reishmanis M, Marino AA, Becker RO. 1975. Electrical correlates of acupuncture points. *IEEE Trans Biomed Eng* 22: 533–535. [Crossref⁵³](#) [PubMed⁵⁴](#) [Web of Science⁵⁵](#)
- Senelar R. 1979. Les caractéristiques morphologiques des points chinois. In: JEH Niboyet, editor. *Nouveau traité d'acupuncture*. Paris: Maisonneuve.
- Shanghai Medical University, Human Anatomy Department. 1973. A relationship between points of meridians and peripheral nerves: Acupuncture anaesthetic theory study. Shanghai: People's Republic Publishing House.
- Swartz MA, Tschumperlin DJ, Kamm RD, Drazen JM. 2001. Mechanical stress is communicated between different cell types to elicit matrix remodeling. *Proc Natl Acad Sci USA* 98: 6180–6185. [Crossref⁵⁶](#) [PubMed⁵⁷](#) [Web of Science⁵⁸](#)
- Ulett GA, Han S, Han JS. 1998. Electroacupuncture: mechanisms and clinical applications. *Biol Psych* 44: 129–138. [PubMed⁵⁹](#) [Web of Science⁶⁰](#)
- Veith I. 1949. The yellow emperor's classic of internal medicine. Berkeley: University of California Press.
- Yang J. 1601. The golden needle and other odes of traditional acupuncture, 1601. Translated by R Bertschinger. Edinburgh: Churchill Livingstone.
- Quyen Manh Nguyen, Tuan Hoang Nguyen, Lam Van Tran, Tin Thanh Dang, Anh Dinh, Device to Detect Acupuncture Points in the Feet Soles for Massage Treatment, 8th International Conference on the Development of Biomedical Engineering in Vietnam, 10.1007/978-3-030-75506-5_1, (3-13), (2022). [Crossref⁶¹](#)
- Yung-Sheng Yen, Han-Yi Cheng, Hung-Ta Lin, Evaluation of Stress on Acupuncture with Nano-Etched and Diamond-Like Carbon (DLC) Coating Surface Modifications, *Journal of Biomaterials and Tissue Engineering*, 10.1166/jbt.2022.2928, 12, 3, (489-493), (2022). [Crossref⁶²](#)
- Gregory P. Casey, Anatomical characterization of acupoint large intestine 4, *The Anatomical Record*, 10.1002/ar.24681, 305, 1, (144-155), (2021). [Wiley Online Library⁶³](#)
- Ajit B. Pai, Lori V. Shuart, David F. Drake, Integrative Medicine in Rehabilitation, *Braddom's Physical Medicine and Rehabilitation*, 10.1016/B978-0-323-62539-5.00018-7, (364-373.e3), (2021). [Crossref⁶⁴](#)
- Tongju Li, Bruce Qing Tang, Wei-Bo Zhang, Minyi Zhao, Qingchuan Hu, Andrew Ahn, In Vivo Visualization of the Pericardium Meridian with Fluorescent Dyes, Evidence-Based Complementary and Alternative Medicine, 10.1155/2021/5581227, 2021, (1-10), (2021). [Crossref⁶⁵](#)
- Chao Sun, Changchun Ji, Ying Li, Juijie Kuang, Jiangtao Wu, A comparison study of photothermal effect between moxibustion therapy and laser irradiation on biological tissue, *International Journal of Thermal Sciences*, 10.1016/j.ijthermalsci.2021.106924, 164, (106924), (2021). [Crossref⁶⁶](#)
- Nikolay Dimitrov, Nikola Tomov, Dimitrinka Atanasova, Stilyan Iliev, Tatyana Tomova, Dimitar Sivrev, Zoya Goranova, Visible Meridian Phenomena after Acupuncture: A Series of Case Reports, *Journal of Acupuncture and Meridian Studies*, 10.51507/jams.2021.14.2.50, 14, 2, (50-57), (2021). [Crossref⁶⁷](#)
- Nasim Bahadorani, Jerry W. Lee, Leslie R. Martin, Implications of Tamarkoz on stress, emotion, spirituality and heart rate, *Scientific Reports*, 10.1038/s41598-021-93470-8, 11, 1, (2021). [Crossref⁶⁸](#)
- Maojun Li, Huawen Peng, Binxiu Wei, Qiuxia Deng, Fen Qian, Xin Liu, Jian Wang, *TBME*, 1973.324289
49. <https://onlinelibrary.wiley.com/serve/linkout?suffix=null&dbid=8&doi=10.1002/ar.10185&key=4727423>
50. <https://onlinelibrary.wiley.com/serve/linkout?suffix=null&dbid=128&doi=10.1002/ar.10185&key=A1973Q497200007>
51. <https://onlinelibrary.wiley.com/serve/linkout?suffix=null&dbid=8&doi=10.1002/ar.10185&key=1178444>
52. <https://onlinelibrary.wiley.com/serve/linkout?suffix=null&dbid=128&doi=10.1002/ar.10185&key=A1975AP43900003>
53. <https://onlinelibrary.wiley.com/serve/linkout?suffix=null&dbid=16&doi=10.1002/ar.10185&key=10.1109/TBME.1975.324477>
54. <https://onlinelibrary.wiley.com/serve/linkout?suffix=null&dbid=8&doi=10.1002/ar.10185&key=1184029>
55. <https://onlinelibrary.wiley.com/serve/linkout?suffix=null&dbid=128&doi=10.1002/ar.10185&key=A1975AI02000013>
56. <https://onlinelibrary.wiley.com/serve/linkout?suffix=null&dbid=16&doi=10.1002/ar.10185&key=10.1073/pnas.111133298>
57. <https://onlinelibrary.wiley.com/serve/linkout?suffix=null&dbid=8&doi=10.1002/ar.10185&key=11353845>
58. <https://onlinelibrary.wiley.com/serve/linkout?suffix=null&dbid=128&doi=10.1002/ar.10185&key=000168883700045>
59. <https://onlinelibrary.wiley.com/serve/linkout?suffix=null&dbid=8&doi=10.1002/ar.10185&key=9646895>
60. <https://onlinelibrary.wiley.com/serve/linkout?suffix=null&dbid=128&doi=10.1002/ar.10185&key=000074292400008>
61. https://doi.org/10.1007/978-3-030-75506-5_1
62. <https://doi.org/10.1166/jbt.2022.2928>
63. <https://onlinelibrary.wiley.com/doi/10.1002/ar.24681>
64. <https://doi.org/10.1016/B978-0-323-62539-5.00018-7>
65. <https://doi.org/10.1155/2021/5581227>
66. <https://doi.org/10.1016/j.ijthermalsci.2021.106924>
67. <https://doi.org/10.51507/jams.2021.14.2.50>
68. <https://doi.org/10.1038/s41598-021-93470-8>
- Xiaodong Zhu, Effect of acupuncture anesthesia based on nanomaterial sensor on cognitive function after one-lung ventilation thoracotomy, *Materials Express*, 10.1166/mex.2021.2027, 11, 7, (1051-1056), (2021). [Crossref⁶⁹](#)
- Jaliya Kumaratilake, Teghan Lucas, Maciej Henneberg, Possible relationship of upper limb arteries, median and brachial to the twelfth meridian of the human upper limb, *Journal of Anatomy*, 10.1111/joa.13401, 238, 6, (1492-1493), (2021). [Wiley Online Library⁷⁰](#)
- Yong Ming Li, Three hand yin meridians in ancient Chinese medicine were established initially based on arterial structures, *Journal of Anatomy*, 10.1111/joa.13400, 238, 6, (1494-1496), (2021). [Wiley Online Library⁷¹](#)
- Yi Zhang, Interpretation of acupoint location in traditional Chinese medicine teaching: Implications for acupuncture in research and clinical practice, *The Anatomical Record*, 10.1002/ar.24618, 304, 11, (2372-2380), (2021). [Wiley Online Library⁷²](#)
- Sanghun Lee, Prospects for the Development of Acupuncture Treatment Led by the Use of Ultrasound Imaging Devices, *Journal of Korean Medical Society of Soft Tissue*, 10.54461/JKMST.2021.5.1.8, 5, 1, (8-11), (2021). [Crossref⁷³](#)
- Xiao Ye, Yu-lan Ren, Yun-hui Chen, Ji Chen, Xiao-jiao Tang, Zong-ming Zhang, A “4D” systemic view on meridian essence: Substantial, functional, chronological and cultural attributes, *Journal of Integrative Medicine*, 10.1016/j.joim.2021.11.006, (2021). [Crossref⁷⁴](#)
- Berna Dincer, Demet İnangil, Gökhan İnangil, Nefise Bahçecik, Elif Yıldırım Ayaz, Ali Arslanoğlu, Miraç Vural Keskinler, Ayşe Kabuk, Gamze Özkan, The effect of acupuncture on sleep quality of older people: A systematic review and meta-analysis of randomized controlled trials, *EXPLORE*, 10.1016/j.explore.2021.11.010, (2021). [Crossref⁷⁵](#)
- Marianna de Melo Salemi, Vanessa Maria da Silva Alves Gomes, Laylla Marjorye Reboças Bezerra, Thania Maion de Souza Melo, Geisa Guimarães de Alencar, Iracema Hermes Pires de Melo Montenegro, Alessandra Paula de Melo Calado, Eduardo José Nepomuceno Montenegro, Gisela Rocha de Siqueira, Effect of Dry Cupping Therapy on Pain and Functional Disability in Persistent Non-Specific Low Back Pain: A Randomized Controlled Clinical Trial, *Journal of Acupuncture and Meridian Studies*, 10.51507/jams.2021.14.6.219, 14, 6, (219-230), (2021). [Crossref⁷⁶](#)
- Luis Carlos Matos, Jorge Pereira Machado, Fernando Jorge Monteiro, Henry Johannes Greten, Understanding Traditional Chinese Medicine Therapeutics: An Overview of the Basics and Clinical Applications, *Healthcare*, 10.3390/healthcare9030257, 9, 3, (257), (2021). [Crossref⁷⁷](#)
- Jingwen Cui, Wanrong Song, Yipeng Jin, Huihao Xu, Kai Fan, Degui Lin, Zhihui Hao, Jiahao Lin, Research Progress on the Mechanism of the Acupuncture Regulating Neuro-Endocrine-Immune Network System, *Veterinary Sciences*, 10.3390/vetsci8080149, 8, 8, (149), (2021). [Crossref⁷⁸](#)
- İñigo Ongay de Felipe, The Universality of Science and Traditional Chinese Medicine, *Science & Education*, 10.1007/s11191-021-00249-4, (2021). [Crossref⁷⁹](#)
- Ningcen Li, Yi Guo, Yinan Gong, Yue Zhang, Wen Fan, Kaifang Yao, Zhihan Chen, Baomin Dou, Xiaowei Lin, Bo Chen, Zelin Chen, Zhifang Xu, Zhongxi Lyu, The Anti-Inflammatory Actions and Mechanisms of Acupuncture from Acupoint to Target Organs via Neuro-Immune Regulation, *Journal of Inflammation Research*, 10.2147/JIR.S341581, Volume 14, (7191-7224), (2021). [Crossref⁸⁰](#)
- 馮云 馮, Bridging Medicine East and West—Pursuit on the Relation between Biomedical Consequence of Stimulating the Acupoints of the Lung Meridian and Somatosensory Reflexes, Aiming to Treat Chronic Obstruction Pulmonary Diseases, *Traditional Chinese Medicine*, 10.12677/TCM.2020.92022, 09, 02, (145-176), (2020). [Crossref⁸¹](#)
- Manon te Dorsthorst, Michael van Balken, John Heesakkers, Tibial nerve stimulation in the treatment of overactive bladder syndrome, *Current Opinion in Urology*, 10.1097/MOU.0000000000000781, 30, 4, (513-518), (2020). [Crossref⁸²](#)
- Peter I-Kung Wu, Lucy Chen, Integrative Medicine, *Spine Pain Care*, 10.1007/978-3-030-27447-4, (473-489), (2020). [Crossref⁸³](#)
- I. Giralt Sampedro, G. Carvajal, A. Garcia-Janeras, A. Fabà, M.B. Nishishinya Aquino, A severe case of Ramsay Hunt Syndrome treated with acupuncture and related techniques, *Complementary Therapies in Clinical Practice*, 10.1016/j.ctcp.2020.101119, (101119), (2020). [Crossref⁸⁴](#)
- Eric Leskowitz, A Cartography of Energy Medicine: From Subtle Anatomy to Energy Physiology, *EXPLORE*, 10.1016/j.explore.2020.09.008, (2020). [Crossref⁸⁵](#)
- Hantong Hu, Yongliang Jiang, Xiaoyu Li, Jiali Lou, Yajun Zhang, Xiaofen He, Junfan Fang, Yuanyuan Wu, Xiaomei Shao, Jianqiao Fang, The microcirculatory characteristics of the heart and lung meridians, *Medicine*, 10.1097/MD.00000000000019594, 99, 14, (e19594), (2020). [Crossref⁸⁶](#)
- Sheikh Faruque Elahee Bangladesh, Hui-juan Mao, Ling Zhao, Xue-yong Shen, Meridian
69. <https://doi.org/10.1166/mex.2021.2027>
70. <https://onlinelibrary.wiley.com/doi/10.1111/joa.13401>
71. <https://onlinelibrary.wiley.com/doi/10.1111/joa.13400>
72. <https://onlinelibrary.wiley.com/doi/10.1002/ar.24618>
73. <https://doi.org/10.54461/JKMST.2021.5.1.8>
74. <https://doi.org/10.1016/j.joim.2021.11.006>
75. <https://doi.org/10.1016/j.explore.2021.11.010>
76. <https://doi.org/10.51507/jams.2021.14.6.219>
77. <https://doi.org/10.3390/healthcare9030257>
78. <https://doi.org/10.3390/vetsci8080149>
79. <https://doi.org/10.1007/s11191-021-00249-4>
80. <https://doi.org/10.2147/JIR.S341581>
81. <https://doi.org/10.12677/TCM.2020.92022>
82. <https://doi.org/10.1097/MOU.0000000000000781>
83. <https://doi.org/10.1007/978-3-030-27447-4>
84. <https://doi.org/10.1016/j.ctcp.2020.101119>
85. <https://doi.org/10.1016/j.explore.2020.09.008>
86. <https://doi.org/10.1097/MD.00000000000019594>

- system and mechanism of acupuncture action: A scientific evaluation 经络系统与针刺效应机制的科学评价, *World Journal of Acupuncture - Moxibustion*, 10.1016/j.wjam.2020.05.003, (2020). [Crossref⁸⁷](#)
- Mário Gonçalves, Luís Carlos Matos, Leonel Duarte, Jorge Machado, Henry Johannes Greten, Giovanna Franconi, PROBLEMS OF SCIENTIFIC METHODOLOGY RELATED TO PLACEBO CONTROL IN QIGONG STUDIES: A SYSTEMATIC REVIEW, *Journal of Bodywork and Movement Therapies*, 10.1016/j.jbmt.2020.06.035, (2020). [Crossref⁸⁸](#)
- Hans-Udo Richarz, Uwe Schütz, Werner Klingler, Das fasziale Bindegewebe – ein Medium für die Akupunktur? The fascial connective tissue—a medium for acupuncture?, *Deutsche Zeitschrift für Akupunktur*, 10.1007/s42212-019-00228-5, (2020). [Crossref⁸⁹](#)
- Shi Yonghong, Wu Ruizhi, Zhang Yue, Bai Xuebing, Imran Tarique, Liang Chunhua, Yang Ping, Chen Qusheng, Telocytes in Different Organs of Vertebrates: Potential Essence Cells of the Meridian in Chinese Traditional Medicine, *Microscopy and Microanalysis*, 10.1017/S1431927620001518, (1-14), (2020). [Crossref⁹⁰](#)
- Jinglan Mu, Andrea D Furlan, Wai Yee Lam, Marcos Y Hsu, Zhipeng Ning, Lixing Lao, Acupuncture for chronic nonspecific low back pain, *Cochrane Database of Systematic Reviews*, 10.1002/14651858.CD013814, (2020). [Crossref⁹¹](#)
- Kimia Grace Ganjaei, Jeremiah W. Ray, Brandee Waite, Kevin J. Burnham, The Fascial System in Musculoskeletal Function and Myofascial Pain, *Current Physical Medicine and Rehabilitation Reports*, 10.1007/s40141-020-00302-3, (2020). [Crossref⁹²](#)
- Christina L. Ross, Energy Medicine: Current Status and Future Perspectives, *Global Advances in Health and Medicine*, 10.1177/2164956119831221, 8, (216495611983122), (2019). [Crossref⁹³](#)
- Phil Trabulsy, COMPLEMENTARY AND ALTERNATIVE MEDICINE, *Cancer*, 10.1002/9781119645214, (499-530), (2019). [Wiley Online Library⁹⁴](#)
- Younyoung Chae, Yeonhee Ryu, Won-Mo Jung, An Analysis of Indications of Meridians in DongUiBoGam Using Data Mining, *Korean Journal of Acupuncture*, 10.14406/ku.2019.034, 36, 4, (292-299), (2019). [Crossref⁹⁵](#)
- Wei-bo ZHANG, Xiao-jing SONG, Ze WANG, Guang-jun WANG, Shu-yong JIA, Yu-ying TIAN, Hong-yan LI, Longitudinal Directional Movement of Alcian Blue in Gephyrocharax Melanocheir Fish: Revealing Interstitial Flow and Related Structure ☆ 阿尔新蓝在黑裙鱼中的纵向定向运动:组织液流动与相关结构的揭示, *World Journal of Acupuncture - Moxibustion*, 10.1016/j.wjam.2019.05.008, (2019). [Crossref⁹⁶](#)
- Nicholas Alexander Wise, Action at a distance: laser acupuncture and the brain, *Photobiomodulation in the Brain*, 10.1016/B978-0-12-815305-5.00036-1, (489-501), (2019). [Crossref⁹⁷](#)
- Liangjun Xia, Qingyu Meng, Jin Xi, Qin Han, Jie Cheng, Jie Shen, Youbing Xia, Liyun Shi, The synergistic effect of electroacupuncture and bone mesenchymal stem cell transplantation on repairing thin endometrial injury in rats, *Stem Cell Research & Therapy*, 10.1186/s13287-019-1326-6, 10, 1, (2019). [Crossref⁹⁸](#)
- Dha-Hyun Choi, Younyoung Chae, Minimisation of variations in locating an acupuncture point using a laser-device, *Integrative Medicine Research*, 10.1016/j.imr.2019.11.005, (2019). [Crossref⁹⁹](#)
- Doohan Oh, Jong-hyun Kim, Youn-Sub Kim, Song-Yi Kim, Analysis of Tonification and Sedation Methods in the 『Yeongsochimgugyeong』, *Korean Journal of Acupuncture*, 10.14406/ku.2019.021, 36, 3, (171-180), (2019). [Crossref¹⁰⁰](#)
- Aleksandar Zivaljevic, Bin Shi, ElisaM S. Tam, Vahideh Toossi, Treatment of visceral pain associated with irritable bowel syndrome using acupuncture: Mechanism of action, *World Journal of Traditional Chinese Medicine*, 10.4103/wjtc.wjtc_24_19, 5, 4, (181), (2019). [Crossref¹⁰¹](#)
- Suchan Chang, O. Sang Kwon, Se Kyun Bang, Do-Hee Kim, Min Won Baek, Yeonhee Ryu, Jong Han Bae, Yu Fan, Soo Min Lee, Hyung Kyu Kim, Bong Hyo Lee, Chae Ha Yang, Hee Young Kim, Peripheral Sensory Nerve Tissue but Not Connective Tissue Is Involved in the Action of Acupuncture, *Frontiers in Neuroscience*, 10.3389/fnins.2019.00110, 13, (2019). [Crossref¹⁰²](#)
- Junaid Wazir, Rahat Ullah, Shihong Li, Md Amir Hossain, Maladho Tanta Diallo, Farhan Ullah Khan, Awais Ullah Ihsan, Xiaohui Zhou, Efficacy of acupuncture in the treatment of chronic prostatitis-chronic pelvic pain syndrome: a review of the literature, *International Urology and Nephrology*, 10.1007/s11255-019-02267-2, (2019). [Crossref¹⁰³](#)
- Noa Schwartz, Madhavi Latha S. Chalasani, Thomas M. Li, Zhonghui Feng, William D. Shipman, Theresa T. Lu, Lymphatic Function in Autoimmune Diseases, *Frontiers in Immunology*, 10.3389/fimmu.2019.00519, 10, (2019). [Crossref¹⁰⁴](#)
- Sarah Ely, Panos Barlas, Transcutaneous electrical acupoint stimulation for people with chronic musculoskeletal pain: an exploratory review, *Physical Therapy Reviews*, 10.1080/10833196.2019.1648728, (1-12), (2019). [Crossref¹⁰⁵](#)
- Koh-Woon Kim, Sanhwa Hong, Hong Soo Kim, Taehun Kim, Jaeha Ahn, Hyun-Seo Song, Yu-Kang Kim, Ju-Young Oh, Tae-Yeon Hwang, Hyangsook Lee, Su-Il In, Hi-Joon Park, Physiological impact of nanoporous acupuncture needles: Laser Doppler perfusion imaging in healthy volunteers, *PLOS ONE*, 10.1371/journal.pone.0226304, 14, 12, (e0226304), (2019). [Crossref¹⁰⁶](#)
- Chang-zhen Gong, Wei Liu, Convergence of Medicines: West Meets East in Newly-Discovered Organs and Functions, *Chinese Journal of Integrative Medicine*, 10.1007/s11655-018-2570-9, 25, 5, (323-326), (2018). [Crossref¹⁰⁷](#)
- Jeanne Adiwinata Pawitan, Various stem cells in acupuncture meridians and points and their putative roles, *Journal of Traditional and Complementary Medicine*, 10.1016/j.jtcm.2017.08.004, (2018). [Crossref¹⁰⁸](#)
- Chungda Lee, How can mindfulness-led breathing of qigong/Tai Chi work on qi and the meridian network?, *Advances in Integrative Medicine*, 10.1016/j.aimed.2018.07.002, 5, 3, (122-127), (2018). [Crossref¹⁰⁹](#)
- Patrick Roynard, Lauren Frank, Huisheng Xie, Margaret Fowler, Acupuncture for Small Animal Neurologic Disorders, *Veterinary Clinics of North America: Small Animal Practice*, 10.1016/j.cvsm.2017.08.003, 48, 1, (201-219), (2018). [Crossref¹¹⁰](#)
- Meng Huang, Xuezhi Wang, Beibei Xing, Hongwei Yang, Zheyang Sa, Di Zhang, Wei Yao, Na Yin, Ying Xia, Guanghong Ding, Critical roles of TRPV2 channels, histamine H1 and adenosine A1 receptors in the initiation of acupoint signals for acupuncture analgesia, *Scientific Reports*, 10.1038/s41598-018-24654-y, 8, 1, (2018). [Crossref¹¹¹](#)
- Ruiling Liang, Peishuang Li, Xuemei Peng, Ling Xu, Pei Fan, Jiahua Peng, Xu Zhou, Chunlin Xiao, Miao Jiang, Efficacy of acupuncture on pelvic pain in patients with endometriosis: study protocol for a randomized, single-blind, multi-center, placebo-controlled trial, *Trials*, 10.1186/s13063-018-2684-6, 19, 1, (2018). [Crossref¹¹²](#)
- Wei-bo Zhang, De-xian Jia, Hong-yan Li, Yu-long Wei, Huang Yan, Peng-na Zhao, Fei-fei Gu, Guang-jun Wang, Yan-ping Wang, Understanding Qi Running in the Meridians as Interstitial Fluid Flowing via Interstitial Space of Low Hydraulic Resistance, *Chinese Journal of Integrative Medicine*, 10.1007/s11655-017-2791-3, 24, 4, (304-307), (2018). [Crossref¹¹³](#)
- Conner E. Liddle, Richard E. Harris, Cellular Reorganization Plays a Vital Role in Acupuncture Analgesia, *Medical Acupuncture*, 10.1089/acu.2017.1258, 30, 1, (15-20), (2018). [Crossref¹¹⁴](#)
- 戴云 冯, Relationship among the Meridians, Sinew Channels and Integrative Five Fluid Circulation System, *Traditional Chinese Medicine*, 10.12677/TCM.2018.71013, 07, 01, (74-92), (2018). [Crossref¹¹⁵](#)
- David Feinstein, Energy Psychology: Efficacy, Speed, Mechanisms, *EXPLORE*, 10.1016/j.explore.2018.11.003, (2018). [Crossref¹¹⁶](#)
- Hiroie MOTOYAMA, Hirohisa ISOGAI, Yoshito MUKAINO, Relaxing Effect Achieved by Acupuncture Stimulation in Different Postures for University Students Living a Sedentary Lifestyle, *Sedentary Lifestyle を送る大学生を対象とした異なる姿勢への鍼刺激によるリラックス効果*, *Kampo Medicine*, 10.3937/kampomed.69.225, 69, 3, (225-238), (2018). [Crossref¹¹⁷](#)
- Alexander Waits, You-Ren Tang, Hao-Min Cheng, Chen-Jei Tai, Li-Yin Chien, Acupressure effect on sleep quality: A systematic review and meta-analysis, *Sleep Medicine Reviews*, 10.1016/j.smrv.2016.12.004, 37, (24-34), (2018). [Crossref¹¹⁸](#)
- Chenglin Liu, Qinghua Liu, Dongming Zhang, Wei Liu, Xiaohui Yan, Xinyi Zhang, Hiroyuki Oyanagi, Zhiyun Pan, Fengchun Hu, Shiqiang Wei, Insight into the biological effects of acupuncture points by X-ray absorption fine structure, *Analytical and Bioanalytical Chemistry*, 10.1007/s00216-018-1146-z, 410, 20, (4959-4965), (2018). [Crossref¹¹⁹](#)
- Eric Leskowitz, How Tapping into “Energy” Can Trigger a Paradigm Shift in Biomedicine, *The Journal of Alternative and Complementary Medicine*, 10.1089/acm.2018.0073, 24, 6, (525-527), (2018). [Crossref¹²⁰](#)
- Johannes Fleckenstein, Robert Schleip, Cornelia Sachs, Mark Driscoll, Susan Shockett, Thomas Findley, Werner Klingler, Faszienforschung: Quo vadis? Fascia research: Quo vadis?, *Deutsche Zeitschrift für Akupunktur*, 10.1007/s42212-018-0037-8, 61, 2, (69-74), (2018). [Crossref¹²¹](#)
- FA Phan, A Sreilestari, H Mihardja, MBH Marbun, Effects of acupuncture on uremic pruritus in patients undergoing hemodialysis, *Journal of Physics: Conference Series*, 10.1088/1742-6596/1073/6/062049, 1073, (062049), (2018). [Crossref¹²²](#)
- Kwang-Sup Soh, Sistema circulatorio de Bonghan como una extensión de los meridianos de acupuntura, *Revista Internacional de Acupuntura*, 10.1016/j.acu.2018.02.001, 12, 1, (15-28), (2018). [Crossref¹²³](#)
87. <https://doi.org/10.1016/j.wjam.2020.05.003>
88. <https://doi.org/10.1016/j.jbmt.2020.06.035>
89. <https://doi.org/10.1007/s42212-019-00228-5>
90. <https://doi.org/10.1017/S1431927620001518>
91. <https://doi.org/10.1002/14651858.CD013814>
92. <https://doi.org/10.1007/s40141-020-00302-3>
93. <https://doi.org/10.1177/2164956119831221>
94. <https://onlinelibrary.wiley.com/doi/10.1002/9781119645214>
95. <https://doi.org/10.14406/ku.2019.034>
96. <https://doi.org/10.1016/j.wjam.2019.05.008>
97. <https://doi.org/10.1016/B978-0-12-815305-5.00036-1>
98. <https://doi.org/10.1186/s13287-019-1326-6>
99. <https://doi.org/10.1016/j.imr.2019.11.005>
100. <https://doi.org/10.14406/ku.2019.021>
101. https://doi.org/10.4103/wjtc.wjtc_24_19
102. <https://doi.org/10.3389/fnins.2019.00110>
103. <https://doi.org/10.1007/s11255-019-02267-2>
104. <https://doi.org/10.3389/fimmu.2019.00519>
105. <https://doi.org/10.1080/10833196.2019.1648728>
106. <https://doi.org/10.1371/journal.pone.0226304>
107. <https://doi.org/10.1007/s11655-018-2570-9>
108. <https://doi.org/10.1016/j.jtcm.2017.08.004>
109. <https://doi.org/10.1016/j.aimed.2018.07.002>
110. <https://doi.org/10.1016/j.cvsm.2017.08.003>
111. <https://doi.org/10.1038/s41598-018-24654-y>
112. <https://doi.org/10.1186/s13063-018-2684-6>
113. <https://doi.org/10.1007/s11655-017-2791-3>
114. <https://doi.org/10.1089/acu.2017.1258>
115. <https://doi.org/10.12677/TCM.2018.71013>
116. <https://doi.org/10.1016/j.explore.2018.11.003>
117. <https://doi.org/10.3937/kampomed.69.225>
118. <https://doi.org/10.1016/j.smrv.2016.12.004>
119. <https://doi.org/10.1007/s00216-018-1146-z>
120. <https://doi.org/10.1089/acm.2018.0073>
121. <https://doi.org/10.1007/s42212-018-0037-8>
122. <https://doi.org/10.1088/1742-6596/1073/6/062049>
123. <https://doi.org/10.1016/j.acu.2018.02.001>

- Helene M. Langevin, Peter M. Wayne, What Is the Point? The Problem with Acupuncture Research That No One Wants to Talk About, *The Journal of Alternative and Complementary Medicine*, 10.1089/acm.2017.0366, 24, 3, (200-207), (2018). [Crossref¹²⁴](#)
- Chun-Yi Lin, Tze-Taur Wei, Chen-Chen Wang, Wan-Chen Chen, Yu-Min Wang, Song-Yen Tsai, Acute Physiological and Psychological Effects of Qigong Exercise in Older Practitioners, Evidence-Based Complementary and Alternative Medicine, 10.1155/2018/4960978, 2018, (1-10), (2018). [Crossref¹²⁵](#)
- Kanae Umemoto, Toshiyuki Saito, Munekazu Naito, Shogo Hayashi, Tomiko Yakura, Hanno Steinke, Takashi Nakano, Anatomical Relationship between B123 and the Posterior Ramus of the L2 Spinal Nerve, *Acupuncture in Medicine*, 10.1136/acupmed-2015-010847, 34, 2, (95-100), (2018). [Crossref¹²⁶](#)
- Krista Lynne Paulson, Barbara L. Shay, Sympathetic Nervous System Responses to Acupuncture and Non-Penetrating Sham Acupuncture in Experimental Forearm Pain: A Single-Blind Randomised Descriptive Study, *Acupuncture in Medicine*, 10.1136/acupmed-2012-010223, 31, 2, (178-184), (2018). [Crossref¹²⁷](#)
- Marc Amand, Florence Nguyen-Huu, Costantino Balestra, Acupuncture Effect on Thermal Tolerance and Electrical Pain Threshold: A Randomised Controlled Trial, *Acupuncture in Medicine*, 10.1136/aim.2010.002485, 29, 1, (47-50), (2018). [Crossref¹²⁸](#)
- Michele Alem, Maria Salette Costa Gurgel, Acupuncture in the Rehabilitation of Women after Breast Cancer Surgery – a Case Series, *Acupuncture in Medicine*, 10.1136/aim.26.2.86, 26, 2, (86-93), (2018). [Crossref¹²⁹](#)
- Avijgan Majid, Rouh/Qi before and after production; basic concept of life, *International Journal of Complementary & Alternative Medicine*, 10.15406/ijcam.2018.11.00363, 11, 2, (2018). [Crossref¹³⁰](#)
- Tiaw-Kee Lim, Yan Ma, Frederic Berger, Gerhard Litscher, Acupuncture and Neural Mechanism in the Management of Low Back Pain—An Update, *Medicines*, 10.3390/medicines5030063, 5, 3, (63), (2018). [Crossref¹³¹](#)
- Anna Esparham, Anne Herbert, Emily Pierzchalski, Catherine Tran, Jennifer Dilts, Madeline Boorigie, Tammie Wingert, Mark Connelly, Jennifer Bickel, Pediatric Headache Clinic Model: Implementation of Integrative Therapies in Practice, *Children*, 10.3390/children5060074, 5, 6, (74), (2018). [Crossref¹³²](#)
- Elizabeth R. Magden, Chapter 13 Positive Reinforcement Training and Health Care, *Handbook of Primate Behavioral Management*, 10.1201/9781315120652, (201-216), (2017). [Crossref¹³³](#)
- Faria Sanjana, Hans Chaudhry, Thomas Findley, Effect of MELT method on thoracolumbar connective tissue: The full study, *Journal of Bodywork and Movement Therapies*, 10.1016/j.jbmt.2016.05.010, 21, 1, (179-185), (2017). [Crossref¹³⁴](#)
- Peter T. Dorsher, Neuroembryology of the Acupuncture Principal Meridians: Part 1. The Extremities, *Medical Acupuncture*, 10.1089/acu.2016.1210, 29, 1, (10-19), (2017). [Crossref¹³⁵](#)
- Jordi Gascon-Garcia, Caridad Bagur-Calafat, Montserrat Girabent-Farrés, Ramon Balius, Validation of the range of dry needling with the fascial winding technique in the carpal tunnel using ultrasound, *Journal of Bodywork and Movement Therapies*, 10.1016/j.jbmt.2017.10.013, (2017). [Crossref¹³⁶](#)
- Ana Paula A. Ferreira, Luciana C. Póvoa, José F.C. Zanier, Arthur S. Ferreira, Locating the Seventh Cervical Spinous Process: Accuracy of the Thorax-Rib Static Method and the Effects of Clinical Data on Its Performance, *Journal of Manipulative and Physiological Therapeutics*, 10.1016/j.jmpt.2016.10.011, 40, 2, (98-105), (2017). [Crossref¹³⁷](#)
- Arya Nielsen, Acupuncture for the Prevention of Tension-Type Headache (2016), *EXPLORE: The Journal of Science and Healing*, 10.1016/j.explore.2017.03.007, 13, 3, (228-231), (2017). [Crossref¹³⁸](#)
- Fan Wang, Guang-wei Cui, Le Kuai, Jian-min Xu, Ting-ting Zhang, Huai-jin Cheng, Hong-sheng Dong, Gui-rong Dong, Role of Acupoint Area Collagen Fibers in Anti-Inflammation of Acupuncture Lifting and Thrusting Manipulation, Evidence-Based Complementary and Alternative Medicine, 10.1155/2017/2813437, 2017, (1-8), (2017). [Crossref¹³⁹](#)
- Wei-Chia Chen, Hsiang-Ying Chen, Yu-Sheng Chen, Yong Tian, Lin I, Self-excited multi-scale skin vibrations probed by optical tracking micro-motions of tracers on arms, *Journal of Applied Physics*, 10.1063/1.4991499, 122, 2, (024701), (2017). [Crossref¹⁴⁰](#)
- Fletcher Kovich, A Curious Oversight in Acupuncture Research, *Journal of Acupuncture and Meridian Studies*, 10.1016/j.jams.2017.10.004, 10, 6, (411-415), (2017). [Crossref¹⁴¹](#)
- David F. Drake, Anne M. Hudak, William Robbins, Integrative Medicine in Traumatic Brain Injury, *Physical Medicine and Rehabilitation Clinics of North America*, 10.1016/j.pmr.2016.12.011, 28, 2, (363-378), (2017). [Crossref¹⁴²](#)
- Helene M. Langevin, Rosa N. Schnyer, Reconnecting the Body in Eastern and Western Medicine, *The Journal of Alternative and Complementary Medicine*, 10.1089/acm.2017.0028, 23, 4, (238-241), (2017). [Crossref¹⁴³](#)
- Salvador Quiroz-González, Sergio Torres-Castillo, Rosa Estela López-Gómez, Ismael Jiménez Estrada, Acupuncture Points and Their Relationship with Multireceptive Fields of Neurons, *Journal of Acupuncture and Meridian Studies*, 10.1016/j.jams.2017.01.006, 10, 2, (81-89), (2017). [Crossref¹⁴⁴](#)
- Sharon Jiyeon Jung, Haim Song, Yu Yeon Kim, Jungdae Kim, Sunghul Kim, Yoon-Kyu Song, Kwang-Sup Soh, Distribution of Mast Cells and Locations, Depths, and Sizes of the Putative Acupoints CV 8 and KI 16, Evidence-Based Complementary and Alternative Medicine, 10.1155/2017/2953278, 2017, (1-10), (2017). [Crossref¹⁴⁵](#)
- Benjamin CW. Chant, Jeanne Madison, Paul Coop, Gudrun Dieberg, Contact Tools in Japanese Acupuncture: An Ethnography of Acupuncture Practitioners in Japan, *Journal of Acupuncture and Meridian Studies*, 10.1016/j.jams.2017.08.006, 10, 5, (331-339), (2017). [Crossref¹⁴⁶](#)
- Hugh MacPherson, Andrew Vickers, Martin Bland, David Torgerson, Mark Corbett, Eldon Spackman, Pedro Saramago, Beth Woods, Helen Weatherly, Mark Sculpher, Andrea Manca, Stewart Richmond, Ann Hopton, Janet Eldred, Ian Watt, Acupuncture for chronic pain and depression in primary care: a programme of research, Programme Grants for Applied Research, 10.3310/pgfar05030, 5, 3, (1-316), (2017). [Crossref¹⁴⁷](#)
- Benjamin Kligler, Arya Nielsen, Corinne Kohrher, Tracy Schmid, Eve Waltermaurer, Elidania Perez, Woodson Merrell, Acupuncture Therapy in a Group Setting for Chronic Pain, *Pain Medicine*, 10.1093/pm/pnx134, (2017). [Crossref¹⁴⁸](#)
- Alexander Macdonald, Acupuncture Main Channels or Meridians: Visible Surfaces, *International Journal of Complementary & Alternative Medicine*, 10.15406/ijcam.2017.07.00233, 7, 4, (2017). [Crossref¹⁴⁹](#)
- Roshanak Ghods, Nasrin Sayfour, Mohammad Hossein Ayati, Anatomical Features of the Interscapular Area Where Wet Cupping Therapy Is Done and Its Possible Relation to Acupuncture Meridians, *Journal of Acupuncture and Meridian Studies*, 10.1016/j.jams.2016.06.004, 9, 6, (290-296), (2016). [Crossref¹⁵⁰](#)
- Laura Quiles, Electra Peluffo, Meridianos tendinomusculares (Jing Jin) y tejido fascial, comparativa anatómica y funcional, *Revista Internacional de Acupuntura*, 10.1016/j.iau.2016.01.002, 10, 1, (20-24), (2016). [Crossref¹⁵¹](#)
- Tian Tian, Yanhong Sun, Huang Wu, Jian Pei, Jing Zhang, Yi Zhang, Lu Wang, Bin Li, Lihua Wang, Jiye Shi, Jun Hu, Chunhai Fan, Acupuncture promotes mTOR-independent autophagic clearance of aggregation-prone proteins in mouse brain, *Scientific Reports*, 10.1038/srep19714, 6, 1, (2016). [Crossref¹⁵²](#)
- Eric Leskowitz, Integrative Medicine for PTSD and TBI: Two Innovative Approaches, *Medical Acupuncture*, 10.1089/acu.2016.1168, 28, 4, (181-183), (2016). [Crossref¹⁵³](#)
- Sarah le Jeune, Kimberly Henneman, Kevin May, Acupuncture and Equine Rehabilitation, *Veterinary Clinics of North America: Equine Practice*, 10.1016/j.cveq.2015.12.004, 32, 1, (73-85), (2016). [Crossref¹⁵⁴](#)
- Charlotte H. Y. Lau, Xinyin Wu, Vincent C. H. Chung, Xin Liu, Edwin P. Hui, Holger Cramer, Romy Lauche, Samuel Y. S. Wong, Alexander Y. L. Lau, Regina W. S. Sit, Eric T. C. Ziea, Bacon F. L. Ng, Justin C. Y. Wu, Acupuncture and Related Therapies for Symptom Management in Palliative Cancer Care, *Medicine*, 10.1097/MD.0000000000002901, 95, 9, (e2901), (2016). [Crossref¹⁵⁵](#)
- Li Chen, Hai-Xiang Sun, You-Bing Xia, Liu-Cai Sui, Ji Zhou, Xuan Huang, Jing-Wei Zhou, Yi-Dan Shao, Tao Shen, Qin Sun, Yuan-Jiao Liang, Bing Yao, Electroacupuncture decreases the progression of ovarian hyperstimulation syndrome in a rat model, *Reproductive BioMedicine Online*, 10.1016/j.rbmo.2016.02.006, 32, 5, (538-544), (2016). [Crossref¹⁵⁶](#)
- Suzanne B. Hanser, Suzanne B. Hanser, Holistic Healing, Integrative Health through Music Therapy, 10.1057/978-1-137-38477-5, (35-54), (2016). [Crossref¹⁵⁷](#)
- Laurent Misery, Acupuncture, Pruritus, 10.1007/978-3-319-33142-3, (437-441), (2016). [Crossref¹⁵⁸](#)
- Jing-Ke Guo, Ming-Ming Xu, Mei-Feng Zheng, Shu-Tao Liu, Jian-Wu Zhou, Li-Jing Ke, Tian-Bao Chen, Ping-Fan Rao, Topical Application of TAT-Superoxide Dismutase in Acupoints LI 20 on Allergic Rhinitis, Evidence-Based Complementary and Alternative Medicine, 10.1155/2016/3830273, 2016, (1-9), (2016). [Crossref¹⁵⁹](#)
- James L. Oschman, Acupuncture, Acupressure, Shiatsu, and Related Therapies, *Energy Medicine*, 10.1016/B978-0-443-06729-7.00014-4, (221-239), (2016). [Crossref¹⁶⁰](#)
- Motti Ratmansky, Adi Levy, Aviv Messinger, Alla Birg, Lilach Front, Iuly Treger, The Effects of Acupuncture on Cerebral Blood Flow in Post-Stroke Patients: A Randomized Controlled Trial, *The Journal of Alternative and Complementary Medicine*, 10.1089/143. [https://doi.org/10.1089/acm.2017.0028](#)
144. [https://doi.org/10.1016/j.jams.2017.01.006](#)
145. [https://doi.org/10.1155/2017/2953278](#)
146. [https://doi.org/10.1016/j.jams.2017.08.006](#)
147. [https://doi.org/10.3310/pgfar05030](#)
148. [https://doi.org/10.1093/pm/pnx134](#)
149. [https://doi.org/10.15406/ijcam.2017.07.00233](#)
150. [https://doi.org/10.1016/j.jams.2016.06.004](#)
151. [https://doi.org/10.1016/j.iau.2016.01.002](#)
152. [https://doi.org/10.1038/srep19714](#)
153. [https://doi.org/10.1089/acu.2016.1168](#)
154. [https://doi.org/10.1016/j.cveq.2015.12.004](#)
155. [https://doi.org/10.1097/MD.0000000000002901](#)
156. [https://doi.org/10.1016/j.rbmo.2016.02.006](#)
157. [https://doi.org/10.1057/978-1-137-38477-5](#)
158. [https://doi.org/10.1007/978-3-319-33142-3](#)
159. [https://doi.org/10.1155/2016/3830273](#)
160. [https://doi.org/10.1016/B978-0-443-06729-7.00014-4](#)

- acm.2015.0066, 22, 1, (33-37), (2016). [Crossref⁶¹](#)
- Marzio Vanzini, Michele Gallamini, Amblyopia: Can Laser Acupuncture be an Option?, *Journal of Acupuncture and Meridian Studies*, 10.1016/j.jams.2016.01.017, 9, 5, (267-274), (2016). [Crossref⁶²](#)
- Bo M. Rowan†, J. Bryan Dixon, Complementary Medicine Practices for Muscular Injuries of the Posterior Leg, *Muscular Injuries in the Posterior Leg*, 10.1007/978-1-4899-7651-2, (153-168), (2016). [Crossref⁶³](#)
- HyunSuk Jang, JooHwan Yoon, HyunJi Gil, Sharon Jyoon Jung, Min-Suk Kim, Jin-Kyu Lee, Young-Jae Kim, Kwang-Sup Soh, Observation of a Flowing Duct in the Abdominal Wall by Using Nanoparticles, *PLOS ONE*, 10.1371/journal.pone.0150423, 11, 3, (e0150423), (2016). [Crossref⁶⁴](#)
- Richard Cha, Detecting Intrinsic Movements through Needle Tips Pinned at Zusanli ST-36 Point - a New Method for Characterizing Structures for Acupuncture Treatments, *International Journal of Complementary & Alternative Medicine*, 10.15406/ijcam.2016.03.00100, 3, 6, (2016). [Crossref⁶⁵](#)
- Raphael J. Hochstrasser, P. Christian Endler, Sabine D. Klein, Perception of Therapeutic Qi, a Nonmechanical, Nonpsychological Factor in Acupuncture That Originates from the Therapist, *Journal of Acupuncture and Meridian Studies*, 10.1016/j.jams.2014.11.009, 8, 4, (203-208), (2015). [Crossref⁶⁶](#)
- Carla Stecco, Warren Hammer, Andry Vleeming, Raffaele De Caro, Fasciae of the Upper Limb, *Functional Atlas of the Human Fascial System*, 10.1016/B978-0-7020-4430-4.00007-5, (217-287), (2015). [Crossref⁶⁷](#)
- Shu-Ming Wang, Acupuncture as a Treatment for Substance Abuse in Pediatric Patients, *Substance Abuse*, 10.1007/978-1-4939-1951-2, (349-357), (2015). [Crossref⁶⁸](#)
- Mei-Ling Wu, Dong-Sheng Xu, Wan-Zhu Bai, Jing-Jing Cui, Hong-Ming Shu, Wei He, Xiaoyu Wang, Hong Shi, Yang-Shuai Su, Ling Hu, Bing Zhu, Xiang-Hong Jing, Local cutaneous nerve terminal and mast cell responses to manual acupuncture in acupoint LI4 area of the rats, *Journal of Chemical Neuroanatomy*, 10.1016/j.jchemneu.2015.06.002, 68, (14-21), (2015). [Crossref⁶⁹](#)
- Mark J. McDonald, Will the Primo Vascular System Finally Solve the Mystery of Acupuncture?, *Medical Acupuncture*, 10.1089/acu.2014.1075, 27, 1, (33-37), (2015). [Crossref⁷⁰](#)
- Wei-Bo Zhang, Guang-Jun Wang, Kjell Fuxe, Classic and Modern Meridian Studies: A Review of Low Hydraulic Resistance Channels along Meridians and Their Relevance for Therapeutic Effects in Traditional Chinese Medicine, *Evidence-Based Complementary and Alternative Medicine*, 10.1155/2015/410979, 2015, (1-14), (2015). [Crossref⁷¹](#)
- Xiaqiu Wu, Jin Peng, Guoqin Li, Wei Zhang, Guangxia Liu, Baoyan Liu, Efficacy evaluation of summer acupoint application treatment on asthma patients: a two-year follow-up clinical study, *Journal of Traditional Chinese Medicine*, 10.1016/S0254-6272(15)30004-2, 35, 1, (21-27), (2015). [Crossref⁷²](#)
- Won-Mo Jung, Taehyung Lee, In-Seon Lee, Sanghyun Kim, Hyunchul Jang, Song-Yi Kim, Hi-Joon Park, Younyoung Chae, Spatial Patterns of the Indications of Acupoints Using Data Mining in Classic Medical Text: A Possible Visualization of the Meridian System, *Evidence-Based Complementary and Alternative Medicine*, 10.1155/2015/457071, 2015, (1-7), (2015). [Crossref⁷³](#)
- Kwang-Sup Soh, Hypothesis on the Treatment of Gliomas with Acupuncture at the Primo Node Corresponding to Zusanli (ST 36), *Medical Acupuncture*, 10.1089/acu.2014.1089, 27, 3, (144-150), (2015). [Crossref⁷⁴](#)
- Marco Gemma, Elisa Nicelli, Luigi Gioia, Elena Moizo, Luigi Beretta, Maria Rosa Calvi, Acupuncture accelerates recovery after general anesthesia: a prospective randomized controlled trial, *Journal of Integrative Medicine*, 10.1016/S2095-4964(15)60159-5, 13, 2, (99-104), (2015). [Crossref⁷⁵](#)
- Michele Gallamini, Giovanni D'Angelo, Gabriele Belloni, Biolite: A Patented Ultra-Low-Level Laser-Therapy Device for Treating Musculoskeletal Pain and Associated Impairments, *Journal of Acupuncture and Meridian Studies*, 10.1016/j.jams.2015.02.001, 8, 4, (167-174), (2015). [Crossref⁷⁶](#)
- Poney Chiang, What is the Point of Acupuncture?, *Medical Acupuncture*, 10.1089/acu.2015.1093, 27, 2, (67-80), (2015). [Crossref⁷⁷](#)
- Richard F. Hobbs, Acupuncture—Biophysics or Metaphysics?, *Medical Acupuncture*, 10.1089/acu.2015.1097, 27, 2, (62-66), (2015). [Crossref⁷⁸](#)
- Ali Khorsand, Jiang Zhu, Hamidreza Bahrami-Taghanaki, Sara Baghani, Liangxiao Ma, Shima Rezaei, Investigation of the electrical impedance of acupuncture points and non-acupuncture points before and after acupuncture, using a four-electrode device, *Acupuncture in Medicine*, 10.1136/acupmed-2014-010697, 33, 3, (230-236), (2015). [Crossref⁷⁹](#)
- Fang Li, Tian He, Qian Xu, Li - Ting Lin, Hui Li, Yan Liu, Guang - Xia Shi, Cun - Zhi Liu, What is the Acupoint? A preliminary review of Acupoints, *Pain Medicine*, 10.1111/pme.12761, 16, 10, (1905-1915), (2015). [Wiley Online Library¹⁸⁰](#)
- Song-Yi Kim, Sang-Woo Kim, Hi-Joon Park, Different Responses to Acupuncture in Electroencephalogram according to Stress Level: A Randomized, Placebo-Controlled, Cross-Over Trial, *Korean Journal of Acupuncture*, 10.14406/acu.2014.022, 31, 3, (136-145), (2014). [Crossref⁸¹](#)
- Heming Zhu, Acupoints Initiate the Healing Process, *Medical Acupuncture*, 10.1089/acu.2014.1057, 26, 5, (264-270), (2014). [Crossref⁸²](#)
- G. Ding, Z. Wu, D. Zhang, Z. Sa, K. Cheng, Biophysical Bases of Acupuncture, *Comprehensive Biomedical Physics*, 10.1016/B978-0-444-53632-7.01018-2, (299-316), (2014). [Crossref⁸³](#)
- Yuan-yuan Lin, Yin-ping Wang, Hao-yang Lu, Xiu-cai Guo, Xia Liu, Chuan-bin Wu, Yue-hong Xu, Plasma pharmacokinetics and lung distribution of tetrahydropalmatine after topical application of cold asthma recipe extract: Feishu (BL 13) versus Non-Feishu acupoint, *Journal of Ethnopharmacology*, 10.1016/j.jep.2014.03.009, 153, 2, (454-460), (2014). [Crossref⁸⁴](#)
- Yiu Ming Wong, Electrical Property of Acupoints, *The Journal of Alternative and Complementary Medicine*, 10.1089/acm.2013.0169, 20, 2, (145-146), (2014). [Crossref⁸⁵](#)
- Nadia Elisabeth Haddad, Oxana Palesh, Acupuncture in the Treatment of Cancer-Related Psychological Symptoms, *Integrative Cancer Therapies*, 10.1177/1534735413520181, 13, 5, (371-385), (2014). [Crossref⁸⁶](#)
- Soo-Byeong Kim, Kyung-Yul Chung, Mi-Seon Jeon, Tae-Min Shin, Yong-Heum Lee, Body Composition Factor Comparisons of the Intracellular Fluid (ICW), Extracellular Fluid (ECW) and Cell Membrane at Acupuncture Points and Non-acupuncture Points by Inducing Multiple Ionic Changes, *Korean Journal of Acupuncture*, 10.14406/acu.2014.005, 31, 2, (66-78), (2014). [Crossref⁸⁷](#)
- Martha Liliána Beltrán Molano, Laura Bibiana Pinilla Bonilla, Eduardo Humberto Beltrán Dussan, Carlos Alberto Vásquez Londoño, Anatomical-Functional Correlation between Head Zones and Acupuncture Channels and Points: A Comparative Analysis from the Perspective of Neural Therapy, *Evidence-Based Complementary and Alternative Medicine*, 10.1155/2014/836392, 2014, (1-12), (2014). [Crossref⁸⁸](#)
- Evan H. Kwong, Thomas W. Findley, Fascia—Current knowledge and future directions in psychiatry: Narrative review, *Journal of Rehabilitation Research and Development*, 10.1682/JRRD.2013.10.0220, 51, 6, (875-884), (2014). [Crossref⁸⁹](#)
- Kwokming James Cheng, Neurobiological Mechanisms of Acupuncture for Some Common Illnesses: A Clinician's Perspective, *Journal of Acupuncture and Meridian Studies*, 10.1016/j.jams.2013.07.008, 7, 3, (105-114), (2014). [Crossref⁹⁰](#)
- Jing-Wen Yang, Qian-Qian Li, Fang Li, Qing-Nan Fu, Xiang-Hong Zeng, Cun-Zhi Liu, The Holistic Effects of Acupuncture Treatment, *Evidence-Based Complementary and Alternative Medicine*, 10.1155/2014/739708, 2014, (1-10), (2014). [Crossref⁹¹](#)
- Shu-Yih Wu, Wei-Hsin Chen, Ching-Liang Hsieh, Yi-Wen Lin, Abundant expression and functional participation of TRPV1 at Zusanli acupoint (ST36) in mice: mechanosensitive TRPV1 as an "acupuncture-responding channel", *BMC Complementary and Alternative Medicine*, 10.1186/1472-6882-14-96, 14, 1, (2014). [Crossref⁹²](#)
- Morry Silberstein, Is acupuncture "stimulation" a misnomer? A case for using the term "blockade", *BMC Complementary and Alternative Medicine*, 10.1186/1472-6882-13-68, 13, 1, (2013). [Crossref⁹³](#)
- In-Seon Lee, Soon-Ho Lee, Song-Yi Kim, Hyejung Lee, Hi-Joon Park, Younyoung Chae, Visualization of the Meridian System Based on Biomedical Information about Acupuncture Treatment, *Evidence-Based Complementary and Alternative Medicine*, 10.1155/2013/872142, 2013, (1-5), (2013). [Crossref⁹⁴](#)
- Helene M. Langevin, Part 1, Trigger Point Dry Needling, 10.1016/B978-0-7020-4601-8.10008-8, (29-33), (2013). [Crossref⁹⁵](#)
- Byung-Cheon Lee, Walter J. Akers, Xianghong Jing, M. Isabel Miguel Perez, Yeonhee Ryu, Primo Vascular System: Past, Present, and Future, *Evidence-Based Complementary and Alternative Medicine*, 10.1155/2013/240168, 2013, (1-2), (2013). [Crossref⁹⁶](#)
- Andrew Bannan, Acupuncture in physiotherapy, *Tidy's Physiotherapy*, 10.1016/B978-0-7020-4344-4.00018-3, (403-415), (2013). [Crossref⁹⁷](#)
- Im Quah-Smith, Caroline Smith, John D. Crawford, Janice Russell, Laser acupuncture for depression: A randomised double blind controlled trial using low intensity laser intervention, *Journal of Affective Disorders*, 10.1016/j.jad.2012.11.058, 148, 2-3, (179-187), (2013). [Crossref⁹⁸](#)
161. <https://doi.org/10.1089/acm.2015.0066>
162. <https://doi.org/10.1016/j.jams.2016.01.017>
163. <https://doi.org/10.1007/978-1-4899-7651-2>
164. <https://doi.org/10.1371/journal.pone.0150423>
165. <https://doi.org/10.15406/ijcam.2016.03.00100>
166. <https://doi.org/10.1016/j.jams.2014.11.009>
167. <https://doi.org/10.1016/B978-0-7020-4430-4.00007-5>
168. <https://doi.org/10.1007/978-1-4939-1951-2>
169. <https://doi.org/10.1016/j.jchemneu.2015.06.002>
170. <https://doi.org/10.1089/acu.2014.1075>
171. <https://doi.org/10.1155/2015/410979>
172. [https://doi.org/10.1016/S0254-6272\(15\)30004-2](https://doi.org/10.1016/S0254-6272(15)30004-2)
173. <https://doi.org/10.1155/2015/457071>
174. <https://doi.org/10.1089/acu.2014.1089>
175. [https://doi.org/10.1016/S2095-4964\(15\)60159-5](https://doi.org/10.1016/S2095-4964(15)60159-5)
176. <https://doi.org/10.1016/j.jams.2015.02.001>
177. <https://doi.org/10.1089/acu.2015.1093>
178. <https://doi.org/10.1089/acu.2015.1097>
179. <https://doi.org/10.1136/acupmed-2014-010697>
180. <https://onlinelibrary.wiley.com/doi/10.1111/pme.12761>
181. <https://doi.org/10.14406/acu.2014.022>
182. <https://doi.org/10.1089/acu.2014.1057>
183. <https://doi.org/10.1016/B978-0-444-53632-7.01018-2>
184. <https://doi.org/10.1016/j.jep.2014.03.009>
185. <https://doi.org/10.1089/acm.2013.0169>
186. <https://doi.org/10.1177/1534735413520181>
187. <https://doi.org/10.14406/acu.2014.005>
188. <https://doi.org/10.1155/2014/836392>
189. <https://doi.org/10.1682/JRRD.2013.10.0220>
190. <https://doi.org/10.1016/j.jams.2013.07.008>
191. <https://doi.org/10.1155/2014/739708>
192. <https://doi.org/10.1186/1472-6882-14-96>
193. <https://doi.org/10.1186/1472-6882-13-68>
194. <https://doi.org/10.1155/2013/872142>
195. <https://doi.org/10.1016/B978-0-7020-4601-8.10008-8>
196. <https://doi.org/10.1155/2013/240168>
197. <https://doi.org/10.1016/B978-0-7020-4344-4.00018-3>
198. <https://doi.org/10.1016/j.jad.2012.11.058>

- C. Will Chen, Chen-Jei Tai, Cheuk-Sing Choy, Chau-Yun Hsu, Shoei-Loong Lin, Wing P. Chan, Han-Sun Chiang, Chang-An Chen, Ting-Kai Leung, Wave-Induced Flow in Meridians Demonstrated Using Photoluminescent Bioceramic Material on Acupuncture Points, Evidence-Based Complementary and Alternative Medicine, 10.1155/2013/739293, 2013, (1-11), (2013). [Crossref¹⁹⁹](#)
- Raphael J. Hochstrasser, P. Christian Endler, Sabine D. Klein, Introduction of two novel devices for investigating the influence of non-mechanical components such as therapeutic qi in acupuncture, Journal of Integrative Medicine, 10.3736/jintegrmed2013030, 11, 3, (168-174), (2013). [Crossref²⁰⁰](#)
- W. Evan Rivers, Felise Zollman, Reliability of Surface Acupuncture Point Location, Medical Acupuncture, 10.1089/acu.2012.0929, 25, 2, (134-140), (2013). [Crossref²⁰¹](#)
- Stefano Marcelli, Gross Anatomy and Acupuncture: A Comparative Approach to Reappraise the Meridian System, Medical Acupuncture, 10.1089/acu.2012.0875, 25, 1, (5-22), (2013). [Crossref²⁰²](#)
- Jaung-Geng Lin, Pei-Chi Chou, Heng-Yi Chu, An Exploration of the Needling Depth in Acupuncture: The Safe Needling Depth and the Needling Depth of Clinical Efficacy, Evidence-Based Complementary and Alternative Medicine, 10.1155/2013/740508, 2013, (1-21), (2013). [Crossref²⁰³](#)
- DARCY A. UMPHRED, CAROL M. DAVIS, MARY LOU GALANTINO, Complementary and alternative therapies: beyond traditional approaches to intervention in neurological diseases and movement disorders, Neurological Rehabilitation, 10.1016/B978-0-323-07586-2.00048-0, (1173-1214), (2013). [Crossref²⁰⁴](#)
- Alessandra de Almeida Fagundes, Mariana César Ribeiro Reis, Maira Salles, Maria Graças Bastos Licuerci, Immediate Effects of Acupuncture for Managing Myofascial Trigger-Point Pain: A Pilot Study, Medical Acupuncture, 10.1089/acu.2012.0902, 25, 1, (55-60), (2013). [Crossref²⁰⁵](#)
- Yi Zhuang, Jing-jing Xing, Juan Li, Bai-Yun Zeng, Fan-rong Liang, History of Acupuncture Research, Neurobiology of Acupuncture, 10.1016/B978-0-12-411545-3.00001-8, (1-23), (2013). [Crossref²⁰⁶](#)
- Arya Nielsen, Ted J. Kaptchuk, Sha syndrome and Gua sha, cao gio, coining, scraping, Gua Sha, 10.1016/B978-0-7020-3108-3.00005-4, (39-44), (2013). [Crossref²⁰⁷](#)
- Arya Nielsen, Ted J. Kaptchuk, Physiology of Gua sha, Gua Sha, 10.1016/B978-0-7020-3108-3.00003-0, (21-30), (2013). [Crossref²⁰⁸](#)
- Shirley P.C. Ngai, Alice Y.M. Jones, Changes in Skin Impedance and Heart Rate Variability with Application of Acu-TENS to BL 13 (Feishu) , The Journal of Alternative and Complementary Medicine, 10.1089/acm.2012.0097, 19, 6, (558-563), (2013). [Crossref²⁰⁹](#)
- Isabelle Nègre, Méthodes non médicamenteuses : compréhension actuelle des mécanismes d'action, Douleurs : Evaluation - Diagnostic - Traitement, 10.1016/j.douleur.2013.01.007, 14, 3, (111-118), (2013). [Crossref²¹⁰](#)
- Guanghong Ding, Di Zhang, Meng Huang, Lina Wang, Wei Yao, Function of Collagen and Mast Cells in Acupuncture Points, Current Research in Acupuncture, 10.1007/978-1-4614-3357-6, (53-87), (2013). [Crossref²¹¹](#)
- Sung - Ho Lee, Geon - Ho Jahng, Il - Hwan Choe, Chi - Bong Choi, Dae - Hyun Kim, Hwi - Yool Kim, Neural Pathway Interference by Retained Acupuncture: A Functional MRI Study of a Dog Model of Parkinson's Disease, CNS Neuroscience & Therapeutics, 10.1111/cns.12108, 19, 8, (585-595), (2013). [Wiley Online Library²¹²](#)
- Hee Young Kim, Sung Tae Koo, Jae Hyo Kim, Kyungeh An, Kyungsoon Chung, Jin Mo Chung, Electroacupuncture analgesia in rat ankle sprain pain model: neural mechanisms, Neurological Research, 10.1179/016164109X12537002793689, 32, suppl, (10-17), (2013). [Crossref²¹³](#)
- ChangShik Yin, ByungKwan Seo, Hi-Joon Park, Miran Cho, WooSang Jung, Ryowon Choue, ChangHwan Kim, Hun-Kuk Park, Hyejung Lee, HyeongGyun Koh, Acupuncture, a promising adjunctive therapy for essential hypertension: a double-blind, randomized, controlled trial, Neurological Research, 10.1179/016164107X172220, 29, suppl, (98-103), (2013). [Crossref²¹⁴](#)
- Gary Deng, Barrie Cassileth, Complementary or alternative medicine in cancer care—myths and realities, Nature Reviews Clinical Oncology, 10.1038/nrclinonc.2013.125, 10, 11, (656-664), (2013). [Crossref²¹⁵](#)
- James L. Oschman, Fascia as a body-wide communication system, Fascia: The Tensional Network of the Human Body, 10.1016/B978-0-7020-3425-1.00049-0, (103-110), (2012). [Crossref²¹⁶](#)
- David Feinstein, Acupoint Stimulation in Treating Psychological Disorders: Evidence of Efficacy, Review of General Psychology, 10.1037/a0028602, 16, 4, (364-380), (2012). [Crossref²¹⁷](#)
- Jun J. Mao, Malini M. Khanna, Integrating Acupuncture with Western Medicine in Cancer Treatment, Acupuncture and Moxibustion as an Evidence-based Therapy for Cancer, 10.1007/978-94-007-4833-0_14, (313-328), (2012). [Crossref²¹⁸](#)
- Alex Benham, Mark I. Johnson, Characterization of Painful and Non-painful Acupuncture Needle Sensations During Bidirectional Rotation of a Single Needle Inserted 15–25 mm at Large Intestine 10, Medical Acupuncture, 10.1089/acu.2011.0861, 24, 3, (172-180), (2012). [Crossref²¹⁹](#)
- Li-Ling Lin, Ya-Hui Wang, Chi-Yu Lai, Chan-Lao Chau, Guan-Chin Su, Chun-Yi Yang, Shu-Ying Lou, Szu-Kai Chen, Kuan-Hao Hsu, Yen-Ling Lai, Wei-Ming Wu, Jian-Long Huang, Chih-Hsin Liao, Hsueh-Fen Juan, Systems Biology of Meridians, Acupoints, and Chinese Herbs in Disease, Evidence-Based Complementary and Alternative Medicine, 10.1155/2012/372670, 2012, (1-13), (2012). [Crossref²²⁰](#)
- Arya Nielsen, Gua sha, Fascia: The Tensional Network of the Human Body, 10.1016/B978-0-7020-3425-1.00009-X, (359-365), (2012). [Crossref²²¹](#)
- Hugh MacPherson, Richard Hammerschlag, Acupuncture and the Emerging Evidence Base: Contrived Controversy and Rational Debate, Journal of Acupuncture and Meridian Studies, 10.1016/j.jams.2012.05.001, 5, 4, (141-147), (2012). [Crossref²²²](#)
- Yejin Ha, Misun Kim, Jiseon Nah, Minah Suh, Youngmi Lee, Measurements of Location-Dependent Nitric Oxide Levels on Skin Surface in relation to Acupuncture Point, Evidence-Based Complementary and Alternative Medicine, 10.1155/2012/781460, 2012, (1-7), (2012). [Crossref²²³](#)
- Elisabeth Hsu, “Feeling lighter”: Why the patient's treatment evaluation matters to the health scientist, Integrative Medicine Research, 10.1016/j.imr.2012.10.003, 1, 1, (5-12), (2012). [Crossref²²⁴](#)
- Petra I. Bäumlner, Michael Simang, Sybille Kramer, Dominik Irnich, Acupuncture Point Localization Varies Among Acupuncturists, Forschende Komplementärmedizin / Research in Complementary Medicine, 10.1159/000335825, 19, 1, (31-37), (2012). [Crossref²²⁵](#)
- Belinda Anderson, Arya Nielsen, Diane McKee, Anne Jeffers, Ben Kligler, Acupuncture and Heart Rate Variability: A Systems Level Approach to Understanding Mechanism, EXPLORE: The Journal of Science and Healing, 10.1016/j.explore.2011.12.002, 8, 2, (99-106), (2012). [Crossref²²⁶](#)
- Xiaoyu Wang, Hong Shi, Hongyan Shang, Yangshuai Su, Juanjuan Xin, Wei He, Xianghong Jing, Bing Zhu, Are Primo Vessels (PVs) on the Surface of Gastrointestine Involved in Regulation of Gastric Motility Induced by Stimulating Acupoints ST36 or CV12?, Evidence-Based Complementary and Alternative Medicine, 10.1155/2012/787683, 2012, (1-8), (2012). [Crossref²²⁷](#)
- Dominik Irnich, Johannes Fleckenstein, Acupuncture as a fascia-oriented therapy, Fascia: The Tensional Network of the Human Body, 10.1016/B978-0-7020-3425-1.00010-6, (349-357), (2012). [Crossref²²⁸](#)
- Byung-Cheon Lee, Zhendong Su, Baeckkyoung Sung, Ki Woo Kim, Jin-Myung Cha, Jin-Kyu Lee, Byung-Joon Chang, Kwang-Sup Soh, Network of the Primo Vascular System in the Rat Hypodermis, The Primo Vascular System, 10.1007/978-1-4614-0601-3, (139-146), (2012). [Crossref²²⁹](#)
- Kyoungee Bae, Zhendong Su, Kwang-Sup Soh, Hee Min Kwon, Histological Comparison of Primo Nodes in Abdominal Membrane and Lymph Nodes of Rat, The Primo Vascular System, 10.1007/978-1-4614-0601-3, (127-131), (2012). [Crossref²³⁰](#)
- Yu Bai, Lin Yuan, Yong Huang, Chun-lei Wang, Jun Wang, Jin-peng Wu, Jing-xing Dai, Dong-fei Li, Chun Yang, Mei-chun Yu, Hui-ying Yang, Hui Tao, Ou Sha, David Tai Wai Yew, From the Anatomical Discovery of Meridians and Collaterals to Fasciology Theory, The Primo Vascular System, 10.1007/978-1-4614-0601-3, (305-318), (2012). [Crossref²³¹](#)
- Wei Yao, Yabei Li, Guanghong Ding, Interstitial Fluid Flow: The Mechanical Environment of Cells and Foundation of Meridians, Evidence-Based Complementary and Alternative Medicine, 10.1155/2012/853516, 2012, (1-9), (2012). [Crossref²³²](#)
- Jungdae Kim, Dae-In Kang, Kwang-Sup Soh, Sungchul Kim, Analysis on Postmortem Tissues at Acupuncture Points in the Image Datasets of Visible Human Project, The Journal of Alternative and Complementary Medicine, 10.1089/acm.2010.0850, 18, 2, (120-129), (2012). [Crossref²³³](#)
- Marcelo L Silva, Josie RT Silva, Wiliam A Prado, The antinociceptive effect of electroacupuncture at different depths of acupoints and under the needling surface, Chinese Medicine, 10.1186/1749-8546-7-3, 7, 1, (2012). [Crossref²³⁴](#)
- Hong-Qin Yang, Shu-Sen Xie, Song-Hao Liu, Hui Li, Zhou-Yi Guo, Differences in Optical Transport Properties between Human Meridian and Non-meridian, The American Journal of Chinese Medicine, 10.1142/S0192415X07005235, 35, 05, (743-752), (2012). [Crossref²³⁵](#)

199. <https://doi.org/10.1155/2013/739293>
 200. <https://doi.org/10.3736/jintegrmed2013030>
 201. <https://doi.org/10.1089/acu.2012.0929>
 202. <https://doi.org/10.1089/acu.2012.0875>
 203. <https://doi.org/10.1155/2013/740508>
 204. <https://doi.org/10.1016/B978-0-323-07586-2.00048-0>
 205. <https://doi.org/10.1089/acu.2012.0902>
 206. <https://doi.org/10.1016/B978-0-12-411545-3.00001-8>
 207. <https://doi.org/10.1016/B978-0-7020-3108-3.00005-4>
 208. <https://doi.org/10.1016/B978-0-7020-3108-3.00003-0>
 209. <https://doi.org/10.1089/acm.2012.0097>
 210. <https://doi.org/10.1016/j.douleur.2013.01.007>
 211. <https://doi.org/10.1007/978-1-4614-3357-6>
 212. <https://onlinelibrary.wiley.com/doi/10.1111/cns.12108>
 213. <https://doi.org/10.1179/016164109X12537002793689>
 214. <https://doi.org/10.1179/016164107X172220>
 215. <https://doi.org/10.1038/nrclinonc.2013.125>
 216. <https://doi.org/10.1016/B978-0-7020-3425-1.00049-0>

217. <https://doi.org/10.1037/a0028602>
 218. https://doi.org/10.1007/978-94-007-4833-0_14
 219. <https://doi.org/10.1089/acu.2011.0861>
 220. <https://doi.org/10.1155/2012/372670>
 221. <https://doi.org/10.1016/B978-0-7020-3425-1.00009-X>
 222. <https://doi.org/10.1016/j.jams.2012.05.001>
 223. <https://doi.org/10.1155/2012/781460>
 224. <https://doi.org/10.1016/j.imr.2012.10.003>
 225. <https://doi.org/10.1159/000335825>
 226. <https://doi.org/10.1016/j.explore.2011.12.002>
 227. <https://doi.org/10.1155/2012/787683>
 228. <https://doi.org/10.1016/B978-0-7020-3425-1.00010-6>
 229. <https://doi.org/10.1007/978-1-4614-0601-3>
 230. <https://doi.org/10.1007/978-1-4614-0601-3>
 231. <https://doi.org/10.1007/978-1-4614-0601-3>
 232. <https://doi.org/10.1155/2012/853516>
 233. <https://doi.org/10.1089/acm.2010.0850>
 234. <https://doi.org/10.1186/1749-8546-7-3>
 235. <https://doi.org/10.1142/S0192415X07005235>

- Kaung-Ti Yung, A Birdcage Model for the Chinese Meridian System Part VI: Meridians as the Primary Regulatory System, *The American Journal of Chinese Medicine*, 10.1142/S0192415X05003302, 33, 05, (759-766), (2012). [Crossref²³⁶](#)
- Letter to the Editor, *The American Journal of Chinese Medicine*, 10.1142/S0192415X05003119, 33, 03, (513-515), (2012). [Crossref²³⁷](#)
- A. Paraskeva, A. Melemini, G. Petropoulos, I. Sifaka, A. Fassoulaki, Needling of the Extra 1 Point Decreases BIS Values and Preoperative Anxiety, *The American Journal of Chinese Medicine*, 10.1142/S0192415X04002363, 32, 05, (789-794), (2012). [Crossref²³⁸](#)
- Francisco Abad-Alegria, Carlos Pomarón, About the Neurobiological Foundations of the De-Qi — Stimulus-Response Relation, *The American Journal of Chinese Medicine*, 10.1142/S0192415X04002375, 32, 05, (807-814), (2012). [Crossref²³⁹](#)
- Jesse Li-Ling, Human Phenome Based on Traditional Chinese Medicine — A Solution to Congenital Syndromology, *The American Journal of Chinese Medicine*, 10.1142/S0192415X03001594, 31, 06, (991-1000), (2012). [Crossref²⁴⁰](#)
- Lisa S. Lancaster, Robert M. Bowker, Acupuncture Points of the Horse's Distal Thoracic Limb: A Neuroanatomic Approach to the Transposition of Traditional Points, *Animals*, 10.3390/ani2030455, 2, 4, (455-471), (2012). [Crossref²⁴¹](#)
- Houju Fu, Yuanqiao He, Ying Gao, Yicun Man, Wukun Liu, Hua Hao, Acupuncture on the Endometrial Morphology, the Serum Estradiol and Progesterone Levels, and the Expression of Endometrial Leukaemia-inhibitor Factor and Osteopontin in Rats, Evidence-Based Complementary and Alternative Medicine, 10.1155/2011/606514, 2011, (1-9), (2011). [Crossref²⁴²](#)
- Steven Finando, Donna Finando, Fascia and the mechanism of acupuncture, *Journal of Bodywork and Movement Therapies*, 10.1016/j.jbmt.2010.03.001, 15, 2, (168-176), (2011). [Crossref²⁴³](#)
- Hyung-Joo Moon, Yong-Keun Lee, The Relationship Between Dental Occlusion/Temporomandibular Joint Status and General Body Health: Part 2. Fascial Connection of TMJ with Other Parts of the Body, *The Journal of Alternative and Complementary Medicine*, 10.1089/acm.2010.0740, 17, 12, (1119-1124), (2011). [Crossref²⁴⁴](#)
- Yu Bai, Jun Wang, Jin-peng Wu, Jing-xing Dai, Ou Sha, David Tai Wai Yew, Lin Yuan, Qini Liang, Review of Evidence Suggesting That the Fascia Network Could Be the Anatomical Basis for Acupoints and Meridians in the Human Body, Evidence-Based Complementary and Alternative Medicine, 10.1155/2011/260510, 2011, (1-6), (2011). [Crossref²⁴⁵](#)
- James L. Oschman, Foreword and Special Contribution: The Living Matrix, *Energy Medicine East and West*, 10.1016/B978-0-7020-3571-5.00032-9, (x-xix), (2011). [Crossref²⁴⁶](#)
- Therapie myofaszialer Schmerzsyndrome, Myofasziale Schmerzen und Triggerpunkte, 10.1016/B978-3-437-23095-0.10004-5, (51-91), (2011). [Crossref²⁴⁷](#)
- Xiangeng Zhang, Hui Zhang, Xiaoli Liang, Qin Liu, Miqu Wang, Gynecology and Gynecological Nursing Theories and Practices in Traditional Chinese Medicine: Review on the Ancient Literatures, *Chinese Medicine*, 10.4236/cm.2011.23014, 02, 03, (77-83), (2011). [Crossref²⁴⁸](#)
- Pei-Chi Chou, Heng-Yi Chu, Jaung-Geng Lin, Safe Needling Depth of Acupuncture Points, *The Journal of Alternative and Complementary Medicine*, 10.1089/acm.2010.0192, 17, 3, (199-206), (2011). [Crossref²⁴⁹](#)
- References and further reading, *Energy Medicine East and West*, 10.1016/B978-0-7020-3571-5.00037-8, (339-382), (2011). [Crossref²⁵⁰](#)
- Dongming Zhang, Xiaohui Yan, Xinyi Zhang, Chenglin Liu, Ruishan Dang, Tiqiao Xiao, Peiping Zhu, Synchrotron radiation phase-contrast X-ray CT imaging of acupuncture points, Analytical and Bioanalytical Chemistry, 10.1007/s00216-011-4913-7, 401, 3, (803-808), (2011). [Crossref²⁵¹](#)
- Stéphane J - P. Egot - Lemaire, Marvin C. Ziskin, Dielectric properties of human skin at an acupuncture point in the 50–75 GHz frequency range: A pilot study, *Bioelectromagnetics*, 10.1002/bem.20650, 32, 5, (360-366), (2011). [Wiley Online Library²⁵²](#)
- Chi Eung Danform Lim, Felix Wu Shun Wong, Warren Smith, Factors influencing the bioimpedance data in tissue segments along the three arm meridians: a pilot study, *TANG [HUMANITAS MEDICINE]*, 10.5667/tang.2011.0004, 1, 1, (7.1-7.9), (2011). [Crossref²⁵³](#)
- Luigi Baratto, Laura Calzà, Roberto Capra, Michele Gallamini, Luciana Giardino, Alessandro Giuliani, Luca Lorenzini, Silvano Traverso, Ultra-low-level laser therapy, *Lasers in Medical Science*, 10.1007/s10103-010-0837-2, 26, 1, (103-112), (2010). [Crossref²⁵⁴](#)
- Yavuz Beyazit, Murat Kekilli, Fatma Beyazit, Sticking the pieces together: A unifying hypothesis for the acupuncture meridian pathways and extracellular signalling, *Medical Hypotheses*, 10.1016/j.mehy.2010.01.022, 74, 6, (1088), (2010). [Crossref²⁵⁵](#)
236. <https://doi.org/10.1142/S0192415X05003302>
237. <https://doi.org/10.1142/S0192415X05003119>
238. <https://doi.org/10.1142/S0192415X04002363>
239. <https://doi.org/10.1142/S0192415X04002375>
240. <https://doi.org/10.1142/S0192415X03001594>
241. <https://doi.org/10.3390/ani2030455>
242. <https://doi.org/10.1155/2011/606514>
243. <https://doi.org/10.1016/j.jbmt.2010.03.001>
244. <https://doi.org/10.1089/acm.2010.0740>
245. <https://doi.org/10.1155/2011/260510>
246. <https://doi.org/10.1016/B978-0-7020-3571-5.00032-9>
247. <https://doi.org/10.1016/B978-3-437-23095-0.10004-5>
248. <https://doi.org/10.4236/cm.2011.23014>
249. <https://doi.org/10.1089/acm.2010.0192>
250. <https://doi.org/10.1016/B978-0-7020-3571-5.00037-8>
251. <https://doi.org/10.1007/s00216-011-4913-7>
252. <https://onlinelibrary.wiley.com/doi/10.1002/bem.20650>
253. <https://doi.org/10.5667/tang.2011.0004>
254. <https://doi.org/10.1007/s10103-010-0837-2>
255. <https://doi.org/10.1016/j.mehy.2010.01.022>
- Hugh Gemmell, Peter Miller, Relative effectiveness and adverse effects of cervical manipulation, mobilisation and the activator instrument in patients with sub-acute non-specific neck pain: results from a stopped randomised trial, *Chiropractic & Osteopathy*, 10.1186/1746-1340-18-20, 18, 1, (2010). [Crossref²⁵⁶](#)
- Peter T. Dorsher, Clinical Equivalence of Laser Needle to Metal Acupuncture Needle in Treating Musculoskeletal Pain: A Pilot Study, *Medical Acupuncture*, 10.1089/acu.2009.0724, 22, 1, (11-17), (2010). [Crossref²⁵⁷](#)
- Marco Antonio Helio da Silva, A Neurosegmental Perspective of the Classical Back Shu Points, *Medical Acupuncture*, 10.1089/acu.2010.0762, 22, 4, (257-264), (2010). [Crossref²⁵⁸](#)
- Laurent Misery, Laurence Potin-Richard, Itch and Acupuncture, *Pruritus*, 10.1007/978-1-84882-322-8, (335-338), (2010). [Crossref²⁵⁹](#)
- Guang Ying Huang, Cui Hong Zheng, Yun Xia Wu, Wei Wang, Involvement of connexin 43 in the acupuncture effect of improving rat blastocyst implantation, Fertility and Sterility, 10.1016/j.fertnstert.2009.09.036, 93, 5, (1715-1717), (2010). [Crossref²⁶⁰](#)
- Felix Wu Shun Wong, Chi Eung Danform Lim, Warren Smith, A New Bioimpedance Research Device (BIRD) for Measuring the Electrical Impedance of Acupuncture Meridians, *The Journal of Alternative and Complementary Medicine*, 10.1089/acm.2009.0218, 16, 3, (257-264), (2010). [Crossref²⁶¹](#)
- Jennifer A. M. Stone, Peter A. S. Johnstone, Mechanisms of Action for Acupuncture in the Oncology Setting, Current Treatment Options in Oncology, 10.1007/s11864-010-0128-y, 11, 3-4, (118-127), (2010). [Crossref²⁶²](#)
- Yu Bai, Lin Yuan, Kwang-Sup Soh, Byung-Cheon Lee, Yong Huang, Chun-lei Wang, Jun Wang, Jin-peng Wu, Jing-xing Dai, Janos Palhalmi, Ou Sha, David Tai Wai Yew, Possible Applications for Fascial Anatomy and Fasciology in Traditional Chinese Medicine, *Journal of Acupuncture and Meridian Studies*, 10.1016/S2005-2901(10)60023-4, 3, 2, (125-132), (2010). [Crossref²⁶³](#)
- Peter T. Dorsher, The Languages of Healing: Linked by a Common Thread, *The Journal of Alternative and Complementary Medicine*, 10.1089/acm.2009.0527, 16, 8, (907-913), (2010). [Crossref²⁶⁴](#)
- Fei Zhou, Dengkai Huang YingXia, Neuroanatomic Basis of Acupuncture Points, Acupuncture Therapy for Neurological Diseases, 10.1007/978-3-642-10857-0, (32-80), (2010). [Crossref²⁶⁵](#)
- Roeland van Wijk, Jan van der Greef, Eduard van Wijk, Human Ultraweak Photon Emission and the Yin Yang Concept of Chinese Medicine, *Journal of Acupuncture and Meridian Studies*, 10.1016/S2005-2901(10)60041-6, 3, 4, (221-231), (2010). [Crossref²⁶⁶](#)
- Pierre Boutouyrie, Robert Corvisier, Kim-Than Ong, Claire Vulser, Catherine Lassalle, Michel Azizi, Brigitte Laloux, Stéphane Laurent, Acute and chronic effects of acupuncture on radial artery: A randomized double blind study in migraine, *Artery Research*, 10.1016/j.artres.2009.12.003, 4, 1, (7-14), (2010). [Crossref²⁶⁷](#)
- Jun J. Mao, Rahul Kapur, Acupuncture in Primary Care, *Primary Care: Clinics in Office Practice*, 10.1016/j.pop.2009.09.010, 37, 1, (105-117), (2010). [Crossref²⁶⁸](#)
- Andrew C. Ahn, Min Park, Jessica R. Shaw, Claire A. McManus, Ted J. Kaptchuk, Helene M. Langevin, Electrical Impedance of Acupuncture Meridians: The Relevance of Subcutaneous Collagenous Bands, *PLoS ONE*, 10.1371/journal.pone.0011907, 5, 7, (e11907), (2010). [Crossref²⁶⁹](#)
- Kang Cheng, Chang Hua Zou, Information Models of Acupuncture Analgesia and Meridian Channels, *Information*, 10.3390/info1020153, 1, 2, (153-168), (2010). [Crossref²⁷⁰](#)
- Peter T. Dorsher, Myofascial Meridians as Anatomical Evidence of Acupuncture Channels, *Medical Acupuncture*, 10.1089/acu.2009.0631, 21, 2, (91-97), (2009). [Crossref²⁷¹](#)
- Kwang-Sup Soh, Bonghan Circulatory System as an Extension of Acupuncture Meridians, *Journal of Acupuncture and Meridian Studies*, 10.1016/S2005-2901(09)60041-8, 2, 2, (93-106), (2009). [Crossref²⁷²](#)
- Peter T. Dorsher, Myofascial Referred-Pain Data Provide Physiologic Evidence of Acupuncture Meridians, *The Journal of Pain*, 10.1016/j.jpain.2008.12.010, 10, 7, (723-731), (2009). [Crossref²⁷³](#)
- Charles Shang, Prospective Tests on Biological Models of Acupuncture, Evidence-Based Complementary and Alternative Medicine, 10.1093/ecam/nem122, 6, 1, (31-39), (2009). [Crossref²⁷⁴](#)
- Antonio Stecco, Veronica Macchi, Carla Stecco, Andrea Porzionato, Julie Ann Day, Vincent Delmas, Raffaele De Caro, Anatomical study of myofascial continuity in the anterior region of the upper limb, *Journal of Bodywork and Movement Therapies*, 10.1016/j.jbmt.2007.04.009, 13, 1, (53-62), (2009). [Crossref²⁷⁵](#)
256. <https://doi.org/10.1186/1746-1340-18-20>
257. <https://doi.org/10.1089/acu.2009.0724>
258. <https://doi.org/10.1089/acu.2010.0762>
259. <https://doi.org/10.1007/978-1-84882-322-8>
260. <https://doi.org/10.1016/j.fertnstert.2009.09.036>
261. <https://doi.org/10.1089/acm.2009.0218>
262. <https://doi.org/10.1007/s11864-010-0128-y>
263. [https://doi.org/10.1016/S2005-2901\(10\)60023-4](https://doi.org/10.1016/S2005-2901(10)60023-4)
264. <https://doi.org/10.1089/acm.2009.0527>
265. <https://doi.org/10.1007/978-3-642-10857-0>
266. [https://doi.org/10.1016/S2005-2901\(10\)60041-6](https://doi.org/10.1016/S2005-2901(10)60041-6)
267. <https://doi.org/10.1016/j.artres.2009.12.003>
268. <https://doi.org/10.1016/j.pop.2009.09.010>
269. <https://doi.org/10.1371/journal.pone.0011907>
270. <https://doi.org/10.3390/info1020153>
271. <https://doi.org/10.1089/acu.2009.0631>
272. [https://doi.org/10.1016/S2005-2901\(09\)60041-8](https://doi.org/10.1016/S2005-2901(09)60041-8)
273. <https://doi.org/10.1016/j.jpain.2008.12.010>
274. <https://doi.org/10.1093/ecam/nem122>

- Sang-Hyun Park, Jungdae Kim, Tae-Hoi Koo, Magneto-Acupuncture Stimuli Effects on Ultraweak Photon Emission from Hands of Healthy Persons, *Journal of Acupuncture and Meridian Studies*, 10.1016/S2005-2901(09)60014-5, 2, 1, (40-48), (2009). [Crossref²⁷⁶](#)
- James L. Oschman, Charge transfer in the living matrix, *Journal of Bodywork and Movement Therapies*, 10.1016/j.jbmt.2008.06.005, 13, 3, (215-228), (2009). [Crossref²⁷⁷](#)
- Hsiao-Neng Chen, Jaung-Geng Lin, Li-Chih Ying, Chen-Chai Huang, Chuan-Hsiung Lin, The Therapeutic Depth of Abdominal Acupuncture Points Approaches the Safe Depth in Overweight and in Older Children, *The Journal of Alternative and Complementary Medicine*, 10.1089/acm.2008.0582, 15, 9, (1033-1037), (2009). [Crossref²⁷⁸](#)
- Sallie Stoltz Denner, The Science of Energy Therapies and Contemplative Practice, *Holistic Nursing Practice*, 10.1097/HNP.0b013e3181b3f3784, 23, 6, (315-334), (2009). [Crossref²⁷⁹](#)
- N. Ospina-Díaz, Introducción a la acupuntura. Fundamentos e interés para el médico de Atención Primaria, *SEMERGEN - Medicina de Familia*, 10.1016/S1138-3593(09)72675-9, 35, 8, (380-384), (2009). [Crossref²⁸⁰](#)
- Suzanne McDonough, Jongbae Park, Jing Yuan, Purepong Nithima, Daniel P. Kerr, Letters, *Spine*, 10.1097/BRS.0b013e31819d071c, 34, 7, (753), (2009). [Crossref²⁸¹](#)
- Charles Shang, Has Basic Acupuncture Research Met the Gold Standard of Science?, *Medical Acupuncture*, 10.1089/acu.2009.715, 21, 3, (191-200), (2009). [Crossref²⁸²](#)
- Xiaohui Yan, Xinyi Zhang, Chenglin Liu, Ruishan Dang, Yuying Huang, Wei He, Guanghong Ding, Do acupuncture points exist?, *Physics in Medicine and Biology*, 10.1088/0031-9155/54/9/N01, 54, 9, (N143-N150), (2009). [Crossref²⁸³](#)
- Xiaojia Yu, Guanghong Ding, Hong Huang, Jun Lin, Wei Yao, Rui Zhan, Role of Collagen Fibers in Acupuncture Analgesia Therapy on Rats, *Connective Tissue Research*, 10.1080/03008200802471856, 50, 2, (110-120), (2009). [Crossref²⁸⁴](#)
- James J. Mao, Deborah W. Bruner, Carrie Stricker, John T. Farrar, Sharon X. Xie, Marjorie A. Bowman, Donna Pucci Xiaoyan Han, Angela DeMichele, Feasibility Trial of Electroacupuncture for Aromatase Inhibitor—Related Arthralgia in Breast Cancer Survivors, *Integrative Cancer Therapies*, 10.1177/1534735409332903, 8, 2, (123-129), (2009). [Crossref²⁸⁵](#)
- HongQin Yang, ShuSen Xie, Hui Li, YuHua Wang, On optics of human meridians, *Science in China Series G: Physics, Mechanics and Astronomy*, 10.1007/s11433-009-0080-7, 52, 4, (502-507), (2009). [Crossref²⁸⁶](#)
- Dietrich H.W. Groenemeyer, Lei Zhang, Sven Schirp, Jürgen Baier, Localization of Acupuncture Points BL25 and BL26 Using Computed Tomography, *The Journal of Alternative and Complementary Medicine*, 10.1089/acm.2007.7118-O, 15, 12, (1285-1291), (2009). [Crossref²⁸⁷](#)
- Mike Benjamin, The fascia of the limbs and back – a review, *Journal of Anatomy*, 10.1111/j.1469-7580.2008.01011.x, 214, 1, (1-18), (2008). [Wiley Online Library²⁸⁸](#)
- Jesse Li-Ling, Yiyang Wu, Congenital Syndromes Involving the Lungs: Pathogenetic Models Based on Chinese Medicine Theories, *The Journal of Alternative and Complementary Medicine*, 10.1089/acm.2008.0115, 14, 8, (1017-1025), (2008). [Crossref²⁸⁹](#)
- Byung-Cheon Lee, Tae-Jeong Nam, Hyeon-Min Johng, Eun-Sung Park, Ku-Youn Baik, Baek-Kyoung Sung, Kyung-Soon Soh, Yeo-Sung Yoon, Kwang-Sup Soh, Argyrophilic Fibers of Intravascular Threadlike Structures in Rat, *Journal of Korean Institute of Herbal Acupuncture*, 10.3831/KPI.2008.11.3.005, 11, 3, (5-16), (2008). [Crossref²⁹⁰](#)
- Di Zhang, Guanghong Ding, Xueyong Shen, Wei Yao, Zhiying Zhang, Yuqing Zhang, Jun Lin, Quanbao Gu, Role of Mast Cells in Acupuncture Effect: A Pilot Study, *EXPLORE*, 10.1016/j.explore.2008.02.002, 4, 3, (170-177), (2008). [Crossref²⁹¹](#)
- Stephen M. Sagar, Acupuncture as an Evidence-Based Option for Symptom Control in Cancer Patients, *Current Treatment Options in Oncology*, 10.1007/s11864-008-0063-3, 9, 2-3, (117-126), (2008). [Crossref²⁹²](#)
- M. Miguel-Pérez, J.C. Ortiz-Sagrístá, A. Pérez-Bellmunt, R. Ramos-Izquierdo, A. García-Fernández, Descripción anatómica de puntos de acupuntura en la extremidad inferior, *Revista Internacional de Acupuntura*, 10.1016/S1887-8369(08)70031-0, 2, 2, (126-131), (2008). [Crossref²⁹³](#)
- Marcus Bäcker, Paul Grossman, Jens Schneider, Andreas Michalsen, Nicola Knoblauch, Linda Tan, Corinna Niggemeyer, Klaus Linde, Dieter Melchart, Gustav J. Dobos, Acupuncture in Migraine, *The Clinical Journal of Pain*, 10.1097/AJP.0b013e318159f59e, 24, 2, (106-115), (2008). [Crossref²⁹⁴](#)
- Peter T. Dorsher, Optimal Localization of Acupuncture Points: Implications for Acupuncture Practice, Education, and Research, *Medical Acupuncture*, 10.1089/acu.2008.0621, 20, 3, (147-150), (2008). [Crossref²⁹⁵](#)
- Byung-Cheon Lee, Vyacheslav Ogay, Ki Woo Kim, Yuwon Lee, Jin-Kyu Lee, Kwang-Sup Soh, Acupuncture Muscle Channel in the Subcutaneous Layer of Rat Skin, *Journal of Acupuncture and Meridian Studies*, 10.1016/S2005-2901(09)60002-9, 1, 1, (13-19), (2008). [Crossref²⁹⁶](#)
- Agatha P. Colbert, Jinkook Yun, Adrian Larsen, Tracy Edinger, William L. Gregory, Tran Thong, Skin Impedance Measurements for Acupuncture Research: Development of a Continuous Recording System, *Evidence-Based Complementary and Alternative Medicine*, 10.1093/ecam/nem060, 5, 4, (443-450), (2008). [Crossref²⁹⁷](#)
- Hugh MacPherson, Richard Nahin, Charlotte Paterson, Claire M. Cassidy, George T. Lewith, Richard Hammerschlag, Developments in Acupuncture Research: Big-Picture Perspectives from the Leading Edge, *The Journal of Alternative and Complementary Medicine*, 10.1089/acm.2008.SAR-5, 14, 7, (883-887), (2008). [Crossref²⁹⁸](#)
- Vyacheslav Ogay, Min Su Kim, Hyo Jun Seok, Cheon Joo Choi, Kwang-Sup Soh, Catecholamine-storing Cells at Acupuncture Points of Rabbits, *Journal of Acupuncture and Meridian Studies*, 10.1016/S2005-2901(09)60027-3, 1, 2, (83-90), (2008). [Crossref²⁹⁹](#)
- J. Giebel, Mecanotransducción y transducción de señales a través del tejido conjuntivo, *Revista Internacional de Acupuntura*, 10.1016/S1887-8369(08)70003-6, 2, 1, (9-14), (2008). [Crossref³⁰⁰](#)
- Sheng-Hsiung Hsiao, Li-Jen Tsai, A Neurovascular Transmission Model for Acupuncture-induced Nitric Oxide, *Journal of Acupuncture and Meridian Studies*, 10.1016/S2005-2901(09)60006-6, 1, 1, (42-50), (2008). [Crossref³⁰¹](#)
- Vitaly Napadow, Andrew Ahn, John Longhurst, Lixing Lao, Elisabet Stener-Victorin, Richard Harris, Helene M. Langevin, The Status and Future of Acupuncture Mechanism Research, *The Journal of Alternative and Complementary Medicine*, 10.1089/acm.2008.SAR-3, 14, 7, (861-869), (2008). [Crossref³⁰²](#)
- Hong-Yi Li, Jie-Fu Yang, Min Chen, Liang Xu, Wen-Chao Wang, Fang Wang, Jia-Bin Tong, Chuan-Yu Wang, Visualized Regional Hypodermic Migration Channels of Interstitial Fluid in Human Beings: Are These Ancient Meridians?, *The Journal of Alternative and Complementary Medicine*, 10.1089/acm.2007.0606, 14, 6, (621-628), (2008). [Crossref³⁰³](#)
- Rosa N. Schnyer, Stephen Birch, Hugh MacPherson, Acupuncture practice as the foundation for clinical evaluation, *Acupuncture Research*, 10.1016/B978-044310029-1.50013-9, (153-179), (2008). [Crossref³⁰⁴](#)
- Richard Hammerschlag, Hélène M. Langevin, Lixing Lao, George Lewith, Physiological dynamics of acupuncture: correlations and mechanisms, *Acupuncture Research*, 10.1016/B978-044310029-1.50014-0, (181-197), (2008). [Crossref³⁰⁵](#)
- Paul Orrock, Eric Blake, Leon Chaitow, Roger Newman Turner, Naturopathic Physical Medicine, *Naturopathic Physical Medicine*, 10.1016/B978-044310390-2.50009-2, (75-100), (2008). [Crossref³⁰⁶](#)
- Andrew C. Ahn, Agatha P. Colbert, Belinda J. Anderson, Ørjan G. Martinsen, Richard Hammerschlag, Steve Cina, Peter M. Wayne, Helene M. Langevin, Electrical properties of acupuncture points and meridians: A systematic review, *Bioelectromagnetics*, 10.1002/bem.20403, 29, 4, (245-256), (2008). [Wiley Online Library³⁰⁷](#)
- Margaret Julias, Lowell T Edgar, Helen M Buettner, David I Shreiber, An in vitro assay of collagen fiber alignment by acupuncture needle rotation, *BioMedical Engineering OnLine*, 10.1186/1475-925X-7-19, 7, 1, (2008). [Crossref³⁰⁸](#)
- Kell N. Julliard, Claudia Citkovitz, Douglas McDaniel, Towards a Model for Planning Clinical Research in Oriental Medicine, *EXPLORE*, 10.1016/j.explore.2006.12.002, 3, 2, (118-128), (2007). [Crossref³⁰⁹](#)
- Arya Nielsen, Nicola T.M. Knoblauch, Gustav J. Dobos, Andreas Michalsen, Ted J. Kaptechuk, The Effect of Gua Sha Treatment on the Microcirculation of Surface Tissue: A Pilot Study in Healthy Subjects, *EXPLORE*, 10.1016/j.explore.2007.06.001, 3, 5, (456-466), (2007). [Crossref³¹⁰](#)
- Roy Moncayo, Ansgar Rudisch, Markus Diemling, Christian Kremser, In-vivo visualisation of the anatomical structures related to the acupuncture points Dai mai and Shen mai by MRI: A single-case pilot study, *BMC Medical Imaging*, 10.1186/1471-2342-7-4, 7, 1, (2007). [Crossref³¹¹](#)
- J. Giebel, Mechanotransduktion und Signaltransduktion über das Bindegewebe – Mechanismen zur Erklärung des therapeutischen Effekts der Akupunktur?, *Deutsche Zeitschrift für Akupunktur*, 10.1078/0415-6412-00281, 50, 3, (6-10), (2007). [Crossref³¹²](#)
- Roy Moncayo, Ansgar Rudisch, Christian Kremser, Helga Moncayo, 3D-MRI rendering of the anatomical structures related to acupuncture points of the Dai mai, Yin qiao mai and Yang qiao mai meridians within the context of the WOMED concept of lateral tension: implications for musculoskeletal disease, *BMC Musculoskeletal Disorders*, 10.1186/1471-2474-8-33, 8, 1, (2007). [Crossref³¹³](#)

275. <https://doi.org/10.1016/j.jbmt.2007.04.009>276. [https://doi.org/10.1016/S2005-2901\(09\)60014-5](https://doi.org/10.1016/S2005-2901(09)60014-5)277. <https://doi.org/10.1016/j.jbmt.2008.06.005>278. <https://doi.org/10.1089/acm.2008.0582>279. <https://doi.org/10.1097/HNP.0b013e3181b3f3784>280. [https://doi.org/10.1016/S1138-3593\(09\)72675-9](https://doi.org/10.1016/S1138-3593(09)72675-9)281. <https://doi.org/10.1097/BRS.0b013e31819d071c>282. <https://doi.org/10.1089/acu.2009.715>283. <https://doi.org/10.1088/0031-9155/54/9/N01>284. <https://doi.org/10.1080/03008200802471856>285. <https://doi.org/10.1177/1534735409332903>286. <https://doi.org/10.1007/s11433-009-0080-7>287. <https://doi.org/10.1089/acm.2007.7118-O>288. <https://onlinelibrary.wiley.com/doi/10.1111/j.1469-7580.2008.01011.x>289. <https://doi.org/10.1089/acm.2008.0115>290. <https://doi.org/10.3831/KPI.2008.11.3.005>291. <https://doi.org/10.1016/j.explore.2008.02.002>292. <https://doi.org/10.1007/s11864-008-0063-3>293. [https://doi.org/10.1016/S1887-8369\(08\)70031-0](https://doi.org/10.1016/S1887-8369(08)70031-0)294. <https://doi.org/10.1097/AJP.0b013e318159f59e>295. <https://doi.org/10.1089/acu.2008.0621>296. [https://doi.org/10.1016/S2005-2901\(09\)60002-9](https://doi.org/10.1016/S2005-2901(09)60002-9)297. <https://doi.org/10.1093/ecam/nem060>298. <https://doi.org/10.1089/acm.2008.SAR-5>299. [https://doi.org/10.1016/S2005-2901\(09\)60027-3](https://doi.org/10.1016/S2005-2901(09)60027-3)300. [https://doi.org/10.1016/S1887-8369\(08\)70003-6](https://doi.org/10.1016/S1887-8369(08)70003-6)301. [https://doi.org/10.1016/S2005-2901\(09\)60006-6](https://doi.org/10.1016/S2005-2901(09)60006-6)302. <https://doi.org/10.1089/acm.2008.SAR-3>303. <https://doi.org/10.1089/acm.2007.0606>304. <https://doi.org/10.1016/B978-044310029-1.50013-9>305. <https://doi.org/10.1016/B978-044310029-1.50014-0>306. <https://doi.org/10.1016/B978-044310390-2.50009-2>307. <https://onlinelibrary.wiley.com/doi/10.1002/bem.20403>308. <https://doi.org/10.1186/1475-925X-7-19>309. <https://doi.org/10.1016/j.explore.2006.12.002>310. <https://doi.org/10.1016/j.explore.2007.06.001>311. <https://doi.org/10.1186/1471-2342-7-4>312. <https://doi.org/10.1078/0415-6412-00281>

- Helene M. Langevin, Nicole A. Bouffard, David L. Churchill, Gary J. Badger, Connective Tissue Fibroblast Response to Acupuncture: Dose-Dependent Effect of Bidirectional Needle Rotation, *The Journal of Alternative and Complementary Medicine*, 10.1089/acm.2007.6351.13, 3, (355-360), (2007). [Crossref³¹⁴](#)
- Yong-Hui Han, Joon-Mo Yang, Min-Su Kim, Kwang-Sup Soh, Detection of the acupuncture points in Skin by differential path-length spectroscopy, *World Congress on Medical Physics and Biomedical Engineering* 2006, 10.1007/978-3-540-36841-0, (3572-3575), (2007). [Crossref³¹⁵](#)
- Min-Su Kim, Vyacheslav Ogay, Yong-Hui Han, Hak-Soo Shin, Byung-Cheon Lee, Kwang-Sup Soh, Alcian Blue Staining Technique for Tracing the Governing Vessel (GV) Meridian in Rat, *World Congress on Medical Physics and Biomedical Engineering* 2006, 10.1007/978-3-540-36841-0, (3576-3579), (2007). [Crossref³¹⁶](#)
- Miguel-Pérez Maribel, Ortiz-Sagrístá Joan Carles, Pérez-Bellmunt Albert, Buxeda Mónica, Cuni Laura, García-Fernández Alicia, Descripción anatómica de puntos de acupuntura en la extremidad superior, *Revista Internacional de Acupuntura*, 10.1016/S1887-8369(07)70217-X, 1, 2, (53-57), (2007). [Crossref³¹⁷](#)
- Yury P. Limansky, Serge A. Gulyar, Ivan Z. Samosyuk, Scientific basis of acupuncture, *Kontakt*, 10.32725/kont.2007.060, 9, 2, (391-402), (2007). [Crossref³¹⁸](#)
- Leon Chaitow, Fascia 2007 Congress, *Journal of Bodywork and Movement Therapies*, 10.1016/j.jbmt.2006.07.004, 10, 4, (249-250), (2006). [Crossref³¹⁹](#)
- Helene M. Langevin, Connective tissue: A body-wide signaling network?, *Medical Hypotheses*, 10.1016/j.mehy.2005.12.032, 66, 6, (1074-1077), (2006). [Crossref³²⁰](#)
- Albert Y. Leung, Jun Park, Gery Schulteis, Jeng-Ren Duann, Tony Yaksh, The Electrophysiology of De Qi Sensations, *The Journal of Alternative and Complementary Medicine*, 10.1089/acm.2006.12.743, 12, 8, (743-750), (2006). [Crossref³²¹](#)
- Acupuncture, Obstetrics & Gynecology, 10.1097/01.AOG.0000239498.38595.41, 108, 4, (1024-1026), (2006). [Crossref³²²](#)
- Jeanne L. Shea, Applying Evidence-Based Medicine to Traditional Chinese Medicine: Debate and Strategy, *The Journal of Alternative and Complementary Medicine*, 10.1089/acm.2006.12.255, 12, 3, (255-263), (2006). [Crossref³²³](#)
- Grigory V. Chernyak, Daniel I. Sessler, Perioperative Acupuncture and Related Techniques, *Anesthesiology*, 10.1097/00000542-200505000-00024, 102, 5, (1031-1049), (2005). [Crossref³²⁴](#)
- Grigory Chernyak, Papiya Sengupta, Rainer Lenhardt, Edwin Liem, Anthony G. Doufas, Daniel I. Sessler, Ozan Ak?aa, The Timing of Acupuncture Stimulation Does Not Influence Anesthetic Requirement, *Anesthesia & Analgesia*, 10.1213/01.ANE.0000142114.72117.E0, 100, 2, (387-392), (2005). [Crossref³²⁵](#)
- Gabriela E. Garcia, Sheng-Xing Ma, Lili Feng, Acupuncture and Kidney Disease, *Advances in Chronic Kidney Disease*, 10.1016/j.ackd.2005.04.002, 12, 3, (282-291), (2005). [Crossref³²⁶](#)
- Andrew C Ahn, Junru Wu, Gary J Badger, Richard Hammerschlag, Helene M Langevin, Electrical impedance along connective tissue planes associated with acupuncture meridians, *BMC Complementary and Alternative Medicine*, 10.1186/1472-6882-5-10, 5, 1, (2005). [Crossref³²⁷](#)
- E.E. Konofagou, H.M. Langevin, Using ultrasound to understand acupuncture, *IEEE Engineering in Medicine and Biology Magazine*, 10.1109/EMEMB.2005.1411347, 24, 2, (41-46), (2005). [Crossref³²⁸](#)
- R. Schleip, W. Klingler, F. Lehmann-Horn, Active fascial contractility: Fascia may be able to contract in a smooth muscle-like manner and thereby influence musculoskeletal dynamics, *Medical Hypotheses*, 10.1016/j.mehy.2005.03.005, 65, 2, (273-277), (2005). [Crossref³²⁹](#)
- Paulo H. Hashimoto, The perineurial vessel: A possible candidate for the structural basis of the meridian (Jing - Luo) in Chinese medicine*, *Anatomical Science International*, 10.1111/j.1447-073X.2005.00118.x, 80, 4, (177-180), (2005). [Wiley Online Library³³⁰](#)
- Dina Rait, Intercellular communication, NO and the biology of Chinese medicine, *Cell Communication and Signaling*, 10.1186/1478-811X-3-8, 3, 1, (2005). [Crossref³³¹](#)
- Ai-Hui Li, Jun-Ming Zhang, Yi-Kuan Xie, Human acupuncture points mapped in rats are associated with excitable muscle/skin-nerve complexes with enriched nerve endings, *Brain Research*, 10.1016/j.brainres.2004.04.009, 1012, 1-2, (154-159), (2004). [Crossref³³²](#)
- Kaung-Ti Yung, A Birdcage Model for the Chinese Meridian System Part II: The Meridian System as a Birdcage Resonator, *The American Journal of Chinese Medicine*, 10.1142/S0192415X04002582, 32, 06, (985-997), (2004). [Crossref³³³](#)
- J. P. Jones, Y. K. Bae, L. Wilson, C. S. So, D. D. Kidney, Ultrasonic Imaging and Characterization of Acupuncture Points in Classical Oriental Medicine, *Acoustical Imaging*, 10.1007/978-1-4020-2402-3_66, (527-533), (2004). [Crossref³³⁴](#)
- Helene M. Langevin, Elisa E. Konofagou, Gary J. Badger, David L. Churchill, James R. Fox, Jonathan Ophir, Brian S. Garra, Tissue displacements during acupuncture using ultrasound elastography techniques, *Ultrasound in Medicine & Biology*, 10.1016/j.ultrasmedbio.2004.07.010, 30, 9, (1173-1183), (2004). [Crossref³³⁵](#)
- M. Bäcker, I.K. Gareus, N.T.M. Knoblauch, A. Michalsen, G.J. Dobos, Akupunktur in der Schmerztherapie – Hypothese zu adaptiven Prozessen, *Complementary Medicine Research*, 10.1159/000082815, 11, 6, (335-345), (2004). [Crossref³³⁶](#)
- Opher Caspi, Cari Stellhorn, Melinda Connor, Sham in CAM, *Evidence-Based Integrative Medicine*, 10.2165/01197065-200401040-00002, 1, 4, (233-240), (2004). [Crossref³³⁷](#)
- Bruce D. Curtis, J.J. Hurtak, Consciousness and Quantum Information Processing: Uncovering the Foundation for a Medicine of Light, *The Journal of Alternative and Complementary Medicine*, 10.1089/107555304322848931, 10, 1, (27-39), (2004). [Crossref³³⁸](#)
- E.E. Konofagou, G.J. Badger, B.S. Garra, H.M. Langevin, *IEEE Symposium on Ultrasonics*, 2003, 10.1109/ULTSYM.2003.1293138, (1288-1291), (2003). [Crossref³³⁹](#)
- Leon Chaitow, Judith DeLany, Neuromuscular Techniques in Orthopedics, *Techniques in Orthopaedics*, 10.1097/00013611-200303000-00013, 18, 1, (74-86), (2003). [Crossref³⁴⁰](#)
- LiteratureWatch, *Alternative and Complementary Therapies*, 10.1089/10762800360520811, 9, 1, (49-50), (2003). [Crossref³⁴¹](#)
- Michael McCarthy, Palpatory literacy, Chinese therapeutic bodywork (Tui Na) and the remediation of head, neck and shoulder pain, *Journal of Bodywork and Movement Therapies*, 10.1016/S1360-8592(03)00044-5, 7, 4, (262-277), (2003). [Crossref³⁴²](#)
- Leon Chaitow, What binds us together?, *Journal of Bodywork and Movement Therapies*, 10.1016/S1360-8592(03)00020-2, 7, 2, (69-70), (2003). [Crossref³⁴³](#)
- Joshi, Narahari & Mbbs, Msc & Pa'ez, Ximena & Araque, MBBS. (2012). Electroacupuncture Effects on the Disintegration of Beta Amyloid Sheets: Its Application to Alzheimer's Disease. *Medical Acupuncture*. 24. 145. 10.1089/acu.2012.0873. [ResearchGate³⁴⁴](#)
- ## HRV, Ayurveda
- Ram Manohar, P., Sorokin, O., Chacko, J., & Nampoothiri, V. (2018). An exploratory clinical study to determine the utility of heart rate variability analysis in the assessment of dosha imbalance. *Journal of Ayurveda and integrative medicine*, 9(2), 126–130. [Crossref³⁴⁵](#)
- Travis F.T., Wallace R.K. Doşa brain-types: a neural model of individual differences. *J Ayurveda Integr Med*. 2015;6(4):280–285. [PMC³⁴⁶](#) - [PubMed³⁴⁷](#)
- Tyagi A., Cohen M. Yoga and heart rate variability: a comprehensive review of the literature. *Int J Yoga*. 2016;9(2):97–113. [PMC³⁴⁸](#) - [PubMed³⁴⁹](#)
- Masel E., Huber P., Engler T., Herbert Watzke H.H. Heart rate variability during treatment of breakthrough pain in patients with advanced cancer: a pilot study. *J Pain Res*. 2016 Dec;9:1215–1220. [PMC³⁵⁰](#) - [PubMed³⁵¹](#)
- Kim E.-H., Park J.-H., Lee S.M., Gwak M.-S., Kim G.-S., Kim M.-H. Preoperative depressed mood and perioperative heart rate variability in patients with hepatic cancer. *J Clin Anesth*. 2016 Dec;35:332–338. [PubMed³⁵²](#)
- Koszewicz M., Michalak S., Bilinska M., Budrewicz S., Zaborowski M., Slotwinski K. Profile of autonomic dysfunctions in patients with primary brain tumor and possible autoimmunity. *Clin Neurol Neurosurg*. 2016 Dec;151:51–54. [PubMed³⁵³](#)
- Rastogi, S., & Singh, R. H. (2021). Principle of Hot (Ushna) and Cold (Sheeta) and Its Clinical Application in Ayurvedic Medicine. *Advances in experimental medicine and biology*, 1343, 39–55. [Crossref³⁵⁴](#)
313. <https://doi.org/10.1186/1471-2474-8-33>
314. <https://doi.org/10.1089/acm.2007.6351>
315. <https://doi.org/10.1007/978-3-540-36841-0>
316. <https://doi.org/10.1007/978-3-540-36841-0>
317. [https://doi.org/10.1016/S1887-8369\(07\)70217-X](https://doi.org/10.1016/S1887-8369(07)70217-X)
318. <https://doi.org/10.32725/kont.2007.060>
319. <https://doi.org/10.1016/j.jbmt.2006.07.004>
320. <https://doi.org/10.1016/j.mehy.2005.12.032>
321. <https://doi.org/10.1089/acm.2006.12.743>
322. <https://doi.org/10.1097/01.AOG.0000239498.38595.41>
323. <https://doi.org/10.1089/acm.2006.12.255>
324. <https://doi.org/10.1097/00000542-200505000-00024>
325. <https://doi.org/10.1213/01.ANE.0000142114.72117.E0>
326. <https://doi.org/10.1016/j.ackd.2005.04.002>
327. <https://doi.org/10.1186/1472-6882-5-10>
328. <https://doi.org/10.1109/EMEMB.2005.1411347>
329. <https://doi.org/10.1016/j.mehy.2005.03.005>
330. <https://onlinelibrary.wiley.com/doi/10.1111/j.1447-073X.2005.00118.x>
331. <https://doi.org/10.1186/1478-811X-3-8>
332. <https://doi.org/10.1016/j.brainres.2004.04.009>
333. <https://doi.org/10.1142/S0192415X04002582>
334. https://doi.org/10.1007/978-1-4020-2402-3_66
335. <https://doi.org/10.1016/j.ultrasmedbio.2004.07.010>
336. <https://doi.org/10.1159/000082815>
337. <https://doi.org/10.2165/01197065-200401040-00002>
338. <https://doi.org/10.1089/107555304322848931>
339. <https://doi.org/10.1109/ULTSYM.2003.1293138>
340. <https://doi.org/10.1097/00013611-200303000-00013>
341. <https://doi.org/10.1089/10762800360520811>
342. [https://doi.org/10.1016/S1360-8592\(03\)00044-5](https://doi.org/10.1016/S1360-8592(03)00044-5)
343. [https://doi.org/10.1016/S1360-8592\(03\)00020-2](https://doi.org/10.1016/S1360-8592(03)00020-2)
344. https://www.researchgate.net/publication/236897521_Electroacupuncture_Effects_on_the_Disintegration_of_Beta_Amyloid_Sheets_Its_Application_to_Alzheimer's_Disease
345. <https://doi.org/10.1016/j.jaim.2017.06.008>
346. <http://www.ncbi.nlm.nih.gov/pmc/articles/pmc4719489/>
347. <https://pubmed.ncbi.nlm.nih.gov/26834428/>
348. <http://www.ncbi.nlm.nih.gov/pmc/articles/pmc4959333/>
349. <https://pubmed.ncbi.nlm.nih.gov/27512317/>
350. <http://www.ncbi.nlm.nih.gov/pmc/articles/pmc5161332/>
351. <https://pubmed.ncbi.nlm.nih.gov/28003771/>
352. <https://pubmed.ncbi.nlm.nih.gov/27871552/>
353. <https://pubmed.ncbi.nlm.nih.gov/27788421/>

Crossref³⁵⁴

- Mills, P. J., Peterson, C. T., Wilson, K. L., Pung, M. A., Patel, S., Weiss, L., Kshirsagar, S. G., Tanzi, R. E., & Chopra, D. (2019). Relationships among classifications of ayurvedic medicine diagnostics for imbalances and western measures of psychological states: An exploratory study. *Journal of Ayurveda and integrative medicine*, 10(3), 198–202. Crossref³⁵⁵
- Pandey M.M., Rastogi S., Rawat A.K. Indian traditional ayurvedic system of medicine and nutritional supplementation. *Evid Based Complement Alternat Med*. 2013;2013:376327. - PMC³⁵⁶ - PubMed³⁵⁷
- Chopra A., Doiphode V.V. Ayurvedic medicine. Core concept, therapeutic principles, and current relevance. *Med Clin North Am*. 2002;86(1):75–89. vii. - PubMed³⁵⁸
- Zhou X., Ma Z., Zhang L., Zhou S., Wang J., Wang B. Heart rate variability in the prediction of survival in patients with cancer: a systematic review and meta-analysis. *J Psychosom Res*. 2016 Oct;89:20–25. - PubMed³⁵⁹
- Taffe L., Stancil K., Bond V., Pemminati S., Gorantla V.R., Kadur K. Differentiation of overweight from normal weight young adults by postprandial heart rate variability and systolic blood pressure. *J Clin Diagnostic Res*. 2016 Aug;10(8):CC01–CC06. - PMC³⁶⁰ - PubMed³⁶¹
- Gupta J., Dube A., Singh V., Gupta R.C. Spectral analysis of heart rate variability in bronchial asthma patients. *Indian J Physiol Pharmacol*. 2012;56(4):330–336. - PubMed³⁶²
- Sorokin O.V., Subotyalov M.A. Material of the all-Russian scientific and practical conference with international presence, October 26–27, 2011 Kemerovo, Russia. 2011. Comparative medical research of VedaPulse hardware and software kit // Health maintaining activities in educational system: theory and practice; pp. 225–230.
- Kelkar P., Karamchandani S., Jinda S. Proceedings of conference on advance applications in physiological variability, BARC. 2010. Identifying tridasha for disease characterisation in morphology of an IPG pulse waveform.
- Singh Harupjit. Thapar University; Patiala: 2016. Relationship between three ayurvedic doshas and heart rate variability frequency bands: a pilot study.
- Deshpande H., Shivakumar, Kavita M.B., Mishra P., Chaturvedi A. Healthcare and disease management in Ayurveda. *Altern Ther Health Med*. 2001;7(2):44–50. - PubMed³⁶³
- Anthony J.V., Joanne M.G. Understanding interobserver agreement: the kappa statistic. *Fam Med*. 2005 May;37(5):360–363. - PubMed³⁶⁴
- Telles S., Pathak S., Kumar A., Mishra P., Balkrishna A. Ayurvedic doshas as predictors of sleep quality. *Med Sci Monit*. 2015;21:1421–1427. - PMC³⁶⁵ - PubMed³⁶⁶
- Bell C., Heidel R.E., Sunega J., Drisko J. Ancient wisdom. Can ayurvedic prakriti provide invaluable insights into integrative medicine? *Ayurveda J Health*. 2017;27:27–34.
- Cohen S., Kamarck T., Mermelstein R. A global measure of perceived stress. *J Health Soc Behav*. 1983;24(4):385–396. - PubMed³⁶⁷
- Travis F.T., Wallace R.K. Dosha brain-types: a neural model of individual differences. *J Ayurveda Integr Med*. 2015;6(4):280–285. - PMC³⁶⁸ - PubMed³⁶⁹
- Day S., Pahwa P. Prakriti and its associations with metabolism, chronic diseases, and genotypes: possibilities of new born screening and a lifetime of personalized prevention. *J Ayurveda Integr Med*. 2014;5(1):15–24. - PMC³⁷⁰ - PubMed³⁷¹
- Purvyva M.C., Meena M.S. A review on role of prakriti in aging. *Ayu*. 2011;32(1):20–24. - PMC³⁷² - PubMed³⁷³
- Pham, T., Lau, Z. J., Chen, S. H. A., & Makowski, D. (2021). Heart Rate Variability in Psychology: A Review of HRV Indices and an Analysis Tutorial. *Sensors (Basel, Switzerland)*, 21(12), 3998. Crossref³⁷⁴
- Lombardi F., Malliani A., Pagani M., Cerutti S. Heart Rate Variability and Its Sympatho-Vagal Modulation. *Cardiovasc. Res*. 1996;32:208–216. doi: 10.1016/0008-6363(96)00116-2. - DOI³⁷⁵ - PubMed³⁷⁶
- Mccrarty R., Shaffer F. Heart Rate Variability: New Perspectives on Physiological Mechanisms, Assessment of Self-regulatory Capacity, and Health Risk. *Glob. Adv. Heal. Med*. 2015;4:46–61. doi: 10.7453/gahmj.2014.073. - DOI³⁷⁷ - PMC³⁷⁸ - PubMed³⁷⁹
- Thayer J.F., Yamamoto S.S., Brosschot J.F. The relationship of autonomic imbalance, heart rate variability and cardiovascular disease risk factors. *Int. J. Cardiol*. 2010;141:122–131. doi: 10.1016/j.ijcard.2009.09.543. - DOI³⁸⁰ - PubMed³⁸¹
- Tiwari, R., Kumar, R., Malik, S., Raj, T., & Kumar, P. (2021). Analysis of Heart Rate Variability and Implication of Different Factors on Heart Rate Variability. *Current cardiolog*³⁸². <https://doi.org/10.2174/1573403X16999201231203854>
354. https://doi.org/10.1007/978-3-030-80983-6_4
355. <https://doi.org/10.1016/j.jaim.2018.02.001>
356. <http://www.ncbi.nlm.nih.gov/pmc/articles/PMC3705899/>
357. <https://pubmed.ncbi.nlm.nih.gov/23864888/>
358. <https://pubmed.ncbi.nlm.nih.gov/11795092/>
359. <https://pubmed.ncbi.nlm.nih.gov/27663106/>
360. <http://www.ncbi.nlm.nih.gov/pmc/articles/PMC5028518/>
361. <https://pubmed.ncbi.nlm.nih.gov/27656434/>
362. <https://pubmed.ncbi.nlm.nih.gov/23781652/>
363. <https://pubmed.ncbi.nlm.nih.gov/11253416/>
364. <https://pubmed.ncbi.nlm.nih.gov/15883903/>
365. <http://www.ncbi.nlm.nih.gov/pmc/articles/PMC4448595/>
366. <https://pubmed.ncbi.nlm.nih.gov/25982247/>
367. <https://pubmed.ncbi.nlm.nih.gov/6668417/>
368. <http://www.ncbi.nlm.nih.gov/pmc/articles/PMC4719489/>
369. <https://pubmed.ncbi.nlm.nih.gov/26834428/>
370. <http://www.ncbi.nlm.nih.gov/pmc/articles/PMC4012357/>
371. <https://pubmed.ncbi.nlm.nih.gov/24812471/>
372. <http://www.ncbi.nlm.nih.gov/pmc/articles/PMC3215411/>
373. <https://pubmed.ncbi.nlm.nih.gov/22131753/>
374. <https://doi.org/10.3390/s21123998>
375. [https://doi.org/10.1016/0008-6363\(96\)00116-2](https://doi.org/10.1016/0008-6363(96)00116-2)
376. <https://pubmed.ncbi.nlm.nih.gov/8796106/>
377. <https://doi.org/10.7453/gahmj.2014.073>
378. <http://www.ncbi.nlm.nih.gov/pmc/articles/PMC4311559/>
379. <https://pubmed.ncbi.nlm.nih.gov/25694852/>
380. <https://doi.org/10.1016/j.ijcard.2009.09.543>
381. <https://pubmed.ncbi.nlm.nih.gov/19910061/>
382. <https://doi.org/10.2174/1573403X16999201231203854>
383. <https://doi.org/10.1016/j.mehy.2020.109574>
384. <https://doi.org/10.1016/j.jpsycho.2023.08.001>
385. <https://doi.org/10.3390/jcm7110404>
386. <https://www.ncbi.nlm.nih.gov/pmc/articles/PMC6262541/>
387. <https://pubmed.ncbi.nlm.nih.gov/30384420/>
388. <https://doi.org/10.36740/wilek202111130>
389. <https://pubmed.ncbi.nlm.nih.gov/35023505/>
390. <https://doi.org/10.3389/fpsyg.2022.927705>
391. <https://www.ncbi.nlm.nih.gov/pmc/articles/PMC9558284/>
392. <https://pubmed.ncbi.nlm.nih.gov/36248548/>
393. <https://doi.org/10.3389/fpsyg.2018.00044>
394. <http://www.ncbi.nlm.nih.gov/pmc/articles/PMC5859128/>
395. <https://pubmed.ncbi.nlm.nih.gov/29593576/>
396. <https://doi.org/10.3389/fpsyg.2017.00213>
397. <http://www.ncbi.nlm.nih.gov/pmc/articles/PMC5316555/>
398. <https://pubmed.ncbi.nlm.nih.gov/28265249/>
399. <https://doi.org/10.1093/mt/p.1.32>
400. <https://doi.org/10.15845/voices.v19i2.2556>
401. <https://doi.org/10.3389/fpsyg.2019.01038>
402. <https://www.ncbi.nlm.nih.gov/pmc/articles/PMC6517496/>
403. <https://pubmed.ncbi.nlm.nih.gov/31133945/>
404. https://doi.org/10.18936/islis.24.1_155
405. <https://doi.org/10.1016/j.jpsycho.2017.07.010>
406. <https://pubmed.ncbi.nlm.nih.gov/28739482/>
407. <https://doi.org/10.3390/jcm11195927>
408. <https://doi.org/10.1088/1361-6579/ab1887>
409. <https://doi.org/10.1111/j.1540-8159.2010.02841.x>
410. <https://doi.org/10.1109/bibm49941.2020.9313361>
- reviews, 17(5), e160721189770. Crossref³⁸²
- Roy, S., Goswami, D. P., & Sengupta, A. (2020). Geometry of the Poincaré plot can segregate the two arms of autonomic nervous system - A hypothesis. *Medical Hypotheses*, 138, 109574. Crossref³⁸³
- Gullett, N., Zajkowska, Z., Walsh, A., Harper, R., & Mondelli, V. (2023). Heart rate variability (HRV) as a way to understand associations between the autonomic nervous system (ANS) and affective states: A critical review of the literature. *International journal of psychophysiology: official journal of the International Organization of Psychophysiology*, 192, 35–42. Crossref³⁸⁴
- Zou L., Sasaki J.E., Wei G.X., Huang T., Yeung A.S., Neto O.B., Chen K.W., Hui S.S. Effects of Mind-Body Exercises (Tai Chi/Yoga) on Heart Rate Variability Parameters and Perceived Stress: A Systematic Review with Meta-Analysis of Randomized Controlled Trials. *J. Clin. Med*. 2018;7:404. doi: 10.3390/jcm7110404. - DOI³⁸⁵ - PMC³⁸⁶ - PubMed³⁸⁷
- Danylova T.V., Shmarhuv V.M., Vertel A.V., Matyushko B.K., Bondarenko A.F., Kychkyruk T., Petersen J. Effects of the eastern mind-body practices on mental health during the COVID-19 pandemic: When east meets west. *Wiad. Lek*. 2021;74:2850–2855. doi: 10.36740/WLek202111130. - DOI³⁸⁸ - PubMed³⁸⁹
- Feneberg A.C., Nater U.M. An Ecological Momentary Music Intervention for the Reduction of Acute Stress in Daily Life: A Mixed Methods Feasibility Study. *Front. Psychol*. 2022;13:927705. doi: 10.3389/fpsyg.2022.927705. - DOI³⁹⁰ - PMC³⁹¹ - PubMed³⁹²
- Breit S., Kupferberg A., Rogler G., Hasler G. Vagus Nerve as Modulator of the Brain-Gut Axis in Psychiatric and Inflammatory Disorders. *Front. Psychiatry*. 2018;9:44. doi: 10.3389/fpsyg.2018.00044. - DOI³⁹³ - PMC³⁹⁴ - PubMed³⁹⁵
- Laborde S., Mosley E., Thayer J.F. Heart rate variability and cardiac vagal tone in psychophysiological research—recommendations for experiment planning, data analysis, and data reporting. *Front. Psychol*. 2017;8:213. doi: 10.3389/fpsyg.2017.00213. - DOI³⁹⁶ - PMC³⁹⁷ - PubMed³⁹⁸
- Chesky K.S., Michel D.E. The Music Vibration Table (MVT): Developing a Technology and Conceptual Model for Pain Relief. *Music Ther. Perspect*. 1991;9:32–38. doi: 10.1093/mt/p.9.1.32. - DOI³⁹⁹
- Campbell E., Burger B., Ala-Ruona E. A Single-Case, Mixed Methods Study Exploring the Role of Music Listening in Vibroacoustic Treatment. *Voices World Forum Music Ther*. 2019;19:27. doi: 10.15845/voices.v19i2.2556. - DOI⁴⁰⁰
- Braun Janzen T., Al Shirawi M.I., Rotzinger S., Kennedy S.H., Bartel L. A Pilot Study Investigating the Effect of Music-Based Intervention on Depression and Anhedonia. *Front. Psychol*. 2019;10:1038. doi: 10.3389/fpsyg.2019.01038. - DOI⁴⁰¹ - PMC⁴⁰² - PubMed⁴⁰³
- Karkkainen M., Mitsui J. The Effects of Sound Based Vibration Treatment on the Human Mind and Body the Physioacoustic Method. *J. Int. Soc. Life Inf. Sci*. 2006;24:155–164. doi: 10.18936/islis.24.1_155. - DOI⁴⁰⁴
- Jirakittayakorn N., Wongsawat Y. Brain Responses to 40-Hz Binaural Beat and Effects on Emotion and Memory. *Int. J. Psychophysiol*. 2017;120:96–107. doi: 10.1016/j.jpsycho.2017.07.010. - DOI⁴⁰⁵ - PubMed⁴⁰⁶
- Fooks C., Niebuhr O. Assessing Vibroacoustic Sound Massage Through The Biosignal of Human Speech: Evidence of Improved Wellbeing; Proceedings of the IEEE International Conference on Acoustics, Speech and Signal Processing (ICASSP); Seoul, Republic of Korea. 14–19 April 2024; pp. 11401–11405.
- Gitler, A., Vanacker, L., De Couck, M., De Leeuw, I., & Gidron, Y. (2022). Neuromodulation Applied to Diseases: The Case of HRV Biofeedback. *Journal of clinical medicine*, 11(19), 5927. Crossref⁴⁰⁷
- Zhu, J., Ji, L., & Liu, C. (2019). Heart rate variability monitoring for emotion and disorders of emotion. *Physiological measurement*, 40(6), 064004. Crossref⁴⁰⁸
- Nunan, D., Sandercock, G. R., & Brodie, D. A. (2010). A quantitative systematic review of normal values for short-term heart rate variability in healthy adults. *Pacing and clinical electrophysiology: PACE*, 33(11), 1407–1417. Crossref⁴⁰⁹
- Qu, X., Wu, Y., Liu, J., & Cui, L. (2020). HRV-Spark: Computing Heart Rate Variability Measures Using Apache Spark. *Proceedings. IEEE International Conference on Bioinformatics and Biomedicine*, 2020, 10.1109/bibm49941.2020.9313361. Crossref⁴¹⁰

- Rahul, L. R., Sarkar, R., Sengupta, A., Chandra, B. S., & Jana, S. (2023). Novel AI-based HRV analysis (NAIHA) in healthcare automation and related applications. *Journal of electrocardiology*, 79, 112–121. [Crossref⁴¹¹](#)
- Taoum, A., Bisiaux, A., Tilquin, F., Le Guillou, Y., & Carrault, G. (2022). Validity of Ultra-Short-Term HRV Analysis Using PPG-A Preliminary Study. *Sensors (Basel, Switzerland)*, 22 (20), 7995. [Crossref⁴¹²](#)
- Ortega, E., Bryan, C. Y. X., & Christine, N. S. C. (2024). The Pulse of Singapore: Short-Term HRV Norms. *Applied psychophysiology and biofeedback*, 49 (1), 55–61. [Crossref⁴¹³](#)
- Vondrasek, J. D., Riemann, B. L., Grosicki, G. J., & Flatt, A. A. (2023). Validity and Efficacy of the Elite HRV Smartphone Application during Slow-Paced Breathing. *Sensors (Basel, Switzerland)*, 23 (23), 9496. [Crossref⁴¹⁴](#)
- Malik M., Bigger J.T., Camm A.J., Kleiger R.E., Malliani A., Moss A.J., Schwartz P.J. Heart rate variability: Standards of measurement, physiological interpretation, and clinical use. *Eur. Heart J.* 1996;17:354–381. doi: 10.1093/oxfordjournals.eurheartj.a014868. - [DOI⁴¹⁵](#) - [PubMed⁴¹⁶](#)
- Shaffer F., McCraty R., Zerr C.L. A healthy heart is not a metronome: An integrative review of the heart's anatomy and heart rate variability. *Front. Psychol.* 2014;5:1040. doi: 10.3389/fpsyg.2014.01040. - [DOI⁴¹⁷](#) - [PMC⁴¹⁸](#) - [PubMed⁴¹⁹](#)
- Grosicki G.J., Culver M.N., McMillan N.K., Cross B.L., Montoye A.H.K., Riemann B.L., Flatt A.A. Self-recorded heart rate variability profiles are associated with health and lifestyle markers in young adults. *Clin. Auton. Res.* 2022;32:507–518. doi: 10.1007/s10286-022-00884-z. - [DOI⁴²⁰](#) - [PubMed⁴²¹](#)
- Natarajan A., Pantelopoulou A., Emir-Farinas H., Natarajan P. Heart rate variability with photoplethysmography in 8 million individuals: A cross-sectional study. *Lancet Digit. Health.* 2020;2:e650–e657. doi: 10.1016/S2589-7500(20)30246-6. - [DOI⁴²²](#) - [PubMed⁴²³](#)
- Talbert, L. D., Kaelberer, Z., Gleave, E., Driggs, A. S., Steffen, P. R., Baldwin, S. A., & Larson, M. J. (2023). A systematic review of heart rate variability (HRV) biofeedback treatment following traumatic brain injury (TBI). *Brain injury*, 37 (7), 635–642. [Crossref⁴²⁴](#)
- Jeyhani, V., Mahdiani, S., Peltokangas, M., & Vehkaoja, A. (2015). Comparison of HRV parameters derived from photoplethysmography and electrocardiography signals. *Annual International Conference of the IEEE Engineering in Medicine and Biology Society. IEEE Engineering in Medicine and Biology Society. Annual International Conference, 2015*, 5952–5955. [Crossref⁴²⁵](#)
- Brennan, M., Palaniswami, M., & Kamen, P. (2002). Poincaré plot interpretation using a physiological model of HRV based on a network of oscillators. *American journal of physiology. Heart and circulatory physiology*, 283 (5), H1873–H1886. [Crossref⁴²⁶](#)
- Ken Umetani MD A B C, Donald H Singer MD, FACC A B, Rollin McCraty MS C, Mike Atkinson C, Twenty-Four Hour Time Domain Heart Rate Variability and Heart Rate: Relations to Age and Gender Over Nine Decades. [DOI⁴²⁷](#), [ScienceDirect⁴²⁸](#)
- ## Esprit/corps
- Borghesi, F., Cremascoli, R., Chirico, A., Bianchi, L., Di Moia, A., Priano, L., Piedimonte, A., Mauro, A., & Cipresso, P. (2024). Mind and body connection in expert meditators: a computational study based on central and peripheral nervous system. *BMC complementary medicine and therapies*, 24 (1), 117. [Crossref⁴²⁹](#)
- Brandmeyer T, Delorme A, Wahbeh H. The neuroscience of meditation: classification, phenomenology, correlates, and mechanisms. *Prog Brain Res.* 2019;1(244):1–29. - [PubMed⁴³⁰](#)
- Travis F, Shear J. Focused attention, open monitoring and automatic self-transcending: categories to organize meditations from Vedic, Buddhist Chinese Traditions. *Conscious Cogn.* 2010;19(4):1110–1118. doi: 10.1016/j.concog.2010.01.007. - [DOI⁴³¹](#) - [PubMed⁴³²](#)
- Liberman N, Trope Y. The psychology of transcending the here and now. *Science* 2008;322(5905):1201–5. doi: 10.1126/science.1161958. - [DOI⁴³³](#) - [PMC⁴³⁴](#) - [PubMed⁴³⁵](#)
- Ahani A, Wahbeh H, Nezamfar H, Miller M, Erdogmus D, Oken B. Quantitative change of EEG and respiration signals during mindfulness meditation. *J Neuroeng Rehabil* 2014;11(1):1. doi: 10.1186/1743-0003-11-87. - [DOI⁴³⁶](#) - [PMC⁴³⁷](#) - [PubMed⁴³⁸](#)
411. <https://doi.org/10.1016/j.jelectrocard.2023.03.013>
412. <https://doi.org/10.3390/s22207995>
413. <https://doi.org/10.1007/s10484-023-09603-4>
414. <https://doi.org/10.3390/s23239496>
415. <https://doi.org/10.1093/oxfordjournals.eurheartj.a014868>
416. <https://pubmed.ncbi.nlm.nih.gov/8737210/>
417. <https://doi.org/10.3389/fpsyg.2014.01040>
418. <http://www.ncbi.nlm.nih.gov/pmc/articles/pmc4179748/>
419. <https://pubmed.ncbi.nlm.nih.gov/25324790/>
420. <https://doi.org/10.1007/s10286-022-00884-z>
421. <https://pubmed.ncbi.nlm.nih.gov/35999422/>
422. [https://doi.org/10.1016/s2589-7500\(20\)30246-6](https://doi.org/10.1016/s2589-7500(20)30246-6)
423. <https://pubmed.ncbi.nlm.nih.gov/33328029/>
424. <https://doi.org/10.1080/02699052.2023.2208880>
425. <https://doi.org/10.1109/EMBC.2015.7319747>
426. <https://doi.org/10.1152/ajpheart.00405.2000>
427. [https://doi.org/10.1016/S0735-1097\(97\)00554-8](https://doi.org/10.1016/S0735-1097(97)00554-8)
428. <https://www.sciencedirect.com/science/article/pii/S0735109797005548>
429. <https://doi.org/10.1186/s12906-024-04413-5>
430. <https://pubmed.ncbi.nlm.nih.gov/30732832/>
431. <https://doi.org/10.1016/j.concog.2010.01.007>
432. <https://pubmed.ncbi.nlm.nih.gov/20167507/>
433. <https://doi.org/10.1126/science.1161958>
434. <http://www.ncbi.nlm.nih.gov/pmc/articles/pmc2643344/>
435. <https://pubmed.ncbi.nlm.nih.gov/19023074/>
436. <https://doi.org/10.1186/1743-0003-11-87>
- Ahani A, Wahbeh H, Miller M, Nezamfar H, Erdogmus D, Oken B. Change in physiological signals during mindfulness meditation. *Int IEEE EMBS Conf Neural Eng.* 2013;1378–81. - [PMC⁴³⁹](#) - [PubMed⁴⁴⁰](#)
- Stapleton P, Dispenza J, McGill S, Sabot D, Peach M, Raynor D. Large effects of brief meditation intervention on EEG spectra in meditation novices. *IBRO Rep.* 2020;1(9):290–301. doi: 10.1016/j.ibror.2020.10.006. - [DOI⁴⁴¹](#) - [PMC⁴⁴²](#) - [PubMed⁴⁴³](#)
- Travis F, Haaga DAF, Hagelin J, Tanner M, Nidich S, Gaylord-King C, et al. Effects of Transcendental Meditation practice on brain functioning and stress reactivity in college students. *Int J Psychophysiol.* 2009;71(2):170–176. doi: 10.1016/j.ijpsycho.2008.09.007. - [DOI⁴⁴⁴](#) - [PubMed⁴⁴⁵](#)
- Phongsuphap S, Pongsupap Y, Chandanamatha P, Lursinsap C. Changes in heart rate variability during concentration meditation. *Int J Cardiol.* 2008;130(3):481–484. doi: 10.1016/j.ijcard.2007.06.103. - [DOI⁴⁴⁶](#) - [PubMed⁴⁴⁷](#)
- Nesvold A, Fagerland MW, Davanger S, Ellingsen Ø, Solberg EE, Hølen A, et al. Increased heart rate variability during nondirective meditation. *Eur J Prev Cardiol.* 2012;19(4):773–80. doi: 10.1177/1741826711414625. - [DOI⁴⁴⁸](#) - [PubMed⁴⁴⁹](#)
- Léonard A, Clément S, Kuo CD, Manto M. Changes in heart rate variability during heartfulness meditation: a power spectral analysis including the residual spectrum. *Front Cardiovasc Med.* 2019;14(6):62. doi: 10.3389/fcv.2019.00062. - [DOI⁴⁵⁰](#) - [PMC⁴⁵¹](#) - [PubMed⁴⁵²](#)
- Pasquini HA, Tanaka GK, Basile LFH, Velasques B, Lozano MD, Ribeiro P. Electrophysiological correlates of long-term Soto Zen meditation. *Biomed Res Int.* 2015;2015:598496. doi: 10.1155/2015/598496. - [DOI⁴⁵³](#) - [PMC⁴⁵⁴](#) - [PubMed⁴⁵⁵](#)
- Cipresso P, Serino S, Borghesi F, Tartarisco G, Riva G, Pioggia G, et al. Continuous measurement of stress levels in naturalistic settings using heart rate variability: an experience-sampling study driving a machine learning approach. *Acta IMEKO.* 2021;10(4):239. doi: 10.2014/acta_imeko.v10i4.1183. - [DOI⁴⁵⁶](#)
- Berntson GG, Thomas Bigger J, Eckberg DL, Grossman P, Kaufmann PG, Malik M, et al. Heart rate variability: origins, methods, and interpretive caveats. *Psychophysiology.* 1997;34(6):623–648. doi: 10.1111/j.1469-8986.1997.tb02140.x. - [DOI⁴⁵⁷](#) - [PubMed⁴⁵⁸](#)
- Acharya UR, Joseph KP, Kannathal N, Lim CM, Suri JS. Heart rate variability: a review. *Med Biol Eng Comput.* 2006;44(12):1031–1051. doi: 10.1007/s11517-006-0119-0. - [DOI⁴⁵⁹](#) - [PubMed⁴⁶⁰](#)
- Fell J, Axmacher N, Haupt S. From alpha to gamma: Electrophysiological correlates of meditation-related states of consciousness. *Med Hypotheses.* 2010;75(2):218–224. doi: 10.1016/j.mehy.2010.02.025. - [DOI⁴⁶¹](#) - [PubMed⁴⁶²](#)
- Rodriguez-Larios J, Faber P, Achermann P, Tei S, Alaerts K. From thoughtless awareness to effortful cognition: alpha - theta cross-frequency dynamics in experienced meditators during meditation, rest and arithmetic. *Sci Rep.* 2020;10(1):1–11. doi: 10.1038/s41598-020-62392-2. - [DOI⁴⁶³](#) - [PMC⁴⁶⁴](#) - [PubMed⁴⁶⁵](#)
- Cahn BR, Delorme A, Polich J. Occipital gamma activation during Vipassana meditation. *Cogn Process.* 2010;11(1):39–56. doi: 10.1007/s10339-009-0352-1. - [DOI⁴⁶⁶](#) - [PMC⁴⁶⁷](#) - [PubMed⁴⁶⁸](#)
- Borghesi F, Chirico A, Pedroli E, Cipriani GE, Canessa N, Amanzio M, et al. Exploring Biomarkers of mental flexibility in healthy aging: a computational psychometric study. *Sensors (Basel)* 2023;23(15):6983. doi: 10.3390/s23156983. - [DOI⁴⁶⁹](#) - [PMC⁴⁷⁰](#) - [PubMed⁴⁷¹](#)
- Fang, S., & Zhang, W. (2024). Heart-Brain Axis: A Narrative Review of the Interaction between Depression and Arrhythmia. *Biomedicines*, 12 (8), 1719. [Crossref⁴⁷²](#)
- Gullett N., Zajkowska Z., Walsh A., Harper R., Mondelli V. Heart rate variability (HRV) as a way to understand associations between the autonomic nervous system (ANS) and affective states: A critical review of the literature. *Int. J. Psychophysiol.* 2023;192:35–42. doi: 10.1016/j.ijpsycho.2023.08.001. - [DOI⁴⁷³](#) - [PubMed⁴⁷⁴](#)
- Bassett D. A literature review of heart rate variability in depressive and bipolar disorders. *Aust. New Zealand J. Psychiatry.* 2015;50:511–519. doi: 10.1177/0004867415622689. - [DOI⁴⁷⁵](#)
437. <http://www.ncbi.nlm.nih.gov/pmc/articles/pmc4060143/>
438. <https://pubmed.ncbi.nlm.nih.gov/24939519/>
439. <http://www.ncbi.nlm.nih.gov/pmc/articles/pmc3988787/>
440. <https://pubmed.ncbi.nlm.nih.gov/24748422/>
441. <https://doi.org/10.1016/j.ibror.2020.10.006>
442. <http://www.ncbi.nlm.nih.gov/pmc/articles/pmc7649620/>
443. <https://pubmed.ncbi.nlm.nih.gov/33204893/>
444. <https://doi.org/10.1016/j.ijpsycho.2008.09.007>
445. <https://pubmed.ncbi.nlm.nih.gov/18854202/>
446. <https://doi.org/10.1016/j.ijcard.2007.06.103>
447. <https://pubmed.ncbi.nlm.nih.gov/17764770/>
448. <https://doi.org/10.1177/1741826711414625>
449. <https://pubmed.ncbi.nlm.nih.gov/21693507/>
450. <https://doi.org/10.3389/fv.2019.00062>
451. <http://www.ncbi.nlm.nih.gov/pmc/articles/pmc6527777/>
452. <https://pubmed.ncbi.nlm.nih.gov/31139634/>
453. <https://doi.org/10.1155/2015/598496>
454. <http://www.ncbi.nlm.nih.gov/pmc/articles/pmc4302970/>
455. <https://pubmed.ncbi.nlm.nih.gov/25632397/>
456. https://doi.org/10.21014/acta_imeko.v10i4.1183
457. <https://doi.org/10.1111/j.1469-8986.1997.tb02140.x>
458. <https://pubmed.ncbi.nlm.nih.gov/9401419/>
459. <https://doi.org/10.1007/s11517-006-0119-0>
460. <https://pubmed.ncbi.nlm.nih.gov/17111118/>
461. <https://doi.org/10.1016/j.mehy.2010.02.025>
462. <https://pubmed.ncbi.nlm.nih.gov/20227193/>
463. <https://doi.org/10.1038/s41598-020-62392-2>
464. <http://www.ncbi.nlm.nih.gov/pmc/articles/pmc7096392/>
465. <https://pubmed.ncbi.nlm.nih.gov/32214173/>
466. <https://doi.org/10.1007/s10339-009-0352-1>
467. <http://www.ncbi.nlm.nih.gov/pmc/articles/pmc2812711/>
468. <https://pubmed.ncbi.nlm.nih.gov/20013298/>
469. <https://doi.org/10.3390/s23156983>
470. <http://www.ncbi.nlm.nih.gov/pmc/articles/pmc10422551/>
471. <https://pubmed.ncbi.nlm.nih.gov/37571766/>
472. <https://doi.org/10.3390/biomedicines12081719>
473. <https://doi.org/10.1016/j.ijpsycho.2023.08.001>
474. <https://pubmed.ncbi.nlm.nih.gov/37543289/>

⁴⁷⁵ - PubMed⁴⁷⁶

Zhu J., Ji L., Liu C. Heart rate variability monitoring for emotion and disorders of emotion. *Physiol. Meas.* 2019;40:064004. doi: 10.1088/1361-6579/ab1887. - DOI⁴⁷⁷ - PubMed⁴⁷⁸

Chalmers J.A., Quintana D.S., Abbott M.J., Kemp A.H. Anxiety Disorders are Associated with Reduced Heart Rate Variability: A Meta-Analysis. *Front. Psychiatry.* 2014;5:80. doi: 10.3389/fpsy.2014.00080. - DOI⁴⁷⁹ - PMC⁴⁸⁰ - PubMed⁴⁸¹

Chang H.A., Chang C.C., Chen C.L., Kuo T.B., Lu R.B., Huang S.Y. Major depression is associated with cardiac autonomic dysregulation. *Acta Neuropsychiatr.* 2012;24:318–327. doi: 10.1111/j.1601-5215.2011.00647.x. - DOI⁴⁸² - PubMed⁴⁸³

Burke J.H., Goldberger J.J., Ehler F.A., Kruse J.T., Parker M.A., Kadish A.H. Gender differences in heart rate before and after autonomic blockade: Evidence against an intrinsic gender effect. *Am. J. Med.* 1996;100:537–543. doi: 10.1016/S0002-9343(96)00018-6. - DOI⁴⁸⁴ - PubMed⁴⁸⁵

Kittnar O. Sex Related Differences in Electrocardiography. *Physiol. Res.* 2023;72:S127–S135. doi: 10.33549/physiolres.934952. - DOI⁴⁸⁶ - PMC⁴⁸⁷ - PubMed⁴⁸⁸

Kotov R., Gamez W., Schmidt F., Watson D. Linking “big” personality traits to anxiety, depressive, and substance use disorders: A meta-analysis. *Psychol. Bull.* 2010;136:768–821. doi: 10.1037/a0020327. - DOI⁴⁸⁹ - PubMed⁴⁹⁰

Godin P.J., Buchman T.G. Uncoupling of biological oscillators: A complementary hypothesis concerning the pathogenesis of multiple organ dysfunction syndrome. *Crit. Care Med.* 1996;24:1107–1116. doi: 10.1097/00003246-199607000-00008. - DOI⁴⁹¹ - PubMed⁴⁹²

Wang, L., Hao, J., & Zhou, T. H. (2023). ECG Multi-Emotion Recognition Based on Heart Rate Variability Signal Features Mining. *Sensors (Basel, Switzerland)*, 23 (20), 8636. [Crossref⁴⁹³](#)

Cai Y., Li X., Li J. Emotion Recognition Using Different Sensors, Emotion Models, Methods and Datasets: A Comprehensive Review. *Sensors.* 2023;23:2455. doi: 10.3390/s23052455. - DOI⁴⁹⁴ - PMC⁴⁹⁵ - PubMed⁴⁹⁶

Xiefeng, C., Wang, Y., Dai, S., Zhao, P., & Liu, Q. (2019). Heart sound signals can be used for emotion recognition. *Scientific reports*, 9 (1), 6486. [Crossref⁴⁹⁷](#)

Hasnul, M. A., Ab Aziz, N. A., & Abd Aziz, A. (2023). Augmenting ECG Data with Multiple Filters for a Better Emotion Recognition System. *Arabian journal for science and engineering*, 1–22. Advance online publication. [Crossref⁴⁹⁸](#)

- 475. <https://doi.org/10.1177/0004867415622689>
- 476. <https://pubmed.ncbi.nlm.nih.gov/26698824/>
- 477. <https://doi.org/10.1088/1361-6579/ab1887>
- 478. <https://pubmed.ncbi.nlm.nih.gov/30974428/>
- 479. <https://doi.org/10.3389/fpsy.2014.00080>
- 480. <http://www.ncbi.nlm.nih.gov/pmc/articles/pmc4092363/>
- 481. <https://pubmed.ncbi.nlm.nih.gov/25071612/>
- 482. <https://doi.org/10.1111/j.1601-5215.2011.00647.x>
- 483. <https://pubmed.ncbi.nlm.nih.gov/23287173/>
- 484. [https://doi.org/10.1016/s0002-9343\(96\)00018-6](https://doi.org/10.1016/s0002-9343(96)00018-6)
- 485. <https://pubmed.ncbi.nlm.nih.gov/8644766/>
- 486. <https://doi.org/10.33549/physiolres.934952>
- 487. <http://www.ncbi.nlm.nih.gov/pmc/articles/pmc10660582/>
- 488. <https://pubmed.ncbi.nlm.nih.gov/37565417/>
- 489. <https://doi.org/10.1037/a0020327>
- 490. <https://pubmed.ncbi.nlm.nih.gov/20804236/>
- 491. <https://doi.org/10.1097/00003246-199607000-00008>
- 492. <https://pubmed.ncbi.nlm.nih.gov/8674321/>
- 493. <https://doi.org/10.3390/s23052455>
- 494. <https://doi.org/10.3390/s23052455>
- 495. <http://www.ncbi.nlm.nih.gov/pmc/articles/pmc10007272/>
- 496. <https://pubmed.ncbi.nlm.nih.gov/36904659/>
- 497. <https://doi.org/10.1038/s41598-019-42826-2>
- 498. <https://doi.org/10.1007/s13369-022-07585-9>

Hasnul, M. A., Aziz, N. A. A., Alelyani, S., Mohana, M., & Aziz, A. A. (2021). Electrocardiogram-Based Emotion Recognition Systems and Their Applications in Healthcare-A Review. *Sensors (Basel, Switzerland)*, 21 (15), 5015. [Crossref⁴⁹⁹](#)

Li, Y., Tan, R., Lin, T., Liu, Q., Wang, C. D., & Chen, M. (2024). ER-GET: Emotion Recognition Based on Global ECG Trajectory. *IEEE journal of biomedical and health informatics*, 28 (9), 5201–5213. [Crossref⁵⁰⁰](#)

Woods, R. A., & Hill, P. B. (2022). Myers Briggs. In *StatPearls*. StatPearls Publishing. [PubMed⁵⁰¹](#)

Wallick, M. M., & Cambre, K. M. (1999). Personality types in academic medicine. *The Journal of the Louisiana State Medical Society : official organ of the Louisiana State Medical Society*, 151 (7), 378–383. [PubMed⁵⁰²](#)

Tobacyk, J. J., Livingston, M. M., & Robbins, J. E. (2008). Relationships between Myers-Briggs type indicator measure of psychological type and neo measure of big five personality factors in Polish University students: a preliminary cross-cultural comparison. *Psychological reports*, 103 (2), 588–590. [Crossref⁵⁰³](#)

Eicke, F. J., Blake, G., & Replege, W. (1993). A comparative view of the Myers-Briggs type indicator. *Family medicine*, 25 (3), 186–190. [PubMed⁵⁰⁴](#)

Electromagnetism

Blank, Martin; Goodman, Reba . (2011). DNA is a fractal antenna in electromagnetic fields. *International Journal of Radiation Biology*, 87(4), 409–415. [Crossref⁵⁰⁵](#)

Cantero, M.d.R., Villa Etchegoyen, C., Perez, P.L. et al. Bundles of Brain Microtubules Generate Electrical Oscillations. *Sci Rep* 8, 11899 (2018). [Crossref⁵⁰⁶](#)

Gutierrez, B.C., Cantiello, H.F. & Cantero, M. The electrical properties of isolated microtubules. *Sci Rep* 13, 10165 (2023). [Crossref⁵⁰⁷](#)

Meijer, Dirk. (2018). Processes of Science and Art Modeled as a Holoflux of Information Using Toroidal Geometry. *Open Journal of Philosophy*. 8. 365-400. [10.4236/ojpp.2018.84026⁵⁰⁸](#)

Kuman, Maria. (2018). Our Weak Nonlinear Electromagnetic Field (Nemf) that Rules Everything in the Body is Emotionally Sensitive. *Journal of Complementary Medicine & Alternative Healthcare*. 8. [10.19080/JCMAH.2018.08.555731⁵⁰⁹](#)

- 499. <https://doi.org/10.3390/s21155015>
- 500. <https://doi.org/10.1109/JBHI.2024.3403188>
- 501. <https://pubmed.ncbi.nlm.nih.gov/32119483/>
- 502. <https://pubmed.ncbi.nlm.nih.gov/10474985/>
- 503. <https://doi.org/10.2466/pr0.103.2.588-590>
- 504. <https://pubmed.ncbi.nlm.nih.gov/8458560/>
- 505. <https://doi.org/10.3109/09553002.2011.538130>
- 506. <https://doi.org/10.1038/s41598-018-30453-2>
- 507. <https://doi.org/10.1038/s41598-023-36801-1>
- 508. https://www.researchgate.net/publication/326972894_Processes_of_Science_and_Art_Modeled_as_a_Holoflux_of_Information_Using_Toroidal_Geometry
- 509. https://www.researchgate.net/publication/330217977_Our_Weak_Nonlinear_Electromagnetic_Field_Nemf_that_Rules_Everything_in_the_Body_is_Emotionally_Sensitive

Addendum 3.

Bibliographie

1. **"Prologie : accomplissez votre projet de vie - Livre 1 : maladie, guérison, transmutation : la voie des ressources"** par Christine Degoy
Un guide novateur qui réexplore la santé et le bien-être à travers une approche systémique, vous permettant de redéfinir votre existence et d'accéder à une compréhension plus profonde de votre projet de vie. Cet ouvrage vous offre les outils nécessaires pour cultiver une communication intérieure, transformer votre perception de la réalité et incarner pleinement votre raison d'être.
2. **"Prologie : retrouvez le sens de la vie - Livre 2 : Le projet de vie dans le corps : comprendre, débloquer, transmuter"** par Christine Degoy
Plongez dans le décodage prologique des organes pour découvrir comment chaque partie de votre corps reflète des dimensions profondes de votre existence. Cet ouvrage explore les liens entre vos expériences de vie et votre santé physique, offrant des clés pour comprendre, débloquer et transmuter les blocages énergétiques. En mettant l'accent sur les ressources internes et les potentiels cachés, ce livre vous invite à embrasser votre projet de vie à travers une vision holistique, vous permettant ainsi d'harmoniser votre corps et votre esprit pour une vie pleinement épanouie.
9. **"The Field : La quête de la force secrète de l'univers"** de Lynne McTaggart
McTaggart explore la science de pointe sur le champ du point zéro, un champ d'énergie universel qui relie toute la matière. Ce livre donne un aperçu de la nature énergétique de la vie et de la manière dont nous pouvons exploiter cette énergie pour guérir.
10. **"La guérison, c'est la tension : le manuel"** par Jerry Tennant
Le Dr Tennant explique comment la tension dans le corps, en particulier au niveau cellulaire, est cruciale pour la santé. Il donne une vue d'ensemble de la manière dont le maintien d'un potentiel électrique approprié est fondamental pour la guérison et le bien-être.

La plupart des livres de cette liste n'ont pas été traduits. nous avons traduit les titres pour plus de clarté.

Énergie et médecine électrique

3. **"Le corps électrique : L'électromagnétisme et le fondement de la vie"** par Robert Becker et Gary Selden
Ce livre révolutionnaire explore le champ électromagnétique du corps humain et ses implications profondes pour la guérison, le flux d'énergie et la santé. Les recherches de Becker sur la bioélectricité fournissent des informations essentielles pour comprendre la science qui sous-tend les systèmes énergétiques du corps.
4. **"L'étincelle dans la machine : Comment la science de l'acupuncture explique les mystères de la médecine occidentale"** par le Dr Daniel Keown
L'ouvrage du Dr Keown jette un pont entre la science médicale occidentale et la pratique ancestrale de l'acupuncture, offrant une explication complète de la manière dont l'énergie circule dans le corps et comment elle peut être exploitée pour la guérison.
5. **"Médecine énergétique : Les bases scientifiques"** par James L. Oschman
Ce livre propose une exploration approfondie de la science qui sous-tend la médecine énergétique, en présentant des preuves de l'influence des champs électromagnétiques, des méridiens et d'autres systèmes énergétiques sur la santé. Oschman s'appuie sur la physique et la biologie pour expliquer les systèmes énergétiques du corps d'une manière qui complète les pratiques de guérison conventionnelles et alternatives.
6. **"Médecine vibratoire : Le manuel n°1 des thérapies par les énergies subtiles"** par Richard Gerber
Le texte classique de Gerber est une ressource essentielle pour comprendre le domaine de la médecine énergétique subtile. Il donne un aperçu détaillé des champs énergétiques, des chakras et de la manière dont les thérapies vibratoires fonctionnent pour guérir le corps et l'esprit.
7. **"Courants croisés : Les dangers de l'électropollution, les promesses de l'électromédecine"** par Robert O. Becker
Ce livre, qui fait suite à *The Body Electric*, étudie les conséquences de la technologie électrique moderne sur la santé, tout en explorant la manière dont la thérapie électromagnétique peut contribuer à la guérison.
8. **"Biologie de la croyance : libérer le pouvoir de la conscience, de la matière et des miracles"** de Bruce H. Lipton
Ce livre se situe à l'intersection de la biologie et de la croyance, et montre comment l'esprit influence le corps au niveau cellulaire. Lipton explique comment les champs énergétiques et la conscience influencent les processus biologiques.
11. **"Ma (très vaste) théorie du tout"** par Thomas Campbell
Une trilogie complète qui explore la nature de la réalité, la conscience et le lien entre le physique et le métaphysique. Campbell, physicien et chercheur sur la conscience, mélange science et spiritualité pour présenter un modèle d'existence qui soutient la méditation, les états de conscience modifiés et la compréhension de l'énergie dans l'univers.
12. **"L'esprit illuminé : Un guide complet de méditation intégrant la sagesse bouddhiste et la science du cerveau pour une plus grande pleine conscience"** par John Yates (Culadasa)
Le guide de Culadasa est une explication approfondie, étape par étape, de la pratique de la méditation ancrée à la fois dans les enseignements bouddhistes anciens et dans les neurosciences contemporaines. Il comble le fossé entre les techniques de méditation traditionnelles et les connaissances scientifiques modernes sur le cerveau.
13. **"Traits altérés : La science révèle comment la méditation modifie l'esprit, le cerveau et le corps"** par Daniel Goleman et Richard J. Davidson
Ce livre plonge dans la recherche scientifique entourant la méditation, explorant ses effets profonds sur le cerveau et le corps. Goleman et Davidson s'appuient sur des décennies de recherche pour expliquer comment la méditation entraîne des changements psychologiques et physiologiques durables.
14. **"Le réveil : Un guide de la spiritualité sans religion"** par Sam Harris
Sam Harris, neuroscientifique et philosophe, présente une approche rationnelle de la spiritualité et de la méditation, fondée à la fois sur la science et sur l'expérience personnelle. Son livre est particulièrement axé sur la façon dont la méditation peut conduire à des changements profonds dans la perception et la compréhension de la conscience, sans qu'il soit nécessaire d'avoir recours à des cadres religieux.
15. **"Le pouvoir du moment présent : Un guide pour l'illumination spirituelle"** d'Eckhart Tolle
Ce livre très lu d'Eckhart Tolle met l'accent sur l'importance de la pleine conscience et de la présence au moment présent. Ses enseignements offrent des perspectives pratiques sur la manière de vivre plus pleinement et en pleine conscience, ce qui correspond aux aspects énergétiques et mentaux du bien-être abordés dans *Sing the Body Electric*.
16. **"La vraie magie : sagesse ancienne, science moderne et guide du pouvoir secret de l'univers"** par Dean Radin
Radin, chercheur de premier plan dans le domaine de la parapsychologie, explore les preuves scientifiques de phénomènes tels que la télépathie, la précognition et la psychokinèse, en établissant des liens entre la conscience, l'énergie et la structure plus large de la réalité. Ce livre jette les bases d'une compréhension d'autres réalités, au-delà de la réalité physique.
17. **"La physique de la conscience : L'esprit quantique et le sens de la vie"** par Evan Harris Walker
Ce livre se penche sur la physique quantique et sa relation avec la conscience. Walker explore le rôle de l'observateur dans la mécanique quantique et présente une théorie selon laquelle la conscience est fondamentale dans l'univers, contribuant à une compréhension plus large de l'énergie et de l'existence.
18. **"La Doctrine secrète"** de H.P. Blavatsky
Ce texte fondateur de la théosophie explore la nature de l'univers, de la conscience et de l'évolution spirituelle.

Spiritualité moderne

19. **"La philosophie pérenne"** d'Aldous Huxley
Huxley examine les points communs de la spiritualité dans les différentes religions, en mettant l'accent sur les vérités universelles.
20. **"La destinée humaine"** par Pierre Lecomte du Noüy
Ce livre explore l'intersection de la science, de la philosophie et de la religion, en défendant l'idée que l'évolution humaine est guidée par un dessein divin. Il aborde le potentiel spirituel de l'humanité et les responsabilités morales qui découlent de la conscience humaine.
21. **"L'homme devant la science"** par Pierre Lecomte du Noüy
Dans cet ouvrage philosophique, Lecomte du Noüy traite de l'importance de la raison et de la pensée scientifique dans la compréhension de l'univers. Il examine également la manière dont le progrès scientifique doit être intégré au développement moral et spirituel.

Traitement du signal numérique

22. **"Comprendre le traitement des signaux numériques"** par Richard G. Lyons
Ce livre propose une introduction claire et accessible au traitement numérique du signal (DSP), rendant les concepts complexes compréhensibles même pour les débutants. Il couvre des sujets tels que le filtrage, l'analyse de Fourier et la théorie de l'échantillonnage d'une manière pratique et facile à suivre, idéale pour ceux qui s'intéressent aux principes fondamentaux du traitement du signal pour l'analyse audio.
23. **"Guide du scientifique et de l'ingénieur pour le traitement des signaux numériques"** par Steven W. Smith
Un ouvrage populaire et facile à lire qui présente les concepts du traitement numérique du signal à l'aide d'exemples et d'applications pratiques. Il s'agit d'une ressource en ligne gratuite qui explique le fonctionnement du traitement du signal à l'aide de guides étape par étape et d'exemples concrets, ce qui le rend très accessible aux débutants, en particulier à ceux qui s'intéressent à l'analyse des signaux audio et musicaux.
24. **"Traitement des signaux audio numériques"** par Udo Zölzer
Ce livre présente les principes et les applications du traitement des signaux audio numériques, en se concentrant sur des domaines tels que les filtres numériques, les effets audio et l'analyse temps-fréquence. Bien que technique, le matériel est présenté d'une manière accessible aux lecteurs ayant des connaissances de base en DSP.
25. **"Introduction à l'analyse du contenu audio : Applications dans le traitement du signal et l'informatique musicale"** par Alexander Lerch
Ce texte est particulièrement utile pour ceux qui s'intéressent au traitement des signaux audio et musicaux. Il présente des techniques d'analyse du contenu audio, telles que la structure musicale, le rythme et l'harmonie, à l'aide d'algorithmes de traitement du signal. Ce livre est pratique et accessible aux étudiants comme aux professionnels.
26. **"Conception de plug-ins d'effets audio en C : avec la théorie du traitement des signaux audio numériques"** par Will Pirkle
Pour ceux qui souhaitent se plonger dans l'aspect applicatif du traitement du signal audio, ce livre est une introduction conviviale au codage et à la conception d'effets audio à l'aide de la programmation en C. Il est idéal pour les débutants qui souhaitent se familiariser avec le traitement du signal audio. Il est idéal pour les débutants qui cherchent à comprendre comment le DSP peut être appliqué pour créer des effets audio en temps réel.

Jung et l'inconscient

27. **"Souvenirs, rêves, réflexions"** de Carl G. Jung
Ouvrage semi-autobiographique, ce livre couvre la vie et les idées clés de Jung, y compris son développement de concepts tels que l'inconscient collectif, les archétypes et l'ombre. Il apporte un éclairage personnel sur ses théories psychologiques.
28. **"Les archétypes et l'inconscient collectif"** par Carl G. Jung
Ce livre est un texte central de la psychologie jungienne, dans lequel il expose ses théories sur l'inconscient, en particulier l'inconscient collectif et ses images archétypales. Il s'agit d'une lecture fondamentale pour comprendre les idées de Jung sur la personnalité et la psyché.
29. **"Les types psychologiques"** de Carl G. Jung
Dans cet ouvrage, Jung présente sa théorie des types psychologiques, qui a ensuite influencé le développement de l'indicateur de type Myers-Briggs (MBTI). Il aborde la dichotomie entre l'introversion et l'extraversion ainsi que d'autres fonctions psychologiques qui façonnent la personnalité.
30. **"L'homme et ses symboles"** par Carl G. Jung
Rédigé comme une introduction accessible à la pensée jungienne, ce livre étudie l'utilisation des symboles dans les rêves et l'art en tant que représentations des processus inconscients. Conçu pour un public plus large, il offre un aperçu de la psyché humaine.
31. **"Le moi non découvert"** de Carl G. Jung
Jung explore le conflit entre le besoin de développement personnel de l'individu et les pressions de la société moderne. Il souligne l'importance de la conscience de soi pour naviguer dans l'inconscient et les aspects de l'ombre de la personnalité.
32. **"Posséder sa propre ombre : Comprendre le côté sombre de la psyché"** par Robert A. Johnson
Guide pratique pour comprendre le concept de l'ombre de Jung, ce livre explique comment reconnaître et intégrer le moi de l'ombre pour l'équilibre psychologique et le développement personnel.

33. **"La carte de l'âme de Jung : une introduction"** par Murray Stein
Ce livre propose une introduction aux théories de Jung sur la personnalité, y compris ses idées sur l'ombre, l'inconscient et l'individuation. C'est une bonne ressource pour ceux qui découvrent la psychologie jungienne.
34. **"Des dons différents : Comprendre le type de personnalité"** par Isabel Briggs Myers et Peter B. Myers
Ce livre explique le système MBTI des types de personnalité, qui est basé sur les types psychologiques de Jung. Il permet de comprendre comment les différents types de personnalité interagissent et comment ils influencent la vie personnelle et professionnelle.

Guérir par les sons

35. **"Le pouvoir de guérison du son : Récupération d'une maladie mortelle grâce au son, à la voix et à la musique"** par Mitchell L. Gaynor
Ce livre se penche sur l'utilisation de la thérapie sonore pour la guérison, en se concentrant sur la façon dont les vibrations et les fréquences peuvent être utilisées pour soutenir la guérison de la maladie. Gaynor, oncologue, associe des connaissances médicales à des pratiques de guérison par le son.
36. **"Accorder le biochamp humain : Guérir par la thérapie vibratoire par le son"** par Eileen Day McKusick
McKusick explore l'anatomie du biochamp et explique comment les sons, les fréquences et les vibrations affectent le champ énergétique humain. Le livre comprend des informations sur la manière dont les diapasons et d'autres outils sonores peuvent favoriser la guérison.
37. **"Healing Sounds : Le pouvoir des harmoniques"** par Jonathan Goldman
Ce livre explique le concept de l'utilisation des sons et des harmoniques pour guérir le corps et l'esprit. Il comprend des techniques pratiques de guérison par le son, telles que la tonification vocale et le travail avec les harmoniques.
38. **"La médecine du son : Comment utiliser l'ancienne science du son pour guérir le corps et l'esprit"** par Kulreet Chaudhary
Ce livre associe l'ancienne médecine ayurvédique aux pratiques modernes de thérapie sonore. Chaudhary explique comment les fréquences sonores et les vibrations peuvent être utilisées pour la guérison et le bien-être, depuis les mantras jusqu'aux technologies sonores modernes.

Pionniers

39. **"Implosion : La science secrète de la félicité et de l'immortalité"** par Dan Winter
Dan Winter explore la nature fractale de la réalité, en particulier en relation avec la conscience, l'activité électrique du cœur et la bioénergétique. Son travail associe des concepts issus de la géométrie sacrée, de l'implosion et de la physique de la félicité.
40. **"Espace-temps fractal et géométrie sacrée"** par Dan Winter
Ce livre se penche sur la géométrie de la conscience et le champ énergétique humain, en mettant l'accent sur les implications des structures fractales en biologie, la cohérence du cœur et la compréhension profonde de l'univers.
41. **"Décoder le champ corporel humain : La nouvelle science de l'information en tant que médecine"** par Peter H. Fraser
Peter H. Fraser, pionnier de la bioénergétique, examine les systèmes d'information du corps, ou "human body-field", expliquant comment ils influencent la santé et la guérison. Ses travaux intègrent la biologie quantique et la médecine moderne aux pratiques de guérison énergétique.
42. **(pas de livres)** Joël Sternheimer
Sternheimer présente une théorie selon laquelle les notes de musique correspondent à des processus biologiques. Il explore le concept de "Protéodies," suggérant que des fréquences spécifiques peuvent influencer les interactions moléculaires dans les organismes vivants.

Conscience, énergie et réalité

43. **"Le quatrième état de l'eau : Au-delà de solide, liquide et vapeur"** par Gerald Pollack
Pollack présente des recherches révolutionnaires sur les propriétés de l'eau et leurs implications pour la biologie et la médecine énergétique.
44. **"LSD et l'esprit de l'univers"** par Christopher Bache
Bache explore l'intersection des psychédéliques, de la conscience et de la nature de la réalité à travers des expériences personnelles et des connaissances scientifiques.
45. **"La conscience au-delà de la vie : La science de l'expérience de mort imminente"** par Pim van Lommel
Van Lommel propose un examen complet des expériences de mort imminente, de leurs implications pour la conscience et de la continuité du soi au-delà de l'existence physique.
46. **"L'homme qui ne croyait pas aux miracles"** par Didier Van Cauwelaert
Ce roman entrelace les thèmes de la conscience et de la physique quantique, explorant la nature de la réalité et de la croyance à travers un récit captivant.

47. **"La santé par l'intention : des impulsions pour l'autoguérison"** par Folker Meissner
Folker Meissner étudie les principes scientifiques qui sous-tendent la médecine énergétique et donne un aperçu de son potentiel et de ses mécanismes thérapeutiques.
48. **"Tous connectés : L'émergence d'une conscience mondiale"** par Roger Nelson
Nelson examine l'interconnexion de la conscience humaine et ses implications pour la compréhension des expériences collectives et de la conscience globale.
49. **"L'Eau morphogénique - Santé - Information et champs de conscience"** par Marc Henry
Marc Henry examine l'importance de l'eau dans les systèmes biologiques et son rôle en tant que support du transfert d'énergie et de la conscience.
50. **"La vie après la vie"** par Raymond Moody
L'ouvrage novateur de Moody introduit le concept d'expériences de mort imminente et présente de nombreuses études de cas qui mettent en évidence les éléments communs rapportés par ceux qui ont vécu de telles expériences.
51. **"Embrassés par la lumière"** par Betty J. Eadie
Ces mémoires racontent l'expérience de mort imminente de Betty J. Eadie, partageant ses idées et les profondes révélations spirituelles qu'elle a rencontrées au cours de son voyage.
52. **"La preuve du paradis : Le voyage d'un neurochirurgien dans l'au-delà"** par Eben Alexander
Eben Alexander, neurochirurgien, partage sa propre expérience de mort imminente et offre un récit convaincant qui remet en question les points de vue scientifiques conventionnels sur la conscience et la vie après la mort.
53. **"Mourir pour être moi : mon voyage du cancer à la mort imminente et à la véritable guérison"** d'Anita Moorjani
Anita Moorjani partage son expérience transformatrice de mort imminente au cours de sa lutte contre le cancer et les leçons puissantes qu'elle en a tirées en matière d'acceptation de soi et de guérison.
54. **"Voyages hors du corps"** par Robert A. Monroe
Ce livre classique documente les expériences personnelles de Monroe en matière de voyages hors du corps et explore les possibilités de la conscience humaine au-delà du corps physique. Il est largement considéré comme l'un des textes fondateurs des études sur la conscience.
55. **"Voyages lointains"** par Robert A. Monroe
Cette suite de "Voyages hors du corps" approfondit les voyages de Monroe au-delà du plan physique, où il explore différentes dimensions de l'existence et développe sa compréhension de la conscience.
56. **"L'ultime voyage"** par Robert A. Monroe
Dans ce dernier livre de la trilogie, Monroe partage ses expériences dans des états modifiés de conscience, en se concentrant sur des thèmes tels que la vie après la mort, la nature de l'existence et le but de l'homme.
57. **"La conscience cosmique"** par Richard M. Bucke
Bucke décrit sa propre expérience de la conscience cosmique et explore ses implications pour l'évolution spirituelle.
58. **"Les Enseignements d'un sorcier yaqui"** de Carlos Castaneda
Ce livre explore les pratiques chamaniques et la nature de la réalité à travers l'apprentissage de Castaneda auprès d'un chaman Yaqui.

Bioéthique et médecine

59. **"Bioéthique : principes, questions et cas"** par Lewis Vaughn
Vaughn présente les principes et les questions éthiques clés dans la pratique médicale, en fournissant des études de cas pour des applications dans le monde réel.

Études sur la conscience

60. **"La conscience et l'univers : Physique quantique, évolution, cerveau et esprit"** par Sir Roger Penrose et Stuart Hameroff
Ce recueil d'essais explore les origines quantiques de la conscience, en combinant les connaissances de la physique, des neurosciences et de la philosophie pour étudier comment les processus quantiques dans le cerveau peuvent expliquer l'expérience consciente.
61. **"La conscience expliquée"** par Daniel Dennett
Dennett présente une théorie complète de la conscience, s'opposant aux points de vue traditionnels et offrant un aperçu du fonctionnement de l'esprit.
62. **"Réveil : Un guide pour une spiritualité sans religion"** par Sam Harris
Ce livre traite de la conscience, de la méditation et de la nature de la spiritualité, et plaide en faveur d'une approche laïque de la compréhension de l'esprit.

Physique quantique et métaphysique

63. **"Le quantum et le lotus : Un voyage aux frontières de la science et du bouddhisme"** par Matthieu Ricard et Trinh Xuan Thuan
Ce livre explore les parallèles entre la physique quantique et la philosophie bouddhiste, en discutant des idées issues des deux domaines.
64. **"L'univers holographique"** par Michael Talbot
Talbot présente l'idée que l'univers fonctionne comme un hologramme, fusionnant les connaissances de la physique quantique avec les implications métaphysiques.

Psychologie et psychothérapie

65. **"La quête de sens de l'homme"** par Viktor E. Frankl
Frankl explore le parcours psychologique qui consiste à trouver un but même dans les circonstances les plus difficiles, en intégrant la philosophie existentielle et la psychologie.
66. **"Le corps garde le score : le cerveau, l'esprit et le corps dans la guérison des traumatismes"** de Bessel van der Kolk
Ce livre traite de l'impact des traumatismes sur le corps et l'esprit, en mettant en lumière des approches novatrices en matière de guérison.
67. **"L'énergie de base"** par John C. Pierrakos
Ce livre présente l'approche de Pierrakos en matière d'énergie de base, une modalité thérapeutique centrée sur le corps. Il explique comment le déblocage de l'énergie dans le corps peut conduire à la guérison émotionnelle et psychologique, en intégrant la spiritualité à la psychothérapie.
68. **"Le chemin de l'auto-transformation"** par Eva Pierrakos
Rédigé par Eva Pierrakos, l'épouse de John Pierrakos, ce livre est essentiel pour comprendre les fondements spirituels et énergétiques de l'énergie de base. Il présente un ensemble d'enseignements tirés du Pathwork Guide, qui a fortement influencé le travail thérapeutique de John Pierrakos.
69. **"Ma voix vous accompagnera : Les récits d'enseignement de Milton H. Erickson"** par Milton H. Erickson, édité par Sidney Rosen
Ce livre est une collection d'histoires thérapeutiques et de récits d'enseignement d'Erickson. Il met en lumière ses techniques indirectes et son utilisation de la métaphore pour faciliter un changement psychologique profond, offrant un aperçu de la manière dont Erickson guidait subtilement ses patients vers la guérison.
70. **"Uncommon Therapy : Les techniques psychiatriques de Milton H. Erickson, M.D."** par Jay Haley
Haley offre un aperçu détaillé des techniques innovantes d'Erickson en matière de thérapie brève. Ce livre met en lumière les méthodes non traditionnelles et souvent surprenantes d'Erickson, y compris sa capacité à guider les patients vers des percées thérapeutiques rapides en quelques séances seulement.

Systems Theory and Systems Thinking

71. **"Théorie générale des systèmes : Fondements, développement, applications"** par Ludwig von Bertalanffy
Classique de la pensée systémique, l'ouvrage de Bertalanffy présente les fondements de la théorie générale des systèmes, qui est devenue un pilier fondamental de l'étude interdisciplinaire dans l'ensemble des sciences. Ses idées ont eu une influence sur tous les domaines, de la biologie aux sciences sociales.
72. **"Les étapes d'une écologie de l'esprit"** par Gregory Bateson
Figure clé du groupe de Palo Alto, la collection d'essais de Bateson couvre des sujets tels que la communication, la psychologie et l'écologie. Ses travaux ont jeté les bases d'une pensée systémique en matière de communication et d'interactions humaines.
73. **"L'esprit et la nature : Une unité nécessaire"** par Gregory Bateson
Un autre texte essentiel de Bateson, qui explore la façon dont l'esprit et l'environnement sont interconnectés. Ses idées sont fondamentales pour comprendre la théorie des systèmes en termes d'interaction humaine, d'apprentissage et d'écologie.
74. **"La construction sociale de la réalité : Un traité de sociologie de la connaissance"** par Peter L. Berger et Thomas Luckmann
Ce livre se rattache à la pensée systémique en explorant la manière dont les systèmes et les réalités sociales sont construits et maintenus.
75. **"La vision systémique de la vie : Une vision unificatrice"** par Fritjof Capra et Pier Luigi
Luigi Capra, figure emblématique de la pensée systémique, présente une compréhension contemporaine et intégrée des systèmes vivants. Ce livre relie la théorie des systèmes à la biologie, à l'écologie et à la conscience.
76. **"Le changement : Principes de la formation et de la résolution des problèmes"** par Paul Watzlawick, John Weakland et Richard Fisch
Autre ouvrage essentiel du groupe de Palo Alto, il explore la manière dont le changement se produit dans les systèmes humains, en particulier les familles et les organisations, à travers une lentille systémique.

77. **"L'arbre de la connaissance: Les racines biologiques de la compréhension humaine"** par Humberto R. Maturana et Francisco J. Varela
Ce livre fait le lien entre la biologie, la cognition et la pensée systémique, en se concentrant sur l'autopoïèse (systèmes qui s'auto-crésent), un concept central dans la compréhension des systèmes vivants.
78. **"La cybernétique, ou le contrôle et la communication dans l'animal et la machine"**
par Norbert Wiener
Ce texte fondateur de la cybernétique explore la manière dont les processus de communication et de contrôle fonctionnent à la fois dans les machines et les êtres vivants.
79. **"La cinquième discipline: L'art et la pratique de l'organisation apprenante"** par Peter M. Senge
Le travail de Senge applique la pensée systémique au développement organisationnel. Il est largement considéré comme un texte clé dans le monde des affaires et de l'éducation, car il se concentre sur la manière dont les organisations complexes peuvent être structurées pour l'apprentissage et l'adaptabilité.